



รายงานวิจัยฉบับสมบูรณ์

โครงการ  
ความคงตัวของเจลจากสตาร์ชข้าวที่ผ่านการแช่แข็งและแช่แข็ง-ละลาย  
**Frozen Storage and Freeze-thaw Stability of Rice Starch Gels**

โดย พศ. ดร. จันทนี อุริยะพงศ์สรรค์

มีนาคม 2552

สัญญาเลขที่ MRG4680170

รายงานวิจัยฉบับสมบูรณ์  
โครงการ  
ความคงตัวของเจลจากสารชีวาน้ำที่ผ่านการแช่แข็งและแช่แข็ง-ละลาย  
**Frozen Storage and Freeze-thaw Stability of Rice Starch Gels**

ผู้วิจัย ผศ. ดร. จันทนี อุริยะพงศ์สารค์  
สังกัดภาควิชาเทคโนโลยีอาหาร  
คณะเทคโนโลยี มหาวิทยาลัยขอนแก่น

สนับสนุนโดยสำนักงานกองทุนสนับสนุนการวิจัย

## กิตติกรรมประกาศ

รายงานวิจัยฉบับนี้สำเร็จลุล่วงไปด้วยดีเพื่อความกรุณาอย่างยิ่งและขอขอบคุณสำนักงานกองทุนสนับสนุนการวิจัย (สกอ) ที่ให้ทุนอุดหนุนการวิจัยครั้งนี้

ผศ.ดร. จันทนี อุริยพงศ์สาริก

<b>สารบัญ</b>	
	<b>หน้า</b>
กิตติกรรมประกาศ	๑
สารบัญ	๒
สารบัญตาราง	๓
สารบัญภาพ	๔
บทคัดย่อภาษาไทย	๕
บทคัดย่อภาษาอังกฤษ	๖
วัตถุประสงค์	๗
 วิธีการทดลอง	 ๔
1. วัสดุ อุปกรณ์และเครื่องมือ	๔
2. วิธีการทดลองงานวิจัยส่วนที่ ๑	๖
3. วิธีการทดลองงานวิจัยส่วนที่ ๒	๑๑
 ผลการทดลอง	 ๑๕
1. ผลการทดลองงานวิจัยส่วนที่ ๑	๑๕
2. ผลการทดลองงานวิจัยส่วนที่ ๒	๖๑
 สรุปและวิจารณ์ผลการทดลอง	 ๘๙
 ข้อเสนอแนะสำหรับงานวิจัยในอนาคต	 ๙๑
 เอกสารอ้างอิง	 ๙๓
 ภาคผนวก	 ๙๘

## สารบัญตาราง

	หน้า
ตารางที่ 1 องค์ประกอบของทางเคมีและปริมาณแอมิโลสของสตาร์ชจากข้าว 9 พันธุ์	16
ตารางที่ 2 ค่าอุณหภูมิการเกิดเจลาทินไซซ์และความหนืดของเพสต์ของสตาร์ชจากข้าว 9 พันธุ์	20
ตารางที่ 3 ผลการเปลี่ยนแปลงสมบัติทางความร้อนในการเกิดเจลาทินไซซ์ของสตาร์ชจากข้าว โดยเครื่อง DSC	24
ตารางที่ 4 ผลการเปลี่ยนแปลงสมบัติทางความร้อนของเจลสตาร์ชจากข้าว ระหว่างการแช่เยือกแข็ง โดยเครื่อง DSC	27
ตารางที่ 5 ผลของพันธุ์ข้าวต่อการเปลี่ยนแปลงสมบัติทางความร้อน หลังการแช่เยือกแข็งและให้ความร้อนอีกครั้ง (reheat) โดยเครื่อง DSC	29
ตารางที่ 6 ผลการคืนรูปจากเยือกแข็ง 5 รอบต่อค่าความแข็งของเจลสตาร์ชจากข้าว โดยเครื่องวัดลักษณะเนื้อสัมผัส (TA-XT2) ที่แรงกดร้อยละ 15 ของความหนาของเจลสตาร์ช	35
ตารางที่ 7 ผลการคืนรูปจากเยือกแข็ง 5 รอบต่อค่าความแข็งของเจลสตาร์ชจากข้าว โดยเครื่องวัดลักษณะเนื้อสัมผัส (TA-XT2) ที่แรงกดร้อยละ 70 ของความหนาของเจลสตาร์ช	36
ตารางที่ 8 ผลของพันธุ์ข้าวต่อการขับของเหลวออกจากเจลระหว่างการคืนรูปจากเยือกแข็งของเจลสตาร์ชแช่เยือกแข็งจากข้าว ที่ความเข้มข้นสตาร์ชร้อยละ 30	38
ตารางที่ 9 ผลของพันธุ์ข้าวและระยะเวลาการเก็บต่อการขับของเหลวออกจากเจล เก็บที่อุณหภูมิ -18 องศาเซลเซียส นาน 1 15 30 45 60 90 และ 120 วัน	49
ตารางที่ 10 ความสัมพันธ์ระหว่างปริมาณแอมิโลส ค่าความหนืดสูงสุด ค่าความหนืดสุดท้าย ค่าการคืนตัวกับค่าความแข็งของเจลสด และเจลแช่เยือกแข็งจากข้าว นาน 30 วัน โดยใช้ Pearson correlation coefficients	50

	หน้า
ตารางที่ 11 ความสัมพันธ์ระหว่างพันธุ์ข้าว ปริมาณแอมิโนโลส ค่าความหนืดสูงสุด ค่าความหนืดสุดท้าย ค่าการคืนตัว กับสมบัติทางความร้อนของเจลสตาร์ชจากข้าว โดยใช้ Pearson correlation coefficients	53
ตารางที่ 12 ผลการวิเคราะห์น้ำหนักโมเลกุลของเจลสตาร์ชแซ่เยือกแข็งจากข้าวชั้นนาท 1	57
ตารางที่ 13 สมบัติการเกิดเจลาทีไนเซชันและความหนืดของเพสต์ของสตาร์ชจากข้าว ไม่เติมและเติมสารเจือปนอาหารชนิดต่าง ๆ	63
ตารางที่ 14 ผลของชนิดและปริมาณสารเจือปนอาหารที่เติมในเจลสตาร์ชจากข้าว ต่อคุณสมบัติการเกิดเจลาทีไนเซชัน โดยใช้เครื่อง DSC	65
ตารางที่ 15 ผลของชนิดและความเข้มข้นของสารเจือปนอาหารที่เติมในเจลสตาร์ชจากข้าวต่อค่าสมบัติทางความร้อนระห่ำของการแซ่เยือกแข็ง โดยใช้เครื่อง DSC	67
ตารางที่ 16 ผลของชนิดและความเข้มข้นของสารเจือปนอาหารที่ไม่เติมและเติมในสตาร์ชจากข้าวต่อสมบัติทางความร้อนของเจลสตาร์ชแซ่เยือกแข็งจากข้าวและได้รับความร้อนอีกครั้ง	69
ตารางที่ 17 ผลของชนิดและปริมาณความเข้มข้นของสารเจือปนอาหารในเจลสตาร์ชจากข้าวต่อการขับของเหลวออกจากเจลจากการคืนรูปจากเยือกแข็ง จำนวน 5 รอบ	71
ตารางที่ 18 ผลของการคืนรูปจากเยือกแข็ง 5 รอบของเจลสตาร์ชจากข้าวที่ไม่เติมและเติมสารเจือปนอาหารต่อค่าความแข็ง โดยเครื่องวัดลักษณะเนื้อสัมผัส (TA-XT2) ที่แรงกดร้อยละ 15 ของความหนาเจลสตาร์ช	73
ตารางที่ 19 ผลของการคืนรูปจากเยือกแข็ง 5 รอบของเจลสตาร์ชจากข้าวที่ไม่เติมและเติมสารเจือปนอาหารต่อค่าความแข็ง โดยเครื่องวัดลักษณะเนื้อสัมผัส (TA-XT2) ที่แรงกดร้อยละ 70 ของความหนาเจลสตาร์ช	75

หน้า
ตารางที่ 20 ผลของการเปลี่ยนแปลงการขับของเหลวออกจากเจลในเจลสตาร์ชแซ่เยือกแข็งจากข้าวที่ไม่เติมและเติมสารเจือปนอาหารของสองปัจจัยที่ทำการศึกษาคือ ชนิดและปริมาณสารเจือปนอาหารที่ระยะเวลาการเก็บขยะแซ่เยือกแข็ง 1 15 30 45 60 90 และ 120 วัน 77
ตารางที่ 21 การวิเคราะห์ความสัมพันธ์ระหว่างค่าความหนืดสูงสุดค่าความหนืดสุดท้าย ค่าการคืนตัว ค่าความแข็ง อุณหภูมิเริ่มต้นการเกิดเจลาทีโนซ์ ( $T_o$ ) อุณหภูมิพีค ( $T_p$ ) อุณหภูมิกลางานซิชันของการแซ่เยือกแข็ง ( $T_{g_f}$ ) อุณหภูมิกลางานซิชันของเจลแซ่เยือกแข็งและให้ความร้อนอีกครั้ง ( $T_g$ ) โดยใช้ Pearson correlation coefficients 88

	หน้า
ภาพที่ 1 กราฟความหนืด (Pasting curve) ของสตาร์ชจากข้าวแต่ละพันธุ์	19
ภาพที่ 2 DSC เทอร์โมแกรมของอุณหภูมิกลางานซิชัน ( $T_g$ ) ของเจลสตาร์ชแข็งเยือกแข็งจากข้าวและให้ความร้อนอีกรั้ง ที่ความเข้มข้นของเจล 30 % w/w	32
ภาพที่ 3 ผลของความเข้มข้นของเจลสตาร์ชจากข้าวต่ออุณหภูมิกลางานซิชัน ( $T_g$ ) ของเจลสตาร์ชแข็งเยือกแข็งจากข้าวพันธุ์ชัยนาท 1 และให้ความร้อนอีกรั้ง ( $T_d$ = exothermic peak)	33
ภาพที่ 4 ผลของพันธุ์ข้าวต่อการขับของเหลวออกจากเจลระหว่าง การคืนรูปจากเยือกแข็ง 5 รอบ	39
ภาพที่ 5 ผลของค่าความแข็งของเจลสตาร์ชแข็งเยือกแข็งจากข้าว ที่อุณหภูมิ -18 องศาเซลเซียส ระยะเวลาการเก็บ 1 15 30 45 60 90 และ 120 วัน หลังการคืนรูปจากเยือกแข็ง ทดสอบที่แรงกดเพื่อให้เกิดการเปลี่ยนแปลง รูปร่างร้อยละ 15 ของความหนาเจลสตาร์ช	40
ภาพที่ 6 ผลของค่าความแข็งของเจลสตาร์ชแข็งเยือกแข็งจากข้าว ที่อุณหภูมิ -18 องศาเซลเซียส ระยะเวลาการเก็บ 0 (fresh gel) 1 15 30 45 60 90 และ 120 วัน หลังการคืนรูปจากเยือกแข็งและให้ความร้อนอีกรั้ง ทดสอบที่แรงกด เพื่อให้เกิดการเปลี่ยนแปลงรูปร่างร้อยละ 15 ของความหนาเจลสตาร์ช	42
ภาพที่ 7 ผลของค่าความแข็งของเจลสตาร์ชแข็งเยือกแข็งจากข้าว ที่อุณหภูมิ -18 องศาเซลเซียส ระยะเวลาการเก็บ 1 15 30 45 60 90 และ 120 วัน หลังการคืนรูปจากเยือกแข็ง ทดสอบที่แรงกดเพื่อให้เกิดการเปลี่ยนแปลง รูปร่างร้อยละ 70 ของความหนาเจลสตาร์ช	44

หน้า	
ภาพที่ 8 ผลของค่าความแข็งของเจลสตาร์ชแช่เยือกแข็งจากข้าว ที่อุณหภูมิ -18 องศาเซลเซียส ระยะเวลาการเก็บ 0 (fresh gel) 1 15 30 45 60 90 และ 120 วัน หลังการคืนรูปจากเยือกแข็งและให้ความร้อนอีกครั้ง ทดสอบที่แรงกด เพื่อให้เกิดการเปลี่ยนแปลงรูปร่างร้อยละ 70 ของความหนาเจลสตาร์ช	46
ภาพที่ 9 ความสัมพันธ์ระหว่างปริมาณแอมิโน酇กับค่าความแข็งของ เจลแช่เยือกแข็งจากข้าวที่เก็บนาน 30 วัน ทำการคืนรูปจากเยือกแข็งและให้ความร้อนอีกครั้ง ทดสอบแรงกดที่ร้อยละ 15 ของความหนาเจลสตาร์ช	51
ภาพที่ 10 ความสัมพันธ์ระหว่างปริมาณแอมิโน酇กับค่าความแข็งของ เจลแช่เยือกแข็งจากข้าวที่เก็บนาน 30 วัน ทำการคืนรูปจากเยือกแข็งและให้ความร้อนอีกครั้ง ทดสอบแรงกดที่ร้อยละ 70 ของความหนาเจลสตาร์ช	51
ภาพที่ 11 ความสัมพันธ์ระหว่างอุณหภูมิพีค ของการเกิดเจลาทีไนเซชัน	54
ภาพที่ 12 ความสัมพันธ์ระหว่างปริมาณแอมิโน酇กับอุณหภูมิการเกิดผลึกน้ำแข็ง	54
ภาพที่ 13 ความสัมพันธ์ระหว่างอุณหภูมิเริ่มต้นการเกิดเจลาทีไนเซชันกับอุณหภูมิพีค	55
ภาพที่ 14 ความสัมพันธ์ระหว่างอุณหภูมิเริ่มต้นการเกิดเจลาทีไนเซชันกับ อุณหภูมิการเกิดผลึกน้ำแข็ง	55
ภาพที่ 15 ความสัมพันธ์ระหว่างอุณหภูมิพีคของการเกิดเจลาทีไนเซชันกับ อุณหภูมิการเกิดผลึกน้ำแข็ง	56
ภาพที่ 16 โคลามาโตแกรมของเจลสตาร์ชแช่เยือกแข็งจากข้าวชั้นนาที ระยะเวลาการเก็บที่ 1 วัน	58
ภาพที่ 17 โคลามาโตแกรมของเจลสตาร์ชแช่เยือกแข็งจากข้าวชั้นนาที ระยะเวลาการเก็บที่ 15 วัน	58

หน้า	
ภาพที่ 18 โคลามาโต้แกรมของเจลสตาร์ชແຊ່ເຢືອກແບ່ງຈາກຫ້າວໜ້າທີ 1 ระยะเวลาการเก็บที่ 30 ວັນ	59
ภาพที่ 19 โคลามาโต้แกรมของเจลสตาร์ชແຊ່ເຢືອກແບ່ງຈາກຫ້າວໜ້າທີ 1 ระยะเวลาการเก็บທີ 1 ປີ	59
ภาพที่ 20 เปรียบเทียบgraf ความหนืด (Pasting Curve) ของสตาร์ชຈາກຫ້າວໜ້າທີ 1 ความເຂັ້ມ້ານີ້ຮ້ອຍລະ 30 ທີ່ໄມ່ເຕີມແລະເຕີມສາເຈື້ອປັນອາຫາດ ຄວາມເຂັ້ມ້ານີ້ຂອງ ສາເຈື້ອປັນອາຫາດຮ້ອຍລະ 0.0, 0.2, 0.4 ແລະ 0.6 (A=ອັລຈິນຕ, B=ກັວກັມ, C=ທຣີຫາໂລສ, D=ໄຂເມທອກໜີເພັກທິນ)	62
ภาพที่ 21 ພລຂອງໜິດສາເຈື້ອປັນອາຫາດທີ່ເຕີມໃນສຕາຣ໌ຈາກຫ້າວໜ້າທີ 1 ຕ້ອງການເປີ່ຍນແປ່ງກາສທຽນໃຫ້ຈະກ່າວວ່າການເກີດເຈລາທີ່ໃໝ່ແຫ່ງ (A = ເຈລສຕາຣ໌ຈາກຫ້າວໜ້າທີ 1, B = ສຕາຣ໌ຈາກຫ້າວໜ້າທີ 1 + ອັລຈິນຕ 0.2 %, C = ສຕາຣ໌ຈາກຫ້າວໜ້າທີ 1 + ກັວກັມ 0.2 %, D = ສຕາຣ໌ຈາກຫ້າວໜ້າທີ 1 + ໄຂເມທອກໜີເພັກທິນ 0.2 %, E = ສຕາຣ໌ຈາກຫ້າວໜ້າທີ 1 + ທຣີຫາໂລສ 0.2 %)	66
ภาพที่ 22 เปรียบเทียบປິມາຜົນອັລຈິນຕ (ຮ້ອຍລະ 0.0 ຊຶ້ງ 0.6) ທີ່ເຕີມໃນ ເຈລສຕາຣ໌ຈາກຫ້າວໜ້າທີ່ຕ່ອງການເປີ່ຍນແປ່ງກາສທຽນໃຫ້ຈະກ່າວວ່າ ການເກີດເຈລາທີ່ໃໝ່ (A = ເຈລສຕາຣ໌ຈາກຫ້າວໜ້າທີ 1, B = ເຈລສຕາຣ໌ຈາກຫ້າວໜ້າທີ 1+ອັລຈິນຕ 0.2 %, C = ເຈລສຕາຣ໌ຈາກຫ້າວໜ້າທີ 1+ອັລຈິນຕ 0.4 %, D = ເຈລສຕາຣ໌ຈາກຫ້າວໜ້າທີ 1+ອັລຈິນຕ 0.6 %)	66
ภาพที่ 23 ພລຂອງຄວາມເຂັ້ມ້ານີ້ຂອງສາເຈື້ອປັນອາຫາດຕ້ອງເຈລສຕາຣ໌ພື້ນເຢືອກແບ່ງຈາກຫ້າວ ທຳການຄືນຮູ່ປາກເຢືອກແບ່ງ ວັດຄວາມແບ່ງທີ່ແຮງກວ່ອຍລະ 15 ດ້ວຍເຄື່ອງວັດລັກນະນີ້ອສັມຜັສ (TA-XT2) (A =ອັລຈິນຕ, B = ກັວກັມ, C = ໄຂເມທອກໜີເພັກທິນ, D=ທຣີຫາໂລສ)	78

หน้า	
<b>ภาพที่ 24</b> ผลของระยะเวลาการเก็บเจลสตาร์ชแห่เยื่อออกแข็งจากข้าว ทำการคืนรูปจากเยื่อออกแข็ง วัดความแข็งที่แรงครอปละ 15 ด้วยเครื่องวัดลักษณะเนื้อสัมผัส (TA-XT2) (CNT1= ชั้นนาท1, HMP = ไอยเมทอกซีเพกทิน)	80
<b>ภาพที่ 25</b> ผลของความเข้มข้นของสารเจือปนอาหารต่อเจลสตาร์ชแห่เยื่อออกแข็งจากข้าว ทำการคืนรูปจากเยื่อออกแข็งและให้ความร้อนอีกครั้ง วัดความแข็งที่ แรงครอปละ 15 ด้วยเครื่องวัดลักษณะเนื้อสัมผัส (TA-XT2) (A = อัลจิเนต, B = ก้ากัม, C = ไอยเมทอกซีเพกทิน, D=ทريชาโอลส)	81
<b>ภาพที่ 26</b> ผลของระยะเวลาการเก็บเจลสตาร์ชแห่เยื่อออกแข็งจากข้าว ทำการคืนรูปจากเยื่อออกแข็งและให้ความร้อนอีกครั้ง วัดความแข็งที่ แรงครอปละ 15 ด้วยเครื่องวัดลักษณะเนื้อสัมผัส (TA-XT2) (CNT1= ชั้นนาท1, HMP = ไอยเมทอกซีเพกทิน)	82
<b>ภาพที่ 27</b> ผลของความเข้มข้นของสารเจือปนอาหารต่อเจลสตาร์ชแห่เยื่อออกแข็งจากข้าว ทำการคืนรูปจากเยื่อออกแข็ง วัดความแข็งที่แรงครอปละ 70 ด้วยเครื่องวัดลักษณะเนื้อสัมผัส (TA-XT2) (A = อัลจิเนต, B = ก้ากัม, C = ไอยเมทอกซีเพกทิน,D = ทريชาโอลส)	83
<b>ภาพที่ 28</b> ผลของระยะเวลาการเก็บเจลสตาร์ชแห่เยื่อออกแข็งจากข้าว ทำการคืนรูปจากเยื่อออกแข็ง วัดความแข็งที่แรงครอปละ 70 ด้วยเครื่องวัดลักษณะเนื้อสัมผัส (TA-XT2) (CNT1= ชั้นนาท1, HMP = ไอยเมทอกซีเพกทิน)	84
<b>ภาพที่ 29</b> ผลของความเข้มข้นของสารเจือปนอาหารต่อเจลแห่เยื่อออกแข็ง ทำการคืนรูปจากเยื่อออกแข็ง และให้ความร้อนอีกครั้ง วัดความแข็ง ที่แรงครอปละ 70 ด้วยเครื่องวัดลักษณะเนื้อสัมผัส (TA-XT2) (A = อัลจิเนต, B = ก้ากัม, C = ไอยเมทอกซีเพกทิน, D=ทريชาโอลส)	85

	หน้า
ภาพที่ 30 ผลของระยะเวลาการเก็บเจลสตาร์ชแล่เยือกแข็งจากข้าว ทำการคืนรูปจากเยือกแข็งและให้ความร้อนอีกครั้ง วัดความความแข็ง ที่แรงดึงดูดอย่าง 70 ด้วยเครื่องวัดลักษณะเนื้อสัมผัส (TA-XT2) (CNT1= ชั้ยนาท1, HMP = ไชเมทอกซีเพกทิน)	86

**Project Code :** MRG4680170

(รหัสโครงการ)

**Project Title :** Frozen Storage and Freeze-thaw Stability of Rice Starch Gels

(ชื่อโครงการวิจัย) : ความคงตัวของเจลจากสตาร์ชข้าวที่ผ่านการแช่แข็งและแช่แข็ง-ละลาย

**Investigator :** Asst. Prof. Dr. Juntanee Uriyapongson

(ชื่อนักวิจัย) ผู้ช่วยศาสตราจารย์ ดร. จันทนี อุริยะพงศ์สารรักษ์

**E-mail Address :** juntanee@kku.ac.th

uriyapongson@yahoo.com

**Project Period :** 2 years

(ระยะเวลาโครงการ): 2 ปี

## ศึกษาคุณลักษณะ คุณสมบัติทางวิทยากรร่างกาย และความร้อนของเจลสตาร์ชแซ่บเยือกแข็งจากข้าว

ผศ. ดร. จันทนี อุริยะพงศ์สวรรค์ กรรมการ หัวযแสน Professor Dr. Inteaz Alli

### บทคัดย่อ

งานวิจัยนี้ได้ศึกษาสตาร์ชจากข้าว 9 พันธุ์ ได้แก่ ขาวดอกมะลิ 105 หอมสุพรรณบุรี หอมคลองหลวง 1 ขาวตาแห้ง 17 สุพรรณบุรี 2 สุพรรณบุรี 60 เหลืองประทิว 123 ขียนนาท 1 และพลายงามปราจีนบุรี โดยศึกษาคุณสมบัติทางเคมีเชิงฟิสิกส์ของสตาร์ชและเจลสตาร์ชของข้าวเหล่านี้ รวมทั้งวิเคราะห์ผลของการเติมสารเจือปนอาหารต่อคุณสมบัติทางเคมีเชิงฟิสิกส์ ลักษณะเนื้อสัมผัส คุณสมบัติทางความร้อนและทางวิทยากรร่างกายของเจลสตาร์ชแซ่บเยือกแข็งจากข้าวพันธุ์ขียนนาท 1 ได้จัดกลุ่มสตาร์ชจากข้าวโดยใช้ปริมาณแอมิโลส เป็น แอมิโลสต่ำ (12-20 %) และแอมิโลสปานกลาง ( 20-25 %) และแอมิโลสสูง (>25%) สตาร์ชกลุ่มแอมิโลสสูงมีค่าความหนืดที่สูงสุดและค่าการแตกตัวต่ำที่สุด ( $P \leq 0.05$ ) มีค่าความหนืดสุดท้ายและค่าการคืนตัวสูงสุด ส่วนความคงตัวในการคืนรูปจากแข็งเยือกแข็งเปรียบเทียบกับเจลสดและเจลแซ่บเยือกแข็งที่ให้ความร้อนอีกรั้ง พบร่วมกับเจลสตาร์ชจากข้าวสุพรรณบุรี 2 (แอมิโลสปานกลาง) มีความคงตัวต่อการคืนรูปจากเยือกแข็งมากที่สุด ลักษณะเนื้อสัมผัสของเจลจากข้าวกลุ่มแอมิโลสต่ำมีการเปลี่ยนแปลงไม่ต่างกันกับเจลจากข้าวกลุ่มอื่นๆ และเจลที่ให้ความร้อนอีกรั้งที่ระยะเวลาการเก็บ 1 ถึง 120 วัน แต่เจลในกลุ่มแอมิโลสสูงและปานกลางพบว่าพันธุ์ข้าวและระยะเวลาการเก็บมีผลทำให้ค่าความแข็งแย่งแตกต่างกัน โดยเจลจะมีค่าความแข็งสูงสุดที่ระยะเวลา 30 วัน อย่างไรก็ตามเจลในกลุ่มแอมิโลสสูงที่ระยะเวลาการเก็บหลังจาก 30 วัน ค่าความแข็งมีแนวโน้มลดลงตลอดระยะเวลา การเก็บจนถึง 120 วัน การวิเคราะห์คุณสมบัติทางความร้อนของสตาร์ชจากข้าว 9 พันธุ์ ที่ระดับความเข้มข้นของสตาร์ช 4 ระดับ (ร้อยละ 20 -50) ด้วยเครื่อง Differential Scanning Calorimeter (DSC) พบร่วมกับเจลกลุ่มแอมิโลสสูง ให้ค่า  $G'$  (storage modulus) สูงกว่าเจลกลุ่มแอมิโลสปานกลางและต่ำ สำหรับการศึกษาการเติมสารเจือปนอาหาร 4 ชนิด (อัลจินेट กาวกัม ไฮเมทอกซ์เพกทิน และทรีชาโลส) ที่ความเข้มข้น 4 ระดับ (ร้อยละ 0 ถึง 0.6) ในเจลจากข้าวพันธุ์ขียนนาท 1 ที่ความเข้มข้นของสตาร์ชร้อยละ 30 โดยน้ำหนักแห้ง พบร่วมกับนิคและสารเจือปนอาหารทั้ง 4 ชนิด มีผลต่อคุณสมบัติการเกิดเพสต์ ( $P \leq 0.05$ ) ซึ่งการเติมสารไฮโดรคออลอยด์ ให้ค่าความหนืดที่สูงสุด ค่าความหนืดสุดท้าย และค่าการคืนตัวเพิ่มขึ้น แต่ค่าการแตกตัว ค่าความหนืดสุดท้าย และค่าการคืนตัว ไม่แตกต่างจากข้าวขียนนาท 1 สำหรับเจลแซ่บเยือกแข็งที่เติมและไม่เติมสารเจือปนอาหารทั้ง 4 ชนิด มีค่าความแข็งเพิ่มขึ้นอย่างรวดเร็วในช่วงของการแซ่บเยือกแข็งที่เวลา 30 ถึง 45 วัน หลังจากนั้นค่าความแข็งของเจลจะลดลงอย่างรวดเร็วที่ 60 วัน และจะคงที่จนถึงการแซ่บเยือกแข็งที่ 120 วัน โดยที่ความเข้มข้นตั้งแต่ร้อยละ 0.2 ถึง 0.6 ของสารเจือปนอาหารทั้ง 4 ชนิด ส่งผลให้ค่า  $T_{gf}$  และ  $T_{cc}$  สูงขึ้น ชนิดและปริมาณสารเจือปนอาหารมีผลทำให้ค่า  $G'$  แตกต่างกัน แต่มีผลต่อค่า  $G''/\tan \delta$

(คำหลัก): สตาร์ชจากข้าว เจล ความคงตัวต่อการแซ่บเยือกแข็ง เนื้อสัมผัส คุณสมบัติด้านความร้อน

## **Characterization, Rheological and Thermal Properties of Frozen Rice Starch Gel**

Juntanee Uriyapongson<sup>a</sup>, Kannika Huaisan<sup>a</sup>, and Inteaz Alli<sup>b</sup>

<sup>a</sup>Department of Food Technology, Khon Kaen University, Thailand

<sup>b</sup> Department of Food Science and Agricultural Chemistry, McGill University, Canada

### **ABSTRACT**

The starch from nine rice varieties grown in Thailand (KaoDokmali105, KDM105; Homsupanbure, HSPR; HomklongLaung1, HKLG1; KaoTaHang17, KTH17; Supanbure2, SPR2; Supanburi60, SPR60; LeungPraTew123, LPT123; Chainat1, CNT1; and PlaiNgramPrajeenBuri, PNPCR) were studied. The physicochemical properties of their isolated starch and their gels were characterized. The effects of food additives on the physicochemical properties of rice starch, textural, thermal and rheological properties of frozen rice gels produced from CNT1 were also studied. The rice varieties were classified as low (12-20 %), medium (20-25 %), and high (>25 %) amylose content. High amylose rice starches had the lowest peak viscosity and breakdown and the highest final viscosity and setback. Freeze-thawing cycles produced softer texture gels compared to the fresh gels and SPR2 gel (medium amylose content) showed the highest freeze-thawed stability. The low amylose gels showed no significant changes in texture for all frozen and reheated gels. For high and medium amylose gels, rice varieties and frozen storage time affected hardness of frozen and reheated gels. Higher gel texture was observed for high and medium amylose gels and at 30 days of frozen storage time. Overall, high amylose gels showed the highest hardness at 30 days of frozen storage and decreased from 30 to 120 days. Thermal properties of starch from the nine rice varieties and 4 levels of starch concentration (20 to 50%) were studied by differential scanning calorimetry. Rice variety and starch concentration affected the thermal properties of the gels ( $T_o$ ,  $T_p$  and  $\Delta H_G$ ). High amylose gels were more solid-like, higher storage modulus ( $G'$ ), than medium and low amylose gels. Four food additives (alginate, guar gum, high methoxyl pectin and trehalose) at 4 levels of concentration (0 to 0.6 %) in 30 % (w/w) in CNT1 starch were studied. Pasting properties of CNT1 starch were affected by types and levels of food additives. All hydrocolloid increased peak viscosity, final viscosity, and setback of starch suspension but trehalose showed similar properties to the control CNT1 starch. The effect of additives and levels on gel hardness during frozen storage can be summarized as increasing from 30 to 45 days, decreasing up to 60 days followed by no change until 120 days. All additives at 0.2 to 0.6% increased  $T_{gf}$  and  $T_{cc}$ . The types and levels of additives affected  $G'$  but not  $G''$  and tan delta.

---

**Keywords :** Rice starch, gel, freeze-thaw stability, texture, DSC

## วัตถุประสงค์

1. เพื่อศึกษาความสัมพันธ์ของปริมาณแอมิโลสในแป้งข้าวต่อคุณลักษณะของเนื้อสัมผัสของเจลสด และเจลแข็ง
2. เพื่อศึกษาถึงความคงตัวของเจลจากแป้งข้าวต่อการคืนรูปจากเยือกแข็ง
3. เพื่อศึกษาถึงความคงตัวของเจลจากแป้งข้าวเมื่อแข็งเยือกแข็งระยะเวลาต่าง ๆ กัน
4. เพื่อศึกษาผลกระทบของความเข้มข้นของแป้งข้าวต่อการเปลี่ยนแปลงของค่าอุณหภูมิกลางานซิชัน (Glass Transition temperature)
5. เพื่อศึกษาผลกระทบของสารเจือปนอาหาร (food additives) ต่อคุณลักษณะของเจลจากแป้งข้าวการแข็งที่ช่วงเวลาต่าง ๆ ในการการแข็งเยือกแข็ง
6. เพื่อศึกษาผลกระทบสารเจือปนอาหาร(food additives) ต่อการเปลี่ยนแปลงของค่าอุณหภูมิกลางานซิชัน (Glass Transition temperature)

## วิธีการทดลอง

### 1. วัสดุ อุปกรณ์และเครื่องมือ

#### 1.1 สารเคมี

1.1.1 แอมิโลสบริสุทธิ์ (Amylose from Potatoes) AR Grade ของบริษัท Fluka ประเทศสวิตเซอร์แลนด์

1.1.2 แอมิโลเพกติน (Amylopectin from Potato Starch) AR Grade ของบริษัท Fluka ประเทศสวิตเซอร์แลนด์

1.1.3 โซเดียมไฮดรอกไซด์ (Sodium Hydroxide; NaOH) AR Grade ของบริษัท Merck ประเทศเยอรมันนี

1.1.4 ปิโตรเลียมอีเธอร์ (Petroleum ether) AR Grade ของบริษัท Merck ประเทศเยอรมัน

1.1.5 แอลกอฮอล์บริสุทธิ์ (Absolute ethanol; C<sub>2</sub>H<sub>5</sub>OH) AR Grade ของบริษัท Merck ประเทศเยอรมันนี

1.1.6 โพแทสเซียมไอโอดไรด์ (Potassium Iodide; KI) AR Grade ของบริษัท Merck ประเทศเยอรมันนี

1.1.7 ไอโอดีน (Iodide; I<sub>2</sub>) AR Grade ของบริษัท Merck ประเทศเยอรมันนี

1.1.8 กรดไฮโดรคลอริก (Hydrochloric acid 37 %; HCl) AR Grade ของบริษัท Merck ประเทศเยอรมัน

1.1.9 กรดซัลฟูริก (Sulfuric acid; H<sub>2</sub>SO<sub>4</sub>) AR Grade ของบริษัท Merck ประเทศไทยเยอรมันนี

1.1.10 สารป้องกันการเกิดฟอง (Silicone antifoam) AR Grade ของบริษัท Fluka ประเทศไทยสวิสเซอร์แลนด์

1.1.11 ทรีฮาโลส (Trehalose) AR Grade ของบริษัท Sigma-Aldrich ประเทศไทยเยอรมันนี

1.1.12 กาวกัม (Guar gum) AR Grade ของบริษัท Sigma ประเทศไทยอินเดีย

1.1.13 อัลจิเนต (Alginate) AR Grade ของบริษัท Fluka ประเทศไทยสวิสเซอร์แลนด์

1.1.14 ไสเมทอกซิเพกติน (High Methoxyl Pectin) Food Grade ของบริษัท Billion Rich Gold Co., Ltd., ประเทศไทย

1.1.15 Dimethyl Sulfoxide (DMSO) ของบริษัท Sigma-Aldrich ประเทศไทยเยอรมันนี

1.1.16 สารมาตราฐานแดร็กแตรน (Dextran Standards) ของบริษัท Sigma-Aldrich ประเทศไทยเยอรมันนี ที่มีน้ำหนักโมเลกุลดังนี้ 8,500-11,500; 64,000-76,000; 2,000,000 และมากกว่า 5,000,000

## 1.2 อุปกรณ์และสารเคมี

1.2.1 ชุดเครื่องกลั่น (Kjeltec System) รุ่น 1022 Distilling unit ของบริษัท Tecator ประเทศไทยเนเธอร์แลนด์

1.2.2 ชุดเครื่องสกัดไขมัน (Extraction unit) รุ่น Soxtec system HT6 ของบริษัท Tecator ประเทศไทยเนเธอร์แลนด์

1.2.3 เตาเผาอุณหภูมิสูง (Muffle furnace) รุ่น ELF 10/14 ของบริษัท Carbolite ประเทศไทยอังกฤษ

1.2.4 เตาอบลมร้อน (Hot Air Oven)

1.2.5 เครื่องวัดการดูดกลืนแสง (Spectrophotometer) รุ่น Lampda 2 ของบริษัท Perkin-Elmer ประเทศไทยสวีซ์อเมริกา

1.2.6 เครื่องวัดลักษณะเนื้อสัมผัส (Texture Analyzer) รุ่น TA-XT2 ของบริษัท Stable Micro System ประเทศไทยอังกฤษ

1.2.7 เครื่องวัดความหนืดของแป้ง (Rapid Visco™ Analyser ; RVA) รุ่น RVA ของบริษัท Newport Scientific Pty. Ltd. Warriewood ประเทศไทยออสเตรเลีย

1.2.8 เครื่องปั่นเหวี่ยงแยกสารที่อุณหภูมิต่ำ (Refrigerate Centrifuge) รุ่น AvantiTM J-25 ของบริษัท Beckman ประเทศไทยสวีซ์อเมริกา

1.2.9 เครื่องวัด Differential Scanning Calorimeter (DSC) รุ่น DSC Q100 ของบริษัท TA Instruments, Newcastle, DE, ประเทศสหรัฐอเมริกา

1.2.10 เครื่องชั่งละอีบด (Balance) รุ่น AB104 ของบริษัท Metler Toledo ประเทศสวิตเซอร์แลนด์

1.2.11 ตู้อบแบบลมร้อน (Tray drier) ของบริษัท OFM ผลิตในประเทศไทย

1.2.12 ตู้ดูดความชื้น (Damp-proof Cabinet) ยี่ห้อ Bossmen รุ่น SMK106 (A)

1.2.13 เครื่อง HPSEC (High Performance Size Exclusion Chromatography) ของบริษัท Water Associates (Milford, MA) ประกอบด้วย เครื่องควบคุม (Water 600 Controller) เครื่องตรวจจับ (Water 410 Differential Refractometer) เครื่องฉีดตัวอย่างอัตโนมัติ (Water 717 plus Autosampler) พร้อมเครื่องคอมพิวเตอร์ควบคุมการทำงาน

1.2.14 ชุดคอลัมน์ (Column) ของบริษัท Water Associates (Milford, MA)  
ประกอบด้วย Ultrahydrogel linear, Ultrahydrogel 120

1.2.15 เครื่อง Ultrasonic

1.3 การวิเคราะห์และประมวลผลทางสถิติ ข้อมูลที่ได้จากการทดลองทำการวิเคราะห์และประมวลผลทางสถิติโดยใช้โปรแกรมสำเร็จรูป SAS Version 9.1 (SAS Institute, Cary, NC)

## วิธีการทดลองงานวิจัยส่วนที่ 1

ผลของระยะเวลาการแช่เยือกแข็งและความคงตัวต่อการคืนรูปจากเยือกแข็งของเจลสาร์ซจากข้าว

### 1. วัสดุดิบ

1.1 ตัวอย่างสาร์ซข้าวจากเมล็ดพันธุ์ข้าวเจ้า 9 สายพันธุ์ ได้แก่ ขาวดอกมะลิ 105 (KDM105) จากการเพาะปลูกนอกเขตทุ่งกุลาร่องให้ จังหวัดร้อยเอ็ด ผลิตในปี 2545 หอมสุวรรณบุรี (HSPR) หอมคลองหลวง 1 (HKLG1) ขาวตาแห้ง 17 (KTH17) หอมสุวรรณบุรี 2 (SPR2) หอมสุวรรณบุรี 60 (SPR60) เหลืองประทิว 123 (LPT123) ขี้ยนาท 1 (CNT1) พลายงามปราจีนบุรี (PNPCR) ข้าวพันธุ์หลักที่ผลิตในฤดูฝนปี 2545 จากสถาบันวิจัยข้าว กรมวิชาการเกษตร จังหวัดปทุมธานี

### 1.2 การเตรียมตัวอย่างสตาร์ชจากข้าว

ตัวอย่างสตาร์ชจากเมล็ดพันธุ์ข้าวเจ้า 9 สายพันธุ์ นำໄไปผ่านขั้นตอนการสกัดสตาร์ชจากข้าวโดยวิธีการโม่เปียก (wet milling) ดัดแปลงตามวิธีของ Juliano (1985); Puchongkavarin and others (2003) โดยนำข้าวสารแข็งในสารละลายโซเดียมไฮดรอกไซด์ที่มีความเข้มข้นร้อยละ 0.4 โดยนำหัวนักต่อน้ำหันก เก็บไว้ที่อุณหภูมิ 5 องศาเซลเซียส นาน 24 ชั่วโมง ใช้อัตราส่วนข้าวสารต่อสารละลายโซเดียมไฮดรอกไซด์ 1:5 (น้ำหัวนักต่อน้ำหันก) หลังจากนี้นำໄไปผ่านการโม่เปียกด้วยเครื่องไม่พิน นำน้ำเปลี่ยนที่ได้ไปกรองด้วยตะกรงขนาด 200 เมช (mesh) แล้วนำໄไปเหวี่ยงแยกสารละลายค้างออกด้วยเครื่องเหวี่ยงแยกอุณหภูมิต่ำ ที่อุณหภูมิ 20 องศาเซลเซียส ด้วยความเร็วรอบ 1000xg นาน 20 นาที และแยกส่วนของโปรตีนออกจากสตาร์ชเปียก แล้วนำสตาร์ชเปียกผสมกับน้ำประปา อัตราส่วน 1:2 (ปริมาตรต่อปริมาตร) นำน้ำสตาร์ชจากข้าวໄไปเข้าเครื่องเหวี่ยงแยกอุณหภูมิต่ำ ที่อุณหภูมิ 20 องศาเซลเซียส ด้วยความเร็วรอบ 1000xg นาน 20 นาที และแยกส่วนโปรตีนออกจากสตาร์ชเปียก ทำเช่นนี้ 3 ครั้ง ต่อจากนี้นำน้ำสตาร์ชปรับให้เป็นกลางด้วยสารละลายกรดซัลฟูริกที่มีความเข้มร้อยละ 10 จนกระทั้งน้ำสตาร์ชมีค่าพีเอช 7 หลังจากนี้นำน้ำสตาร์ชจากข้าวໄไปเข้าเครื่องเหวี่ยงแยกอุณหภูมิต่ำ ที่อุณหภูมิ 20 เซลเซียส ด้วยความเร็วรอบ 4250xg นาน 10 นาที และแยกโปรตีนออกจากสตาร์ชเปียก ทำเช่นเดียวกันนี้อีก 2 ครั้ง แล้วนำสตาร์ชเปียกวางไว้ที่อุณหภูมิห้องจนกระทั้งน้ำระเหยไปบางส่วน แล้วจึงนำสตาร์ชໄไปผ่านอบแห้งด้วยตู้อบแบบลมร้อน ที่อุณหภูมิไม่เกิน 38 องศาเซลเซียส นาน 48 ชั่วโมง สตาร์ชจากข้าวที่ได้ใส่ถุงซิป และเก็บตัวอย่างสตาร์ชจากข้าวที่ได้ในโถดูดความชื้น จนกระทั้งศึกษาและวิเคราะห์ดังต่อไปนี้

### 1.3 วิเคราะห์องค์ประกอบทางเคมีของสตาร์ชจากข้าว

วิเคราะห์องค์ประกอบทางเคมีของสตาร์ชจากข้าว ได้แก่ ปริมาณความชื้น โปรตีน ไขมัน เถ้าและแอมิโน\_acid โดยวิธีของ AACC Approved Methods 44-19, 46-13, 30-25 08-01 (1995) และ AACC Approved Methods 61-03 (2003) ตามลำดับ

วางแผนการทดลองแบบ Completely Randomized Design (CRD) วิเคราะห์ความแปรปรวนและเปรียบเทียบความแตกต่างโดยใช้ Duncan's New Multiple Range Test (DMRT) ทำการทดลองจำนวน 3 ชุด

#### 1.4 วิเคราะห์คุณสมบัติความหนืดของสตาร์ชข้าว (Pasting properties)

คุณสมบัติการเกิดเจลาตีไนเซชันและความหนืดของสตาร์ชข้าว โดยใช้เครื่อง Rapid Visco<sup>TM</sup> Analyser (RVA) (Newport Scientific Pty. Ltd. Warriewood Australia) AACC Approved Methods 61-02 (1995) โดยศึกษาตัวอย่างสตาร์ชจากข้าวทุกสายพันธุ์ โดยเตรียมตัวอย่างสตาร์ชจากข้าวให้มีปริมาณความชื้นร้อยละ 12 โดยนำหนักแห้ง (น้ำหนักต่อน้ำหนัก) ทำการวัดค่าต่าง ๆ จากการควบคุมด้วยคอมพิวเตอร์โดยให้ความร้อนและความเย็นจากอัตราแรงเพื่อนที่คงที่ดังนี้ เตรียมตัวอย่างสตาร์ชในน้ำกลั่น นำตัวอย่างที่เตรียมไปใส่ในเครื่องและใส่หัวพายติดตั้ง โปรแกรมการทำงานดังนี้ ที่อุณหภูมิ 50 องศาเซลเซียส กวนตัวอย่างที่ความเร็วรอบ 960 rpm และลดลงเหลือ 160 rpm รวมระยะเวลา 1นาที ทำการเพิ่มอุณหภูมิตัวอย่างจาก 50 องศาเซลเซียส จนกระทั่งถึงอุณหภูมิ 95 องศาเซลเซียส ในอัตราอุณหภูมิที่เพิ่มขึ้น 12.9 องศาเซลเซียสต่อนาที ระยะเวลา 4.48 นาที และคงที่อุณหภูมิ 95 องศาเซลเซียส นาน 7.18 นาที ต่อจากนี้ให้ความเย็นแก่ตัวอย่างจนกระทั่งอุณหภูมิลดลงถึงอุณหภูมิ 50 องศาเซลเซียส ในอัตราที่อุณหภูมิลดลง 11.6 องศาเซลเซียสต่อนาที รวมระยะเวลาการวิเคราะห์ 12 นาที 30 วินาที

วางแผนการทดลองแบบ Completely Randomized Design (CRD) วิเคราะห์ความแปรปรวนและเบริยมเทียบความแตกต่างโดยใช้ Duncan's New Multiple Range Test (DMRT) ทำการทดลองจำนวน 3 ชุด

#### 1.5 ศึกษาการเปลี่ยนแปลงของสมบัติทางความร้อน (Thermal properties)

การเปลี่ยนแปลงของสมบัติทางความร้อนของสตาร์ชจากข้าว วิเคราะห์โดยใช้เครื่อง Differential Scanning Calorimeter (DSC) รุ่น DSC Q100 (TA Instruments Newcastle, DE, ประเทศสหรัฐอเมริกา) ถ้วยอะลูมิเนียม (sample pan) เบอร์ 900793.901 T20109 ฝาปิดเบอร์ 900794.901 T11102 นำหนักตัวอย่างสตาร์ชผสมน้ำกลั่น 10-15 มิลลิกรัม และปิดฝาให้สนิท หลังจากนี้วางทิ้งไว้ที่อุณหภูมิห้อง นาน 1 ชั่วโมง ทำการทดสอบดังนี้ ให้ความร้อนเพื่อให้สตาร์ชเกิดเจลาตีไนเซชัน โดยให้อุณหภูมิเพิ่มขึ้นจากอุณหภูมิ 30 องศาเซลเซียส จนกระทั่งอุณหภูมิถึง 90 องศาเซลเซียส แล้วลดอุณหภูมิลงจนกระทั่งถึงอุณหภูมิ -60 องศาเซลเซียส ท่ออัตรา 20 องศาเซลเซียสต่อนาที ต่อจากนี้เพิ่มอุณหภูมิอีกรั้งจนกระทั่งอุณหภูมิถึง 20 องศาเซลเซียส ท่ออัตรา 5 องศาเซลเซียสต่อนาที แล้ววิเคราะห์ค่าอุณหภูมิเริ่มต้น (onset temperature;  $T_o$ ) อุณหภูมิพีค (peak temperature;  $T_p$ ) และค่าเอนทัลปี (enthalpy;  $\Delta HG$ ) ของการเกิดเจลาตีไนเซชัน (gelatinization) วิเคราะห์การแข็งเยือกแข็ง (freezing) ได้แก่ ค่าอุณหภูมิกลางานซิชันของการแข็งเยือกแข็ง ( $T_{gf} =$  glass transition temperature of freezing) อุณหภูมิการเกิดผลึกน้ำแข็งระหว่างการแข็งเยือกแข็ง ( $T_{cc} =$

cold-crystallization) ค่าอ่อนทัลปีของการแข็งเยือกแข็ง (enthalpy of freezing,  $\Delta H_f$ ) และให้ความร้อนอีกครั้ง (reheating) ของเจลสตาร์จากข้าว ได้แก่ อุณหภูมิกลางานชิ้นของการให้ความร้อนอีกครั้ง (glass transition temperature of reheating,  $T_g$ ) อุณหภูมิการหลอมละลายของการให้ความร้อนอีกครั้ง (melting temperature of reheating หรือ ice melting temperature,  $T_m$ ) และค่าอ่อนทัลปีของการให้ความร้อนอีกครั้ง (enthalpy of reheating;  $\Delta H$ ) ดัดแปลงตามวิธีของ Huang and others (1994); Chung and others (2002)

การวางแผนการทดลองแบบ 9x4 Factorial in Completely Randomized Design ปัจจัยที่ศึกษามี 2 ปัจจัยดังนี้ ปัจจัยที่ 1 คือ พันธุ์ข้าวเจ้า 9 พันธุ์ ปัจจัยที่ 2 คือ ความเข้มข้นของสตาร์จากข้าว 4 ระดับ (ร้อยละ 20 30 40 และ 50) วิเคราะห์ความแปรปรวน และเปรียบเทียบความแตกต่างโดยใช้ Duncan's New Multiple Range Test (DMRT) ทำการทดลอง 2 ชั้น

### 1.6 ศึกษาคุณสมบัติการคืนรูปจากเยือกแข็ง

1.6.1 การเตรียมเจลสตาร์จากข้าวเพื่อใช้ในการทดสอบคุณสมบัติการคืนรูปจากเยือกแข็ง และผลกระทบของระยะเวลาการเก็บเจลสตาร์แข็งเยือกแข็ง โดยคัดเลือกระดับความเข้มข้นของสตาร์จากผลการศึกษาในส่วนที่ 1 ข้อ 1.5 วิธีการเตรียมเจลสตาร์จากข้าวแต่ละสายพันธุ์ โดยนำสตาร์ซึ่งสมรวมกับน้ำกลั่น ให้มีความเข้มข้นร้อยละ 30 โดยนำน้ำหนักแห้ง แล้วคุณสารแวนโนย น้ำสตาร์ที่เตรียมไว้ด้วยไชริงค์จำนวน 20 มิลลิลิตร ใส่ลงในเพสติดิส (Petri-dishes) ขนาดเส้นผ่านศูนย์กลาง 60 มิลลิเมตร สูง 15 มิลลิเมตร ปิดฝาเพสติดิส และนึ่งเจลสตาร์จากข้าวที่อุณหภูมิ น้ำเดือด ระยะเวลานาน 20 นาที วางทิ้งไว้ให้เย็นที่อุณหภูมิ 25 องศาเซลเซียส นาน 30 นาที นำเจลสตาร์ไปแข็งเยือกแข็งด้วยเครื่องแข็งเยือกแข็งแบบลมเย็นที่อุณหภูมิ -30 องศาเซลเซียส จนกระทั่งอุณหภูมิจอกลางเจลสตาร์ซึ่งมีอุณหภูมิ -10 องศาเซลเซียส นำเจลสตาร์แข็งเยือกแข็งบรรจุใส่ในถุงพลาสติกซิป (Ziploc plastic bag) ชนิดพอลีเอทธิลีน ขนาด 7 คูณ 10 เซนติเมตร แล้วนำไปเก็บไว้ที่อุณหภูมิ -18 องศาเซลเซียส

1.6.2 ศึกษาผลกระทบจากการคืนรูปจากเยือกแข็ง จำนวน 5 รอบ (Freeze-thaw 5 cycles) ของเจลสตาร์จากข้าว โดยทำการแข็งเยือกแข็งที่อุณหภูมิ -18 องศาเซลเซียส นาน 20 ชั่วโมง และทำการคืนรูปจากเยือกแข็งติดต่อ กัน 5 รอบ ที่อุณหภูมิ 25 องศาเซลเซียส นาน 4 ชั่วโมง ดัดแปลงตามวิธีของ Lee and others (2002) วางแผนการทดลองแบบ Completely Randomized Design (CRD) วิเคราะห์ความแปรปรวน และเปรียบเทียบความแตกต่างโดยใช้ Duncan's New Multiple Range Test (DMRT) ทำการทดลองจำนวน 3 ชั้น นำตัวอย่างเจลสตาร์ไปวิเคราะห์ลักษณะเนื้อสัมผัสและการขับของเหลวออกจากเจล ดังนี้

(1) วิเคราะห์การเปลี่ยนแปลงของเนื้อสัมผัสของเจลสตาร์ชจากข้าว โดยใช้เครื่องวัดลักษณะเนื้อสัมผัส (Texture Analyzer รุ่น TA-XT2 ของบริษัท Stable Micro System ประเทศอังกฤษ) โดยทำการทดสอบเนื้อสัมผัสของเจลสตาร์ช 2 แบบคือ แบบแรกใช้การทดสอบวัดค่าแรงกด (Compression) เพื่อให้เกิดการเปลี่ยนแปลงของรูปร่าง (deformation) ที่ร้อยละ 15 และ ร้อยละ 70 ของความหนาของเจลสตาร์ช โดยกำหนดค่าการวัดดังนี้ ค่าความเร็วหัววัดก่อนทดสอบเท่ากับ 2 มิลลิเมตรต่อวินาที และความเร็วหัววัดระหว่างทดสอบ เท่ากับ 1 มิลลิเมตรต่อวินาที ความเร็วหัววัดหลังการทดสอบ เท่ากับ 10 มิลลิเมตรต่อวินาที ใช้หัวกรูปทรงกระบอกด้านเส้นผ่านศูนย์กลาง 3 มิลลิเมตร หน่วยที่ใช้วัดเป็น กรัมแรง คำนวณค่าความแข็งของเจลสตาร์ช (Hardness) ด้วยแปลงตามวิธีของ Bejosano and Corke (1999) ซึ่งทำการวัดลักษณะเนื้อสัมผัสของเจลสตาร์ช ดังนี้

(1.1) เจลที่ผ่านการแช่เยือกแข็ง แล้วทำการคืนรูปจากเยือกแข็ง (freeze-thaw gels) ติดต่อกัน 5 รอบ

(1.2) เจลที่ผ่านการแช่เยือกแข็ง แล้วทำการคืนรูปจากเยือกแข็ง (freeze-thaw gels) ติดต่อกัน 5 รอบ และให้ความร้อนอีกครั้ง (freeze-thaw 5 cycles-reheat gels)

(2) วิเคราะห์ผลการขับของเหลวออกจากเจล (Syneresis) โดยนำเจลสตาร์ชจากข้าวที่ผ่านการแช่เยือกแข็งและคืนรูปจากเยือกแข็งที่อุณหภูมิ 25 องศาเซลเซียส นาน 4 ชั่วโมง ชั้งน้ำหนักเจลสตาร์ช โดยชั่งน้ำหนักเจลสตาร์ชบนกระดาษกรองเบอร์ 1 (Whatman No.1) ขนาดเส้นผ่านศูนย์กลาง 7 เซนติเมตร ใช้ตุ้มน้ำหนัก (stainless steel cylinder) ขนาด 1 กิโลกรัม วางทับบนเจลสตาร์ช นาน 15 วินาที ทำการซั่งน้ำหนักกระดาษกรองที่ดุดชั้นน้ำที่แยกตัวออกจากเจล ด้วยแปลงตามวิธีของ Lee and others (2002) คำนวณร้อยละการขับของเหลวออกจากเจล ดังนี้ การขับของเหลวออกจากเจล (ร้อยละ) เท่ากับ (น้ำหนักเจลสตาร์ชก่อนแช่เยือกแข็ง ลบด้วย น้ำหนักเจลสตาร์ชหลังการล้าง) หารด้วย น้ำหนักเจลสตาร์ชก่อนแช่เยือกแข็ง คูณ 100

### 1.7 ศึกษาผลกระทบของระยะเวลาการเก็บเจลสตาร์ชแช่เยือกแข็งจากข้าว

#### 1.7.1 ทำการเตรียมตัวอย่างเจลสตาร์ชจากข้าวเข่นเดียวกันกับข้อที่ 1.6.1

1.7.2 นำเจลสตาร์ชแช่เยือกแข็งจากข้าว ทำการคืนรูปจากเยือกแข็ง (thawing) ที่อุณหภูมิ 25 องศาเซลเซียส นาน 4 ชั่วโมง แล้วนำวัดลักษณะเนื้อสัมผัส และการขับของเหลวออกจากเจล ด้วยวิธีการเดียวกันกับส่วนที่ 1 ข้อ 2.6.2 (1) – 2.6.2 (2) โดยวางแผนการทดลองแบบ 9x7 Factorial in Completely Randomized Design (CRD) มี 2 ปัจจัย ดังนี้ ปัจจัยที่ 1 คือ ชนิดสตาร์ชจากข้าว จำนวน 9 พันธุ์ ปัจจัยที่ 2 คือ ระยะเวลาการเก็บเจลสตาร์ชจากข้าว (1 15 30 45 60 90 และ 120 วัน)

วิเคราะห์ความแปรปรวนและเปรียบเทียบความแตกต่างโดยใช้ Duncan's New Multiple Range Test (DMRT) ทำการทดลองจำนวน 3 ชั้น

1.7.3 นำเจลสตาร์ชที่แช่เยือกแข็งจากข้าว ทำการคืนรูปจากเยือกแข็ง ที่อุณหภูมิ 25 องศาเซลเซียส นาน 4 ชั่วโมง และทำการให้ความร้อนอีกครั้ง (reheat) โดยก่อนทำการทดสอบ ให้นำเจลสตาร์ชไปนึ่งในลังถึงที่อุณหภูมน้ำเดือด นาน 20 นาที วางให้เย็นที่อุณหภูมิ 25 องศาเซลเซียส นาน 30 นาที การวัดลักษณะเนื้อสัมผัสวิธีการเดียวกันกับส่วนที่ 1 ข้อ 1.6.2 โดยวางแผนการทดลองแบบ 9x8 Factorial in Completely Randomized Design (CRD) มี 2 ปัจจัย ดังนี้ ปัจจัยที่ 1 คือ ชนิดสตาร์ชจากข้าว จำนวน 9 พันธุ์ ปัจจัยที่ 2 คือ ระยะเวลาการเก็บเจลสตาร์ชจากข้าว 0 (เจลสด) 1 15 30 45 60 90 และ 120 วัน วิเคราะห์ความแปรปรวน และเปรียบเทียบความแตกต่างโดยใช้ Duncan's New Multiple Range Test (DMRT) ทำการทดลองจำนวน 3 ชั้น

1.8 การวิเคราะห์ปฏิกิริยาออกซิเดชัน (oxidation) กับ กรดแอกโซกร์บิก โดยวิธีของ Biliaderis et al. (1999) การวิเคราะห์ปฏิกิริยาออกซิเดชัน (oxidation) กับ กรดแอกโซกร์บิก ซึ่งจากทำการทดลอง oxidation เมื่อต้น พบว่าวิธีการนี้ไม่เหมาะสมในการวิเคราะห์การเปลี่ยนแปลงของเจลสตาร์ชแช่เยือกแข็งจากข้าว เนื่องจากค่าที่ได้จากการทดลอง ไม่สามารถแยกความแตกต่างของการเกิดออกซิเดชันได้ ซึ่งอาจจะเป็นเพราะการเกิดปฏิกิริยานี้มีน้อยมาก จึงได้ทำการวิเคราะห์การเปลี่ยนแปลงขนาดโน้มถ่วงของสตาร์ชแทน โดยใช้วิธี HPSEC (High Performance Size Exclusion Chromatography) ดัดแปลงตามวิธีของ Miladinov and Hanna (2000) ตัวอย่างเจลสตาร์ชที่เตรียมไว้ นำมาฉีดเข้าเครื่อง HPSEC ที่ประกอบด้วย 3 คอลัมน์ต่อ กันดังนี้ Ultrahydrogel linear, Ultrahydrogel 120 และ Ultrahydrogel 120 โดยมีปริมาตรของตัวอย่างที่ฉีด 20 ไมโครลิตร ใช้น้ำดื่มอ่อน เป็นเฟสเคลื่อนที่ (Mobile phase) และใช้อัตราการไหล (flow rate) 1 มิลลิลิตรต่อนาที ตรวจจับสารละลายตัวอย่างด้วยเครื่อง Differential refractometer detector ซึ่งควบคุมการทำงานด้วยระบบคอมพิวเตอร์

## วิธีการทดลองงานวิจัยส่วนที่ 2

### ผลการเติมสารเจือปนอาหารในเจลสตาร์ชจากข้าว (เจลสด และเจลแช่แข็ง)

2.1 การเตรียมสตาร์ชจากข้าว เมล็ดข้าวพันธุ์หลักที่ผลิตในฤดูฝนปี 2545 จากสถาบันวิจัยข้าว กรมวิชาการเกษตร จำนวน 1 พันธุ์ (จากผลการศึกษาในส่วนที่ 1) ผ่านขั้นตอนการสกัดสตาร์ชจากข้าว เช่นเดียวกับการศึกษาในส่วนที่ 1 ดัดแปลงตามวิธีของ Juliano (1985) ; Puchongkavarin and others (2003)

2.2 นำสารเจือปนอาหาร 4 ชนิด ได้แก่ ทรีชาโรส (Trehalose) อัลจิเนต(Alginate) กัวกัม (Guar Gum) และ ไฮเมทอกซีเพกติน (High Methoxyl Pectin) ศึกษาปริมาณสารเจืออาหาร ร้อยละ 0.0 0.2 0.4 และ 0.6 โดยนำหนักสตาร์ชแห้ง

การเตรียมสารเจือปนอาหาร โดยชั่งสารเจือปนอาหารร้อยละ 0.2 0.4 และ 0.6 โดยนำหนักสตาร์ชแห้งไปคละลายในน้ำกากลั่น (น้ำหนักต่อน้ำหนัก) ในบีกเกอร์ แล้วนำบีกเกอร์ที่มีสารละลายวางบนเครื่องให้ความร้อนที่มีการควบคุมตลอดเวลา (hot plate-magnetic stirrer) ที่อุณหภูมิ 100 องศา เชลเซียส นาน 20 นาที หลังจากนั้นวางทิ้งไว้ให้เย็นจนกระทั้งเท่ากับอุณหภูมิห้อง ถ้าปริมาณน้ำลดลงให้เติมน้ำให้ได้น้ำหนักเท่าเดิม

### 2.3 วิเคราะห์องค์ประกอบทางเคมีของสตาร์ชจากข้าว

วิเคราะห์องค์ประกอบทางเคมีของสตาร์ชจากข้าว ได้แก่ ปริมาณความชื้น โปรตีน ไขมัน เผ้าและแอมโมไนต์ โดยวิธีของ AACC Approved Methods 44-19, 46-13, 30-25 08-01 (1995) และ AACC Approved Methods 61-03 (1999) ตามลำดับ

### 2.4 วิเคราะห์คุณสมบัติของความหนืด (Pasting properties)

คุณสมบัติการเกิดเจลาติในเชื้อนและความหนืดของเจลสตาร์ชจากข้าวที่ไม่เติมและเติมสารเจือปนอาหารชนิดต่าง ๆ ตามข้อ 1.4 โดยใช้เครื่อง Rapid Visco™ Analyser (RVA) (Newport Scientific Pty. Ltd. Warriewood Australia) AACC Standard method Approved Methods (1995) 61-02 ทำการวางแผนแบบ 4x4 Factorial in Completely Randomized Design ปัจจัยที่ศึกษามี 2 ปัจจัยดังนี้ ปัจจัยที่ 1 คือ สารเจือปนอาหาร 4 ชนิด (ทรีชาโรส อัลจิเนต กัวกัม และ ไฮเมทอกซีเพกติน) ปัจจัยที่ 2 คือ ปริมาณสารเจือปนอาหาร 4 ระดับ (ร้อยละ 0, 0.2, 0.4 และ 0.6)

### 2.5 ศึกษาการเปลี่ยนแปลงคุณสมบัติทางความร้อน (Thermal properties)

การเปลี่ยนแปลงคุณสมบัติทางความร้อนของเจลสตาร์ชจากข้าวที่ไม่เติมและเติมสารเจือปนอาหาร ทำการวางแผนแบบ 4x4 Factorial in Completely Randomized Design ปัจจัยที่ศึกษามี 2 ปัจจัยดังนี้ ปัจจัยที่ 1 คือ สารเจือปนอาหาร 4 ชนิด (ทรีชาโรส อัลจิเนต กัวกัม และ ไฮเมทอกซีเพกติน) ปัจจัยที่ 2 คือ ปริมาณสารเจือปนอาหาร 4 ระดับ (ร้อยละ 0, 0.2, 0.4 และ 0.6) วิเคราะห์ความแปรปรวนและเปรียบเทียบความแตกต่างโดยใช้ Duncan's New Multiple Range Test (DMRT) ทำการทดลอง 2 ชุด วิเคราะห์ตัวอย่างโดยใช้เครื่อง Differential Scanning

Calorimeter (DSC) รุ่น DSC Q100 (TA Instruments Newcastle, DE, ประเทศสหรัฐอเมริกา) เช่นเดียวกันกับงานวิจัยในส่วนที่ 1 ข้อ 1.5

## 2.6 ศึกษาผลกระทบจากการคืนรูปจากเยือกแข็ง 5 รอบ (Freeze-thaw 5 cycles)

2.6.1 การเตรียมเจลสตาร์จากข้าวที่เติมและไม่เติมสารเจือปนอาหาร เพื่อใช้ศึกษาการคืนรูปจากเยือกแข็ง 5 รอบ (Freeze-thaw 5 cycles) และผลกระทบของระยะเวลาการเก็บ ดังนี้ การเตรียมสารเจือปนอาหาร โดยชั่งสารเจือปนอาหารร้อยละ 0.2 0.4 และ 0.6 โดยนำหนักสตาร์ซแห้งไปคลายในน้ำกลั่น (น้ำหนักต่อน้ำหนัก) ใส่ในบีกเกอร์ แล้วนำบีกเกอร์ที่มีสารละลายวางบนเครื่องให้ความร้อนที่มีการควบคุมตลอดเวลาที่อุณหภูมิ 100 องศาเซลเซียส นาน 20 นาที หลังจากนั้น วางทึ้งไว้ให้เย็นจนกระทั่งเท่ากับอุณหภูมิห้อง ถ้าปริมาณน้ำลดลงให้เติมน้ำ ให้ได้น้ำหนักเท่าเดิม หลังจากนี้ค่อยๆ เติมสตาร์จากข้าวลงไป แล้ววนให้เข้ากัน ดูดตัวอย่างสารแขวนลอยน้ำสตาร์ที่เตรียมไว้ด้วยไซริงค์จำนวน 20 มิลลิลิตร ใส่ลงในเพสติดิส (Petri-dishes) ขนาดเดือนผ่านศูนย์กลาง 60 มิลลิเมตร ถึง 15 มิลลิเมตร ปิดฝาเพสติดิส และนึ่งเจลสตาร์จากข้าวที่อุณหภูมิน้ำเดือด ระยะเวลา 20 นาที วางทึ้งไว้ให้เย็นที่อุณหภูมิ 25 องศาเซลเซียส นาน 30 นาที นำเจลสตาร์ซไปแข็งเยือกแข็งด้วยเครื่องแข็งเยือกแข็งแบบลมเย็นที่อุณหภูมิ -30 องศาเซลเซียส จนกระทั่งอุณหภูมิใจกลางเจลสตาร์ซมีอุณหภูมิ -10 องศาเซลเซียส นำเจลสตาร์ซแข็งเยือกแข็งบรรจุใส่ในถุงพลาสติกซิป (Ziploc plastic bag) ชนิดพอลีเอทธิลีน ขนาด 7 คูณ 10 เซนติเมตร แล้วนำไปเก็บไว้ที่อุณหภูมิ -18 องศาเซลเซียส

2.6.2 ศึกษาผลกระทบจากการคืนรูปจากเยือกแข็ง 5 รอบ ของเจลสตาร์จากข้าวที่ไม่เติม และเติมสารเจือปนอาหาร ที่ความเข้มข้นของสตาร์ 1 ระดับ ทำการวางแผนการทดลองแบบ 4x4 Factorial in Completely Randomized Design ปัจจัยที่ศึกษามี 2 ปัจจัยดังนี้ ปัจจัยที่ 1 คือ สารเจือปนอาหาร 4 ชนิด (ทรีอาโรส อัลจิเนต ก้าว กัม และ ไอกเมทอกซ์เพกทิน) ปัจจัยที่ 2 คือ ปริมาณสารเจือปนอาหาร 4 ระดับ (ร้อยละ 0 0.2 0.4 และ 0.6) วิเคราะห์ความแปรปรวนและเปรียบเทียบความแตกต่างโดยใช้ Duncan's New Multiple Range Test (DMRT) ทดลองจำนวน 3 ชุด ทำการวิเคราะห์ลักษณะเนื้อสัมผัสและการขับของเหลวออกจากเจล เช่นเดียวกับส่วนที่ 1 ข้อ 1.6.2 (1) – 1.6.2 (2)

2.7 ศึกษาผลผลกระทบจากการระยะเวลาการเก็บเจลสตาร์ชแซ่บเยือกแข็งจากข้าว เก็บที่อุณหภูมิ – 18 องศาเซลเซียส

2.7.1 การเตรียมเจลสตาร์ชจากข้าวที่ไม่เติมและเติมสารเจือปนอาหาร เช่นเดียวกับกับส่วนของการศึกษาที่ 2 ข้อ 3.6.1

2.7.2 ตัวอย่างเจลสตาร์ชจากข้าวที่ไม่เติมและเติมสารเจือปนอาหาร ที่ผ่านการแซ่บเยือกแข็งที่อุณหภูมิ -18 องศาเซลเซียส ทำการทดลอง滥หลาย ที่อุณหภูมิ 25 องศาเซลเซียส นาน 4 ชั่วโมง ทำการวิเคราะห์ลักษณะเนื้อสัมผัสและการขับของเหลวออกจากเจล เช่นเดียวกับส่วนที่ 1 ข้อ 1.6.2 (1) – 1.6.2 (2) วางแผนการทดลองแบบ  $4 \times 4 \times 7$  Factorial in Completely Randomized Design ปัจจัยที่ศึกษามี 3 ปัจจัยดังนี้ ปัจจัยที่ 1 คือ สารเจือปนอาหาร 4 ชนิด (ทริชาโรส อัลจินต กัวกัม และ ไอมาก็อกซีเพกทิน) ปัจจัยที่ 2 คือ ปริมาณสารเจือปนอาหาร 4 ระดับ (ร้อยละ 0.0 0.2 0.4 และ 0.6) ปัจจัยที่ 3 คือ ระยะเวลาการเก็บที่ 1 15 30 45 60 90 และ 120 วัน วิเคราะห์ความแปรปรวนและเปรียบเทียบความแตกต่างโดยใช้ Duncan's New Multiple Range Test (DMRT) ทดลองจำนวน 3 ชุด

2.7.3 ตัวอย่างเจลสตาร์ชจากข้าวที่ไม่เติมและเติมสารเจือปนอาหาร ที่ผ่านการแซ่บเยือกแข็ง และเก็บที่อุณหภูมิ -18 องศาเซลเซียส ทำการทดลอง滥หลาย ที่อุณหภูมิ 25 องศาเซลเซียส นาน 4 ชั่วโมง และให้ความร้อนอีกครั้ง โดยการนำตัวอย่างไปนึ่งในลังถึงที่อุณหภูมน้ำเดือด นาน 20 นาที วางแผนที่ไว้ที่อุณหภูมิ 25 องศาเซลเซียส นาน 30 นาที ทำการวิเคราะห์ลักษณะเนื้อสัมผัส เช่นเดียวกับส่วนที่ 1 ข้อ 1.6.2 (1) วางแผนการทดลองแบบ  $4 \times 4 \times 8$  Factorial in Completely Randomized Design ปัจจัยที่ศึกษามี 3 ปัจจัยดังนี้ ปัจจัยที่ 1 คือ สารเจือปนอาหาร 4 ชนิด (ทริชาโรส อัลจินต กัวกัม และ ไอมาก็อกซีเพกทิน) ปัจจัยที่ 2 คือ ปริมาณสารเจือปนอาหาร 4 ระดับ (ร้อยละ 0.0 0.2 0.4 และ 0.6) ปัจจัยที่ 3 คือ ระยะเวลาการเก็บที่ 0 (เจลสด) 1 15 30 45 60 90 และ 120 วัน วิเคราะห์ความแปรปรวนและเปรียบเทียบความแตกต่างโดยใช้ Duncan's New Multiple Range Test (DMRT) ทดลองจำนวน 3 ชุด

## ผลการทดลอง

### งานวิจัยส่วนที่ 1 ผลของระยะเวลาการแช่เยือกแข็งและความคงตัวต่อการคืนรูปจากเยือกแข็งของสตาร์ชจากข้าว

#### 1.1 ผลการศึกษาองค์ประกอบทางเคมีของสตาร์ชจากข้าว

จากตารางที่ 1 ผลการวิเคราะห์ข้อมูลทางสถิติขององค์ประกอบทางเคมีของสตาร์ชข้าวและปริมาณแอมิโลส จากข้าวสารเจ้า 9 พันธุ์ ที่ผ่านการสกัดด้วยสารละลายเบสที่ความเข้มข้นร้อยละ 0.4 เพื่อแยกโปรตีนกลูเตลิน (glutelins) ออกจากตัวอย่างสตาร์ช พบว่าสตาร์ชจากข้าวที่มีปริมาณแอมิโลสสูง ยังคงเหลือปริมาณโปรตีนสูงและแตกต่างกันอย่างมีนัยสำคัญทางสถิติ ( $P \leq 0.05$ ) โดยสตาร์ชจากข้าวพันธุ์ขั้นนาท 1 (แอมิโลส  $26.92 \pm 1.03$ ) มีปริมาณโปรตีนสูงสุด เท่ากับ ร้อยละ  $0.43 \pm 0.03$  ซึ่ง Hagenimana and others (2005) กล่าวว่าโดยทั่วไปปริมาณโปรตีนของสตาร์ชที่ได้จากการสกัดสตาร์ชด้วยวิธีการแช่สารละลายเบส มีปริมาณโปรตีน ร้อยละ 0.07-0.42 ส่วนปริมาณไขมัน พบว่าแตกต่างกันอย่างมีนัยสำคัญทางสถิติ ( $P \leq 0.05$ ) โดยสตาร์ชจากข้าวที่มีปริมาณแอมิโลสปานกลางและแอมิโลสสูง มีปริมาณไขมันคงเหลือในสตาร์ชสูงกว่าสตาร์ชจากข้าวปริมาณแอมิโลสต่ำ (ขาวดอกมะลิ 105 หอมสุพรรณบุรี และหอมคลองหลวง 1) มีปริมาณไขมันระหว่างร้อยละ 0.06 ถึง 0.07 เพราะว่าสตาร์ชจากข้าวกลุ่มแอมิโลสสูงจะมีกรดไขมันอิสระ (free fatty acid) และ lysophospholipids (LPL) ในปริมาณมากที่จับรวมเข้าด้วยกันเป็นสารประกอบเชิงช้อนระหว่างไขมันกับแอมิโลส (Morrison 1995) จากการวิเคราะห์ปริมาณถ้าจะเห็นว่าตัวอย่างสตาร์ชจากข้าวมีค่าที่ใกล้เคียงกัน ยกเว้นสตาร์ชจากข้าวพันธุ์ขาวดอกมะลิ 105 มีปริมาณถ้าต่ำสุด เท่ากับ ร้อยละ 0.15 เนื่องจากในขั้นตอนการการเตรียมน้ำเปลี่ยนเพื่อนำมาสกัดแยกโปรตีน น้ำเปลี่ยนได้ผ่านการกรองเพื่อแยกกาภและเยื่อไผออกไป ทำให้ในตัวอย่างสตาร์ชแห้งมีปริมาณถ้าลดลง

ปริมาณแอมิโลสของสตาร์ชข้าวสามารถแบ่งได้ 3 กลุ่มตามวิธีของ International Rice Research Institute (IRRI) แบ่งกลุ่มของปริมาณแอมิโลส 3 กลุ่ม ดังนี้ กลุ่มแอมิโลสต่ำ กลุ่มแอมิโลสปานกลาง และกลุ่มแอมิโลสสูง มีปริมาณแอมิโลส เท่ากับ ร้อยละ 12-20, 20-25 และสูงกว่าร้อยละ 25 ตามลำดับ จากการศึกษาปริมาณแอมิโลสจากสตาร์ชข้าวทั้ง 9 พันธุ์ พบว่าแตกต่างกันอย่างมีนัยสำคัญทางสถิติ ( $P \leq 0.05$ ) ปริมาณแอมิโลสที่วิเคราะห์ได้ดังแสดงในตารางที่ 3 จะเห็นว่าสตาร์ชจากข้าวขาวดอกมะลิ 105 มีปริมาณแอมิโลสต่ำที่สุด เท่ากับ ร้อยละ  $9.79 \pm 0.71$  เช่นเดียวกับสตาร์ชจากข้าวพันธุ์หอมสุพรรณบุรีและหอมคลองหลวง 1 ที่มีปริมาณแอมิโลสร้อยละ  $15.08 \pm 0.69$

และ  $12.53 \pm 0.86$  ตามลำดับ ดังนั้นสตาร์จากข้าวทั้งสามพันธุ์จึงจัดอยู่ในกลุ่มแอมิโลสต่ำ ซึ่งค่าที่ได้แตกต่างจากการศึกษาปริมาณแอมิโลสจากข้าวโน้ม (milled rice) ของ Limpisut and Jindel (2002) ได้ว่าพันธุ์ข้าวคอกมะลิ 105 และหอนคลองหลวง 1 มีปริมาณแอมิโลสร้อยละ 16.0 - 17.2 และ 19.0 - 20.5 ตามลำดับ เมื่อพิจารณาสตาร์จากข้าวพันธุ์สุพรรณบุรี 2 สุพรรณบุรี 60 และ ข้าวตาแห้ง 17 พบว่ามีปริมาณแอมิโลส เท่ากับ ร้อยละ  $20.11 \pm 1.11$ ,  $21.12 \pm 0.53$  และ  $23.47 \pm 0.52$  ตามลำดับ โดยแตกต่างกันอย่างมีนัยสำคัญทางสถิติ ( $P \leq 0.05$ ) และได้จัดให้อยู่ในกลุ่มข้าวที่มีปริมาณแอมิโลสปานกลาง ซึ่งปริมาณแอมิโลสที่ได้มีค่าต่ำกว่าของภาระห้อง Limpisut and Jindel (2002) ในข้าวสุพรรณบุรี 2 และ สุพรรณบุรี 60 มีปริมาณแอมิโลสอยู่ในช่วงร้อยละ 23.9 – 24.9 และ 27.0 – 28.3 ตามลำดับ

**ตารางที่ 1** องค์ประกอบทางเคมีและปริมาณแอมิโลสของสตาร์จากข้าว 9 พันธุ์

พันธุ์ข้าว	ความชื้น (ร้อยละ)	โปรตีน (ร้อยละ)	ไขมัน (ร้อยละ)	ถ้า (ร้อยละ)	ปริมาณ แอมิโลส (ร้อยละ)
ข้าวคอกมะลิ 105	$12.39 \pm 0.72$ b	$0.11 \pm 0.02$ d	$0.07 \pm 0.02$ bc	$0.15 \pm 0.06$ c	$9.79 \pm 0.71$ i
หอนสุพรรณบุรี	$13.35 \pm 0.71$ a	$0.11 \pm 0.02$ d	$0.06 \pm 0.02$ c	$0.25 \pm 0.02$ b	$15.08 \pm 0.69$ g
หอนคลองหลวง 1	$12.88 \pm 0.33$ ab	$0.10 \pm 0.01$ d	$0.06 \pm 0.03$ c	$0.26 \pm 0.02$ b	$12.53 \pm 0.86$ h
ข้าวตาแห้ง 17	$12.93 \pm 0.77$ ab	$0.21 \pm 0.02$ b	$0.09 \pm 0.02$ ab	$0.25 \pm 0.01$ b	$23.47 \pm 0.52$ d
สุพรรณบุรี 2	$12.44 \pm 0.72$ b	$0.16 \pm 0.03$ c	$0.10 \pm 0.02$ a	$0.26 \pm 0.10$ b	$20.11 \pm 1.11$ f
สุพรรณบุรี 60	$13.13 \pm 0.72$ ab	$0.16 \pm 0.01$ c	$0.10 \pm 0.02$ a	$0.25 \pm 0.02$ b	$21.12 \pm 0.53$ e
เหลืองประทิว 123	$12.61 \pm 0.65$ ab	$0.41 \pm 0.03$ a	$0.10 \pm 0.03$ a	$0.28 \pm 0.04$ ab	$25.41 \pm 0.68$ c
ขี้ยนาท 1	$12.57 \pm 0.57$ ab	$0.43 \pm 0.03$ a	$0.09 \pm 0.02$ ab	$0.26 \pm 0.01$ b	$26.92 \pm 1.03$ b
พลายงาม	$12.91 \pm 0.56$ ab	$0.41 \pm 0.03$ a	$0.10 \pm 0.02$ a	$0.35 \pm 0.03$ a	$27.90 \pm 0.44$ a
ปราจีนบุรี					
Pr > F	0.1648	0.0001	0.0001	0.008	0.0001

หมายเหตุ a,b,... ค่าเฉลี่ย ± ค่าเบนมาตรฐานของการทดสอบ 3 ชี้ โดยตัวอักษรที่ต่างกัน ตามแนวตั้งแสดงถึงความแตกต่างกันอย่างมีนัยสำคัญทางสถิติที่ระดับความเชื่อมั่น ร้อยละ 95 ( $P \leq 0.05$ ) ค่าที่ได้จากการคำนวณค่าที่น้ำหนักแห้ง (dry basis)

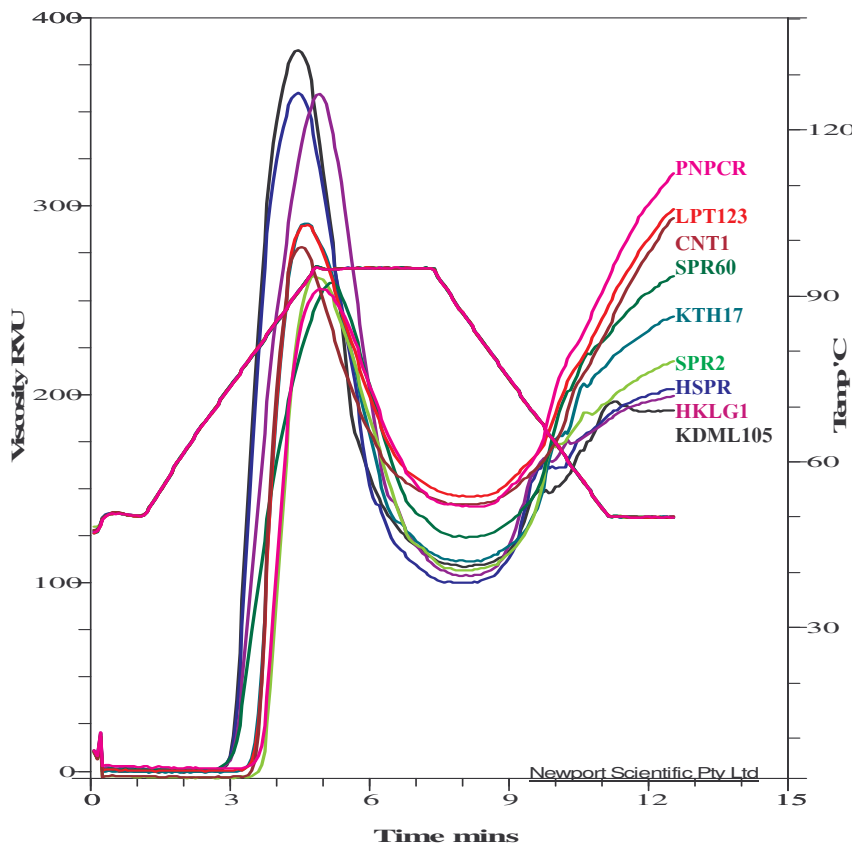
และ Pr > F = P value of the F test

นอกจานี้จากการศึกษาตัวอย่างข้าวครั้งนี้พบว่าสตาร์ชจากข้าวพลายตามปริมาณแอมิโลสสูงสุด เท่ากับ ร้อยละ  $27.90 \pm 0.44$  รองลงมาได้แก่ ขัยนาท 1 ( $26.92 \pm 1.03$ ) และเหลืองประทิว 123 ( $25.41 \pm 0.68$ ) ตามลำดับ ซึ่งได้จัดให้อยู่ในกลุ่มปริมาณแอมิโลสสูง ซึ่งค่าที่ได้นี้ ในสตาร์ชจากข้าวพันธุ์พลายตามปริมาณมีค่าที่สูงกว่าการศึกษาของ Varavinit and others (2003) ที่ได้ปริมาณแอมิโลสร้อยละ  $26.02 \pm 0.37$  แต่มีค่าต่ำกว่าของ Yoencyongbuddhagal and Noomhorm (2002) ที่ได้ปริมาณแอมิโลสร้อยละ 32.90 ส่วนสตาร์ชจากข้าวพันธุ์ขัยนาท 1 มีค่าต่ำกว่าการศึกษาของ Limpisut and Jindel (2002) และ Yoencyongbuddhagal and Noomhorm (2002) ที่ได้ปริมาณแอมิโลสร้อยละ 31.2-32.3 และ 35.20 ตามลำดับ แต่มีค่าสูงกว่าการศึกษาของ Varavinit and others (2003) ที่ได้ปริมาณแอมิโลส ร้อยละ  $23.98 \pm 0.28$  นอกจากนี้สตาร์ชจากข้าวเหลืองประทิว 123 มีค่า วิเคราะห์ปริมาณแอมิโลสต่ำกว่าของ Limpisut and Jindel (2002) พบว่าข้าวเหลืองประทิว 123 มีปริมาณแอมิโลส ร้อยละ 30.9-31.5 การที่ค่าแอมิโลสในการศึกษารั้งนี้มีค่าที่แตกต่างกัน อาจเป็น เพราะปัจจัยเกี่ยวกับที่แตกต่างกัน ดังนั้นจะเห็นว่าในข้าวพันธุ์เดียวกันมีปริมาณแอมิโลสแตกต่างโดยตัวอย่างข้าวของ Limpisut and Jindel (2002) เป็นข้าวผลิตในปี 1998 ส่วนตัวอย่างข้าวในงานวิจัยครั้งนี้ผลิตในปี 2001 สภาพแวดล้อมการปลูกและแหล่งที่ปลูก ส่งผลต่อปริมาณแอมิโลส ถ้าอุณหภูมิของดินและการเพาะปลูกมีอุณหภูมิสูงขึ้น ส่งผลให้ได้ปริมาณแอมิโลสในข้าวลดลง มีการเพิ่มจำนวนความยาวพันธะของแอมิโลเพกทิน (the amount of amylopectin chains) และเม็ดสตาร์ช มีความยาวพันธะสั้นลง (the short chain length) (Tester and Karkalas 2001; Dang and Copeland 2004; Aboubacar and others 2006) นอกจากนี้ปริมาณไขมันจะรบกวน (interference) ในการวิเคราะห์แอมิโลส (Juliano 1984) อย่างไรก็ตามจากการเปรียบเทียบปริมาณแอมิโลสของสตาร์ชจากข้าวที่ผ่านการสกัดไขมันกับสตาร์ชไม่ผ่านการสกัดไขมันก่อนการวิเคราะห์สตาร์ชจากข้าว 7 พันธุ์ ของประเทศไทยเจนตินา พบว่าสตาร์ชส่วนมากที่มีการสกัดไขมัน จะมีปริมาณแอมิโลสสูงกว่า แต่มีสตาร์ชจากข้าวที่ไม่ได้สกัดไขมันบางพันธุ์ มีปริมาณแอมิโลสสูงกว่าสตาร์ชที่สกัดไขมันออก (Iturriaga and others 2004) หรือเป็นเพราะความสามารถในการจับกับสาร ไอโอดีนของสตาร์ช (iodine affinity) โดยความสามารถในการจับกับสาร ไอโอดีนมีความสัมพันธ์เชิงบวกกับจำนวนของความยาวพันธะกึ่งก้านของแอมิโลเพกทิน (Jane and others 1999)

## 1.2 ผลของการศึกษาคุณสมบัติความหนืดของสตาร์ชจากข้าว

จากการเปรียบเทียบคุณสมบัติความหนืดของสตาร์ชและการเกิดเจลาทีนเซชันของสตาร์ชจากข้าว 9 พันธุ์ โดยใช้เครื่องวิเคราะห์ความหนืดอย่างรวดเร็ว (Rapid Visco Analyser, RVA) จากผลการศึกษาค่าความหนืดสูงสุด (peak viscosity) คือจุดสมดุลระหว่างการพองตัวที่ทำ

ให้ความหนืดเพิ่มขึ้นกับการทำลายเม็ดสตาร์ชของเครื่องกวานที่ทำให้ความหนืดลดลง วัดค่าเป็นอุณหภูมิที่ความหนืดสูงสุด (peak temperature) และเวลาที่ความหนืดสูงสุด (peak time) ที่เกิดขึ้นในขณะที่ความหนืดสูงสุด (อรอนงค์ นัยวิกุล และ Elliott B 2544) ซึ่งบอกรถึงความสามารถในการจับน้ำของสตาร์ชและเม็ดสตาร์ชพองตัวมากที่สุด (ตารางที่ 2) พบว่ามีความแตกต่างกันอย่างมีนัยสำคัญทางสถิติ ( $P \leq 0.05$ ) โดยสตาร์ชาจากข้าวกลุ่มปริมาณแอมิโลสต่ำให้ค่าความหนืดสูงสุดสูงกว่ากลุ่มข้าวที่มีปริมาณแอมิโลสปานกลางและปริมาณแอมิโลสสูง เห็นได้จากสตาร์ชาจากข้าวขาวคอกมะลิ 105 ให้ค่านี้สูงสุด เท่ากับ  $388.66 \pm 39.92$  RVU (ภาพที่ 1) เนื่องจากการเกิดจากอันตราริยา ระหว่างโมเลกุลกับก้านของแอมิโลเพกติน ทำให้ความหนืดของข้าวแอมิโลสต่ำมีความหนืดสูงกว่าข้าวแอมิโลสสูง (Jane and Chen 1992) จากการศึกษาของ Varavinit and others (2003) สรุปว่า สตาร์ชาจากข้าวที่มีแอมิโลสต่ำ จะให้ค่าความหนืดสูงสุดและค่าการแตกตัว (Breakdown) สูงสุด และมีค่าเซตเบคต่ำสุด ทั้งนี้ อรอนงค์ นัยวิกุล และ Elliott B (2544) รายงานว่าข้าวขาวคอกมะลิ 105 ให้ค่าความหนืดสูงสุดและสูงกว่าข้าวหอมคอกลองหลวง 1 โดยความหนืดของสตาร์ชขึ้นกับขนาดเม็ดสตาร์ช แรงขึ้นเมื่อระหว่างโมเลกุล ปริมาณผลึกภายในเม็ดสตาร์ช ขนาดโมเลกุลของแอมิโลสและความยาวกึ่งก้านของแอมิโลเพกติน ส่งผลกระทบต่อคุณสมบัติความหนืด (Jane and Chen 1992) นอกจากนี้สตาร์ชมีปริมาณโปรตีนเพิ่มขึ้น ทำให้ค่าความหนืดสูงสุดที่ได้มีการลดลงจะสังเกตได้จากตารางที่ 2 สตาร์ชาจากข้าวกลุ่มแอมิโลสสูง ซึ่งมีปริมาณโปรตีนสูงกว่าข้าวที่มีปริมาณแอมิโลสปานกลางและต่ำ



ภาพที่ 1 กราฟความหนืด (Pasting curve) ของสตาร์ชจากข้าวแต่ละพันธุ์ (KDML105 = ขาวดอกมะลิ105, HSPR = หอมสุพรรณบุรี, HKLG1 = หอมคล่องหลวง1, KTH17 = ขาวตากแห้ง17, SPR2 = สุพรรณบุรี2, SPR60 = สุพรรณบุรี60, LPT123 = เหลืองประทิว123, CNT1 = ขี้ยนาท1, PNPCR = พลายงามปราจีนบุรี)

ตารางที่ 2 ค่าอุณหภูมิการเกิดเจลาตินไซซ์และความหนืดของเพสต์ของสตาร์ชจากข้าว 9 พันธุ์

(Rice Varieties)	ค่าความหนืด (Viscosity )					
	ค่าความหนืดสูงสุด (Peak Viscosity) (RVU)	ค่าความคงทนต่อ <sup>a</sup> การกรอง (Trough1) (RVU)	ค่าการแตกตัว (Breakdown) (RVU)	ค่าความหนืดสุดท้าย (Final Viscosity) (RVU)	ค่าการคืนตัว (Set Back) (RVU)	Pasting Temperature (°F)
ขาวดอกมะลิ 105	388.66±39.92 <sup>a</sup>	118.57±14.44 <sup>bc</sup>	270.09±52.06 <sup>a</sup>	192.13±11.80 <sup>d</sup>	-196.53 ±51.60 <sup>c</sup>	73.00±0.15 <sup>b</sup>
หอมสุพรรณบุรี	357.57±43.08 <sup>a</sup>	113.69±14.41 <sup>c</sup>	243.88±54.86 <sup>ab</sup>	216.08±10.81 <sup>cd</sup>	-141.49 ±44.07 <sup>c</sup>	73.14±0.92 <sup>b</sup>
หอมคลองหลวง 1	366.61 ±55.84 <sup>a</sup>	114.99±21.04 <sup>bc</sup>	251.62±71.95 <sup>a</sup>	213.94±14.04 <sup>cd</sup>	-152.68 ±58.88 <sup>c</sup>	73.13±0.65 <sup>b</sup>
ขาวตาเหลือง 17	286.54±6.17 <sup>b</sup>	106.71±7.90 <sup>c</sup>	179.83±8.49 <sup>bc</sup>	224.96±14.97 <sup>bc</sup>	-61.58±12.80 <sup>b</sup>	78.68±0.41 <sup>a</sup>
สุพรรณบุรี 2	260.55±16.99 <sup>b</sup>	100.88 ±7.73 <sup>c</sup>	159.67±10.17 <sup>c</sup>	203.11±16.82 <sup>cd</sup>	-57.44 ±7.67 <sup>b</sup>	80.22±0.13 <sup>a</sup>
สุพรรณบุรี 60	264.45±28.17 <sup>b</sup>	118.47±12.00 <sup>c</sup>	145.99±39.96 <sup>c</sup>	250.62±22.34 <sup>b</sup>	-13.83±50.20 <sup>ab</sup>	73.19±1.32 <sup>b</sup>
เหลืองประจำ 123	288.83±10.66 <sup>b</sup>	157.50±19.30 <sup>a</sup>	131.33±29.78 <sup>c</sup>	311.57±18.13 <sup>a</sup>	22.75±12.92 <sup>a</sup>	78.94±1.09 <sup>a</sup>
ขี้นนาท 1	279.91±15.23 <sup>b</sup>	143.36 ±2.10 <sup>a</sup>	136.55±16.73 <sup>c</sup>	298.74±15.14 <sup>a</sup>	18.83±30.12 <sup>a</sup>	79.10±0.93 <sup>a</sup>
พลา秧งามปราจีนบุรี	249.44±13.87 <sup>b</sup>	138.81±9.03 <sup>ab</sup>	110.64±21.99 <sup>c</sup>	306.01±12.43 <sup>a</sup>	56.57±22.21 <sup>a</sup>	79.53 ±0.98 <sup>a</sup>
Pr > F	0.0001	0.0008	0.0005	0.0001	0.0001	0.0001

หมายเหตุ a,b...ค่าเฉลี่ย±<sup>a</sup>ค่าเบี่ยงเบนมาตรฐานของการทดลอง 3 ชุด โดยตัวอักษรที่ต่างกันตามแนวตั้งแสดงถึงความแตกต่างกันอย่างมีนัยสำคัญทางสถิติ ที่ระดับความเชื่อมั่นร้อยละ 95 ( $P \leq 0.05$ ) และ Pr > F = P value of the F test

ค่าความคงทนต่อการกรุน (Trough หรือ hot paste viscosity หรือ shear thinning) เป็นผลมาจากการเมื่องอุณหภูมิสูง ไว้ระยะหนึ่ง จะมีผลให้ความหนืดลดลง เนื่องจากอุณหภูมิ อัตราการกรุน แรงที่ใช้ในการกรุนและคุณสมบัติของเม็ดสารซึ่งจากตารางที่ 2 และภาพที่ 1 พบว่า สตาร์ซจากข้าวแต่ละพันธุ์ให้ค่าความคงทนต่อการกรุน โดยแตกต่างกันอย่างมีนัยสำคัญทางสถิติ ( $P \leq 0.05$ ) ซึ่งสตาร์ซจากข้าวกลุ่มที่มีปริมาณแอมิโลสสูง มีค่าความคงทนต่อการกรุนเพิ่มขึ้นและ สตาร์ซจากข้าวเหลืองประทิว 123 ให้ค่าความคงทนต่อการกรุนสูงที่สุด เท่ากับ  $157.50 \pm 19.30$  RVU อาจเนื่องจาก การเกิดสารประกอบเชิงช้อนระหว่างโมเลกุลแอมิโลสกันในมัน ทำให้เจลสตาร์ซจากข้าวกลุ่มที่มีแอมิโลสสูง มีความทนต่อการกรุน (resistance to shear-thinning) (Jane and others 1999) เช่นเดียวกับค่าการแตกตัว (Breakdown) หรือช่วงความหนืดลดลง เป็นค่าผลต่างระหว่างความหนืดสูงสุดกับค่าความคงทนต่อการกรุน ใช้ในการอธิบายถึงความสามารถในการคงตัวของเพสต์ระหว่างการทำให้สุก จากการศึกษาพบว่ามีความแตกต่างกันอย่างมีนัยสำคัญทางสถิติ ( $P \leq 0.05$ ) โดยสตาร์ซจากข้าวกลุ่มแอมิโลสต่ำให้ค่าการแตกตัวสูงกว่ากลุ่มข้าวที่มีปริมาณแอมิโลสปานกลาง และกลุ่มข้าวที่มีปริมาณแอมิโลสสูง โดยเฉพาะสตาร์ซจากข้าวขาวดอกมะลิ 105 ให้ค่าการแตกตัวสูงสุด เท่ากับ  $270.09 \pm 52.06$  RVU การที่ข้าวกลุ่มแอมิโลสต่ำให้ค่าความคงทนต่อการกรุนและค่าการแตกตัวสูง เนื่องจากแอมิโลเพกตินมีลักษณะ โครงสร้างกิ่งก้าน (branched chain) และน้ำหนักโมเลกุลสูงกว่าแอมิโลส ทำให้ทนต่อแรง扯่อน และอาจเป็นไปได้ว่าแอมิโลเพกตินที่มีความยาวพันธะกิ่งก้าน (very long branch-chain) เกิดลักษณะ เช่นเดียวกับแอมิโลสกล่าวคือเกิดสารประกอบเชิงช้อนกับลิพิด ได้เป็นโครงสร้างเกลียว (helical complexes) ทำให้โมเลกุลภายในเม็ดสตาร์ซเกิดการจับกันอย่างเหนียวแน่น จึงทนต่อแรง扯่อน ในระหว่างการให้ความร้อนแก่เพสต์ (Jane and others 1999) จากการศึกษาของ Varavinit and others (2003) กล่าวว่าข้าวกลุ่มแอมิโลสต่ำ หรือข้าวเหนียว ให้ค่าการแตกตัวสูงกว่าข้าวกลุ่มแอมิโลส ปานกลางถึงสูง แต่ขัดแย้งกับการศึกษาของ Noda and others (2003) เกี่ยวกับคุณสมบัติของสตาร์ซจากข้าวในประเทศไทยปั่น พน ว่าข้าวกลุ่มที่มีปริมาณแอมิโลสต่ำ จะให้ค่าการแตกตัว ( $165 \pm 54$  RVU) ต่ำกว่าข้าวกลุ่ม Normal rice ได้แก่พันธุ์ Nipponbare และ Hinohikari ( $285 \pm 37$  RVU) และจากการศึกษาของ Lai (2001) ข้าว japonica ที่มีปริมาณแอมิโลสอยละ 18.62 ให้ค่าการแตกตัวต่ำกว่าข้าวอินดิกาที่มีปริมาณแอมิโลสอยละ 30.18 ค่าความหนืดสุดท้าย (Final Viscosity) เกิดขึ้นเนื่องจากเมื่อทำการลดอุณหภูมิลงทำให้โมเลกุลสตาร์ซเกิดการจัดเรียงตัวอีกครั้ง (reassocation) ถ้ามีความชื้นมากจะเกิดการรวมตัวกันเป็นเจล (gel) ทำให้ความหนืดสุดท้ายเพิ่มขึ้น ค่านี้ใช้ในการอธิบายลักษณะความหนืดหรือเจลที่จะเกิดขึ้น หลังการให้ความร้อนและทำให้เย็น (อรอนงค์ นัยวิภุล และ Elliott B 2544) จากการศึกษาครั้งนี้พบว่า ค่าความหนืดสุดท้าย แตกต่างกันอย่างมีนัยสำคัญทางสถิติ ( $P \leq 0.05$ ) โดยสตาร์ซจากข้าวกลุ่มแอมิ

มิโลสสูง มีค่าความหนืดสุดท้ายสูงสุด อยู่ในช่วง 298.74 ถึง 311.57 RVU และสตาร์จากข้าวกลุ่ม แอมิโลสต่ำ โดยเฉพาะสตาร์จากข้าวขาวดอกมะลิ 105 มีค่าความหนืดสุดท้ายต่ำสุด เท่ากับ 192.13 - 11.80 RVU สอดคล้องกับการศึกษาของ Lai (2001) ได้ว่าข้าวอินดิกาให้ค่าความหนืดสุดท้ายสูง กว่าข้าวจำปันนิกา จากช่วงเด็นโคงของความหนืดสุดท้าย จะได้ค่าการคืนตัว (setback) หรือ cold paste viscosity ได้จากการแตกต่างระหว่างค่าความหนืดสุดท้าย (final viscosity) กับค่าความหนืดสูงสุด (peak viscosity) เป็นค่าที่บ่งบอกถึงความหนืดปรากฏของเพสต์หลังการทำให้เย็นและการเกิดรีไทร์กรีเดชัน โดยมีความสัมพันธ์กับลักษณะเนื้อสัมผัสของเจลสตาร์ช เช่น การขับของเหลวออกจากเจล (syneresis หรือ sweeping) การคืนรูปจากเยือกแข็ง (freeze-thaw cycle) ซึ่งค่าการคืนตัวขึ้นกับชนิดของสตาร์ช หรือสภาพการทดสอบ (อรอนงค์ นัยวิคุล และ Elliott B 2544) จากตารางที่ 2 และภาพที่ 1 พบว่าแตกต่างกันอย่างมีนัยสำคัญทางสถิติ ( $P \leq 0.05$ ) โดยสตาร์จากข้าวที่มีปริมาณแอมิโลสต่ำ จะเกิดรีไทร์กรีเดชันมากกว่าสตาร์จากข้าวที่มีปริมาณแอมิโลสปานกลางถึงแอมิโลสสูง โดยแตกต่างกันอย่างมีนัยสำคัญทางสถิติ ( $P \leq 0.05$ ) คือสตาร์จากข้าวขาวดอกมะลิ 105 ให้ค่าการคืนตัวต่ำสุด เท่ากับ  $-196.53 \pm 51.60$  RVU และสตาร์จากข้าวกลุ่มที่มีปริมาณแอมิโลสสูงสามารถเกิดรีไทร์กรีเดชันเร็วที่สุด และมีค่าการคืนตัวตามลำดับดังนี้ สตาร์จากข้าวพันธุ์พลายงาม ปราจีนบุรี เหลืองประทวิว 123 และ ขัยนาท 1 เท่ากับ  $56.57 \pm 22.21$ ,  $22.75 \pm 12.92$  และ  $18.83 \pm 30.12$  RVU เช่นเดียวกับการศึกษาของ Varavinit and others (2002) จากค่าการคืนตัว สรุปลำดับของการเกิดรีไทร์กรีเดชันจากมากไปหาน้อยดังนี้ แป้งข้าวที่มีแอมิโลสสูง > แป้งข้าวเจสมิน > แป้งข้าวเหนียว

เมื่อพิจารณาอุณหภูมิต่ำสุดที่เม็ดสตาร์เริ่มการเจลาตินайซ์ (Pasting Temperature) ซึ่งเป็นอุณหภูมิเริ่มเกิดความหนืด จะวัดเมื่อเริ่มความหนืดที่ 2 RVU พบว่าแตกต่างกันอย่างมีนัยสำคัญทางสถิติ ( $P \leq 0.05$ ) โดยสตาร์จากข้าวกลุ่มที่มีปริมาณแอมิโลสต่ำ มีอุณหภูมิต่ำสุดที่เม็ดสตาร์เริ่มการเจลาตินайซ์ อยู่ในช่วงอุณหภูมิ  $73.00 \pm 0.15$  ถึง  $73.19 \pm 0.92$  องศาเซลเซียส และต่ำกว่าข้าวกลุ่มที่มีปริมาณแอมิโลสปานกลางและสูง แตกต่างกันอย่างไม่มีนัยสำคัญทางสถิติ ( $P > 0.05$ ) เป็นไปได้ว่าเกิดสารประกอบเชิงซ้อนระหว่างโมเลกุลของแอมิโลสกับไขมัน ทำให้ได้ไขมันเลกุลที่มีลักษณะเกลียว ม้วนชับช้อน (helical complexes) ส่งผลให้มีการจับกันภายในโครงสร้างของเจลสตาร์ชมีความแข็งแรงเพิ่มขึ้น จึงทำให้กลุ่มแอมิโลสสูงมีอุณหภูมิที่เม็ดสตาร์เริ่มการเจลาตินайซ์สูงกว่าสตาร์ชจากข้าวกลุ่มที่มีปริมาณแอมิโลสต่ำ (Jane and others 1999) อย่างไรก็ตามในการศึกษารังนี้พบว่าสตาร์จากข้าวที่มีปริมาณแอมิโลสปานกลางบางพันธุ์ ได้แก่ ข้าวสุพรรณบุรี 60 มีอุณหภูมิต่ำสุดที่

เม็ดสตาร์ชเริ่มการเจลต化ในชั้น เท่ากับ  $73.19 \pm 1.32$  องศาเซลเซียส โดยแตกต่างกันอย่างไม่มีนัยสำคัญทางสถิติ ( $P > 0.05$ ) กับสตาร์ชจากข้าวที่มีปริมาณแอมิโลสต่ำ ซึ่งอาจเกิดจากสตาร์ชที่มีแอมิโลสไกล์คีดิกันลักษณะเม็ดสตาร์ชมีความเป็นผลึกที่แตกต่างกัน ทำให้มีผลต่อการจับกันน้ำ การพองตัวและการเกิดเจลต化ในชั้น (Iturriaga and others 2004) การศึกษาของ Varavinit and others (2003) กล่าวว่าข้าวกลุ่มแอมิโลสต่ำหรือข้าวเหนียว มีอุณหภูมิต่ำสุดที่เม็ดสตาร์ชเริ่มการเจลต化ในชั้นอยู่ในช่วงอุณหภูมิ  $69.40-73.80$  องศาเซลเซียส ซึ่งใกล้เคียงกับการศึกษารังนี้แต่ข้าวกลุ่มแอมิโลสปานกลางและแอมิโลสสูง มีอุณหภูมิต่ำสุดที่เม็ดสตาร์ชเริ่มการเจลต化ในชั้นสูงกว่า  $90$  องศาเซลเซียส และมีอุณหภูมิสูงกว่าที่ทำการศึกษารังนี้ แต่จากการศึกษาของ Lai (2001) สรุปว่าข้าวที่มีปริมาณแอมิโลสต่ำ ต้องการอุณหภูมิต่ำสุดที่เม็ดสตาร์ชเริ่มการเจลต化ในชั้นต่ำกว่าข้าวที่มีปริมาณแอมิโลสสูง ซึ่งอุณหภูมิต่ำสุดที่เม็ดสตาร์ชเริ่มการเจลต化ในชั้นที่แตกต่างกัน บีนกับลักษณะการอัดแน่นของเม็ดสตาร์ช (Juliano 1984) ปริมาณโปรตีนและการสกัดแยกสตาร์ชที่ทำให้เม็ดสตาร์ชเกิดการเสียหาย (damaged starch) โดยส่งผลกระทบต่อกุณสมบัติการเกิดเจลต化ในเชชัน (Wang and Wang 2001) นอกจากนี้ความยาวพันธะของแอมิโลเพกตินที่มีขนาดสั้น คือในช่วง DP 6-9 มีผลไปลดอุณหภูมิการเกิดเจลต化ในเชชัน แต่ถ้ามีความยาวพันธะของแอมิโลเพกตินที่มีขนาดยาว คือในช่วง DP 12-22 อุณหภูมิการเกิดเจลต化ในเชชันเพิ่มขึ้น (Vandepitte and others 2003)

### 1.3 ผลของการศึกษาการเปลี่ยนแปลงคุณสมบัติทางความร้อนของสตาร์ชจากข้าว

ผลการเปลี่ยนแปลงคุณสมบัติทางความร้อนของสตาร์ชจากข้าว โดยใช้เครื่อง Differential Scanning Calorimeter (DSC) จัดการทดลองแบบ  $9 \times 4$  Factorial in Completely Randomized Design มีปัจจัยที่ศึกษา  $2$  ปัจจัยดังนี้ ปัจจัยที่  $1$  คือ สตาร์ชจากข้าวเจ้า  $9$  พันธุ์ ปัจจัยที่  $2$  คือ ความเข้มข้นของสตาร์ชจากข้าว  $4$  ระดับ (ร้อยละ  $20$   $30$   $40$  และ  $50$  โดยน้ำหนักแห้ง) ผลการศึกษาการเปลี่ยนแปลงสมบัติทางความร้อนของการเกิดเจลต化ในชั้นของสตาร์ชจากข้าวต่ออุณหภูมิเริ่มเกิดเจลต化ในชั้น ( $T_o$ ; onset temperature;  $To$ ) อุณหภูมิพีก (peak temperature =  $T_p$ ) เอนthalpy of gelatinization ( $\Delta H_G$ ) พบร่วมกันของสองปัจจัย แต่มีความแตกต่างกันอย่างมีนัยสำคัญทางสถิติ ( $P \leq 0.05$ ) ที่ปัจจัยหลักทั้งสองปัจจัย (ตารางที่ 3)

ตารางที่ 3 ผลการเปลี่ยนแปลงสมบัติทางความร้อนในการเกิดเจลาทีไนเซชันของสตาร์ชจากข้าว  
โดยเครื่อง DSC

ปัจจัยการศึกษา		$T_o$ (oC)	$T_p$ (oC)	$\Delta H_G$ (J/g)
ปัจจัยที่ 1 Rice Varieties	KDML105	63.64e	68.17e	3.51bcd
	HSPR	63.03f	67.99ef	2.96d
	HKLG1	64.03e	67.92f	3.39bcd
	KTH17	69.58d	73.91d	4.63a
	SPR2	72.34a	76.02a	4.43ab
	SPR60	60.95g	65.97g	3.23cd
	LPT123	71.21b	75.13b	4.21abc
	CNT1	71.30b	75.12b	3.53bcd
	PNPCR	70.71c	74.52c	3.54bcd
	Pr > F	<.0001	<.0001	0.0167
ปัจจัยที่ 2 Starch Concentration	20	67.84a	72.05a	2.85c
	30	67.65a	71.77b	3.80b
	40	67.24b	71.43c	5.20a
	50	66.96b	71.30c	3.02c
	Pr > F	<.0001	<.0001	<.0001

หมายเหตุ a,b,... ตัวอักษรที่แตกต่างกันในแนวตั้งของแต่ละปัจจัยที่ทำการศึกษา (พันธุ์ข้าวและ  
ความเข้มข้นของสตาร์ช) แสดงความแตกต่างกันอย่างมีนัยสำคัญทางสถิติที่ระดับ  
ความเชื่อมั่นร้อยละ 95 ( $P \leq 0.05$ ) และเป็นค่าเฉลี่ยของการทดลอง 2 ชุด  
( $T_o$  = อุณหภูมิเริ่มต้นการเกิดเจลาทีไนซ์ ;  $T_p$  = อุณหภูมิพิกหรืออุณหภูมิเจลาทีไนเซชัน ;  
 $\Delta H_G$  = เอนทัลปีของการเจลาทีไนเซชัน และ  $Pr > F$  = P value of the F test,  
KDML105 = ขาวดอกมะลิ 105 , HSPR = หอมสุพรรณบุรี, HKLG1 = หอมคลองหลวง 1,  
KTH17 = ขาวตามแห้ง 17, SPR2 = สุพรรณบุรี 2, SPR60 = สุพรรณบุรี 60,  
LPT123 = เหลืองประทิว 123, CNT1 = ชัยนาท 1, PNPCR = พลายงามปราจีนบุรี)

ผลการเปลี่ยนแปลงสมบัติทางความร้อนในการเกิดเจลาตีไนซ์ของสตาร์จากข้าวต่ออุณหภูมิเริ่มเกิดเจลาตีไนซ์ (onset temperature;  $T_o$ ) ผลของปัจจัยเกี่ยวกับพันธุ์ข้าว จะเห็นว่าพันธุ์ข้าวมีผลให้อุณหภูมิเริ่มเกิดเจลาตีไนซ์แตกต่างกันดังนี้ สตาร์จากข้าวกลุ่มแอมิโลสต่ำ มีอุณหภูมิเริ่มเกิดเจลาตีไนซ์ต่ำ (low gelatinization temperature) อยู่ในช่วง 63.03 ถึง 64.03 องศาเซลเซียส โดยสตาร์จากข้าวกลุ่มแอมิโลสสูง มีอุณหภูมิเริ่มเกิดเจลาตีไนซ์สูง (high gelatinization temperature) อยู่ในช่วง 70.71 ถึง 71.30 องศาเซลเซียส ทั้งนี้สตาร์จากข้าวกลุ่มแอมิโลสปานกลาง พบว่าอุณหภูมิการเกิดเจลาตีไนซ์ไม่ได้เป็นไปในทิศทางเดียวกัน กล่าวคือสตาร์จากข้าวสุพรรณบุรี 60 มีอุณหภูมิเริ่มเกิดเจลาตีไนซ์ต่ำสุด (60.95 องศาเซลเซียส) แต่สตาร์จากข้าวสุพรรณบุรี 2 ใหม่มีอุณหภูมิเริ่มเกิดเจลาตีไนซ์สูงสุด (72.34 องศาเซลเซียส) โดยมีความแตกต่างกันอย่างมีนัยสำคัญทางสถิติ ( $P \leq 0.05$ ) ซึ่งค่าที่ได้นี้สอดคล้องกับการวัดคุณภาพร่อง RVA (ตารางที่ 2) ที่พบว่าสตาร์จากข้าวสุพรรณบุรี 60 มีค่าอุณหภูมิต่ำสุดที่เม็ดสตาร์ชเริ่มการเจลาตีไนซ์สูงสุด และเม็ดสตาร์ชเริ่มการเจลาตีไนซ์ต่ำสุดที่เม็ดสตาร์ชเริ่มการเจลาตีไนซ์สูงสุด เมื่อเปรียบเทียบอุณหภูมิพิก ซึ่งเป็นอุณหภูมิเจลาตีไนเซชันของสตาร์ช ค่าที่ได้แสดงในตารางที่ 3 พบว่ามีผลการศึกษาไปทิศทางเดียวกันกับอุณหภูมิเริ่มเจลาตีไนเซชันดังนี้ สตาร์จากข้าวกลุ่มแอมิโลสต่ำ มีอุณหภูมิเจลาตีไนเซชันต่ำกว่าสตาร์จากข้าวกลุ่มแอมิโลสสูง และสตาร์จากข้าวกลุ่มแอมิโลสปานกลาง ทั้งนี้การเพิ่มขึ้นหรือลดลงของอุณหภูมิเจลาตีไนเซชันไม่เกี่ยวข้องกับปริมาณแอมิโลส กล่าวคือเมื่อเปรียบเทียบสตาร์จากข้าวทั้ง 9 พันธุ์ พบว่าสตาร์จากข้าวสุพรรณบุรี 2 ที่มีปริมาณแอมิโลสร้อยละ  $20.11 \pm 1.11$  มีอุณหภูมิเจลาตีไนเซชันสูงสุด (76.02 องศาเซลเซียส) และสตาร์จากข้าวสุพรรณบุรี 60 ปริมาณแอมิโลสร้อยละ  $21.2 \pm 0.53$  มีอุณหภูมิเจลาตีไนเซชันต่ำสุด (65.97 องศาเซลเซียส) แตกต่างกันอย่างมีนัยสำคัญทางสถิติ ( $P \leq 0.05$ ) จากการเปรียบเทียบค่าเออนทัลปีของสตาร์จากข้าว 9 พันธุ์ (ตารางที่ 3) พบว่าแตกต่างกันอย่างมีนัยสำคัญทางสถิติ ( $P \leq 0.05$ ) โดยสตาร์จากข้าวขาวตามแห้ง 17 มีค่าเออนทัลปีสูงสุด เท่ากับ 4.63 จูลต่อกรัม และสตาร์จากข้าวหอมสุพรรณบุรี มีค่าเออนทัลปีต่ำสุด เท่ากับ 2.96 จูลต่อกรัม จากการศึกษารังนีปริมาณแอมิโลสที่เพิ่มขึ้นหรือลดลง ไม่มีความสัมพันธ์กับค่าเออนทัลปี แต่จากการศึกษาของ Varavinit and others (2003) พบว่าปริมาณแอมิโลสมีความสัมพันธ์เชิงบวกกับอุณหภูมิเริ่มต้นการเกิดเจลาตีไนซ์ และอุณหภูมิการเกิดเจลาตีไนซ์และปริมาณแอมิโลสไม่มีความสัมพันธ์กับค่าเออนทัลปีของสตาร์จากข้าวตามแห้ง Noda and others (2003) พบว่าปริมาณแอมิโลสมีความสัมพันธ์เชิงลบกับอุณหภูมิเริ่มต้นการเกิดเจลาตีไนซ์ อุณหภูมิการเกิดเจลาตีไนซ์และค่าเออนทัลปีของการเจลาตีไนซ์ ทั้งนี้เนื่องจากสตาร์จากข้าวที่มีค่าความเป็นผลึกสูง ค่าเออนทัลปีสูงขึ้นด้วย และค่าเออนทัลปีไม่มีความสัมพันธ์กับอุณหภูมิเจลาตีไนเซชัน

โดยสตาร์ชที่มีค่าความเป็นผลึกสูงและการจัดเรียงโมเลกุลที่มีระเบียบสูง (high molecular order) ส่งผลให้อุณหภูมิเจลาทีไนซ์สูงขึ้นและค่าเออนทัลปีเพิ่มขึ้นด้วย (Cooke and Gidley 1992; Iturriaga and others 2004) นอกจากนี้ผลจากลักษณะโครงสร้างของแอมิโลเพกติน (amylopectin fine structure) เช่น การกระจาย ความยาวและการจัดเรียงของพันธะเต้นตรงมีผลต่อคุณสมบัติการเจลาทีไนเซชัน ถ้าโครงสร้างแอมิโลเพกตินมีค่าเฉลี่ยของ degree polymerization (DPn) มากกว่า 10 จะเกิดโครงสร้างผลึกเพิ่มขึ้น ดังนั้นสตาร์ชจากข้าวมีอุณหภูมิเจลาทีไนซ์สูงและค่าเออนทัลปีเพิ่มขึ้น โดยเฉพาะอย่างยิ่งข้าวที่เพาะปลูกในสภาพอุณหภูมิสูงคืออุณหภูมิกลางวัน 31-35 องศาเซลเซียส และอุณหภูมิกลางคืน 22-24 องศาเซลเซียส ส่งผลให้ได้โครงสร้างแอมิโลเพกติน ประกอบด้วย DPn short chains (Aboubacar and others 2006) ดังนั้นจะเห็นได้ว่าพันธุ์ข้าวมีผลต่ออุณหภูมิรีมตัน การเกิดเจลาทีไนซ์และอุณหภูมิเจลาทีไนเซชัน ขึ้นกับโครงสร้างของเม็ดสตาร์ช ขนาดของเม็ดสตาร์ช ลักษณะการอัดแน่นของเม็ดสตาร์ช และค่าความเป็นผลึก (Juliano 1984; Iturriaga and others 2004; Sidhi and Singh 2003)

เมื่อพิจารณาผลความเข้มข้นของสตาร์ชจากข้าวต่อค่าอุณหภูมิรีมเกิดเจลาทีไนซ์ พบร้า เมื่อปริมาณน้ำเพิ่มขึ้น ทำให้อุณหภูมิรีมเกิดเจลาทีไนซ์เพิ่มขึ้น โดยอุณหภูมิรีมเกิดเจลาทีไนซ์ สูงสุดที่ปริมาณน้ำร้อยละ 80 (สตาร์ช 20 : น้ำ 80) เท่ากับ 67.84 องศาเซลเซียส โดยมีความแตกต่าง กันอย่างมีนัยสำคัญทางสถิติ ( $P \leq 0.05$ ) กับปริมาณน้ำร้อยละ 40 และร้อยละ 50 แต่เมื่อเปรียบเทียบสตาร์ชจากข้าวที่เดิมปริมาณน้ำร้อยละ 70 ถึง 80 (สตาร์ชจากข้าว ร้อยละ 30 และ 20) พบร้าแตกต่างกันอย่างไม่มีนัยสำคัญทางสถิติ ( $P > 0.05$ ) จากการเปรียบเทียบผลของความเข้มข้น สตาร์ชต่ออุณหภูมิเจลาทีไนเซชัน พบร้าเมื่อความเข้มข้นของสตาร์ชเพิ่มขึ้น ส่งผลให้อุณหภูมิเจลาทีไนเซชันลดลง โดยที่ความเข้มข้นของสตาร์ชต่ำสุด (ร้อยละ 20) มีอุณหภูมิเจลาทีไนเซชัน สูงสุด เท่ากับ 72.05 องศาเซลเซียส แตกต่างกันอย่างมีนัยสำคัญทางสถิติ ( $P \leq 0.05$ ) กับความเข้มข้น ร้อยละ 30 - 40 อย่างไรก็ตามความเข้มข้นของสตาร์ชร้อยละ 40 และ 50 มีอุณหภูมิเจลาทีไนเซชัน แตกต่างกันอย่างไม่มีนัยสำคัญทางสถิติ ( $P > 0.05$ ) ซึ่งสอดคล้องกับการศึกษาของ Iturriaga and others (2004) และ Saif and others (2003) พบร้าปริมาณน้ำเพิ่มขึ้น ส่งผลให้อุณหภูมิรีมเกิดเจลาทีไนซ์และอุณหภูมิเจลาทีไนเซชันเพิ่มขึ้นด้วย ทั้งนี้ขึ้นกับความเป็นผลึกของเม็ดสตาร์ช จากผลการศึกษารึ่งนี้พบว่าปริมาณน้ำหรือความเข้มข้นของสตาร์ชเพิ่มขึ้น ไม่สามารถบอกได้ว่าให้ค่าเออนทัลปีเพิ่มขึ้นหรือลดลง แต่พบว่าที่ความเข้มข้นของสตาร์ชร้อยละ 40 ให้ค่าเออนทัลปีสูงสุด เท่ากับ 5.20 จูลต่อกรัม แตกต่างกันอย่างมีนัยสำคัญทางสถิติ ( $P \leq 0.05$ ) และที่ความเข้มข้นสตาร์ช ร้อยละ 20 ให้ค่าเออนทัลปีต่ำสุด เท่ากับ 2.85 จูลต่อกรัม อย่างไรก็ตามสตาร์ชจากข้าวที่ความเข้มข้น

ร้อยละ 40 และ 50 แต่ก็ต่างกันอย่างไม่มีนัยสำคัญทางสถิติ ( $P>0.05$ ) อาจเนื่องจากปริมาณน้ำในระบบไม่เพียงพอในการทำให้สตาร์ชเกิดการพองตัวและการเกิดเจลของสตาร์ช

ตารางที่ 4 ผลการเปลี่ยนแปลงสมบัติทางความร้อนของเจลสตาร์ชจากข้าวระหว่างการแช่เยือกแข็งโดยเครื่อง DSC

ปัจจัยการศึกษา		$T_{gf}$ (oC)	$T_{cc}$ (oC)	$\Delta H_f$ (J/g)
ปัจจัยที่ 1 Rice Varieties	KDML105	-47.45	-24.82c	56.17
	HSPR	-47.09	-21.33abc	110.62
	HKLG1	-46.50	-23.60bc	87.96
	KTH17	-47.55	-21.25abc	84.90
	SPR2	-48.22	-22.90bc	72.81
	SPR60	-47.80	-23.62bc	67.93
	LPT123	-47.64	-20.63ab	66.99
	CNT1	-47.52	-18.09a	108.26
	PNPC	-47.16	-20.65ab	59.00
	Pr > F	0.2134	0.0097	0.2896
ปัจจัยที่ 2 Starch Concentration	20	-47.24	-17.09a	129.59a
	30	-47.42	-19.17ab	87.07b
	40	-47.52	-21.20b	65.16bc
	50	-47.56	-28.67c	35.80c
	Pr > F	0.8461	<0.0001	<0.0001

หมายเหตุ a,b...ตัวอักษรที่แตกต่างกันในแนวตั้งของแต่ละปัจจัยที่ทำการศึกษา (พันธุ์ข้าวและความเข้มข้นของสตาร์ช) แสดงความแตกต่างกันอย่างมีนัยสำคัญทางสถิติที่ระดับความเชื่อมั่นร้อยละ 95 ( $P\leq 0.05$ ) และเป็นค่าเฉลี่ยของการทดลอง 2 ชุด

( $T_{gf}$  = glass transition temperature of freezing;  $T_{cc}$  = clod-crystallization

temperature;  $\Delta H_f$  = Enthalpy of freezing และ  $Pr > F$  = P value of the F test,

KDML105 = ขาวดอกมะลิ 105, HSPR = หอมสุพรรรณบุรี, HKLG1 = หอมคล่องหลวง 1,

KTH17 = ขาวตาแห้ง 17, SPR2 = ลูกพะโล้ 2, SPR60 = ลูกพะโล้ 60,

LPT123 = เหลืองประทิว 123, CNT1 = ขี้นนาท 1, PNPCR = พลายงามปราจีนบุรี)

ผลการศึกษาการแข่งเยือกแข็งเจลสตาร์ชจากข้าวโดยเครื่อง Differential Scanning Calorimeter จากการลดอุณหภูมิตัวอย่างเจลสตาร์ชไปที่ -60 องศาเซลเซียส ด้วยอัตราการลดลง 20 องศาเซลเซียสต่อนาที เป็นการศึกษาการเปลี่ยนแปลงสภาพภาวะสาระระหว่างการแข่งเยือกแข็งอาหาร (glass transition in frozen foods) พบว่าไม่มีอิทธิพลร่วมกันของทั้งสองปัจจัยแต่มีผลจากปัจจัยหลัก ทั้งสองที่ระดับความเชื่อมั่นร้อยละ 95 ( $P \leq 0.05$ ) สามารถอธิบายได้ดังในตารางที่ 4 ค่าอุณหภูมิกลางสตรานซิชันของการแข่งเยือกแข็ง ( $T_{\text{gf}}$  = glass transition temperature of freezing) เจลสตาร์ชจากข้าวทั้ง 9 พันธุ์และความเข้มข้นของสตาร์ช พบว่าแตกต่างกันอย่างไม่มีนัยสำคัญทางสถิติ ( $P > 0.05$ ) โดยมีช่วงอุณหภูมิกลางสตรานซิชันของการแข่งเยือกแข็งระหว่างอุณหภูมิ -46.05 ถึง -48.22 องศาเซลเซียส และเจลสตาร์ชจากข้าวทั้ง 9 พันธุ์ มีค่าเอนทอลปีของการแข่งเยือกแข็ง (enthalpy of freezing,  $\Delta H_f$ ) จาก 56.17 ถึง 110.62 จูดต่อกรัม แตกต่างกันอย่างไม่มีนัยสำคัญทางสถิติ ( $P > 0.05$ ) แต่อุณหภูมิการเกิดผลึกน้ำแข็งระหว่างการแข่งเยือกแข็ง ( $T_{\text{cc}}$  = cold-crystallization temperature) ของทั้งสองปัจจัยหลักคือพันธุ์ข้าวและความเข้มข้นของสตาร์ชแตกต่างกันอย่างมีนัยสำคัญทางสถิติ ( $P \leq 0.05$ ) โดยข้าวเอ้มิโลสสูงให้อุณหภูมิการสร้างผลึกน้ำแข็งลดลง เนื่องจากเจลสตาร์ชข้าวชัยนาท 1 มีอุณหภูมิการสร้างผลึกน้ำแข็งเท่ากับ -18.09 องศาเซลเซียส เมื่อความเข้มข้นของสตาร์ชเพิ่มขึ้นจากร้อยละ 20 ถึงร้อยละ 50 อุณหภูมิการสร้างผลึกน้ำแข็งลดลงจาก -17.09 ถึง -28.67 องศาเซลเซียส โดยค่าเอนทอลปีของการสร้างผลึกน้ำแข็งของเจลสตาร์ชจากข้าว แตกต่างกันอย่างมีนัยสำคัญทางสถิติ ( $P \leq 0.05$ ) ผลจากความเข้มข้นของสตาร์ชในการศึกษาครั้งนี้ พบว่าความเข้มข้นของสตาร์ชจากข้าวลดลง (ปริมาณน้ำเพิ่มขึ้น) ที่ความเข้มข้นของสตาร์ชร้อยละ 20 ทำให้ค่าเอนทอลปีของการสร้างผลึกน้ำแข็งเพิ่มขึ้น ผลการศึกษาที่ได้สอดคล้องกับการศึกษาของ Chang and Liu (1991) ได้ว่าเจลสตาร์ชจากข้าวที่มีปริมาณน้ำเพิ่มขึ้น มีค่าเอนทอลปีเพิ่มขึ้น เนื่องจากที่ปริมาณน้ำเพิ่มขึ้นต้องใช้พลังงานเพิ่มขึ้นในการเปลี่ยนสภาพจากน้ำให้กลายเป็นผลึกน้ำแข็ง

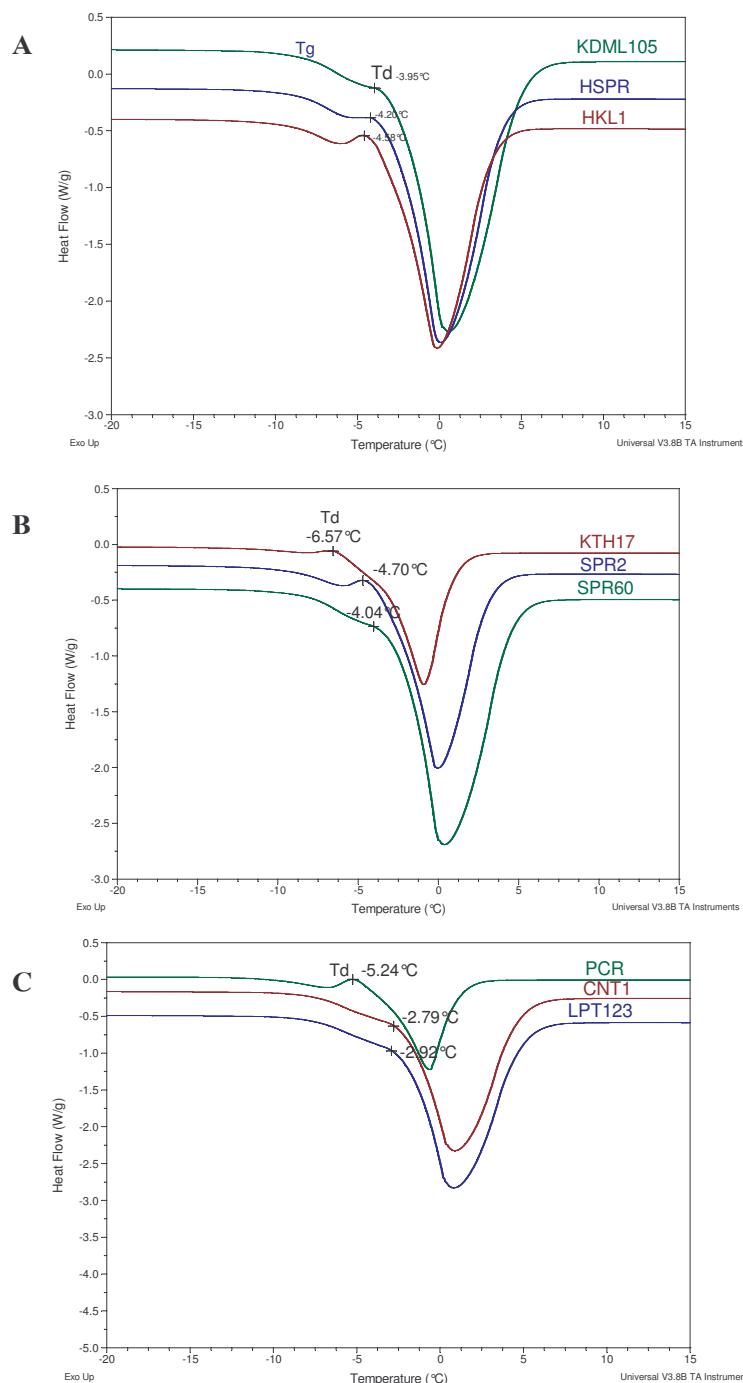
**ตารางที่ 5** ผลของพันธุ์ข้าวต่อการเปลี่ยนแปลงสมบัติทางความร้อนหลังการแช่เยือกแข็งและให้ความร้อนอีกครั้ง (reheat) โดยเครื่อง DSC

ปัจจัยการศึกษา		Tg ( $^{\circ}$ C)	Tm ( $^{\circ}$ C)	$\Delta H$ (J/g)
ปัจจัยที่ 1 Rice Varieties	KDML105	-8.55	0.23	73.07
	HSPR	-8.60	0.12	124.91
	HKLG1	-8.20	0.30	104.64
	KTH17	-8.70	-0.10	93.52
	SPR2	-9.03	-0.17	81.03
	SPR60	-8.41	-0.57	81.11
	LPT123	-8.72	-0.21	70.86
	CNT1	-8.52	0.10	114.29
	PNPCR	-8.53	-0.40	67.25
	Pr > F	0.9508	0.4097	0.2608
ปัจจัยที่ 2 Starch Concentration	20	-7.58a	0.14a	138.01a
	30	-8.44b	-1.02ab	90.61b
	40	-9.16b	-2.68b	82.17bc
	50	-9.15b	-1.44ab	49.51c
	Pr > F	0.0004	0.0139	<.0001

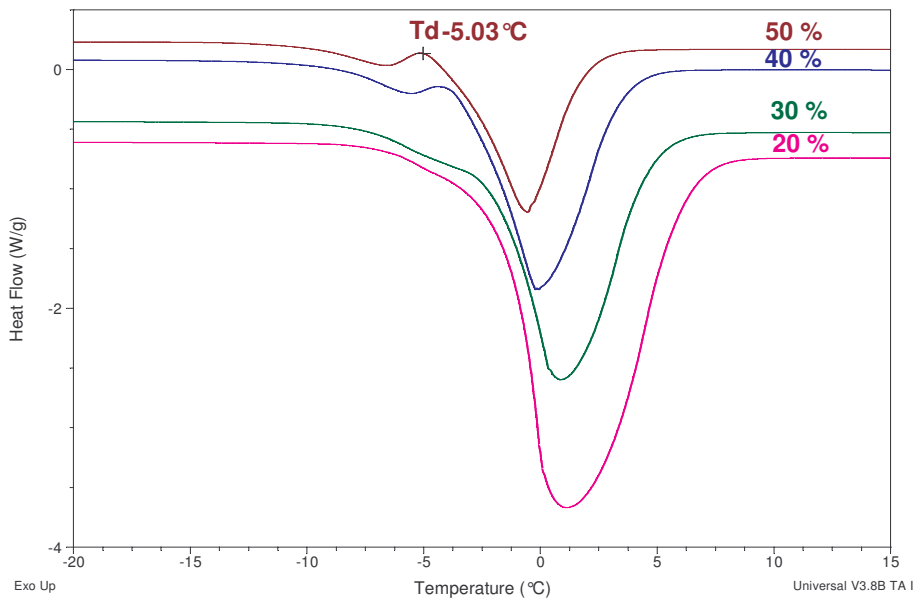
หมายเหตุ a,b...ตัวอักษรที่แตกต่างกันในแนวตั้งของแต่ละปัจจัยที่ทำการศึกษา (พันธุ์ข้าวและความเข้มข้นของสตาร์ช) แสดงความแตกต่างกันอย่างมีนัยสำคัญทางสถิติที่ระดับความเชื่อมั่นร้อยละ 95 ( $P \leq 0.05$ ) และเป็นค่าเฉลี่ยของการทดลอง 2 ครั้ง ( $T_g$  = glass transition temperature;  $T_m$  = melting temperature;  $(\Delta H)$  = enthalpy of reheating;  $Pr > F$  = P value of the F test, KDML105 = ขาวดอกมะลิ 105, HSPR = หอมสุพรรณบุรี, HKLG1 = หอมคล่องหลวง 1, KTH17 = ขาวตาแห้ง 17, SPR2 = สุพรรณบุรี 2, SPR60 = สุพรรณบุรี 60, LPT123 = เหลืองประทิว 123, CNT1 = ซัมนาท 1, PNPCR = พลายงามปราจีนบุรี)

ผลการให้ความร้อนแก่เจลสตาร์จากข้าวอีกครั้ง (reheated) หลังจากเจลสตาร์จากข้าวแช่เยือกแข็ง พบว่าไม่มีอิทธิพลร่วมกันของทั้งสองปัจจัย แต่มีผลจากปัจจัยหลักทั้งสองที่ระดับความเชื่อมั่นร้อยละ 95 ( $P \leq 0.05$ ) พบว่าทั้งพันธุ์ข้าวและปริมาณแอมโมนีโอลอสที่แตกต่างกัน ให้อุณหภูมิกลางานชิ้นของการให้ความร้อนอีกครั้ง (glass transition temperature of reheating,  $T_g$ ) อุณหภูมิการหลอมละลายของการให้ความร้อนอีกครั้ง (melting temperature of reheating หรือ ice melting temperature,  $T_m$ ) เป็นการหลอมละลายของน้ำแข็ง และค่าเออนทัลปี (enthalpy of reheating;  $\Delta H$ ) ของการให้ความร้อนอีกครั้ง แตกต่างกันอย่างไม่มีนัยสำคัญทางสถิติ ( $P > 0.05$ ) มีช่วงอุณหภูมิ  $T_g$  -8.20 ถึง -9.03 องศาเซลเซียส และอุณหภูมิการหลอมละลายอยู่ในช่วง 0.10 ถึง -0.57 องศาเซลเซียส และมีค่าเออนทัลปีอยู่ในช่วง 67.26 ถึง 124.91 จูลต่อกรัม (ตารางที่ 5 และภาพที่ 2) อย่างไรก็ตาม  $T_g$ ,  $T_m$  และค่าเออนทัลปีของการให้ความร้อนอีกครั้ง แตกต่างกันอย่างมีนัยสำคัญทางสถิติ ( $P \leq 0.05$ ) ขึ้นกับปัจจัยของความเข้มข้นสตาร์ซ โดยเมื่อปริมาณน้ำในเจลสตาร์จากข้าวเพิ่มขึ้น อุณหภูมิกลางานชิ้นของการให้ความร้อนอีกครั้ง อุณหภูมิการหลอมละลายของน้ำแข็ง และค่าเออนทัลปีเพิ่มขึ้น เช่นเดียวกับงานวิจัยของ Huang and others (1994) เกี่ยวกับปริมาณน้ำในระบบต่อสมบัติทางความร้อนของเจลแป้งและเจลสตาร์จากข้าว นำไปผ่านการแช่แข็งอย่างรวดเร็วจนกระทั่งอุณหภูมิ -40 องศาเซลเซียส แล้วให้ความร้อนอีกครั้ง โดยการเพิ่มอุณหภูมิจากอุณหภูมิ -40 จนกระทั่งถึงอุณหภูมิ 30 องศาเซลเซียส พบว่าเมื่อปริมาณน้ำร้อยละ 50 ได้ค่าอุณหภูมิกลางานชิ้น อยู่ระหว่างอุณหภูมิ -5 ถึง -10 องศาเซลเซียส และน้ำมีผลให้อุณหภูมิกลางานชิ้นสูงขึ้นเล็กน้อย และจากการศึกษาของ Chung and others (2002) พบว่าเจลสตาร์ซมีค่า  $T_g$  ช่วงอุณหภูมิ -7.7 ถึง -10.0 องศาเซลเซียส โดยเมื่อปริมาณน้ำในเจลสตาร์จากข้าวเพิ่มขึ้น ทำให้อุณหภูมิกลางานชิ้น อุณหภูมิการหลอมละลายและค่าเออนทัลปีเพิ่มขึ้นด้วยสอดคล้องกับการศึกษาของ Iturriaga and others (2004) ได้ว่าสตาร์จากข้าวทุกพันธุ์ที่ทำการศึกษามีอุณหภูมิกลางานชิ้นอยู่ในช่วงอุณหภูมิ -10.6 ถึง -10.9 องศาเซลเซียส แตกต่างกันอย่างไม่มีนัยสำคัญทางสถิติ ( $P > 0.05$ ) เช่นเดียวกันกับ Slade and Levine (1993) กล่าวว่าสารไบโอดอลิเมอร์ที่มีน้ำหนักโมเลกุลสูง ที่ปริมาณน้ำเท่ากับหรือมากกว่าร้อยละ 30 ให้ค่า  $T_g$  ประมาณ -10.0 องศาเซลเซียส นอกจากนี้ผลของการแช่เยือกแข็งแบบช้าและแบบเร็ว จะให้อุณหภูมิกลางานชิ้นเท่ากับ -7.5 และ -9.0 องศาเซลเซียส ตามลำดับ (Hsu and others 2003; Hsu and Heldman 2005) และการเก็บเจลสตาร์จากข้าวความเข้มข้นร้อยละ 35 ไว้ที่อุณหภูมิต่ำ -5 และ -15 องศาเซลเซียสนาน 5 วัน พบว่าอุณหภูมิกลางานชิ้นเพิ่มขึ้น ดังนี้ การแช่แข็งแบบเร็วเก็บที่ -5 องศาเซลเซียสมีค่า  $T_g$  เพิ่มขึ้นจากอุณหภูมิ -9 องศาเซลเซียส ไปที่อุณหภูมิ -6.1 องศาเซลเซียสและการเก็บที่ -15 องศาเซลเซียส ค่า  $T_g$  เพิ่มขึ้น จากอุณหภูมิ -9 องศาเซลเซียส ไปที่อุณหภูมิ -6.3 องศาเซลเซียส

ตัวอย่างเจลที่แช่แข็งแบบข้าเก็บ -5 องศาเซลเซียส ค่า  $T_g$  เพิ่มขึ้นจากอุณหภูมิ -7.5 องศาเซลเซียส ไปที่ อุณหภูมิ-7.0 องศาเซลเซียส และการเก็บที่ -15 องศาเซลเซียส ค่า  $T_g$  เพิ่มขึ้น จากอุณหภูมิ -7.5 องศาเซลเซียส ไปที่อุณหภูมิ-6.3 องศาเซลเซียส พนว่า การแช่เยือกแข็งแบบข้ามีค่า  $T_g$  สูงกว่า การแช่เยือกแข็งแบบเร็ว เพราะมีปริมาณน้ำอิสระมากที่ต้องถูกแช่เยือกแข็ง (high frozen water) (Hsu and Heldman 2005) ดังนั้นจะเห็นได้ว่าปริมาณน้ำเพิ่มขึ้น มีผลต่อการเพิ่มขึ้นของอุณหภูมิกลางส่วนชิ้น อุณหภูมิการหลอมละลาย และค่าอนทัลปีของเจลสตาร์ชจากข้าวที่ให้ความร้อนอีกรึ้ง อุณหภูมิของเจลสตาร์ชจากข้าวที่ความเยื้มขันร้อยละ 20 มีอุณหภูมิการหลอมละลายของน้ำแข็ง เท่ากับ 0.14 องศาเซลเซียส ซึ่งใกล้เคียงกับอุณหภูมิการแช่เยือกแข็งของน้ำ คือ 0 องศาเซลเซียส (Fennema 1996) ซึ่ง Liu and Lelievre (1992) พนว่าเจลสตาร์ชแช่เยือกแข็งจากข้าวที่ความเยื้มขันร้อยละ 30 แล้วทำการให้ความร้อนอีกรึ้ง พิคที่เกิดขึ้นนี้จะพบได้ที่อุณหภูมิเดียวกันกับน้ำบริสุทธิ์ (pure water) แต่พื้นที่ของพิคที่ได้จะมีขนาดเล็กและกว้างกว่าพิคของน้ำบริสุทธิ์



**ภาพที่ 2** DSC เทอร์โมแกรมของอุณหภูมิกลางวดหินซึ่งชี้ว่า (T<sub>g</sub>) ของเจลสตาร์ชแห้งเยื่อออกไซด์  
จากข้าวและให้ความร้อนอีกครั้ง ที่ความเข้มข้นของเจล 30 % w/w [T<sub>d</sub> = exothermic peak,  
A= ปริมาณแอมิโลสตัว (KDM105=ขาดอกมะลิ105, HSPR = หอนสุพรรณบุรี, HKLG1  
= หอนคลองหลวง1), B= ปริมาณแอมิโลสปานกลาง (KTH17 = ขาดาแห้ง17, SPR2 =  
สุพรรณบุรี2, SPR60 = สุพรรณบุรี60), C= ปริมาณแอมิโลสสูง (LPT123 =  
เหลืองประทว123, CNT1 = ขี้นนาท1, PNPCR = พลายางมปราจีนบุรี)]



ภาพที่ 3 ผลของความเข้มข้นของเจลสตราชจากข้าวต่ออุณหภูมิกลางวดน้ำ (Tg)

ของเจลสตราชแห่งเยือกแข็งจากข้าวพันธุ์ชั้นนำที่ ให้ความร้อนอีกครั้ง

(Td = exothermic peak)

นอกจากนี้จากการศึกษารังนีบั้งพบรีคการคายความร้อน (Exothermic peak; Td) (ภาพที่ 2-3) ระหว่างอุณหภูมิ -2 ถึง -5 องศาเซลเซียส และพีคนีปราภูมิให้เห็นอย่างชัดเจนที่ความเข้มข้นของเจลสตราชสูงกว่าร้อยละ 40 ซึ่งเป็นพีคนีที่เกิดจากน้ำที่ไม่ถูกแข็ง (unfrozen water) เนื่องจาก การลดอุณหภูมิลงอย่างรวดเร็วระหว่างการแข็งแข็ง (rapid cooling) ทำให้เกิดการดึงความร้อนออก จากตัวอย่างอย่างรวดเร็ว ส่งผลให้ไม่มีการสร้างผลึกน้ำแข็งในตัวอย่างเจลสตราชจากข้าวแต่เกิด การเปลี่ยนสภาพเข้าสู่ verification และนำส่วนนีบั้งคงอยู่ในสภาพกลาส (glassy state) หรือ เฟลกลาส (glass phase) ปราภูมิให้เห็นเป็นพีคนีคการคายความร้อน (Shafiqur Rahman 1999; Huang and others 1994; Hsu and others 2003) โดยขนาดของพีคนีคการคายความร้อนนี ถ้าปริมาณน้ำเพิ่มขึ้น จะได้พีคนีคการคายความร้อนขนาดเล็กลงและไม่ปราภูมิพีคนีในน้ำบริสุทธิ์ (Liu and Lelievre 1992)

## 1.4 ผลของการศึกษาผลกระทบจากการคืนรูปจากเยื่อแก้ไข้ 5 รอบ

### 1.4.1 ผลการวิเคราะห์การเปลี่ยนแปลงของเนื้อสัมผัสของเจลสตาร์จากข้าว

จากการวัดลักษณะเนื้อสัมผัสของเจลสตาร์จากข้าวหลังการทำให้สุก หรือในที่นี่เรียกว่า เจลสด ทำการเปรียบเทียบกับเจลที่ผ่านการคืนรูปจากเยื่อแก้ไข้ จำนวน 5 รอบ และเจลที่ให้การความร้อนอีกครั้ง ด้วยแรงกด (compression) ที่ระดับต่างกัน 2 ระดับ คือ ค่าแรงกดร้อยละ 15 และ ร้อยละ 70 ของความหนาของเจลสตาร์ซึ่งเห็นได้ว่าลักษณะเนื้อสัมผัสของเจลสดที่ค่าแรงกดร้อยละ 15 ของความหนาของเจลสตาร์ซึ่งใช้อธิบายลักษณะการติดเหนี่ยวของเจล (stickiness) ที่มีน้ำอุ่นรีเวณผิวน้ำของเจลสตาร์ซึ่งเนื่องจากการเปลี่ยนแปลงของอุณหภูมิ (fluctuate temperature) หรือการคืนรูปจากเยื่อแก้ไข้ พนว่าปริมาณแอมิโลสที่แตกต่างกัน ทำให้เจลสตาร์จากข้าวให้ค่าความแข็งแตกต่างกันอย่างมีนัยสำคัญทางสถิติ ( $P \leq 0.05$ ) โดยสตาร์จากข้าวที่มีปริมาณแอมิโลสสูง ได้แก่ ข้าวพันธุ์เหลืองประทิว 123 ชั้ยนาท 1 และพลา秧งามปราจีนบุรี ต้องใช้แรงกดมากกว่าข้าวที่มีปริมาณแอมิโลสปานกลางและปริมาณแอมิโลสต่ำ ซึ่งจะเห็นได้จากค่าความแข็งของเจลสดที่มีค่าเพิ่มขึ้น โดยพันธุ์ข้าวที่มีค่าความแข็งสูงสุดและต่ำสุด คือ พันธุ์พลา秧งามปราจีนบุรี และขาวดอกมะลิ 105 ให้ค่าความแข็ง เท่ากับ 52.29 และ 10.12 กรัมแรง ตามลำดับ เมื่อเปรียบเทียบกับเจลสดกับเจลที่ผ่านการคืนรูปจากเยื่อแก้ไข้และเจลที่ให้การความร้อนอีกครั้ง พนว่าสตาร์จากข้าวทุกพันธุ์ให้ค่าความแข็งลดลง (มีความนุ่มนิ่น) อย่างไรก็ตามค่าความแข็งที่ได้มีแนวโน้มเพิ่มขึ้นกับเจลสด กล่าวคือเจลที่มีปริมาณแอมิโลสสูง มีค่าความแข็งเพิ่มขึ้น

จากการพิจารณาการเปลี่ยนแปลงความแข็ง (ร้อยละ) ของเจลสตาร์จากข้าว จะเห็นว่า กลุ่มสตาร์จากข้าวปราจีนบุรี มีการเปลี่ยนแปลงใกล้เคียงกัน และกลุ่มสตาร์จากข้าว ปราจีนบุรี มีการเปลี่ยนแปลงมากน้อยแตกต่างกันออกไป ขึ้นกับพันธุ์ข้าว โดยเจลสตาร์ซึ่งมาจากข้าวพลา秧งามปราจีน มีการเปลี่ยนแปลงมากที่สุด (ร้อยละ 40.96) และเจลสตาร์จากข้าวสุพรรณบุรี 2 มีการเปลี่ยนแปลงน้อยที่สุด (ร้อยละ -0.87) สรุปได้ว่าเจลสตาร์จากข้าวแอมิโลสต่างกัน มีความทนต่อการคืนรูปจากเยื่อแก้ไข้ 5 รอบต่างกัน อาจเนื่องจากความแตกต่างของโครงสร้างภายในเม็ดสตาร์ซึ่งโครงสร้างแอมิโลเพกตินที่มีลักษณะโครงสร้างแบบมีกิ่งก้านและค่าความเป็นผลลัพธ์สูง จะทำให้สามารถจับน้ำไว้ในโครงสร้างเจลได้ดีขึ้น

ตารางที่ 6 ผลการคืนรูปจากเยือกแข็ง 5 รอบต่อค่าความแข็งของเจลสตาร์ชจากข้าว โดยเครื่องวัดลักษณะเนื้อสัมผัส (TA-XT2) ที่แรงกดร้อยละ 15 ของความหนาของเจลสตาร์ช

Rice varieties	Hardness (g force)			
	Fresh gels	Freeze/thaw and reheat gels	Change of hardness (%)	Freeze/thaw gels without reheat
KDML105	10.12g	7.19d	-28.95	168.81e
HSPR	15.22ef	11.01d	-27.66	308.87d
HKLG1	13.54f	10.32d	-23.78	275.36d
KTH17	23.03d	18.59c	-19.28	445.51c
SPR2	17.24e	17.39c	0.87	422.49c
SPR60	31.03c	20.30c	-34.58	409.16c
LPT123	52.92a	40.90a	-22.71	684.91a
CNT1	46.94b	41.59a	-11.40	752.21a
PNPCR	52.29a	30.87b	-40.96	537.20b
Pr > F	<0.0001	<0.0001	-	<0.0001

หมายเหตุ a,b...ตัวอักษรที่แตกต่างกันในแนวตั้ง แสดงความแตกต่างกันอย่างมีนัยสำคัญทางสถิติที่ระดับความเชื่อมั่นร้อยละ 95 ( $P \leq 0.05$ ) จากค่าเฉลี่ยของการทดลอง 3 ชุด  
( $Pr > F = P$  value of the F test, KDML105 = ขาวดอกมะลิ 105, HSPR = หอมสุพรรณบุรี,  
HKLG1 = หอมคลองหลวง 1, KTH17 = ขาวตาแห้ง 17, SPR2 = สุพรรณบุรี 2,  
SPR60 = สุพรรณบุรี 60, LPT123 = เหลืองประทิว 123, CNT1 = ชัยนาท 1,  
PNPCR = พลายงามปราจีนบุรี)

ตารางที่ 7 ผลการคืนรูปจากเยือกแข็ง 5 รอบต่อค่าความแข็งของเจลสตาร์ชจากข้าวโดยเครื่องวัดลักษณะเนื้อสัมผัส (TA-XT2) ที่แรงกดร้อยละ 70 ของความหนาของเจลสตาร์ช

Rice varieties	Hardness (g force)			
	Fresh gels	Freeze/thaw and reheat gels	Change of Hardness	Freeze/thaw gels without reheat
			(%)	
KDML105	34.85f	21.02d	-39.68	196.98f
HSPR	46.48f	36.02de	-22.50	314.98e
HKLG1	70.95f	34.68de	-51.12	314.84e
KTH17	174.48de	81.61cd	-53.23	543.04c
SPR2	142.97e	109.41cd	-23.47	515.35cd
SPR60	190.12d	83.24cd	-56.22	452.28d
LPT123	360.27b	230.87a	-35.92	697.41b
CNT1	410.78a	194.14ab	-52.74	762.01a
PNPCR	360.27b	156.51b	-56.56	542.39c
Pr > F	<0.0001	<0.0001	-	<0.0001

หมายเหตุ a,b...ตัวอักษรที่แตกต่างกันในแนวนี้ แสดงความแตกต่างกันอย่างมีนัยสำคัญทางสถิติที่ระดับความเชื่อมั่นร้อยละ 95 ( $P \leq 0.05$ ) จากค่าเฉลี่ยของการทดลอง 3 ชุด (KDML105 = ขาวดอกมะลิ 105, HSPR = หอมสุพรรณบุรี, HKLG1 = หอมคลองหลวง 1, KTH17 = ขาวตาแห้ง 17, SPR2 = สุพรรณบุรี 2, SPR60 = สุพรรณบุรี 60, LPT123 = เหลืองประทวี 123, CNT1 = ขี้นนาท 1, PNPCR = พลายงามปราจีนบุรี, Pr > F = P value of the F test)

จากตารางที่ 7 ลักษณะเนื้อสัมผัสของเจลสตาร์ชจากข้าว ทำการทดสอบด้วยแรงกดร้อยละ 70 ของความหนาของเจลสตาร์ช พบร่วมกับค่าความแข็งเจลสตาร์ชจากข้าวแต่ละพันธุ์ แตกต่างกันอย่างมีนัยสำคัญทางสถิติ ( $P \leq 0.05$ ) ตามลำดับจากค่าความแข็งน้อยไปมากดังนี้ สตาร์ชจากข้าวที่มีปริมาณแอมิโลสต่ำ สตาร์ชจากข้าวที่มีปริมาณแอมิโลสปานกลางและสูง โดยเจลสตาร์ชจากข้าวที่มีปริมาณแอมิโลสสูงแต่ละพันธุ์ มีค่าความแข็งที่สูงกว่าเจลสตาร์ชที่ร้อยละ 15

กล่าวคือการคืนรูปจากเยือกแข็ง 5 รอบและให้ความร้อนอีกรั้ง พนว่าเจลสตาร์ซจากข้าวทุกพันธุ์ มีค่าความแข็งลดลงและมีค่าความแข็งต่ำกว่าเจลสด โดยสตาร์ซจากข้าวที่มีปริมาณแอมิโน酳สูงให้ค่าความแข็งสูงสุด และการเปลี่ยนแปลงที่เกิดขึ้นนี้มีผลกระทบอย่างมากในเจลสตาร์ซจากข้าวกลุ่มแอมิโน酳ส่วนกลางและสูง ยกเว้นเจลสตาร์ซจากข้าวสุพรรณบุรี 2 ที่มีการเปลี่ยนแปลงความแข็งลดลงร้อยละ 23.47 อย่างไรก็ตามเจลสตาร์ซจากข้าวหอมคลองหลวง 1 กลับมีการเปลี่ยนแปลงมากกว่าเจลสตาร์ซจากข้าวในกลุ่มแอมิโน酳เดียวกัน ดังนั้นจากการที่ 7 สรุปได้ว่าเจลสตาร์ซจากข้าวหอมสุพรรณบุรี 2 มีการเปลี่ยนแปลงของความแข็งน้อยที่สุด (ร้อยละ 22.50) และเจลสตาร์ซจากข้าวพลายงามปราจีน มีการเปลี่ยนแปลงของความแข็งมากที่สุด (ร้อยละ 56.56) เนื่องจากการคืนรูปจากเยือกแข็งทำให้น้ำส่วนมากที่อยู่ในโครงร่างเจล (matrix) จะออกไประยุ่นออกเซลล์ เมื่อทำการแช่เยือกแข็งอีกรั้ง น้ำส่วนนี้จะเปลี่ยนไปเป็นน้ำแข็ง ซึ่งถูกหุ้มด้วยเยื่อหุ้มเซลล์ (membrane) บาง ๆ ถ้ามีการคืนรูปจากเยือกแข็งหลายครั้ง ทำให้โครงสร้างเจลที่จับน้ำไว้ถูกทำลาย (collapse) ดังนั้นน้ำที่อยู่ภายในโครงร่างจะแยกออกจากมวลอยู่นอกเยื่อหุ้มเซลล์ เรียกว่า การขับน้ำออกจากเจล (syneresis) (Jeong and Lim 2003)

#### 1.4.2 ผลการวิเคราะห์การขับของเหลวออกจากเจลของเจลสตาร์ซจากข้าวของการคืนรูปจากเยือกแข็ง 5 รอบ (Freeze–Thaw Stability by Syneresis)

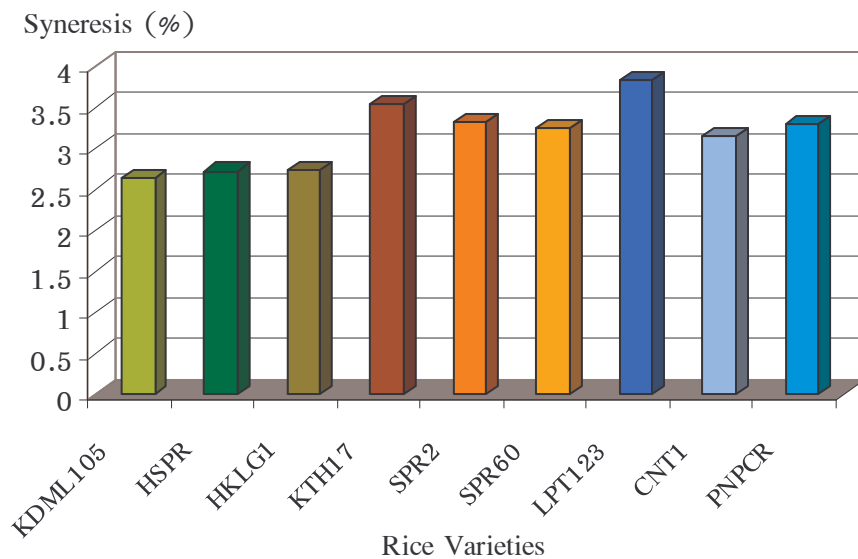
จากผลการคืนรูปจากเยือกแข็ง 5 รอบต่อร้อยละการขับของเหลวออกจากเจลในเจลสตาร์ซจากข้าว ที่มีความเข้มข้นร้อยละ 30 (ตารางที่ 8 และภาพที่ 4) พนว่าพันธุ์ข้าวและปริมาณแอมิโน酳มีผลต่อร้อยละการขับของเหลวออกจากเจล แตกต่างกันอย่างมีนัยสำคัญทางสถิติ ( $P \leq 0.05$ ) เจลสตาร์ซจากข้าวแอมิโน酳ต่ำ มีร้อยละการขับของเหลวออกจากเจลต่ำกว่าเจลสตาร์ซจากข้าวแอมิโน酳ส่วนกลางและสูง โดยสตาร์ซจากข้าวที่อยู่ในกลุ่มแอมิโน酳ใกล้เคียงกันให้ร้อยละการขับของเหลวออกจากเจลใกล้เคียงกันและแตกต่างกันอย่างไม่มีนัยสำคัญทางสถิติ ( $P > 0.05$ ) จะเห็นได้จากเจลสตาร์ซจากข้าวกลุ่มแอมิโน酳ต่ำ ได้แก่ ขาวดอกมะลิ 105 หอมสุพรรณบุรี และหอมคลองหลวง 1 ที่ให้ค่าการขับของเหลวออกจากเจลอยู่ในช่วงร้อยละ  $2.64 \pm 0.09$  ถึง  $2.73 \pm 0.24$  และค่าการคืนตัวต่ำสุด (ตารางที่ 2) แตกต่างกันอย่างไม่มีนัยสำคัญทางสถิติ ( $P > 0.05$ ) เมื่อเปรียบเทียบในกลุ่มแอมิโน酳ส่วนกลางและสูง พนว่าการขับของเหลวออกจากเจลมากหรือน้อยขึ้นอยู่กับพันธุ์ โดยสตาร์ซจากข้าวพันธุ์เหลืองประทิว 123 มีร้อยละการขับของเหลวออกจากเจลมากที่สุด ( $3.82 \pm 0.08$ ) แตกต่างกันอย่างมีนัยสำคัญทางสถิติ ( $P \leq 0.05$ ) ซึ่งผลการศึกษาของ Varavinit and others (2002) ได้ว่าสตาร์ซจากข้าวปริมาณแอมิโน酳สูง (ร้อยละ 28) ที่ความเข้มข้นของสตาร์ซร้อยละ 6 หลังการหมุนเวียนที่ความเร็ว  $1180 \times g$  นาน 15 นาที ให้ค่าร้อยละการขับของเหลวออกจากเจลสูงสุด

เท่ากับ ร้อยละ  $54.50 \pm 6.48$  และจากการศึกษาของ Zheng and Sosulski (1998) พบว่าสตาร์จากข้าวปริมาณแอมิโลส ร้อยละ 16.9 ที่มีความเข้มข้นร้อยละ 8 หลังการคืนรูปจากเยือกแข็ง 4 รอบ มีร้อยละปริมาณสุทธิการขับของเหลวออกจากเจล (net syneresis) เท่ากับ ร้อยละ 69.5 ดังนั้นจากผลการทดลองเหล่านี้พิจารณาได้ว่าร้อยละการขับของเหลวออกจากเจลในเจลสตาร์จากการคืนรูปจากเยือกแข็ง 5 รอบ ขึ้นอยู่กับความเข้มข้นของสตาร์และอุณหภูมิของการคืนรูปจากเยือกแข็ง ถ้าใช้อุณหภูมิสูงในการคืนรูปจากเยือกแข็ง (60 และ 90 องศาเซลเซียส) เจลสตาร์จะมีความคงตั้งต่อการคืนรูปจากเยือกแข็งได้ดีกว่าการคืนรูปจากเยือกแข็งที่อุณหภูมิ 30 องศาเซลเซียส เนื่องจากเจลที่เกิดการรีโตรเกรเดชันเกิดการผันกลับ (re-dissolved) ของโครงสร้างเจลระหว่างการให้ความร้อนที่อุณหภูมิสูง (Varavinit and others 2002) ทั้งนี้ปริมาณแอมิโลสในข้าวเพียงอย่างเดียว ไม่สามารถบอกได้โดยตรงว่าจะมีผลให้เกิดการขับของเหลวออกจากเจลมากหรือน้อย แต่โดยทั่วไปถ้าปริมาณแอมิโลสต่ำ มีผลให้การขับของเหลวออกจากเจลต่ำ และถ้าสตาร์จากข้าวมีแอมิโลเพกทินที่ประกอบด้วยพันธะกิ้งก้านที่ยาว (long branch chains) มีการเข้าจับที่ไม่เลกฤทธิ์แอมิโลสมากกว่าไม่เลกฤทธิ์แอมิโลเพกทิน ดังนั้นถ้าสตาร์จากข้าวมีแอมิโลเพกทินมีพันธะกิ้งก้านยาว (long branch chains) จำนวนมาก มีผลให้การขับของเหลวออกจากเจลเพิ่มขึ้น (Jane and Chen 1992)

**ตารางที่ 8** ผลของพันธุ์ข้าวต่อการขับของเหลวออกจากเจลระหว่างการคืนรูปจากเยือกแข็ง 5 รอบ ของเจลสตาร์แซ่บเยือกแข็งจากข้าว ที่ความเข้มข้นสตาร์ชร้อยละ 30

พันธุ์ข้าว	Syneresis (%)
ข้าวดอกมะลิ 105	$2.64 \pm 0.09c$
หอมสุพรรณบุรี	$2.72 \pm 0.05c$
หอมคลองหลวง 1	$2.73 \pm 0.24c$
ข้าวตาแห้ง 17	$3.54 \pm 0.39ab$
สุพรรณบุรี 2	$3.31 \pm 0.62abc$
สุพรรณบุรี 60	$3.25 \pm 0.37abc$
เหลืองประทิว 123	$3.82 \pm 0.08a$
ขี้ยนาท 1	$3.15 \pm 0.13bc$
พลายงามปราจีนบุรี	$3.29 \pm 0.35abc$
Pr > F = P value of the F test	0.0106

หมายเหตุ a,b,... ตัวอักษรที่แตกต่างกันตามแนวตั้งแสดงถึงความแตกต่างกันอย่างมีนัยสำคัญทางสถิติที่ระดับความเชื่อมั่นร้อยละ 95 ( $P \leq 0.05$ ) และ จากการทดลอง 3 ครั้ง

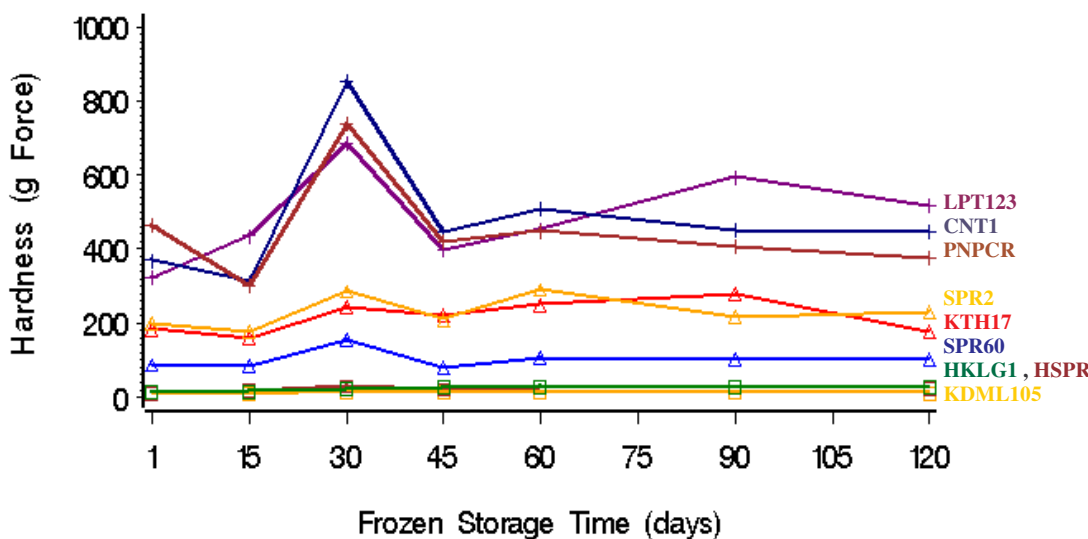


ภาพที่ 4 ผลของพันธุ์ข้าวต่อการขับของเหลวออกจากเซลล์ระหว่างการคืนรูปจากเยือกแข็ง 5 รอบ (KDM105 = ข้าวดอกมะลิ 105, HSPR = หอมสุพรรณบุรี, HKLG1 = หอมคลองหลวง 1, KTH17 = ข้าวตาแห้ง 17, SPR2 = สุพรรณบุรี 2, SPR60 = สุพรรณบุรี 60, LPT123 = เหลืองประทิว 123, CNT1 = ขี้นนาท 1, PNPCR = พลายงามปราจีนบุรี)

## 1.5 ผลการศึกษาผลกระทบของระยะเวลาการเก็บเฉล stellen แข็งเยือกแข็งจากข้าว

### 1.5.1 ผลการวิเคราะห์การเปลี่ยนแปลงของลักษณะเนื้อสัมผัสของเฉล stellen จากข้าว

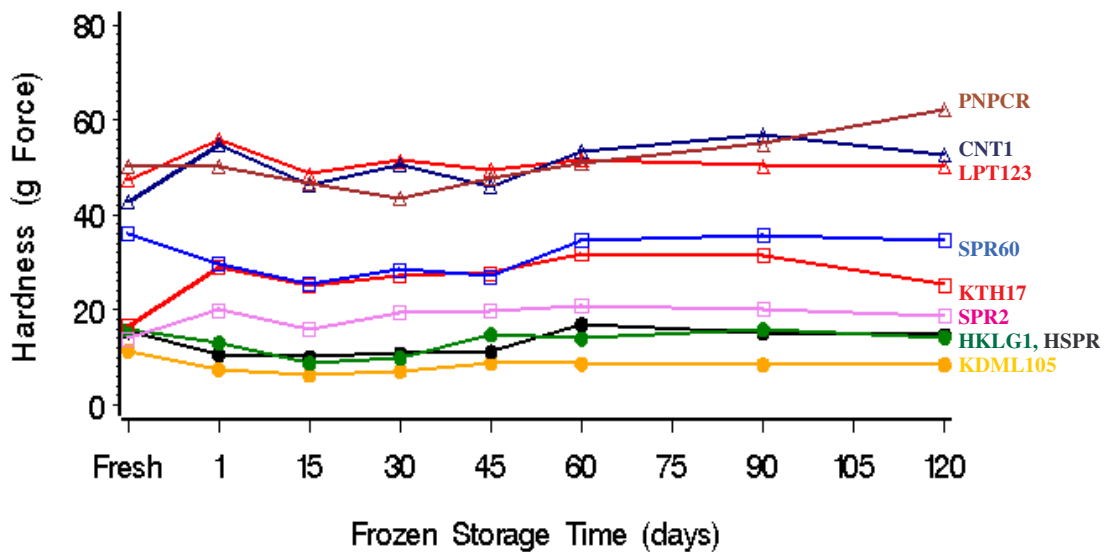
(1) การวัดลักษณะเนื้อสัมผัสด้วยการใช้แรงกดเพื่อให้เกิดการเปลี่ยนแปลงรูปร่างร้อยละ 15 จากการวัดความแข็งของเฉล stellen แข็งเยือกแข็งจากข้าว ที่อุณหภูมิ -18 องศาเซลเซียส ระยะเวลาการเก็บนาน 1 15 30 45 60 90 และ 120 วัน พบร่วมกันนิดข้าวและระยะเวลาการเก็บ มีผลกระทบต่อลักษณะเนื้อสัมผัสของเฉล stellen จากข้าว 9 พันธุ์ โดยแตกต่างกันอย่างมีนัยสำคัญทางสถิติ ( $P \leq 0.05$ ) แสดงดังภาพที่ 5



ภาพที่ 5 ผลของค่าความแข็งของเจลสตาร์ช蟹เมื่อแยกเป็นจากข้าว ที่อุณหภูมิ -18 องศาเซลเซียส ระยะเวลาการเก็บ 1 15 30 45 60 90 และ 120 วัน หลังการคืนรูปจากเยือกแข็ง ทดสอบที่แรงกดเพื่อให้เกิดการเปลี่ยนแปลงรูปร่างร้อยละ 15 ของความหนาเจลสตาร์ช (KDML105 = ขาวดอกมะลิ 105, HSPR = หอมสุพร摊บุรี, HKLG1 = หอมคลองหลวง 1, KTH17 = ขาวตาแห้ง 17, SPR2 = สุพรรณบุรี 2, SPR60 = สุพรรณบุรี 60, LPT123 = เหลืองประทิว 123, CNT1 = ขั้นนาท 1, PNPCR = พลายงามปราจีนบุรี)

ผลของค่าความแข็งจากการใช้แรงกดให้เกิดการเปลี่ยนแปลงรูปร่างร้อยละ 15 ของเจลสตาร์ช蟹เมื่อแยกเป็นจากข้าว ที่อุณหภูมิ -18 องศาเซลเซียส ระยะเวลาการเก็บ 1 15 30 45 60 90 และ 120 วัน จากปัจจัยที่ทำการศึกษา 2 ปัจจัย คือ พันธุ์ข้าวและระยะเวลาการเก็บ พนว่ามีอิทธิพลร่วมกันของทั้งสองปัจจัย แต่กต่างกันอย่างมีนัยสำคัญทางสถิติ ( $P \leq 0.05$ ) เมื่อพิจารณาตามกลุ่มแอลกออลสเทียนว่าเจลสตาร์ชจากข้าวกลุ่มแอลกออลสต้า มีการเปลี่ยนแปลงค่าความแข็งลดลงระยะเวลาการเก็บ 1 ถึง 120 วัน แต่กต่างกันอย่างไม่มีนัยสำคัญทางสถิติ ( $P > 0.05$ ) ส่วนสตาร์ชจากข้าวขาวตาก 17 ระยะเวลาการเก็บ 90 วัน เจลสตาร์ชให้ค่าความแข็งสูงสุด และระยะเวลาการเก็บที่ 1 วัน กับ 90 วัน แตกต่างกันอย่างมีนัยสำคัญทางสถิติ ( $P \leq 0.05$ ) แต่ระยะเวลาการเก็บ 30 วัน กับ 90 วัน แตกต่างกันอย่างไม่มีนัยสำคัญทางสถิติ ( $P > 0.05$ ) โดยระยะเวลาการเก็บ 1 วัน กับ 120 วัน พนว่าค่าความแข็งของเจลสตาร์ชจากข้าวกลุ่มแอลกออลสปานกลาง แตกต่างกันอย่างไม่มีนัยสำคัญทางสถิติ ( $P > 0.05$ ) เมื่อเปรียบเทียบสตาร์ชจากข้าวในกลุ่มแอลกออลสูง พนว่าค่าความแข็งลดลงในช่วง 1 ถึง 15 วัน และเพิ่มขึ้นอย่างรวดเร็วโดยมีค่าความแข็งสูงสุด ที่ระยะเวลาการเก็บนาน 30 วัน แตกต่างกัน

อย่างมีนัยสำคัญทางสถิติ ( $P \leq 0.05$ ) ดังนั้นจากผลการศึกษาครั้งนี้ได้ว่าการเก็บเจลสตาร์ชจากข้าวกลุ่มแอมิโลสปานกลางและแอมิโลสสูงที่ 30 วัน เป็นเวลาวิกฤตของการแข็งเยือกแข็งเจลสตาร์ช (the critical time of frozen gels) หลังระยะเวลาการเก็บ 30 วัน จะเห็นว่าเจลสตาร์ชจากข้าวชั้นที่ 1 และพลา秧งามปราจีนบุรีให้ค่าความแข็งลดลง เนื่องจากโครงสร้างเจลเริ่มเกิดเสื่อมสภาพ (structure deterioration) (Mandala and others 2002) แต่ในสตาร์ชจากข้าวกลุ่มแอมิโลสสูงเมื่อเทียบกับการเก็บ 1 วัน กับ 120 วัน พบร่วมกันอย่างไม่มีนัยสำคัญทางสถิติ ( $P > 0.05$ ) ยกเว้นเจลสตาร์ชจากข้าวเหลืองประทิว 123 แตกต่างกันอย่างมีนัยสำคัญทางสถิติ ( $P \leq 0.05$ ) จากการวัดค่าความแข็งสามารถบ่งชี้ถึงอัตราและระดับการเกิดริโตรเกรเดชันตามลำดับดังนี้ สตาร์ชจากข้าวกลุ่มแอมิโลสสูงมากกว่ากลุ่มแอมิโลสปานกลางและกลุ่มแอมิโลสต่ำ ซึ่งจากการศึกษาของ Hagenimana and others (2005) ได้นำสตาร์ชจากข้าวของประเทศไทยที่มีปริมาณแอมิโลสต่างกัน ได้แก่ สตาร์ชจากข้าวเหนียวและสตาร์ชจากข้าวเจ้า ทำการทดสอบให้มีปริมาณแอมิโลสต่างกัน เตรียมล่วงทดสอบเจลสตาร์ชจากข้าวมีความเข้มข้นร้อยละ 16 และตัวอย่างเจลสตาร์ชเก็บที่อุณหภูมิแข็งเยือกแข็ง  $4 \pm 0.5$  องศาเซลเซียส นาน 3 และ 7 วัน ทำการวัดค่าความแข็งด้วยค่าแรงกดเป็นระยะทาง 30 มิลลิเมตร เพื่อใช้เป็นดัชนีการเกิดริโตรเกรเดชันของเจลสตาร์ช พบร่วมกับการทดสอบสตาร์ชจากข้าวเหนียวร้อยละ 25 ในสตาร์ชจากข้าวที่มีปริมาณแอมิโลสต่ำและปานกลาง ช่วยลดอัตราการเกิดความแน่นเนื้อ (rate of firmness) และความแข็งของเจลสตาร์ช

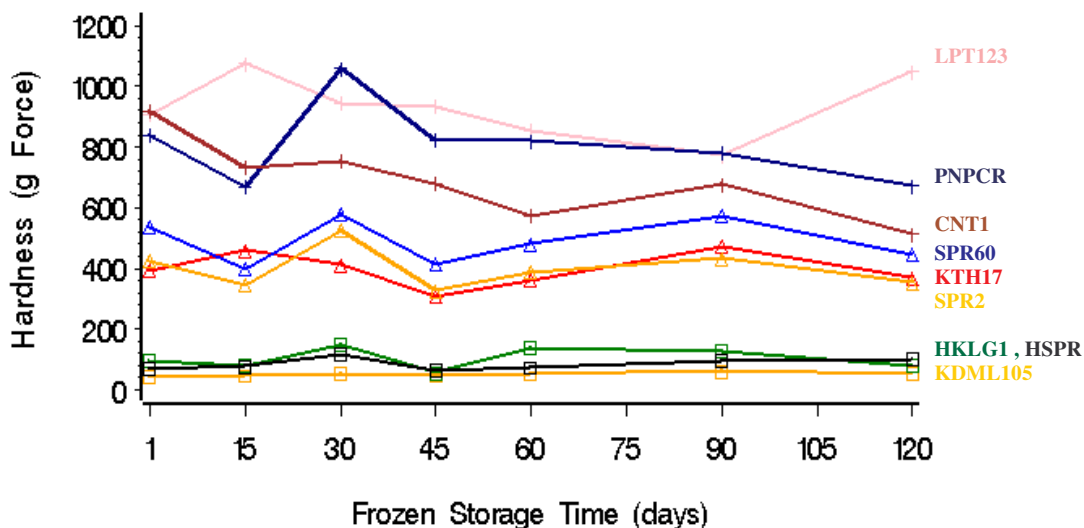


ภาพที่ 6 ผลของค่าความแข็งของเจลสตาร์ชแห่เยือกแข็งจากข้าว ที่อุณหภูมิ -18 องศาเซลเซียส ระยะเวลาการเก็บ 0 (fresh gels) 1 15 30 45 60 90 และ 120 วัน หลังการคืนรูปจากเยือกแข็งและให้ความร้อนอีกครั้ง ทดสอบที่แรงกดเพื่อให้เกิดการเปลี่ยนแปลงรูปร่างร้อยละ 15 ของความหนาเจลสตาร์ช (KDML105 = ขาวดอกมะลิ 105, HSPR = หอมสุพรรณบุรี, HKLG1 = หอมคลองหลวง 1, KTH17 = ขาวตาแห้ง 17, SPR2 = สุพรรณบุรี 2, SPR60 = สุพรรณบุรี 60, LPT123 = เหลืองประทิว 123, CNT1 = ขี้นนาท 1, PNPCR = พลายงามปราจีนบุรี)

จากภาพที่ 6 แสดงให้เห็นถึงค่าความแข็งจากการใช้แรงกดเพื่อให้เกิดการเปลี่ยนแปลงรูปร่างร้อยละ 15 ของเจลสตาร์ชแห่เยือกแข็งที่อุณหภูมิ -18 องศาเซลเซียส ระยะเวลาการเก็บนาน 1 15 30 45 60 90 และ 120 วัน และให้ความร้อนอีกครั้ง เปรียบเทียบกับเจลสด หรือที่ 0 วัน จากปัจจัยที่ทำการศึกษา 2 ปัจจัย คือ พันธุ์ข้าวและระยะเวลาการเก็บดังกล่าว พบว่าไม่มีอิทธิพลร่วมกันของทั้งสองปัจจัย ( $P > F = 0.16$ ) แต่เป็นผลมาจากการปัจจัยหลัก (main effect) ทั้งสองปัจจัย ทำให้มีความแตกต่างกันอย่างมีนัยสำคัญทางสถิติ ( $P \leq 0.05$ ) จากการเปรียบเทียบข้าวกลุ่มแอมิโลสต่ำ ค่าความแข็งมีแนวโน้มลดลง จนกระทั่งที่อายุการเก็บ 45 วัน ค่าความแข็งมีแนวโน้มเพิ่มขึ้น อย่างไรก็ตามตลอดระยะเวลาการเก็บจากการเปรียบเทียบการเก็บ 0 วัน กับการเก็บที่ 45 60 120 วัน และ 45 กับ 120 วัน และสตาร์ชจากข้าวในกลุ่มแอมิโลสต่ำทั้ง 3 พันธุ์ มีการเปลี่ยนแปลงของค่าความแข็งแตกต่างกันอย่างไม่มีนัยสำคัญทางสถิติ ( $P > 0.05$ ) จากการเปรียบเทียบข้าวกลุ่มแอมิโลสปานกลาง พบว่าเจลสตาร์ชจากข้าวขาวตาแห้ง 17 และสุพรรณบุรี 2 ในช่วงแรกการเก็บ 1 วัน มีแนวโน้มให้ค่า

ความแข็งเพิ่มขึ้น โดยค่าความแข็งที่ 0 วัน กับ 1 วัน แตกต่างกันอย่างมีนัยสำคัญทางสถิติ ( $P \leq 0.05$ ) และความแข็งจะลดลงอีกรั้งที่ 15 วัน หลังจากนี้ค่าความแข็งเพิ่มขึ้นจนกระทั่งอายุการเก็บ 120 วัน อย่างไรก็ตามเจลสตาร์ชจากข้าวกลุ่มแอมิโลสปานกลางเมื่อเทียบกับ 0 วัน กับการเก็บที่ 120 วัน พบว่าแตกต่างกันอย่างไม่มีนัยสำคัญทางสถิติ ( $P > 0.05$ ) และการเก็บที่ 120 วัน พบว่าเจลสตาร์ชจากข้าวขาวตากแห้ง 17 กับสูตรน้ำบุรี 60 แตกต่างกันอย่างมีนัยสำคัญทางสถิติ ( $P \leq 0.05$ ) เมื่อพิจารณากลุ่มแอมิโลสสูง พบว่าระยะเวลาการเก็บเจลสตาร์ชจากข้าวเหลืองประทิว 123 และขั้นนาที 1 จะให้ค่าความแข็งเพิ่มขึ้นที่ 1 วัน หลังจากนี้ตลอดระยะเวลาการเก็บ 30 ถึง 120 วัน โดยเจลสตาร์ชจากข้าวเหลืองประทิว 123 มีการเปลี่ยนแปลงของความแข็งในระยะเวลาการเก็บ 0 ถึง 120 วัน แตกต่างกันอย่างไม่มีนัยสำคัญทางสถิติ ( $P > 0.05$ ) ส่วนเจลสตาร์ชจากข้าวขั้นนาที 1 แม้ว่าจะมีการเปลี่ยนแปลงลักษณะเดียวกันกับเจลสตาร์ชจากข้าวเหลืองประทิว 123 แต่ระยะเวลาการเก็บที่ 0 วัน ถึง 1 วัน ให้ค่าความแข็งลดลง และระยะเวลาการเก็บที่ 45 วัน ถึง 90 วัน ค่าความแข็งเพิ่มขึ้น และจากที่ระยะเวลา 90 วัน ถึง 120 วัน ให้ค่าความแข็งลดลง แตกต่างกันอย่างมีนัยสำคัญทางสถิติ ( $P \leq 0.05$ ) สำหรับเจลสตาร์ชจากข้าวพลายงามปราจีนบุรี พบว่าจากการระยะเวลาการเก็บ 0 วัน ถึง 30 ให้ค่าความแข็งแตกต่างกันอย่างไม่มีนัยสำคัญทางสถิติ ( $P > 0.05$ ) แต่จากการระยะเวลาการเก็บ 30 ถึง 120 วัน พบว่าค่าความแข็งเพิ่มขึ้น แตกต่างกันอย่างมีนัยสำคัญทางสถิติ ( $P \leq 0.05$ ) จะเห็นว่าเจลสตาร์ชจากข้าวพลายงามปราจีนบุรี มีการเปลี่ยนแปลงของความแข็งเพิ่มขึ้นและลดลงตลอดระยะเวลาการเก็บ 0 ถึง 120 วัน แตกต่างกันอย่างมีนัยสำคัญทางสถิติ ( $P \leq 0.05$ ) และที่ 120 วัน ให้ค่าความแข็งสูงสุด เท่ากับ 62.12 กรัม เมื่อเปรียบเทียบการเก็บที่ 120 วัน กับเจลสตาร์ชข้าวเหลืองประทิว 123 กับข้าวพลายงามปราจีนบุรี มีความแข็งของเจลแตกต่างกันอย่างมีนัยสำคัญทางสถิติ ( $P \leq 0.05$ ) จากการศึกษารั้งนี้ได้ว่าช่วงระยะเวลาการเก็บ 30 ถึง 45 วัน เป็นเวลาวิกฤตในการเก็บเจลสตาร์ช เช่นเมื่อแข็งจากวัดลักษณะเนื้อสัมผัสของเจลสตาร์ชจากข้าว ด้านความแข็ง ได้ว่าปริมาณแอมิโลสอย่างเดียว ไม่สามารถอธิบายบอกถึงการเกิดริโตรเกรเดชันได้ชัดเจน เพราะว่าสตาร์ชจากข้าวพันธุ์เดียวกันหรือมีปริมาณแอมิโลสใกล้เคียงกันอาจมีความแตกต่างของความยาวกึ่งก้านของแอมิโลเพกทิน (branch chain length distribution of amylopectins) ขนาดไม่เล็กของแอมิโลส และค่าดีกรีความเป็นผลึกที่แตกต่าง โดยเฉพาะสตาร์ชข้าวที่มีพันธะของแอมิโลเพกทินขนาด 92-98 (long amylopectin chains DP 92-98) และความสามารถในการละลายในน้ำของแอมิโลสและแอมิโลเพกทิน โดยจะเกี่ยวข้องกับการพองของเนื้อสตาร์ชและการเกิดโครงร่างเจล (gel network) ซึ่งส่งผลให้ลักษณะเนื้อสัมผัสของเจลสตาร์ชจากข้าวมีความแข็งเพิ่มขึ้น (Jane and Chen 1992; Ong and Blanshard 1995; Tomasicik 2002)

(2) การวัดลักษณะเนื้อสัมผัสด้วยแรงครึ่อยละ 70 จากการศึกษาผลลัพธ์การเก็บรักษาตัวอย่างที่อุณหภูมิ -18 องศาเซลเซียส ระยะเวลาการเก็บนาน 1 15 30 45 60 90 และ 120 วัน

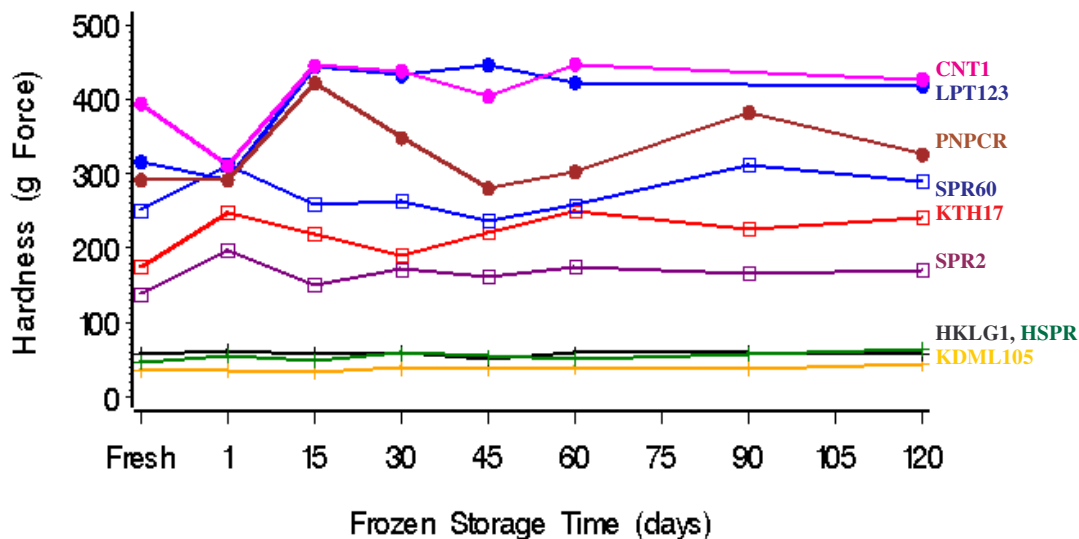


ภาพที่ 7 ผลของค่าความแข็งของเจลสตาร์ชแห่งเยือกแข็งจากข้าว ที่อุณหภูมิ -18 องศาเซลเซียส ระยะเวลาการเก็บ 1 15 30 45 60 90 และ 120 วัน หลังการคืนรูปจากเยือกแข็ง ทดสอบที่ แรงกดเพื่อให้เกิดการเปลี่ยนแปลงรูปร่าง ร้อยละ 70 ของความหนาเจลสตาร์ช (KMDL105 = ข้าวอกมะลิ 105, HSPR = ห้อมสุพรรรณบุรี, HKLG1 = ห้อมคลองหลวง 1, KTH17 = ขาวตราแท้ 17, SPR2 = สุพรรณบุรี 2, SPR60 = สุพรรณบุรี 60, LPT123 = เหลืองประทิว 123, CNT1 = ขั้นนาท 1, PNPCR = พลายงามปราบีนบุรี)

จากการที่ 7 แสดงให้เห็นการใช้แรงกดให้เกิดการเปลี่ยนแปลงรูปร่างร้อยละ 70 ของเจลสตาร์ชแห่งเยือกแข็งจากข้าว ที่อุณหภูมิ -18 องศาเซลเซียส ระยะเวลาการเก็บ 1 15 30 45 60 90 และ 120 วัน จากปัจจัยที่ทำการศึกษา 2 ปัจจัย คือ ชนิดข้าวและระยะเวลาการเก็บ พบว่ามีอิทธิพลร่วมกันของทั้งสองปัจจัยและแตกต่างกันอย่างมีนัยสำคัญทางสถิติ ( $P \leq 0.05$ ) และปริมาณแอมิโน\_acid ที่แตกต่างกันในแต่ละกลุ่มมีผลต่อค่าความแข็งแตกต่างกันอย่างมีนัยสำคัญทางสถิติ ( $P \leq 0.05$ ) จากการเปรียบเทียบสตาร์ชจากข้าวกลุ่มแอมิโน\_acid ต่ำ เกิดการเปลี่ยนแปลงค่าความแข็งลดลงระยะเวลาการเก็บ พบว่าการเก็บที่ 1 กับ 30 วัน การเก็บที่ 30 กับ 60 วัน และการเก็บที่ 60 กับ 120 วัน แตกต่างกันอย่างไม่มีนัยสำคัญทางสถิติ ( $P > 0.05$ ) เช่นเดียวกันกับการเปรียบความแข็ง

ระหว่างพันธุ์ข้าวในกลุ่มแอมิโลสต่ำ พบร่วมกับความแข็งตลดURATIONการเก็บ 120 วัน พบร่วมกับต่างกันอย่างไม่มีนัยสำคัญทางสถิติ ( $P>0.05$ ) โดยการเก็บที่ 30 วัน และ 60 วัน เป็นเวลาวิกฤตของการแข็งเยือกแข็ง (the critical time of frozen gels) ของเจลสตาร์จากข้าวกลุ่มแอมิโลสต่ำ เมื่อเปรียบเทียบสตาร์จากข้าวกลุ่มแอมิโลสปานกลาง ให้ลักษณะ graf ของค่าความแข็งเพิ่มขึ้นอย่างรวดเร็วใน 30 วัน และแตกต่างกันอย่างไม่มีนัยสำคัญทางสถิติ ( $P>0.05$ ) โดยเฉพาะอย่างยิ่งเจลสตาร์จากข้าวสุพรรณบุรี 2 และสุพรรณบุรี 60 และหลังระยะเวลาการเก็บ 30 วัน ถึง 45 วัน ค่าความแข็งลดลง และเพิ่มขึ้นอีกครั้งจนถึงระยะเวลาการเก็บได้ 90 วัน ค่าความแข็งมีแนวโน้มลดลงอีกครั้ง เช่นเดียวกันกับเจลสตาร์จากข้าวขาวตามแห้ง 17 แม้ว่าค่าความแข็งเพิ่มขึ้นที่ 15 วัน และค่าความแข็งลดลงจนกระทั่งถึง 45 วัน ต่อจากนี้ค่าความแข็งกลับเพิ่มขึ้นอีกครั้งจนถึงระยะเวลาการเก็บที่ 90 วัน และค่าความแข็งมีแนวโน้มลดลงอีกครั้งจนถึงระยะเวลาการเก็บที่ 120 วัน ซึ่งจะเห็นว่าลดตลดURATIONการเก็บเจลสตาร์จากข้าวกลุ่มแอมิโลสปานกลางจะมีค่าความแข็งเพิ่มขึ้นและลดลง เช่นการเก็บที่ 1 กับ 15 วัน การเก็บที่ 15 กับ 30 วัน การเก็บที่ 30 กับ 45 วัน การเก็บที่ 45 กับ 90 วัน และการเก็บที่ 1 กับ 120 วัน แตกต่างกันอย่างไม่มีนัยสำคัญทางสถิติ ( $P>0.05$ ) โดยการเก็บที่ 30 วัน และ 60 วัน เป็นเวลาวิกฤตของการแข็งเยือกแข็ง (the critical time of frozen gels) ของเจลสตาร์จากข้าวสุพรรณบุรี 2 และสุพรรณบุรี 60 ทั้งนี้เมื่อเปรียบเทียบพันธุ์ข้าวในกลุ่มแอมิโลสปานกลาง พบร่วมกับการเก็บด้วยเจลสตาร์ที่ 30 วัน และ 60 วัน มีค่าความแข็งแตกต่างกันอย่างไม่มีนัยสำคัญทางสถิติ ( $P>0.05$ ) จากผลการศึกษาเจลสตาร์จากข้าวกลุ่มแอมิโลสสูง พบร่วมกับปริมาณแอมิโลสมีผลกระทบอย่างมากต่อค่าความแข็ง และให้ค่าความแข็งแตกต่างกันอย่างไม่มีนัยสำคัญทางสถิติ ( $P>0.05$ ) ต่อจากนี้ค่าความแข็งลดลงแตกต่างกันอย่างมีนัยสำคัญทางสถิติ ( $P\leq 0.05$ ) จนกระทั่งระยะเวลาการเก็บที่ 90 วัน ให้ค่าความแข็งต่ำสุด หลังจากนี้ค่าความแข็งสูงสุดอย่างมีนัยสำคัญทางสถิติ ( $P\leq 0.05$ ) จนกระทั่งระยะเวลาการเก็บที่ 120 วัน ซึ่งจะเห็นว่าค่าความแข็งมีแนวโน้มลดลงจนกระทั่งระยะเวลาการเก็บที่ 60 วัน และแตกต่างกันอย่างไม่มีนัยสำคัญทางสถิติ ( $P>0.05$ ) โดยระยะเวลาการเก็บที่ 1 วัน กับ 120 วัน ให้ค่าความแข็งแตกต่างกันอย่างไม่มีนัยสำคัญทางสถิติ ( $P>0.05$ ) เมื่อเปรียบเทียบเจลสตาร์จากข้าวชัยนาท 1 จะเห็นว่าค่าความแข็งมีแนวโน้มลดลงจนกระทั่งระยะเวลาการเก็บที่ 60 วัน และแตกต่างกันอย่างไม่มีนัยสำคัญทางสถิติ ( $P>0.05$ ) โดยระยะเวลาการเก็บที่ 1 วัน กับ 120 วัน ให้ค่าความแข็งแตกต่างกันอย่างมีนัยสำคัญทางสถิติ ( $P\leq 0.05$ ) เมื่อเปรียบเทียบเจลสตาร์จากข้าวพลายงามปราจีนบุรี วัดค่าความแข็งได้สูงสุด ที่ระยะเวลาการเก็บ 30 วัน หลังการเก็บเจลสตาร์จากข้าวไว้ถึง 120 วัน ให้ค่าความแข็งลดลงแตกต่างกันอย่างมีนัยสำคัญทางสถิติ ( $P\leq 0.05$ ) ดังนั้นจากการศึกษาครั้งนี้พบว่าการเก็บที่ 30 วัน เป็นเวลาวิกฤตของการแข็งเยือกแข็งเจลสตาร์ (the critical time of frozen gels) ซึ่งจากการศึกษาของ Hagenimana and others (2005) พบร่วมกับ

สตาร์จากข้าวที่เก็บไว้นาน 7 วัน ให้ค่าความแข็งมากกว่าเจลสตาร์จากข้าวที่เก็บไว้ 3 วัน และสตาร์จากข้าวที่มีปริมาณแอมิโน\_acid สูงจะให้ค่าความแข็งสูงสุด



ภาพที่ 8 ผลของค่าความแข็งของเจลสตาร์ชแห่เยื่อคัพเป็นจากข้าว ที่อุณหภูมิ -18 องศาเซลเซียส

ระยะเวลาการเก็บ 0 (fresh gel) 1 15 30 45 60 90 และ 120 วัน หลังการคืนรูปจากเยื่อคัพเป็น และให้ความร้อนอีกครั้ง ทดสอบที่แรงกดเพื่อให้เกิดการเปลี่ยนแปลงรูปร่างร้อยละ 70 ของความหนาเจลสตาร์ช (KDML105 = ข้าวคอกมะลิ105, HSPR = หอมสุพรรณบุรี, HKLG1 = หอมคลองหลวง1, KTH17 = ข้าวตาแห้ง17, SPR2 = สุพรรณบุรี2, SPR60 = สุพรรณบุรี60, LPT123 = เหลืองประทิว123, CNT1= ขี้ยนาท1, PNPCR = พลายงามปราจีนบุรี)

จากผลการวัดลักษณะเนื้อสัมผัสของเจลสตาร์ชแห่เยื่อคัพเป็นจากข้าว เก็บที่อุณหภูมิ -18 องศาเซลเซียส ระยะเวลาการเก็บนาน 0 (เจลสด) 1 15 30 45 60 90 และ 120 วัน เปรียบเทียบกับเจลสดกับเจลสตาร์ชจากข้าวที่ผ่านการแห่เยื่อคัพเป็น นำไปประกอบละลายและเจลสตาร์ชจากข้าวที่หลอมละลายให้ความร้อนอีกครั้งก่อนทำการวัด โดยวัดลักษณะเนื้อสัมผัสด้วยแรงกดให้เกิดการเปลี่ยนแปลงรูปร่างร้อยละ 70 พบว่ามีอิทธิพลร่วมกันของทั้งสองปัจจัยที่ทำการศึกษาคือ ปริมาณแอมิโน\_acid และระยะเวลาการเก็บ โดยส่งผลกระทบต่อลักษณะเนื้อสัมผัสและแตกต่างกันอย่างมีนัยสำคัญทางสถิติ ( $P \leq 0.05$ ) ในภาพที่ 8 พบว่าเจลสตาร์ชแห่เยื่อคัพเป็นจากข้าวที่มีปริมาณแอมิโน\_acid สูง เกิดการเปลี่ยนแปลงค่าความแข็งเพิ่มขึ้น โดยเฉพาะเจลสตาร์ชจากข้าวพันธุ์ขี้ยนาท1 ให้ค่า

ความแข็งสูงกว่าเจลสตาร์ชจากข้าวทุกพันธุ์ และเมื่อเปรียบเทียบระหว่างเจลสด (ที่ 0 วัน) กับเจลสตาร์ชแช่แข็งจากข้าว จะเห็นว่าเจลสตาร์ชแช่เยือกแข็งจากข้าวและให้ความร้อนอีกรัง มีแนวโน้มให้ค่าความแข็งเพิ่มขึ้น เมื่อพิจารณาผลของปริมาณแอมิโลส พ布ว่าเจลสตาร์ชจากข้าวกลุ่มแอมิโลสสูง วัดค่าความแข็งได้สูงสุดและสูงกว่าเจลสตาร์ชจากข้าวกลุ่มแอมิโลสปานกลาง และกลุ่มแอมิโลสต่ำ และจะเห็นว่าค่าความแข็งเพิ่มขึ้นอย่างรวดเร็วที่ 15 วันของการเก็บ และมีความแข็งเพิ่มขึ้นจนกระทั่งถึงระยะเวลาการเก็บที่ 120 วัน ดังนั้นการเก็บเจลสตาร์ชจากข้าวแอมิโลสสูงที่ 15 วัน เป็นเวลาวิกฤติของการแช่เยือกแข็งเจลสตาร์ช (the critical time of frozen gels) เจลสตาร์ชแช่เยือกแข็งจากข้าวชั้นนาท1 และเหลืองประทิว123 มีค่าความแข็งที่ 120 วัน สูงกว่าที่ 1 วัน แตกต่างกันอย่างมีนัยสำคัญทางสถิติ ( $P \leq 0.05$ ) เนื่องจากการรวมตัวกันของแอมิโลสเพิ่มขึ้น และการเก็บที่ 45 60 และ 120 วัน พ布ว่าความแข็งของเจลสตาร์ชจากข้าวเหลืองประทิว123 กับพลายงานปราจินบุรี มีความแข็งของเจลแตกต่างกันอย่างมีนัยสำคัญทางสถิติ ( $P \leq 0.05$ ) อย่างไรก็ตามถ้าเปรียบเทียบพันธุ์ข้าวในกลุ่มแอมิโลสสูง พ布ว่าปริมาณแอมิโลสสูงสุด “ไม่ได้ให้เจลที่แข็งที่สุด ดังนั้นความแข็งของเจลไม่ได้ขึ้นกับปริมาณแอมิโลสอย่างเดียว และเจลแช่เยือกแข็งจากข้าวที่มีปริมาณแอมิโลสปานกลาง ซึ่งพบว่าที่ 1 วัน และ 120 วัน แตกต่างกันอย่างไม่มีนัยสำคัญทางสถิติ ( $P > 0.05$ ) อย่างไรก็ตามเจลสตาร์ชจากข้าวที่มีปริมาณแอมิโลสต่ำลดลงระยะเวลาการเก็บ (1 ถึง 120 วัน) พ布ว่าแตกต่างกันอย่างไม่มีนัยสำคัญทางสถิติ ( $P > 0.05$ ) แสดงว่าเจลสตาร์ชจากข้าวที่มีปริมาณแอมิโลสต่ำ มีความสามารถในการจับน้ำไว้ในโครงสร้างได้ดี เพราะว่าโครงสร้างของแอมิโลเพกทินที่มีลักษณะกิ่งก้าน ที่สามารถจับน้ำไว้ในโครงร่างได้ดี ซึ่ง Bejosano and Corke (1999) กล่าวว่าเจลสตาร์ชจากข้าวที่มีปริมาณแอมิโลสเพิ่มขึ้น มีผลให้ความแข็งเพิ่มขึ้น เพราะว่าความแข็งแรงของโครงสร้างเจลโดยมากขึ้นกับมวลต่อปริมาตร (density) ในโครงร่างสามมิติของแอมิโลส อาจเกิดจากเจลสตาร์ชจากข้าวที่มีปริมาณแอมิโลสสูงให้โครงสร้างเจลมีความแน่นหนื้นมาก ไม่มีความยืดหยุ่น จึงยากต่อการทำลายโครงสร้างของเจล นอกจากนี้โครงสร้างผลีกของแอมิโลส และแอมิโลเพกทินยังมีส่วนสำคัญต่อความแข็งของข้าวหุงสุก (hard cooking properties) โดยเฉพาะถ้าโครงสร้างแอมิโลเพกทินมีพันธะขนาดยาวจำนวนมาก จะให้ข้าวหุงสุกมีเนื้อสัมผัสที่มีความแน่นหนื้น (firmness) แห้งและไม่เหนียว (Ong and Blanshard 1995; Radhika and others 1993) อาจเกิดจากการจับกันระหว่างโมเลกุลของแอมิโลเพกทินที่มีพันธะขนาดยาวกับโมเลกุลแอมิโลส ทำให้เกิดการจัดเรียงเป็นผลึกและเกิดลักษณะกลุ่มจำนวนมาก (clusters) มีโครงสร้างเกลียวคู่ (double helical) (Ong and Blanshard, 1995)

1.5.2 ผลการศึกษาการขับของเหลวออกจากเจลในเจลสตาร์ซจากข้าวระหว่างการเก็บจากการศึกษาการขับของเหลวออกจากเจลระหว่างการเก็บเจลสตาร์ซแซ่บเยือกแข็งจากข้าว โดยวางแผนการทดลองแบบ 9x7 Factorial in Completely Randomized Design (CRD) มี 2 ปัจจัย ดังนี้ ปัจจัยที่ 1 คือ ชนิดสตาร์ซจากข้าว จำนวน 9 พันธุ์ ปัจจัยที่ 2 คือ ระยะเวลาการเก็บเจล สตาร์ซจากข้าว (1 15 30 45 60 90 และ 120 วัน) พบว่าทั้งสองปัจจัยไม่มีอิทธิพลร่วมกันและ แตกต่างกันอย่างไม่มีนัยสำคัญทางสถิติ ( $P>0.05$ ) จากการเปรียบเทียบพันธุ์ข้าวต่อการขับของเหลว ออกจากเจลในเจลสตาร์ซจากข้าว ระหว่างการแซ่บเยือกแข็งที่อุณหภูมิ -18 องศาเซลเซียส (ตารางที่ 9) แสดงให้เห็นว่าปริมาณแอมิโลสมีผลกระทบต่อร้อยละการขับของเหลวออกจากเจล แตกต่างกัน อย่างไม่มีนัยสำคัญทางสถิติ ( $P>0.05$ ) เช่นเดียวกับการศึกษาของ Singh and others (2006) เจล สตาร์ซความเข้มข้นร้อยละ 5 ถ้า เก็บที่อุณหภูมิ 4 องศาเซลเซียส ที่ 24, 72, 120 และ 168 ชั่วโมง ทำการเหวี่ยงแยกที่  $3200 \times g$  นาน 15 นาที พบว่าการขับของเหลวออกจากเจลไม่มีความสัมพันธ์กับ ปริมาณแอมิโลส ( $r = 0.022$ ,  $P \leq 0.05$ ) ขึ้นกับการเกิดอันตรกิริยาระหว่างโมเลกุลแอมิโลสที่ถูก ออกมานามีสตาร์ซกับพันธะแอมิโลเพกทิน ซึ่งจะพัฒนาไปเป็นส่วน junction zones การศึกษา ครั้นนี้ผลของการขับของเหลวจากการเก็บเจลสตาร์ซแซ่บเยือกแข็งจากข้าว ที่อุณหภูมิ -18 องศาเซลเซียส (1 15 30 45 60 90 และ 120 วัน) พบว่าเจลสตาร์ซจากข้าวทุกพันธุ์ ตลอดระยะเวลาการเก็บ มีการขับ ของเหลวออกจากเจล แตกต่างกันอย่างไม่มีนัยสำคัญทางสถิติ ( $P>0.05$ ) ซึ่งการศึกษาของ Sodhi and Singh (2003) ที่ได้เก็บเจลสตาร์ซความเข้มข้นร้อยละ 5 ไว้ที่อุณหภูมิ 4 องศาเซลเซียส นาน 24, 72, 120 และ 168 ชั่วโมง ทำการหมุนเหวี่ยงที่  $5000 \text{ rpm}$  นาน 15 นาที พบว่าระยะเวลาการเก็บ นานขึ้น ให้การขับของเหลวออกจากเจลเพิ่มขึ้น ยกเว้นข้าวที่มีปริมาณแอมิโลสร้อยละ 7.83 การ ขับของเหลวออกจากเจลต่ำสุด โดยระยะเวลาการเก็บไม่มีผลต่อการขับของเหลวออกจากเจลที่ เพิ่มขึ้น

จากการศึกษาร่องนี้จะเห็นว่าการขับของเหลวออกจากเจลขึ้นกับพันธุ์ข้าว ไม่ได้ขึ้นกับ ปริมาณแอมิโลสอย่างเดียว เนื่องจากผลการเก็บเจลสตาร์ซไว้ระยะเวลานานๆ อาจเกิดอันตรกิริยา ระหว่างพันธะแอมิโลสกับแอมิโลเพกทิน ซึ่งจะพัฒนาไปเป็น Junction zones (elastic structure) (Chien and others 1999; Perera and Hoover 1999; Singh and others 2005) ในช่วงแรกเกิดการจับ กันระหว่างโมเลกุลของแอมิโลสและเกิดผลลัพธ์ของแอมิโลส หลังจากเก็บเจลระยะเวลาขึ้น ส่วน ของแอมิโลเพกทินมีบทบาทสำคัญในการจับกันของโมเลกุลและการเกิดผลลัพธ์ของเจล (Miles and others 1985) นอกจากนี้โมเลกุลขนาดเล็กของแอมิโลส จะช่วยให้เกิดการรีไทร์เรตระดับเพิ่มขึ้น ขนาดความยาวกึ่งก้านของแอมิโลเพกทินและโมเลกุลขนาดกลางของแอมิโลส จะมีผลให้การขับ ของเหลวออกจากเจลเพิ่มขึ้น (Jane and Chen 1992)

**ตารางที่ 9** ผลของพันธุ์ข้าวและระยะเวลาการเก็บต่อการขับของเหลวออกจากเซลล์  
เก็บที่อุณหภูมิ -18 องศาเซลเซียส นาน 1 15 30 45 60 90 และ 120 วัน

ปัจจัยการศึกษา (พันธุ์ข้าวและระยะเวลาการเก็บ)		Syneresis (%)
พันธุ์ข้าว	ขาวดอกมะลิ 5	2.70 ± 0.28
	หอมสุพรรรณบุรี	2.51 ± 0.32
	หอมคลองหลวง 1	2.50 ± 0.29
	ขาวตาแหง 17	2.63 ± 0.42
	สุพรรรณบุรี 2	2.53 ± 0.44
	สุพรรנןบุรี 60	2.80 ± 0.26
	เหลืองประทิว 123	2.62 ± 0.20
	ชัยนาท 1	2.65 ± 0.26
	พลายงามปราจีนบุรี	2.53 ± 0.26
Pr > F = P value of the F test		0.0726
ระยะเวลาการเก็บ (วัน)	1	2.54 ± 0.32
	15	2.60 ± 0.25
	30	2.60 ± 0.24
	45	2.61 ± 0.33
	60	2.62 ± 0.45
	90	2.66 ± 0.36
	120	2.62 ± 0.30
Pr > F = P value of the F test		0.9555

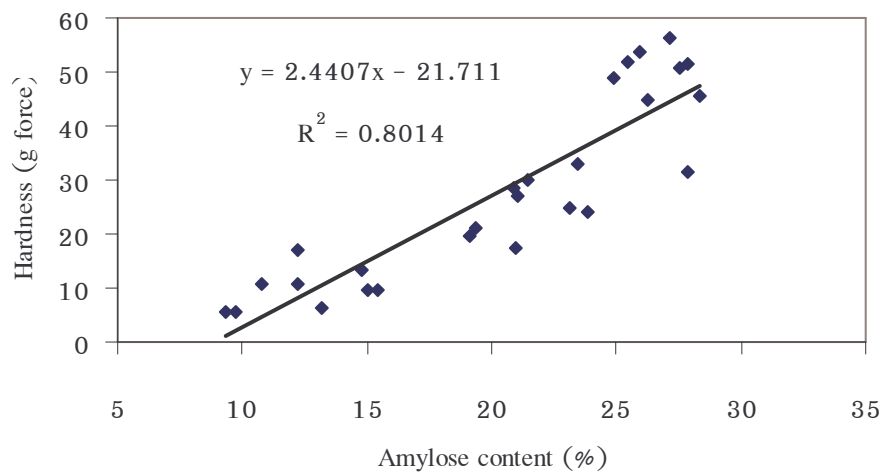
หมายเหตุ จากปัจจัยการศึกษา (พันธุ์ข้าวและระยะเวลาการเก็บ) แสดงถึงความแตกต่างกันอย่างมีนัยสำคัญทางสถิติที่ระดับความเชื่อมั่นร้อยละ 95 ( $P \leq 0.05$ ) และจากการทดลอง 3 ชุด

### 1.6 การวิเคราะห์ความสัมพันธ์ (Correlation Analysis)

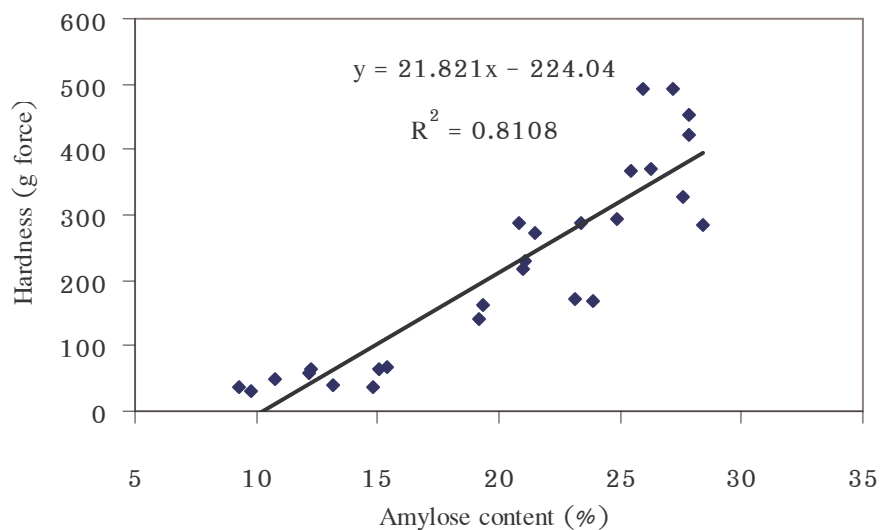
**ตารางที่ 10** ความสัมพันธ์ระหว่างปริมาณแอมิโลส ค่าความหนืดสูงสุด ค่าความหนืดสูดท้ายค่าการคืนตัวกับค่าความแข็งของเจลสดและเจลแข็งเยือกแข็งจากข้าว นาน 30 วัน โดยใช้ Pearson correlation coefficients

	Hardness of fresh gel at 15 %	Hardness of fresh gel at 70 %	Hardness of frozen and reheat gel at 15 %	Hardness of frozen and reheat gel at 70 %
Amylose content	0.77***	0.89***	0.90***	0.90***
Peak Viscosity (RVU)	-0.56**	-0.66**	-0.59***	-0.65***
Final Viscosity (RVU)	0.84***	0.85***	0.89***	0.81***
Setback (RVU)	0.78***	0.85***	0.82***	0.82***
Hardness of fresh gel at 15 %	1.00	0.78***	0.84***	0.79***
Hardness of fresh gel at 70 %	-	1.00	0.94***	0.92***
Hardness of freeze gel at 15 %	-	-	1.00	0.92***
Hardness of freeze gel at 70 %	-	-	-	1.00

หมายเหตุ \* แสดงถึงความแตกต่างกันอย่างมีนัยสำคัญทางสถิติที่ระดับความเชื่อมั่นร้อยละ 95 ( $P \leq 0.05$ ), \*\* แสดงถึงความแตกต่างกันอย่างมีนัยสำคัญทางสถิติที่ระดับความเชื่อมั่นร้อยละ 99 ( $P \leq 0.01$ ) และ \*\*\* แสดงถึงความแตกต่างกันอย่างมีนัยสำคัญทางสถิติที่ระดับความเชื่อมั่นร้อยละ 99.99 ( $P \leq 0.001$ ) ตัวอย่างเจลสดและเจลแข็งเยือกแข็งจากข้าวที่เก็บนาน 30 วัน ทำการคืนรูปจากเยือกแข็ง และให้ความร้อนอีกครั้ง ทดสอบแรงกดที่ร้อยละ 15 และ 70 ของความหนาของเจล



ภาพที่ 9 ความสัมพันธ์ระหว่างปริมาณแอมิโลสกับค่าความแข็งของเจลแซ่เยือกแข็งจากข้าวที่เก็บนาน 30 วัน ทำการคืนรูปจากเยือกแข็งและให้ความร้อนอีกครั้ง ทดสอบแรงกดที่ร้อยละ 15 ของความหนาเจลสถาาร์ช



ภาพที่ 10 ความสัมพันธ์ระหว่างปริมาณแอมิโลสกับค่าความแข็งของเจลแซ่เยือกแข็งจากข้าวที่เก็บนาน 30 วัน ทำการคืนรูปจากเยือกแข็งและให้ความร้อนอีกครั้ง ทดสอบแรงกดที่ร้อยละ 70 ของความหนาเจลสถาาร์ช

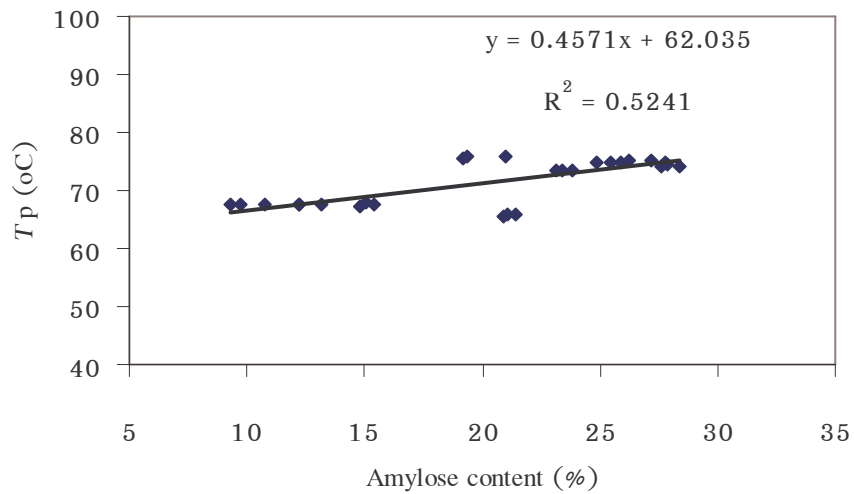
จากตารางที่ 10 ภาพที่ 9 และ 10 ผลการวิเคราะห์ความสัมพันธ์ระหว่างปริมาณแอมิโนโลสค่าความหนืดสูงสุด ค่าความหนืดสุดท้าย ค่าการคืนตัว กับค่าความแข็งของเจลสดและเจลแช่เยือกแข็งจากข้าว พนว่าปริมาณแอมิโนโลสมีความสัมพันธ์เชิงบวกอย่างยิ่ง (high positive correlation) กับค่าความแข็งของเจลสดที่แรงกร้อiyal 15 ( $r = 0.77, P \leq 0.001$ ) เจลสดที่แรงกร้อiyal 70 ( $r = 0.89, P \leq 0.001$ ) เจลแช่เยือกแข็งจากข้าวที่แรงกร้อiyal 15 และเจลแช่เยือกแข็งจากข้าวที่แรงกร้อiyal 70 ( $r = 0.90, P \leq 0.001$ ) เช่นเดียวกันกับค่าความหนืดสุดท้ายและค่าการคืนตัว ได้ว่ามีความสัมพันธ์เชิงบวกอย่างยิ่งกับค่าความแข็ง แต่ค่าความแข็งดังกล่าวมีความสัมพันธ์เชิงลบกับค่าความหนืดสูงสุด เมื่อเปรียบเทียบความแข็งของเจลสดที่แรงกร้อiyal 15 กับเจลแช่เยือกแข็งจากข้าวที่แรงกร้อiyal 15 และความแข็งของเจลสดที่แรงกร้อiyal 70 กับเจลแช่เยือกแข็งจากข้าวที่แรงกร้อiyal 70 พนว่ามีความสัมพันธ์เชิงบวกอย่างยิ่ง ( $r = 0.84, P \leq 0.001$  และ  $r = 0.92, P \leq 0.001$ ) ดังนั้นจะเห็นว่าเมื่อปริมาณแอมิโนโลสเพิ่มขึ้น ทำให้ค่าความแข็งของเจลสดและเจลแช่เยือกแข็งจากข้าวเพิ่มขึ้นด้วย เช่นเดียวกันกับการศึกษาของ Singh and others (2005) พนว่าลักษณะเนื้อสัมผัสของข้าวหุงสุกขึ้นกับปริมาณแอมิโนโลสและความแตกต่างของโครงสร้างเม็ดสตาร์ช โดยข้าวหุงสุกที่มีปริมาณแอมิโนโลส จะให้ลักษณะเนื้อสัมผัสที่มีความแข็ง ซึ่ง Singh and others (2003) รายงานว่าเม็ดสตาร์ชจากข้าวที่มีขนาดเล็กลง จะให้ความแข็งเพิ่มขึ้น

จากตารางที่ 11 การวิเคราะห์ Pearson Correlation coefficient เปรียบเทียบกลุ่มของแอมิโนโลส 3 กลุ่มและปริมาณแอมิโนโลสของข้าวแต่ละพันธุ์กับสมบัติทางความร้อนของเจลสตาร์ชจากข้าว พนว่ากลุ่มของแอมิโนโลสและปริมาณแอมิโนโลสมีความสัมพันธ์เชิงบวกอย่างยิ่ง ( $P \leq 0.001$ ) กับอุณหภูมิเริ่มต้นการเกิดเจลาทีไนเซชัน ( $r = 0.71, 0.65$ ) อุณหภูมิพิก (ร = 0.76, 0.72) (ภาพที่ 11) และอุณหภูมิการเกิดพลิกน้ำแข็ง ( $r = 0.78, 0.71$ ) (ภาพที่ 12) โดยอุณหภูมิเริ่มต้นการเกิดเจลาทีไนเซชันมีความสัมพันธ์เชิงบวกอย่างยิ่ง ( $P \leq 0.001$ ) กับอุณหภูมิพิก ( $r = 0.99$ ) (ภาพที่ 13) ส่วนอุณหภูมิเริ่มต้นการเกิดเจลาทีไนเซชันและอุณหภูมิพิกมีความสัมพันธ์เชิงบวกอย่างยิ่งกับอุณหภูมิการเกิดพลิกน้ำแข็ง ( $r = 0.85$  และ  $0.86, P \leq 0.001$ ) (ภาพที่ 14 และ 15) และค่าอนทัลปีของการแช่เยือกแข็ง ( $r = 0.63$  และ  $0.63, P \leq 0.01$ ) ทั้งนี้ปริมาณแอมิโนโลสไม่มีความสัมพันธ์กับค่าอนทัลปีใน การเกิดเจลาทีไนเซชัน อุณหภูมิกลางสตรานชิชันของการแช่เยือกแข็ง ค่าอนทัลปีของการแช่เยือกแข็ง อุณหภูมิกลางสตรานชิชันของการแช่เยือกแข็งและให้ความร้อนอีกครั้ง อุณหภูมิการหลอมละลายค่าอนทัลปีของการแช่เยือกแข็งและให้ความร้อนอีกครั้ง ( $P > 0.05$ )

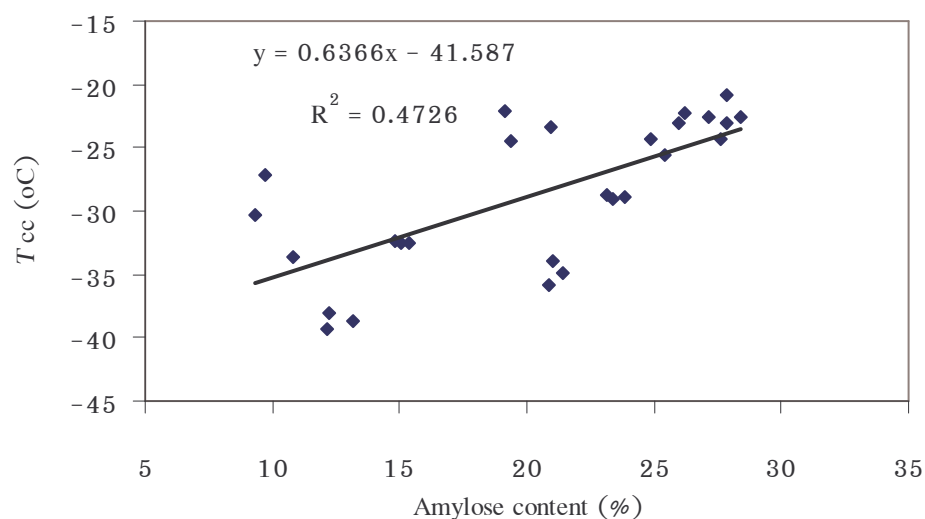
ตารางที่ 11 ความสัมพันธ์ระหว่างพันธุ์ข้าว ปริมาณแอมิโนตัว ค่าความหนืดสูงสุด ค่าความหนืดสูดท้าย ค่าการคืนตัว กับสมบัติทางความร้อนของเจลstar จากข้าว โดยใช้ Pearson correlation coefficients

	GAM	AM	PV	FV	setback	$T_o$	$T_p$	$\Delta H_G$	$T_{gf}$	$T_{cc}$	$\Delta H_f$	$T_g$	$T_m$	$\Delta H$
AM	0.95***	1.00												
PV	-0.73***	-0.78***	1.00											
FV	0.86***	0.81***	-0.55**	1.00										
setback	0.90***	0.90***	-0.90***	0.86***	1.00									
$T_o$	0.71***	0.65**	-0.54*	0.43	0.57*	1.00								
$T_p$	0.76***	0.72***	-0.59**	0.46	0.62**	0.99***	1.00							
$\Delta H_G$	0.21	0.33	-0.31	-0.13	0.13	0.47*	0.51*	1.00						
$T_{gf}$	-0.03	0.01	-0.006	0.24	0.12	-0.08	-0.12	-0.22	1.00					
$T_{cc}$	0.78***	0.71**	-0.70**	0.55*	0.73***	0.85***	0.86***	0.25	-0.18	1.00				
$\Delta H_f$	0.33	0.44	-0.41	0.09	0.31	0.63**	0.63**	0.14	-0.16	0.61**	1.00			
$T_g$	-0.16	-0.27	0.007	-0.01	-0.01	-0.34	-0.37	-0.26	0.13	-0.23	-0.21	1.00		
$T_m$	-0.26	-0.25	0.33	0.05	-0.19	-0.36	-0.36	-0.34	0.20	-0.33	-0.47*	0.01	1.00	
$\Delta H$	0.49*	0.44	-0.34	0.41	0.42	0.47*	0.49	-0.10	-0.12	0.58	0.65**	-0.05	-0.006	1.00

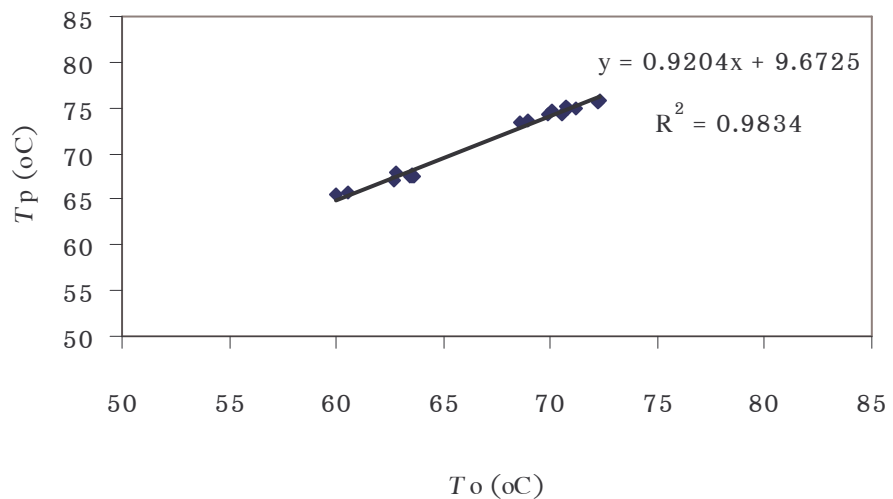
หมายเหตุ \* แสดงถึงความแตกต่างกันอย่างมีนัยสำคัญทางสถิติที่ระดับความเชื่อมั่นร้อยละ 95 ( $P \leq 0.05$ ), \*\* แสดงถึงความแตกต่างกันอย่างมีนัยสำคัญทางสถิติที่ระดับความเชื่อมั่นร้อยละ 99 ( $P \leq 0.01$ ) และ \*\*\* แสดงถึงความแตกต่างกันอย่างมีนัยสำคัญทางสถิติที่ระดับความเชื่อมั่นร้อยละ 99.99 ( $P \leq 0.001$ ) (GAM = กลุ่มของแอมิโนตัว 3 กลุ่ม, AM=ปริมาณแอมิโนตัว, PV=ค่าความหนืดสูงสุด, FV=ค่าความหนืดสูดท้าย,  $T_o$  = อุณหภูมิเริ่มต้นการเกิดเจลาทีน,  $T_p$  = อุณหภูมิพิก,  $\Delta H_G$ = ค่าอ่อนหักปี  $T_{gf}$ = อุณหภูมิกาลารณชิ้นของการแข็งเยือกแข็ง,  $T_{cc}$ = อุณหภูมิการเกิดผลึกน้ำแข็ง,  $\Delta H_f$ = ค่าอ่อนหักปีของการแข็งเยือกแข็ง,  $T_g$  = อุณหภูมิกาลารณชิ้นของการแข็งเยือกแข็งและให้ความร้อนอีกครั้ง,  $T_m$  = อุณหภูมิการหลอมละลาย,  $\Delta H$ = ค่าอ่อนหักปีของการแข็งเยือกแข็งและให้ความร้อนอีกครั้ง)



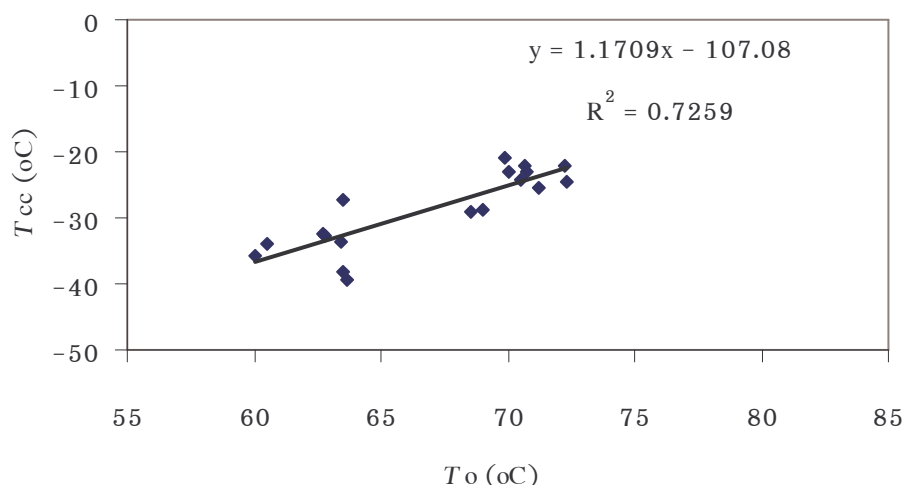
ภาพที่ 11 ความสัมพันธ์ระหว่างปริมาณแอลูมิโนไลส์กับอุณหภูมิพิคของการเกิดเจลาตีนเซชัน



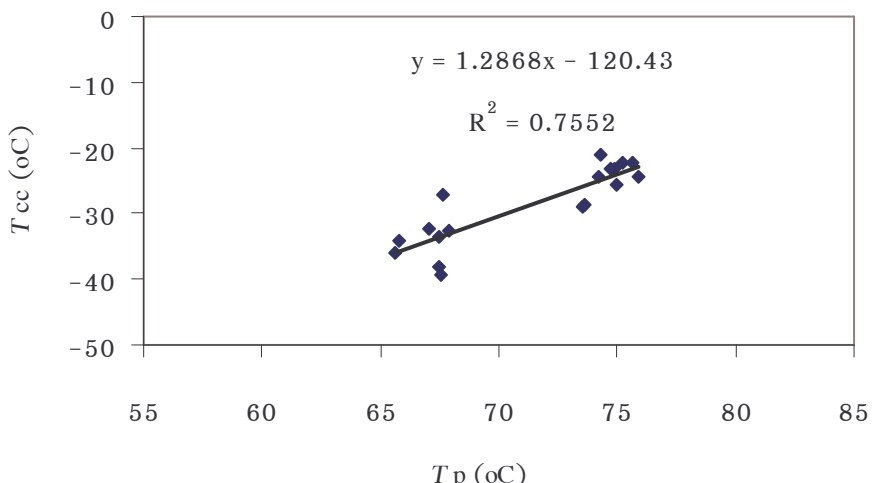
ภาพที่ 12 ความสัมพันธ์ระหว่างปริมาณแอลูมิโนไลส์กับอุณหภูมิการเกิดผลึกน้ำแข็ง



ภาพที่ 13 ความสัมพันธ์ระหว่างอุณหภูมิเริ่มต้นการเกิดเจลาทีน เชิงกับอุณหภูมิพีค



ภาพที่ 14 ความสัมพันธ์ระหว่างอุณหภูมิเริ่มต้นการเกิดเจลาทีน เชิงกับ  
อุณหภูมิการเกิดผลึกน้ำแข็ง

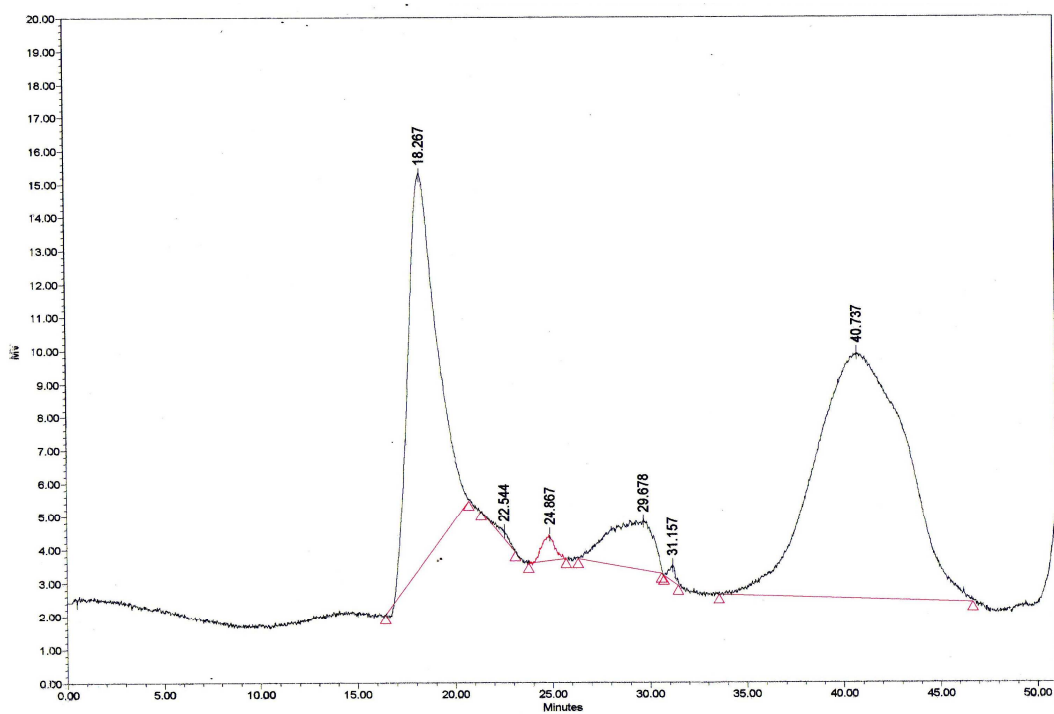


ภาพที่ 15 ความสัมพันธ์ระหว่างอุณหภูมิพิคของการเกิดเจลที่ในเชิงกับอุณหภูมิการเกิดผลึกน้ำแข็ง

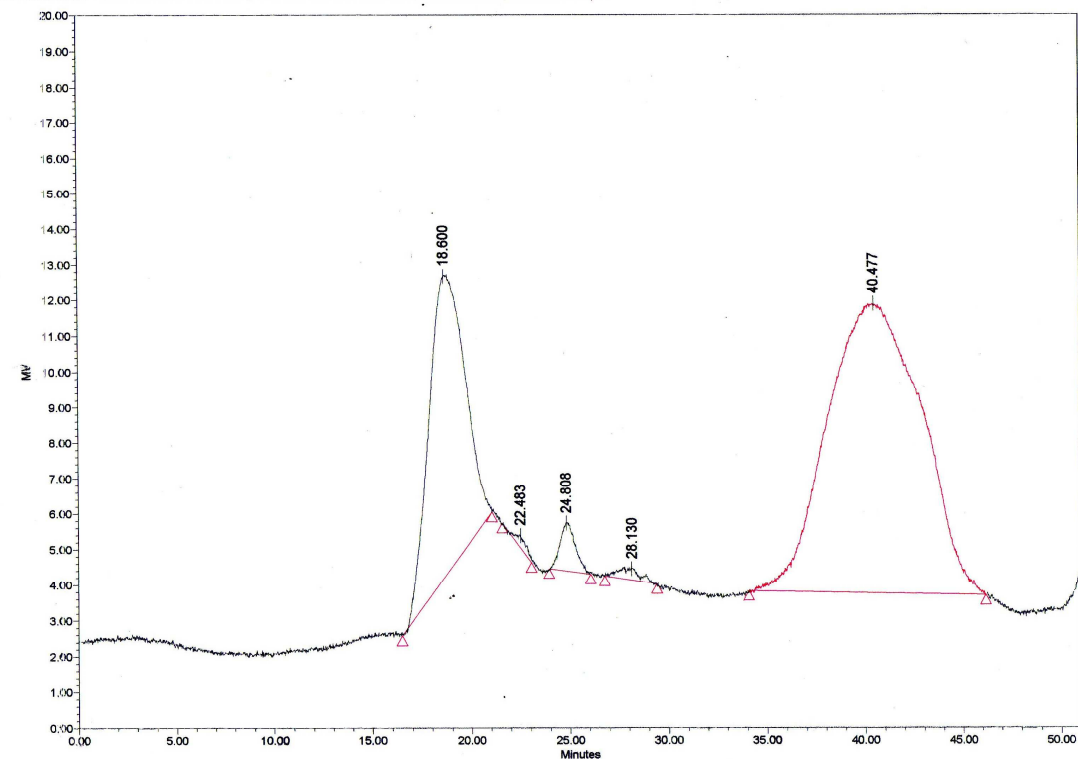
จากข้อสมมุติฐานที่ว่า เจลสตาร์ชแซ่เยือกแข็งจากข้าวระหว่างการเก็บอาจมีการเปลี่ยนแปลงของน้ำหนักโมเลกุล (molecular weight) ของแอมิโลสและแอมิโลเพกติน ซึ่งส่งผลต่อลักษณะเนื้อสัมผัส โดยเฉพาะค่าความแข็งของเจลสตาร์ชจากข้าว ซึ่งจากการศึกษาเจลสตาร์ชแซ่เยือกแข็งจากข้าวชั้นนาท1 ที่ระยะเวลาการเก็บ 1 15 30 วัน และ 1 ปี โดยใช้วิธี HPSEC ของเจลจากข้าวพันธุ์ชั้นนาท1 ตารางที่ 12 และ ภาพที่ 16 (ถึง ภาพที่ 19) พบว่าเจลสตาร์ชแซ่เยือกแข็งจากข้าวในระหว่างการเก็บ 1 15 30 วันและ 1 ปี มีการเปลี่ยนแปลงของขนาดโมเลกุล ซึ่งอาจจะเกิดจากกิจกรรมของเอนไซม์แอมิเลส ที่เข้ายื่อยโมเลกุลแอมิโลเพกตินให้มีขนาดเล็กลง หรืออาจจะเกิดจากการทำลายโมเลกุลโดยการขยายตัวของกลีดน้ำแข็ง (ice crystal growth) ซึ่งจะเห็นว่าพีคแรกเวลาประมาณ 18-19 นาที ลักษณะของโมเลกุลขนาดใหญ่ คือ มากกว่า 5,000,000 Da โดยเฉพาะที่พีคหลังสุดที่เวลา 40-41 นาที และเมื่อระยะเวลาการเก็บนานขึ้น สามารถตรวจวัดจำนวนของโมเลกุลที่มีขนาดเล็กเพิ่มขึ้น

**ตารางที่ 12** ผลการวิเคราะห์การเปลี่ยนแปลงของขนาดไมเมเลกุลของเจลสตาร์ชเช่เยื่อคอลลาเจนจากข้าวชัยนาท1โดยใช้ HPSEC

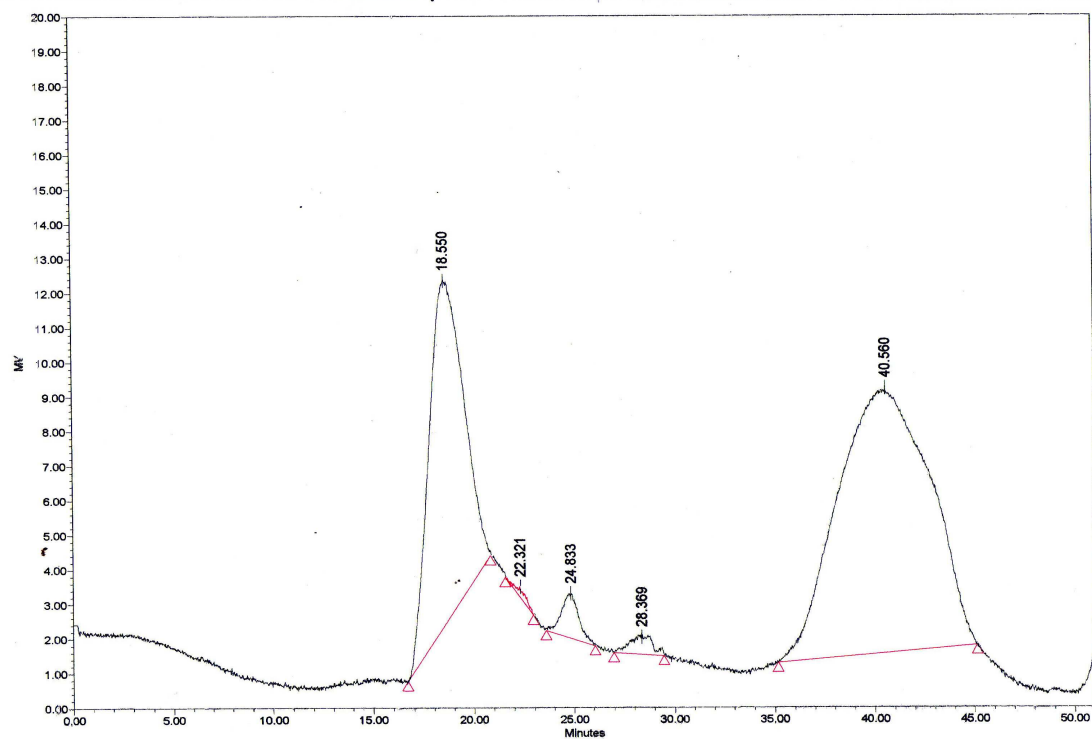
Time	Retention Time (min)	Area	%Area
1 day	18	1467212	38
	23	7213	0
	25	17653	1
	29	130255	3
	31	9230	0
	41	2232078	57
15 days	19	1282728	34
	22	11439	0
	24	64568	2
	28	22918	1
	40	2448111	64
30 days	19	1225180	32
	22	10123	1
	25	74176	2
	28	40617	1
	41	2432015	64
1 year	19	1253012	34
	22	5572	0
	25	43564	1
	28	42034	1
	40	2412069	69



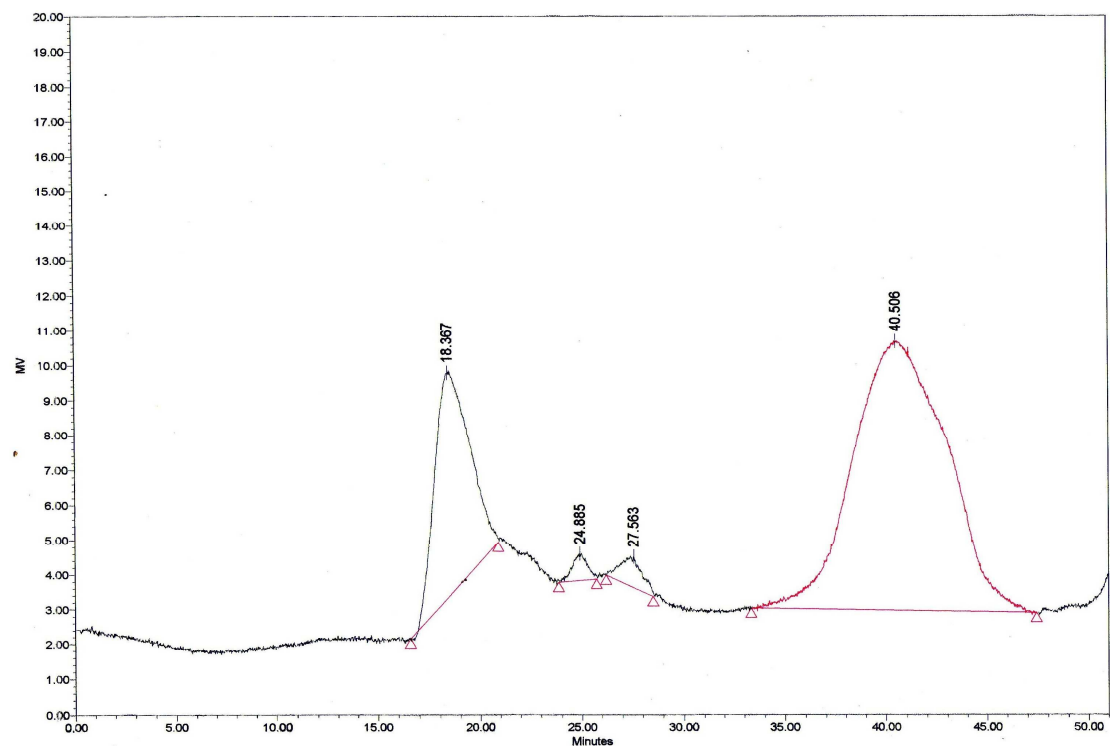
ภาพที่ 16 โปรแกรมติดตามของเจลสตาร์ชเมล์เยิร์กเบ็งจากข้าวชั้นนาท1 ระยะเวลาการเก็บที่ 1 วัน



ภาพที่ 17 โปรแกรมติดตามของเจลสตาร์ชเมล์เยิร์กเบ็งจากข้าวชั้นนาท1 ระยะเวลาการเก็บที่ 15 วัน



ภาพที่ 18 โคมาร์ติแกรมของเจลสตาร์ชแข็งเยื่อแก้ไขจากข้าวชั้ยนาท 1 ระยะเวลาการเก็บที่ 30 วัน



ภาพที่ 19 โคมาร์ติแกรมของเจลสตาร์ชแข็งเยื่อแก้ไขจากข้าวชั้ยนาท 1 ระยะเวลาการเก็บที่ 1 ปี

จากผลการวิจัยในส่วนที่ 1 จากการศึกษาสมบัติทางความร้อนของเจลสตาร์ชแห่งเยือกแข็ง จากข้าว 9 พันธุ์ ที่ความเข้มข้นของสตาร์ชร้อยละ 20 30 40 และ 50 ได้ทำการคัดเลือกพันธุ์ข้าว 1 พันธุ์ และความเข้มข้นของสตาร์ช 1 ระดับ เพื่อทำการศึกษาผลของสารเจือปนอาหารในเจลสตาร์ช แห่งเยือกแข็งจากข้าวในส่วนการวิจัยส่วนที่ 2 ต่อไป โดยได้พิจารณาจากผลการวิเคราะห์อุณหภูมิกาลส่วนของการแข็งเยือกแข็ง แตกต่างกันอย่างไม่มีนัยสำคัญทางสถิติ ( $P>0.05$ ) อย่างไรก็ตามเจลสตาร์ชแห่งเยือกแข็ง จากข้าวพันธุ์ขัยนาท 1 ซึ่งอยู่ในกลุ่มแอมิโลสสูง มีอุณหภูมิกาลส่วนของการแข็งเยือกแข็ง และค่าเออนทัลปีของการแข็งเยือกแข็งสูงกว่าทุกพันธุ์ที่ทำการศึกษา ซึ่งชี้ให้เห็นว่าไม่เลกูลของสตาร์ชจากข้าวขัยนาท 1 มีความสามารถจับน้ำตัว จึงทำให้มีปริมาณอิสระสูง เมื่อพิจารณาความเข้มข้นของเจลสตาร์ชร้อยละ 20 และ 30 พบว่าอุณหภูมิกาลส่วนของการแข็งเยือกแข็ง แตกต่างกันอย่างไม่มีนัยสำคัญทางสถิติ ( $P>0.05$ ) ดังนั้นจึงเลือกที่ความเข้มข้นของสตาร์ชร้อยละ 30 นอกจากนี้จากรายงานของสำนักงานเศรษฐกิจการเกษตร ในปีเพาะปลูก 2547 (2550) ของข้าวนำรัง รายงานว่าข้าวขัยนาท 1 มีร้อยละเนื้อที่เพาะปลูก เท่ากับ ร้อยละ 20.52 ผลผลิตต่อไร่ 628 กิโลกรัมต่อไร่ (สมาคมผู้ส่งข้าวออกต่างประเทศ, 2550) ดังนั้นจากเหตุผลที่ได้กล่าวมาแล้วจึงเลือกข้าวพันธุ์ขัยนาท 1 เพื่อนำไปศึกษาต่อในการวิจัยส่วนที่ 2 เพื่อทราบถึงชนิดและปริมาณสารเจือปนอาหาร ที่จะช่วยให้อุณหภูมิกาลส่วนของการแข็งเยือกแข็งเพิ่มขึ้น เจลมีความคงตัวต่อการคืนรูปหากเยือกแข็งและการเก็บที่อุณหภูมิแห่งเยือกแข็ง -18 องศาเซลเซียส

## งานวิจัยในส่วนที่ 2 ผลการเติมสารเจือปนอาหารในเจลสตาร์ชจากข้าว (เจลสด และเจลแช่แข็ง)

### 2.1 ผลของการศึกษาองค์ประกอบทางเคมีของสตาร์ชจากข้าวพันธุ์ชัยนาท1

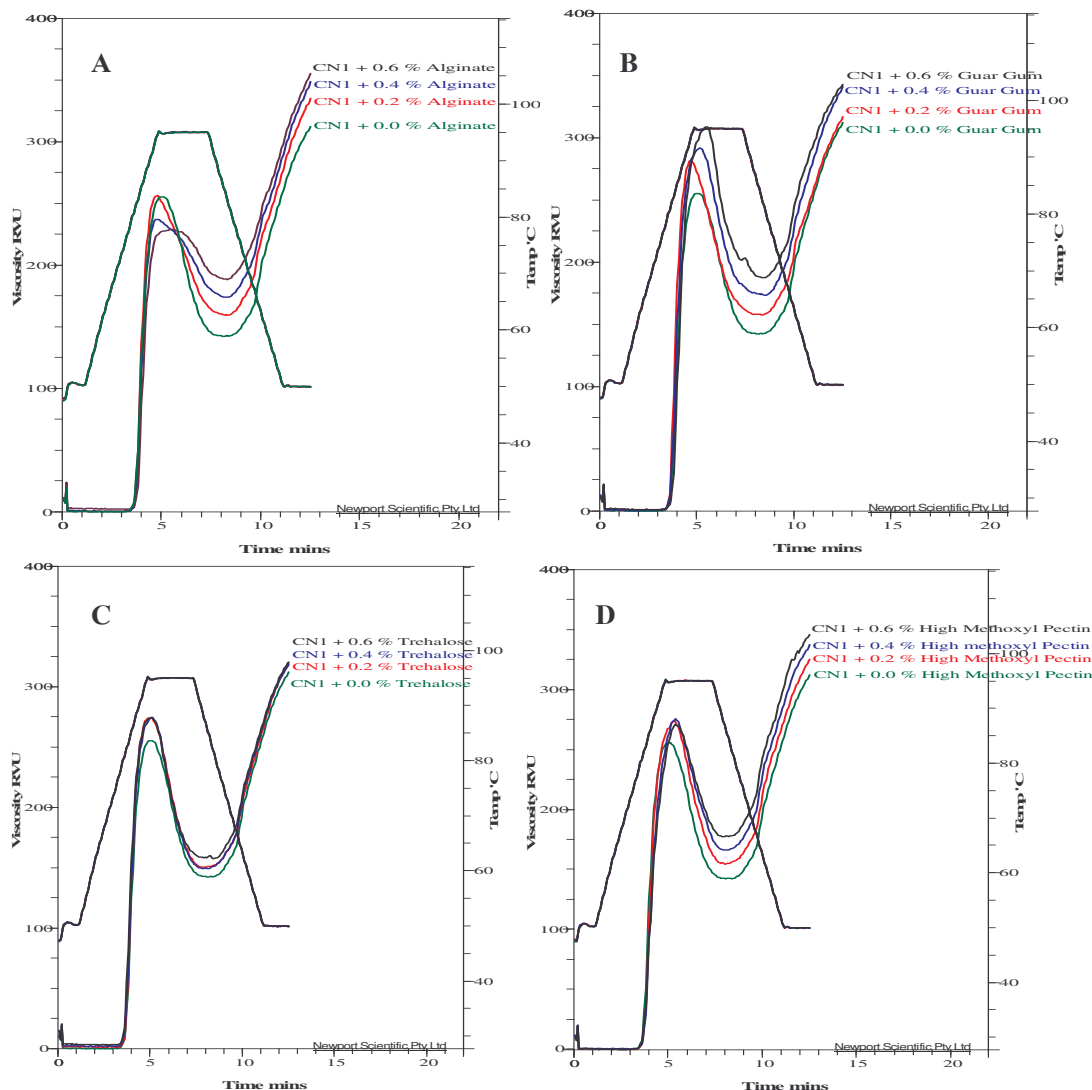
จากการวิเคราะห์องค์ประกอบทางเคมีของสตาร์ชจากข้าวพันธุ์ชัยนาท1 (Chainat1) มีปริมาณความชื้น โปรตีน ไขมัน เด็กและปริมาณอะมิโน\_acid ตามลำดับดังนี้ ร้อยละ  $12.73, 0.35 \pm 0.02, 0.03 \pm 0.01, 0.20 \pm 0.01$  และ  $26.44 \pm 1.11$  (โดยน้ำหนักแห้ง)

### 2.2 ผลของการศึกษาคุณสมบัติความหนืด

จากการเปรียบเทียบคุณสมบัติการเกิดเจลาตินในเซชัน และความหนืดของสตาร์ชจากข้าวพันธุ์ชัยนาท1 (ไม่เติมสารเจือปนอาหาร) และสตาร์ชจากข้าวชัยนาท1 ที่เติมสารเจือปนอาหาร 4 ชนิด ได้แก่ ทรีฮาโลส (Trehalose) อัลจิเนต (Alginate) กัวกัม (Guar Gum) และ ไฮเมโทกซีเพกติน (High Methoxyl Pectin) โดยให้มีส่วนผสมของสารเจือปนอาหาร ร้อยละ 0.0, 0.2, 0.4 และ 0.6 โดยน้ำหนักสตาร์ชแห้ง การทดลองแบบ  $4 \times 4$  Factorial in Completely Randomized Design มี 2 ปัจจัยดังนี้ ปัจจัยที่ 1 คือ สารเจือปนอาหาร 4 ชนิด (ทรีฮาโลส อัลจิเนต กัวกัม และ ไฮเมโทกซีเพกติน) ปัจจัยที่ 2 คือ ปริมาณสารเจือปนอาหาร 4 ระดับ (ร้อยละ 0, 0.2, 0.4 และ 0.6) พบว่ามีอิทธิพลร่วมกันของทั้งสองปัจจัยคือ ชนิดและปริมาณของสารเจือปนอาหาร มีผลต่อคุณสมบัติการเกิดเจลาตินในเซชันและความหนืดของสตาร์ชจากข้าวที่เติมและไม่เติมสารเจือปนอาหาร และแตกต่างกันอย่างมีนัยสำคัญทางสถิติ ( $P \leq 0.05$ )

จากภาพที่ 20 และตารางที่ 13 พบว่าเจลสตาร์ชจากข้าวที่เติมกัวกัมร้อยละ 0.2 ถึง 0.6 ให้ค่าความหนืดที่สูงสุด (peak viscosity; RVU) และค่าการแตกตัว (breakdown) สูงที่สุดและให้ค่าคืนตัว (setback) ต่ำที่สุด แต่การเติมอัลจิเนตร้อยละ 0.6 ช่วยให้เจลสตาร์ชจากข้าวมีความทนต่อการกรวนสูงสุด และค่าการแตกตัว (breakdown) ต่ำที่สุด จะเห็นว่าการเติมสารกลุ่มไฮโดรคออลอยด์ ในระดับที่สูงขึ้น ช่วยเพิ่มความหนืดและความทนต่อแรงเหื่อนระห่วง ได้รับความร้อนและการลดการเกิดรีโทรเกรเดชันของเจลสตาร์ชจากข้าว เนื่องจากสารไฮโดรคออลอยด์ มีคุณสมบัติเชิงหน้าที่ เช่น การเกิดเจล (gelling agent) สารให้ความข้น (thickening agent) และสารให้ความคงตัว (stabilizer)(Williams and Pillips2000) ซึ่งการเติมกัวกัมหรือไฮเมโทกซีเพกตินจะช่วยให้เจลสตาร์ชมีความทนต่อการกรวน (high trough) เนื่องจากสารเจือปนอาหารทั้งสองชนิดมีคุณสมบัติทนต่อแรงเหื่อน (strongly shear thinning) และกัวกัมซึ่งเป็นส่วนของเฟสต่อเนื่อง (continuous phase) มีผลให้ความหนืดเพิ่มขึ้น (Sudhakar and others 1996) แต่ผลการเติมอัลจิเนต จะให้ค่าการแตกตัว

สูงสุด บ่งชี้ว่าไม่ทนต่อแรงเฉือน เพราะว่าในระบบของเหลว (liquid phase) อัลจิเนตมีคุณสมบัติเป็นสารที่มีพฤติกรรมการไหลแบบ shear thinning (Draget 2000)



ภาพที่ 20 เปรียบเทียบกราฟความหนืด (Pasting Curve) ของสตาร์ซจากข้าวชั้นนาที

ความเข้มข้นร้อยละ 30 ที่ไม่เติมและเติมสารเจือปนอาหาร ความเข้มข้นของสารเจือปนอาหารร้อยละ 0.0, 0.2, 0.4 และ 0.6 (A = อัลจิเนต, B = กัวกัม, C = ทรีฮาโลส, D = ไฮเมทอกซิเพกติน)

ตารางที่ 13 สมบัติการเกิดเจลาตินในเชื้อนและความหนืดของเพสต์ของสารจากข้าวไม่เติมและเติมสารเจือปนอาหารชนิดต่างๆ \*

ชนิดและปริมาณ ของสารเจือปนอาหาร (ร้อยละ)		ค่าความหนืด (Peak Viscosity) (RVU)	ค่าความคงทน (Trough1) (RVU)	ค่าการแตกตัว (Breakdown) (RVU)	ค่าความหนืดสุดท้าย (Final Viscosity) (RVU)	ค่าการคืนตัว (Set Back) (RVU)	อุณหภูมิเริ่มต้นของ การเกิดเจลาตินชี*
สารจากข้าวขั้นตาท1		256.630±4.53 <sup>de</sup>	137.97±4.90 <sup>g</sup>	118.64±2.93 <sup>a</sup>	300.96±9.40 <sup>f</sup>	44.34±8.14 <sup>cd</sup>	79.80 ±0.09 <sup>b</sup> c
ขั้นตาท1+อัลจิเนต	0.2	254.95±2.56 <sup>e</sup>	163.42±5.31 <sup>de</sup>	91.53±4.87 <sup>b</sup>	336.06±6.47 <sup>bcd</sup>	81.11±4.48 <sup>b</sup>	80.10 ±0.10 <sup>b</sup>
	0.4	236.33±2.66 <sup>f</sup>	175.61±5.45 <sup>bc</sup>	60.72±3.59 <sup>c</sup>	350.94±9.67 <sup>ab</sup>	128.11±7.77 <sup>a</sup>	80.27±0.34 <sup>b</sup>
	0.6	229.58 ±2.30 <sup>f</sup>	189.64±5.16 <sup>a</sup>	39.94±2.88 <sup>d</sup>	357.69±10.06 <sup>a</sup>	128.11±7.77 <sup>a</sup>	80.90±0.44 <sup>a</sup>
ขั้นตาท1+กัวกัม	0.2	282.39±2.59 <sup>b</sup>	157.72±7.04 <sup>ef</sup>	124.67±4.66 <sup>a</sup>	322.25±12.74 <sup>de</sup>	39.86±10.14 <sup>cd</sup>	79.11±0.08 <sup>c</sup>
	0.4	301.28±15.24 <sup>a</sup>	175.64±10.37 <sup>bc</sup>	125.64±6.92 <sup>a</sup>	336.83±7.15 <sup>bcd</sup>	35.55±13.76 <sup>d</sup>	79.72±0.49 <sup>b</sup> c
	0.6	300.00±7.58 <sup>a</sup>	182.28±4.52 <sup>ab</sup>	117.72 ±3.16 <sup>a</sup>	339.89±4.32 <sup>bc</sup>	39.89±5.58 <sup>cd</sup>	79.95±0.75 <sup>b</sup>
ขั้นตาท1+ไฮเมทอกซ์เพกทิน	0.2	269.22 ±9.23 <sup>bcd</sup>	156.78±2.19 <sup>ef</sup>	112.45±10.49 <sup>a</sup>	324.03±9.20 <sup>cde</sup>	54.81±3.49 <sup>c</sup>	80.10±0.05 <sup>b</sup>
	0.4	265.50±12.81 <sup>cde</sup>	169.48±7.58 <sup>cd</sup>	96.03±20.11 <sup>b</sup>	337.92±0.66 <sup>bcd</sup>	72.41±13.47 <sup>b</sup>	79.80±0.61 <sup>b</sup> c
	0.6	261.09±11.68 <sup>de</sup>	176.78±1.41 <sup>bc</sup>	84.30±10.44 <sup>b</sup>	340.22±8.40 <sup>bc</sup>	79.14±3.78 <sup>b</sup>	79.77±0.53 <sup>b</sup> c
ขั้นตาท1+ทรีฮาโลส	0.2	276.58±6.92 <sup>bc</sup>	151.610±5.50 <sup>f</sup>	124.97±1.56 <sup>a</sup>	314.44±15.70 <sup>ef</sup>	43.34 ±3.41 <sup>cd</sup>	79.97±0.11 <sup>b</sup>
	0.4	274.58±3.96 <sup>bc</sup>	151.307±2.63 <sup>f</sup>	123.28±2.84 <sup>a</sup>	313.94±9.06 <sup>ef</sup>	39.45±5.78 <sup>cd</sup>	79.98±0.06 <sup>b</sup>
	0.6	276.30±2.09 <sup>bc</sup>	157.667±2.30 <sup>ef</sup>	118.64±3.80 <sup>a</sup>	316.86±3.46 <sup>ef</sup>	40.55±5.00 <sup>cd</sup>	80.07±0.63 <sup>b</sup>
Pr > F		0.0001	0.001	0.0001	0.0485	0.0001	0.0001

หมายเหตุ \* ค่าเฉลี่ย±ค่าเบี่ยงเบนมาตรฐาน และ ตัวอักษรที่ต่างกันตามแนวตั้งแสดงถึงความแตกต่างกันของข้าวมีน้ำสำหรับทดสอบค่าความคงทนที่ระดับความเชื่อมั่นร้อยละ 95 ( $P \leq 0.05$ )

ทำการทดสอบ 3 ชุด และ Pr > F = P value of the F test.

### 2.3 ผลของการศึกษาการเปลี่ยนแปลงของสมบัติทางความร้อนของเจลสตาร์จากข้าวที่ไม่เติมและเติมสารเจือปนอาหาร

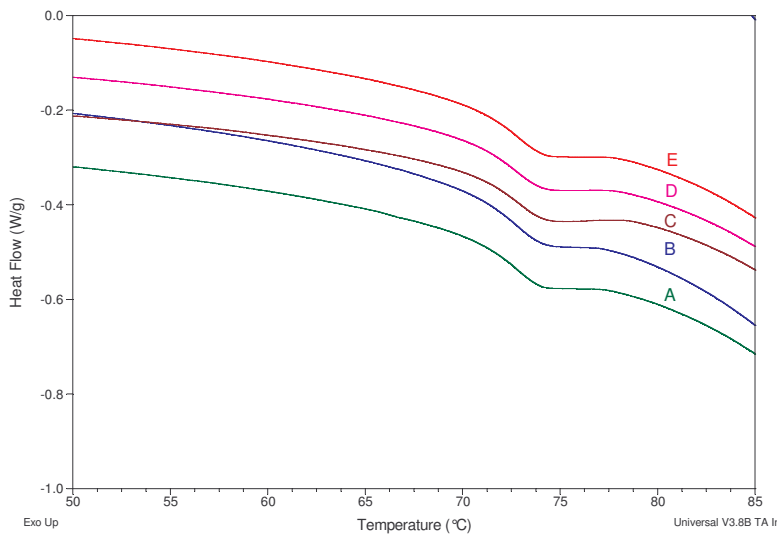
จากการศึกษาสมบัติความร้อนของสตาร์จากข้าวชั้นนำที่ ความเข้มข้นร้อยละ 30 และเติมสารเจือปนอาหาร 4 ชนิด ที่ระดับของสารเจือปนอาหาร 4 ระดับ พบว่าค่าอุณหภูมิเริ่มต้นการเจลาทีไนซ์ ค่าอุณหภูมิพิก (องคชาเซลเซียส) และ ค่าเอนทัลปี (จูลต่อกรัม) ของทั้ง 2 ปัจจัย ได้แก่ ชนิดสารเจือปนอาหารและปริมาณสารเจือปนอาหาร (ร้อยละ 0.0-0.6) พบว่าไม่มีอิทธิพลร่วมกัน ระหว่างชนิดของสารเจือปนอาหารกับปริมาณสารเจือปนอาหารที่ทำการศึกษา แต่มีผลมาจากการปัจจัย หลัก โดยเฉพาะอย่างยิ่งผลจากระดับของสารเจือปนอาหาร พบว่าแตกต่างกันอย่างมีนัยสำคัญทางสถิติ ( $P \leq 0.05$ )

จากตารางที่ 14 และภาพที่ 21 ผลของชนิดสารเจือปนอาหารที่เติมในเจลสตาร์จากข้าวต่อคุณสมบัติการเกิดเจลาทีไนซ์ พบว่าค่าอุณหภูมิเริ่มต้นการเจลาทีไนซ์ ค่าอุณหภูมิพิก (องคชาเซลเซียส) และค่าเอนทัลปี (จูลต่อกรัม) แตกต่างกันอย่างไม่มีนัยสำคัญทางสถิติ ( $P > 0.05$ ) โดยอยู่ในช่วง 72.14 ถึง 72.38 องคชาเซลเซียส 74.16 ถึง 74.52 องคชาเซลเซียส และ 1.40 ถึง 1.89 จูลต่อกรัม ตามลำดับ เช่นเดียวกันกับผลของปริมาณสารเจือปนอาหารที่เติมในเจลสตาร์จากข้าวต่อคุณสมบัติ การเกิดเจลาทีไนซ์ (ตารางที่ 14 และภาพที่ 22) พบว่าเมื่อปริมาณสารเจือปนอาหารเพิ่มขึ้นจากร้อยละ 0.2 ถึง 0.6 ตัวอย่างเจลมีอุณหภูมิเริ่มต้นการเจลาทีไนซ์และค่าเอนทัลปี (จูลต่อกรัม) พบว่า แตกต่างกันอย่างไม่มีนัยสำคัญทางสถิติ ( $P > 0.05$ ) แต่ค่าอุณหภูมิพิกของเจลที่เติมสารเจือปนอาหาร กับเจลตัวอย่างที่ไม่เติมสารเจือปนอาหาร แตกต่างกันอย่างมีนัยสำคัญทางสถิติ ( $P \leq 0.05$ )

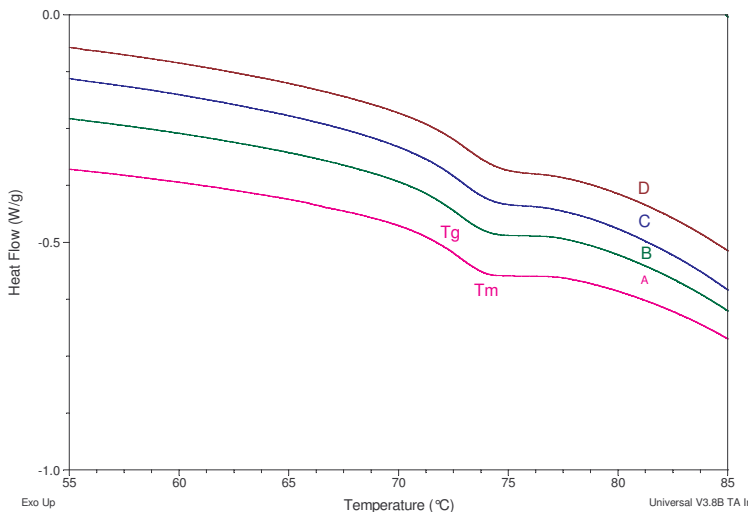
ตารางที่ 14 ผลของชนิดและปริมาณสารเจือปนอาหารที่เติมในเจลสตาร์จากข้าวต่อสมบัติทางความร้อนในการเกิดเจลาทีไนซ์ โดยใช้เครื่อง DSC

ชนิดและความเข้มข้นของสารเจือปนอาหาร	$T_o$ (°C)	$T_p$ (°C)	$\Delta H_G$ (J/g)
ชนิดของ อัลจินต	72.38	74.52	1.59
สารเจือปนอาหาร กัวกัม	72.29	74.16	1.89
ไอกเมทอกซ์เพกทิน	72.34	74.34	1.77
ทรีฮาโลส	72.14	74.17	1.40
Pr>F= P value of the F test	0.5475	0.1252	0.2009
ความเข้มข้นของ	72.04	74.05b	1.64
สารเจือปนอาหาร 0.0	72.50	74.66a	1.54
0.2	72.34	74.23ab	1.97
0.4	72.26	74.43ab	1.67
0.6	0.1048	0.0435	0.1168
Pr>F = P value of the F test			

หมายเหตุ a,b....ตัวอักษรที่ต่างกันตามแนวตั้งของแต่ละปัจจัยที่ทำการศึกษา (ชนิดของสารเจือปนอาหารและ ปริมาณความเข้มข้นของสารเจือปนอาหาร) และคงลึ่งความแตกต่างกันอย่างมีนัยสำคัญทางสถิติที่ระดับความเชื่อมั่นร้อยละ 95 ( $P \leq 0.05$ ) และ ทำการทดสอบ 2 ชั้น [ $T_o$ = อุณหภูมิเริ่มต้นการเจลาทีไนซ์ (onset temperature of gelatinization),  $T_p$  = อุณหภูมิพีค (peak temperature) และ  $\Delta H_G$  = เอนทัลปี (enthalpy of gelatinization)



ภาพที่ 21 ผลของชนิดสารเจือปนอาหารที่เติมในสตาร์ชจากข้าวชั้นนาท1 ต่อการเปลี่ยนแปลงกลาสทรานซิชันระหว่างการเกิดเจลาทีไนเซชัน (A = เจลสตาร์ชจากข้าวชั้นนาท1, B = สตาร์ชจากข้าวชั้นนาท1 + อัลจิเนต 0.2 %, C = สตาร์ชจากข้าวชั้นนาท1 + กัวกัม 0.2 %, D = สตาร์ชจากข้าวชั้นนาท1 + ไฮเมทอกซีเพกติน 0.2 %, E = สตาร์ชจากข้าวชั้นนาท1 + ทรีอาโลส 0.2 %)



ภาพที่ 22 เปรียบเทียบปริมาณอัลจิเนต (ร้อยละ 0.0 ถึง 0.6) ที่เติมในเจลสตาร์ชจากข้าวต่อการเปลี่ยนแปลงกลาสทรานซิชันระหว่างการเกิดเจลาทีไนเซชัน (A = เจลสตาร์ชจากข้าวชั้นนาท1, B = เจลสตาร์ชจากข้าวชั้นนาท1+อัลจิเนต 0.2 %, C = เจลสตาร์ชจากข้าวชั้นนาท1+อัลจิเนต 0.4 %, D = เจลสตาร์ชจากข้าวชั้นนาท1+อัลจิเนต 0.6 %)

ตารางที่ 15 ผลของชนิดและความเข้มข้นของสารเจือปนอาหารที่เติมในเจลสตาร์ชจากข้าว  
ต่อค่าสมบัติทางความร้อนระหว่างการแข็งเยือกแข็ง โดยใช้เครื่อง DSC

ชนิดและความเข้มข้นของสารเจือปนอาหาร	$T_{gf}$ (oC)	$T_{cc}$ (oC)	$\Delta H_f$ (J/g)
ชนิดของสารเจือปนอาหาร			
อัลจิเนต	-29.26a	-14.44a	109.26
กัวกัม	-31.19b	-16.32b	112.96
ไสม์ทอกซีเพกทิน	-31.04b	-16.54b	117.54
ทรีชาโอลส	-30.75b	-16.25b	101.89
Pr>F	0.0137	0.0500	0.1475
ความเข้มข้นของสารเจือปนอาหาร			
0.0	-32.92b	-17.62b	103.90
0.2	-30.29a	-15.45a	108.08
0.4	-29.32a	-15.45a	118.17
0.6	-29.71a	-15.02a	111.50
Pr>F	0.0001	0.0152	0.2058

หมายเหตุ a,b....ตัวอักษรที่แตกต่างกันตามแนวตั้งของแต่ละปัจจัยการศึกษา (ชนิดสารเจือปนอาหารและความเข้มข้นของสารเจือปนอาหาร) แสดงถึงความแตกต่างกันอย่างมีนัยสำคัญทางสถิติที่ระดับความเชื่อมั่นร้อยละ 95 ( $P \leq 0.05$ ) และจากการทดลอง 2 ชุด ( $T_{gf}$  = อุณหภูมิกลางานชิ้นของการแข็งเยือกแข็ง,  $T_{cc}$  = อุณหภูมิการเกิดผลึกน้ำแข็งระหว่างการแข็งเยือกแข็ง และ  $\Delta H_f$  = ค่าเอนทัลปีของการแข็งเยือกแข็ง, และ  $Pr > F$  = P value of the F test)

เมื่อนำเจลสตาร์ชจากข้าวที่ไม่เติมและเติมสารเจือปนอาหาร ให้ความเย็นอย่างรวดเร็ว อัตราที่ลดลง 20 องศาเซลเซียสต่อนาที ไปที่อุณหภูมิ -60 องศาเซลเซียส เป็นการศึกษาการเปลี่ยนแปลงสภาพกลาสระหว่างการแข็งเยือกแข็งอาหาร (glass transition in frozen foods) ในอาหารที่มีความชื้นสูงนี้การเกิดผลึกน้ำแข็งต้องเกิดขึ้นที่อุณหภูมิต่ำกว่า -0 องศาเซลเซียส (Hatakeyama and others 2004) จากการวัดค่า super cold ของเจลสตาร์ชแต่ละตัวอย่างครั้งนี้ พบว่า ไม่มีอิทธิพลร่วมกันระหว่างชนิดสารเจือปนอาหารกับปริมาณสารเจือปนอาหารที่ทำการศึกษา (ร้อยละ 0.0, 0.2, 0.4 และ 0.6) ผลการศึกษาในตารางที่ 21 พบว่าชนิดสารเจือปนอาหารที่เติมในเจลสตาร์ชจากข้าว มีผลให้ค่าอุณหภูมิกลางานชิ้นของการแข็งเยือกแข็ง มีความแตกต่างกัน

อย่างมีนัยสำคัญทางสถิติ ( $P \leq 0.05$ ) โดยการเติมอัลจินेटให้อุณหภูมิกลางานชิ้นของการแข่งเยือกแข็ง ( $T_g$ ) และอุณหภูมิการเกิดผลึกน้ำแข็งระหว่างการแข่งเยือกแข็ง ( $T_c$ ) สูงสุด คือที่อุณหภูมิ -29.26 องศาเซลเซียส และ -14.44 องศาเซลเซียส ตามลำดับ โดยค่าเอนทัลปีของเจลสตาร์ชแข่งเยือกแข็งแต่ละตัวอย่าง แตกต่างกันอย่างไม่มีนัยสำคัญทางสถิติ ( $P > 0.05$ ) มีค่าเอนทัลปีระหว่าง 101.89 ถึง 117.54 จูลต่อกรัม เมื่อปริมาณสารเจือปนอาหารเพิ่มขึ้น มีผลไปลดอุณหภูมิกลางานชิ้นของการแข่งเยือกแข็งและอุณหภูมิการสร้างผลึกน้ำแข็งระหว่างการแข่งเยือกแข็ง แตกต่างกันอย่างมีนัยสำคัญทางสถิติ ( $P \leq 0.05$ ) ซึ่งระดับการเติมสารเจือปนอาหารตั้งแต่ร้อยละ 0.2 ถึง ร้อยละ 0.6 แตกต่างกันอย่างไม่มีนัยสำคัญทางสถิติ ( $P > 0.05$ ) แต่แตกต่างกันอย่างมีนัยสำคัญทางสถิติ ( $P \leq 0.05$ ) กับค่าของเจลที่ไม่เติมสารเจือปนอาหาร โดยที่อุณหภูมิกลางานชิ้นของการแข่งเยือกแข็งเพิ่มขึ้น จากอุณหภูมิ -32.92 องศาเซลเซียส ไปที่อุณหภูมิ -29.71 ถึง -30.29 องศาเซลเซียส และ อุณหภูมิการสร้างผลึกน้ำแข็งระหว่างการแข่งเยือกแข็งเพิ่มขึ้นจากอุณหภูมิ -17.62 องศาเซลเซียส ไปที่อุณหภูมิ -15.02 ถึง -15.45 องศาเซลเซียส ส่วนค่าเอนทัลปีของการแข่งเยือกแข็ง เท่ากับ 111.50-118.17 จูลต่อกรัม แตกต่างกันอย่างไม่มีนัยสำคัญทางสถิติ ( $P > 0.05$ ) จะเห็นได้ว่าการเติมสารเจือปนอาหาร ช่วยเพิ่มอุณหภูมิกลางานชิ้นของการแข่งเยือกแข็งเจลสตาร์ชจากข้าวเกิดจากอันตรกิริยา (interaction) ของน้ำกับสารเจือปนอาหาร ทำให้เกิดการเปลี่ยนแปลงโครงสร้างทางเคมีและ โครงสร้างของน้ำ โดยเฉพาะอย่างยิ่งสารไฮโดรคออลอยด์ เนื่องจากคุณสมบัติของไฮโดรคออลอยด์ ที่มีความสามารถในการจับน้ำไว้ในโครงสร้างได้ดี ทำให้มีปริมาณน้ำอิสระ (free water) และเกิดการเคลื่อนย้ายของโมเลกุล (molecular mobility) ลดลง ดังนั้นระหว่างการแข่งเยือกแข็ง ระบบเจลสตาร์ชที่มีไฮโดรคออลอยด์ จึงเข้าสู่สภาวะ rubbery state และ glassy state ได้เร็วกว่า ตัวอย่างเจลสตาร์ชที่ไม่เติมไฮโดรคออลอยด์ (Hatakeyama and others 2004; Huang and others 1994; Shafiqur Rahman 1999) และสารไฮโดรคออลอยด์จะเพิ่มความหนืดของ unfrozen matrix (Ferrero and others 1996) นอกจากนี้การเติมสารเจือปนอาหารเป็นการเพิ่มความเข้มข้นของตัวละลาย (solute concentration) ทำให้เกิดการสร้างนิวเคลียส (nucleation) แบบ heterogeneous เพิ่มขึ้น (Shafiqur Rahman 1999; Welti-Chanes and others 2004)

ตารางที่ 16 ผลของชนิดและความเข้มข้นของสารเจือปนอาหารที่ไม่เติมและเติมในสตาร์ชจาก  
ข้าวต่อสมบัติทางความร้อนของเจลสตาร์ชแห่งเยื่อแก้วแข็งจากข้าวและให้ความร้อน<sup>อีกครั้ง</sup>

Types and concentration (%)	$T_g$ (°C)	$T_m$ (°C)	$\Delta H$ (J/g)
CNT1 (control)	-7.53	0.85cde	116.20
CNT1+ Alginate	0.2	-6.35	0.77def
	0.4	-7.03	0.72def
	0.6	-6.35	0.92bcd
CNT1+ Guar gum	0.2	-6.37	1.07abc
	0.4	-6.12	1.05abc
	0.6	-7.23	1.16ab
CNT1+ HMP	0.2	-6.46	0.70def
	0.4	-6.60	0.93bcd
	0.6	-6.74	1.29a
CNT1+ Trehalose	0.2	-7.67	0.64ef
	0.4	-6.71	0.72def
	0.6	-6.89	0.58f
Pr>F = P value of the F test	0.1863	0.0082	0.3793

หมายเหตุ a,b,... ตัวอักษรที่แตกต่างกันตามแนวตั้งแสดงถึงความแตกต่างกันอย่างมีนัยสำคัญทางสถิติที่ระดับความเชื่อมั่นร้อยละ 95 ( $P \leq 0.05$ ) และจากการทดลอง 2 ชุด  
(CNT1 = ข้าวนาท 1, HMP = ไชเมทอกซิลเพกทิน,  $T_g$  = อุณหภูมิกลางวดหินซิชัน  
ของเจลสตาร์ชแห่งเยื่อแก้วแข็งจากข้าวและให้ความร้อนอีกครั้ง,  $T_m$  = อุณหภูมิ  
การหลอมละลายของเจลสตาร์ชแห่งเยื่อแก้วแข็งจากข้าวและให้ความร้อนอีกครั้ง และ  
 $\Delta H$  = ค่าอนหพลปีของเจลสตาร์ชแห่งเยื่อแก้วแข็งจากข้าวและให้ความร้อนอีกครั้ง)

ผลการเปรียบเทียบเจลสตาร์ชจากข้าวหลังการแห้งเยื่อแก้วแข็งให้ความร้อนอีกครั้ง แสดงค่าในตารางที่ 16 พบว่าไม่มีอิทธิพลร่วมกันของทั้งสองปัจจัยคือ ชนิดและปริมาณของสารเจือปนอาหาร ต่อการเปลี่ยนแปลงค่าอุณหภูมิกลางวดหินซิชัน (glass transition temperature of reheating;  $T_g$ )

และค่าเอนทัลปีของเจลสตาร์ชให้ความร้อนอีกครั้ง (enthalpy of heating;  $\Delta H$ ) แต่มีอิทธิพลร่วมกันของทั้งสองปัจจัยที่อุณหภูมิการหลอมละลายของการให้ความร้อนอีกครั้ง (melting temperature of reheating;  $T_m$ )

เมื่อพิจารณาผลของชนิด และปริมาณสารเจือปนอาหารต่อการเปลี่ยนแปลงอุณหภูมิกลางสตอรานซิชันของเจลสตาร์ชจากข้าวที่ไม่เติมและเติมสารเจือปนอาหารทุกชนิดและความเข้มข้นที่ทำการทดลอง พบร่วมกับต่างกันอย่างไม่มีนัยสำคัญทางสถิติ ( $P>0.05$ ) โดยมีอุณหภูมิกลางสตอรานซิชันในช่วงอุณหภูมิ -6.12 ถึง -7.79 องศาเซลเซียส และค่าเอนทัลปีในช่วง 111.90 ถึง 157.60 จูลต่อกรัม โดยทั้งชนิดและความเข้มข้นของสารเจือปนอาหารที่ทำการทดลองในครั้งนี้ มีผลกระทบต่ออุณหภูมิการหลอมละลาย พบร่วมกับการเติมไไแมทอกซิเพกทินร้อยละ 0.6 ต้องการอุณหภูมิสูงกว่าในการหลอมละลายน้ำแข็ง เท่ากับ 1.29 องศาเซลเซียส โดยแตกต่างกันอย่างไม่มีนัยสำคัญทางสถิติ ( $P>0.05$ ) กับเจลตัวอย่างเจลสตาร์ชที่เติมกาวกัน ร้อยละ 0.2 ถึง 0.6 และตัวอย่างเจลสตาร์ชที่เติมทริชาโลส ร้อยละ 0.6 ช่วยลดอุณหภูมิการหลอมละลาย ( $T_m = 0.58$  องศาเซลเซียส) เนื่องจากสารทริชาโลสเป็นสารที่มีน้ำหนักโมเลกุลต่ำ (low molecular weight) เช่นเดียวกับกับน้ำตาลชนิดอื่น เช่น กลูโคส ซูโครส และมอลโตส ดังนั้นจึงส่งผลให้อุณหภูมิการหลอมละลายของน้ำแข็งลดลง (Wang and Jane 1994)

## 2.4 ผลของการศึกษาผลกระทบจากการคืนรูปจากเยือกแข็ง 5 รอบของเจลสตาร์ชจากข้าวที่ไม่เติมและเติมสารเจือปนอาหาร

2.4.1 ผลการวิเคราะห์การขับของเหลวออกจากเจลของเจลสตาร์ชแล่เยือกแข็งจากข้าวที่ไม่เติมและเติมสารเจือปนอาหาร หลังการคืนรูปจากเยือกแข็ง 5 รอบ ผลการวิเคราะห์การขับของเหลวออกจากเจล หลังการคืนรูปจากเยือกแข็ง 5 รอบ พบร่วมกันของสองปัจจัยที่ทำการศึกษาระหว่างชนิดและปริมาณสารเจือปนอาหารที่เติมในเจลสตาร์ชจากข้าว เช่นเดียวกับผลต่อปัจจัยหลักทั้งสองปัจจัย พบร่วมกับต่างกันอย่างไม่มีนัยสำคัญทางสถิติ ( $P>0.05$ ) (ตารางที่ 17) อาจเกิดจากความเข้มข้นของเจลสตาร์ชจากข้าวที่ทำการศึกษาระหว่างชนิดและปริมาณสารเจือปนอาหารที่เติมในเจลสตาร์ชจากข้าวที่ไม่เติมกับกาวกัน ร้อยละ 30 ของน้ำหนักสตาร์ชแห้ง ดังนั้นอาจส่งผลให้การขับของเหลวออกจากเจลค่อนข้างมาก เพราะว่าน้ำที่แยกออกมานี้คือส่วนของน้ำอิสระ (free water) อย่างไรก็ตาม ได้มีการศึกษาตัวอย่างที่มีความเข้มข้นต่างๆ จำกัดตัวอย่างเจลจากสตาร์ชมันเทศ ความเข้มข้นร้อยละ 6.4 เติมกัม (alginate, K-carrageenan, CMC, curdlan, gellan, guar gum, gum arabic, locust bean gum และ xanthan gum) ร้อยละ 0.6 หลังการคืนรูปจากเยือกแข็ง 5 รอบ พบร่วมกับการเติม K-carrageenan, curdlan, gellan ทำให้ร้อยละการขับของเหลวออกจากเจลเพิ่มขึ้น โดยสูงกว่าตัวอย่างเจลที่ไม่เติมกัม แต่การเติม alginate, CMC,

guar gum, gum arabic, locust bean gum และ xanthan gum ช่วยให้การขับของเหลวออกจากเจลลดลงและต่ำกว่าตัวอย่างเจลที่ไม่เติมกัม โดยกัมมิให้ร้อยละการขับของเหลวออกจากเจลต่ำที่สุดเท่ากับ 21.8 แต่ก็ต่างกันอย่างมีนัยสำคัญทางสถิติ ( $P \leq 0.05$ ) (Lee and others 2002) อาจเนื่องจากคุณสมบัติของกัมมิที่มีความสามารถในการจับน้ำไว้ในโครงสร้างและมีความสามารถทนต่อการคืนรูปจากเยือกแข็ง (Wielinga 2000) ดังนั้นจะเห็นว่าผลการคืนรูปจากเยือกแข็งต่อร้อยละการขับของเหลวออกจากเจล ขึ้นกับความเข้มข้นของเจล ชนิดและปริมาณของสารเจือปนอาหาร

**ตารางที่ 17 ผลของชนิดและปริมาณความเข้มข้นของสารเจือปนอาหารในเจลสตาร์จากข้าวต่อการขับของเหลวออกจากเจล จากการคืนรูปจากเยือกแข็ง จำนวน 5 รอบ**

ชนิดและปริมาณของสารเจือปนอาหาร (ร้อยละ)		การขับของเหลวออกจากเจล (ร้อยละ)
CNT1 (control)		2.26±0.31
CNT1+ Alginat	0.2	2.55±0.46
	0.4	2.73±0.80
	0.6	2.19±0.18
CNT1+ Guar gum	0.2	2.58±0.52
	0.4	2.42±0.46
	0.6	2.32±0.41
CNT1+ High methoxy pectin	0.2	2.19±0.13
	0.4	2.52±0.33
	0.6	2.40±0.32
CNT1+ Trehalose	0.2	2.19±0.09
	0.4	2.13±0.03
	0.6	2.86±0.49
Pr>F = P value of the F test		0.29

หมายเหตุ a,b...ตัวอักษรที่แตกต่างกันตามแนวตั้ง แสดงถึงความแตกต่างกันอย่างมีนัยสำคัญทางสถิติที่ระดับความเชื่อมั่นร้อยละ 95 ( $P \leq 0.05$ ) และจากการทดสอบ 3 ชี้ว่า  
(CNT1 = ชั้นนาที)

2.4.2 ผลการวิเคราะห์การเปลี่ยนแปลงลักษณะเนื้อสัมผัสของเจลสตาร์ชแช่เยือกแข็งจากข้าวที่ไม่เติมและเติมสารเจือปนอาหาร หลังการคืนรูปจากเยือกแข็ง จำนวน 5 รอบของเจลสตาร์ช จากข้าวที่ไม่เติมและเติมสารเจือปนอาหารในปริมาณที่แตกต่างกัน จากการศึกษาการเปลี่ยนแปลงลักษณะเนื้อสัมผัสเจลสตาร์ชจากข้าวดังนี้ (1) เจลสตาร์ชสด (fresh gel) (2) เจลสตาร์ชแช่เยือกแข็งจากข้าวทำการคืนรูปจากเยือกแข็ง จำนวน 5 รอบ และให้ความร้อนอีกรอบ (Freeze-thaw 5 cycles and reheat gels) และ (3) เจลสตาร์ชแช่เยือกแข็งจากข้าว ทำการคืนรูปจากเยือกแข็ง จำนวน 5 รอบ และไม่ให้ความร้อน (Freeze-thaw 5 cycles without reheat) หลังจากนี้ทำการวัดค่าความแข็งที่แรงกดร้อยละ 15 และ 70

จากผลการทดสอบค่าความแข็งที่แรงกดร้อยละ 15 ของ (1) เจลสตาร์ชสด (2) เจลสตาร์ชแช่เยือกแข็งจากข้าว ทำการคืนรูปจากเยือกแข็ง จำนวน 5 รอบ และให้ความร้อนอีกรอบ และ (3) เจลสตาร์ชแช่เยือกแข็งจากข้าว ทำการคืนรูปจากเยือกแข็ง จำนวน 5 รอบและไม่ให้ความร้อน พบว่ามีอิทธิพลร่วมกันของทั้งสองปัจจัยที่ทำการศึกษาคือ ชนิดและปริมาณสารเจือปนอาหาร แตกต่างกันอย่างมีนัยสำคัญทางสถิติ ( $P \leq 0.05$ ) ค่าความแข็งที่วัดได้แสดงดังในตารางที่ 18 เมื่อเปรียบเทียบระหว่างเจลสตาร์ชสด (fresh gel) กับ Freeze-thaw 5 cycles and reheat gel จะเห็นว่าค่าความแข็งของ Freeze-thaw 5 cycles and reheat gel ลดลง และค่าความแข็งที่ลดลงแตกต่างกันขึ้นกับชนิดของสารเจือปนอาหาร กล่าวคือการเติมกัวกัม จะให้เจลสตาร์ชที่นุ่มกว่าการเติมอัลจิเนต ไอกเมทอกซีเพกตินและทรีชาโลส เมื่อเปรียบเทียบร้อยละการเปลี่ยนแปลงความแข็งของเจลสตาร์ช พบร้าการเติมกัวกัมร้อยละ 0.2 ถึง 0.4 มีการเปลี่ยนแปลงความแข็งน้อยกว่าทุกตัวอย่างที่ทำการศึกษาเพราะว่าการใช้แรงกดร้อยละ 15 ใน การวัดเจลสตาร์ชเป็นการวัดเพื่อต้องการทราบถึงลักษณะเนื้อสัมผัสที่ผิวน้ำของเจล จะเห็นว่าผลการคืนรูปจากเยือกแข็ง 5 รอบและให้ความร้อนอีกรอบของเจลสตาร์ชจากข้าวที่เติมกัวกัมหรืออัลจิเนต ช่วยในการยับน้ำไว้ในโครงสร้างเจล แต่การเติมไอกเมทอกซีเพกตินและทรีชาโลส ทำให้เจลสตาร์ชมีความแข็งเพิ่มขึ้น ซึ่งอาจเกิดจากโครงสร้างเจลสตาร์ชถูกทำลายในระหว่างการคืนรูปจากเยือกแข็ง ส่งผลให้น้ำถูกขับออกนอกเซลล์และสารทั้งสองชนิดไม่สามารถยับน้ำไว้ในโครงสร้างเจล

**ตารางที่ 18** ผลของการคืนรูปจากเยือกแข็ง 5 รอบของเจลสตาร์ชจากข้าวที่ไม่เติมและเติมสารเจือปนอาหารต่อค่าความแข็ง โดยเครื่องวัดลักษณะเนื้อสัมผัส (TA-XT2) ที่แรงกดร้อยละ 15 ของความหนาเจลสตาร์ช

Type and concentration of food additives (%)	Hardness (g force)			
	Fresh gels	Freeze-thaw and reheat gels	Change of hardness (%)	Freeze-thaw without reheat
CNT1	78.93ab	96.86ab	22.72	1347.01bc
CNT1+Alginate	0.2	72.13bcd	100.17ab	1394.24b
	0.4	62.92de	70.32cd	937.97e
	0.6	64.18de	68.95cd	642.64hg
CNT1+Guar Gum	0.2	67.35cd	65.01cd	-3.47
	0.4	56.20e	58.99d	4.96
	0.6	54.21e	60.99d	12.51
CNT1+HMP	0.2	80.77ab	100.07ab	23.90
	0.4	75.94bc	99.42ab	30.92
	0.6	77.14abc	95.84ab	24.24
CNT1+Trehalose	0.2	87.30a	81.96bc	6.12
	0.4	67.12cd	100.01ab	49.00
	0.6	77.14abc	113.64a	47.32
Pr>F	0.0296	<.0001	-	<.0001

หมายเหตุ a,b....ตัวอักษรที่แตกต่างกันตามแนวตั้งแสดงถึงความแตกต่างกันอย่างมีนัยสำคัญทางสถิติที่ระดับความเชื่อมั่นร้อยละ 95 ( $P \leq 0.05$ ) และจากการทดสอบ 3 ชั้น (CNT1= ข้ายานาท 1, HMP = ไฮเมทอกซีเพกทิน และ Pr>F = P value of the F test)

ผลการวิเคราะห์การเปลี่ยนแปลงลักษณะเนื้อสัมผัสของเจลสตาร์ชแซ่บเยือกแข็งจากข้าวที่ไม่เติมและเติมสารเจือปนอาหาร วัดค่าความแข็งที่แรงคร้อยละ 70 เป็นการวัดเพื่อทำลายโครงสร้างเจล โดยศึกษาเจลสตาร์ชจากข้าว 3 ลักษณะดังนี้ (1) เจลสตาร์ชสด (2) เจลสตาร์ชแซ่บเยือกแข็งจากข้าว ทำการคืนรูปจากเยือกแข็ง จำนวน 5 รอบ และให้ความร้อนอิกครั้ง และ (3) เจลสตาร์ชแซ่บเยือกแข็งจากข้าว ทำการคืนรูปจากเยือกแข็ง จำนวน 5 รอบและไม่ให้ความร้อนพบว่ามีอิทธิพลร่วมกันของทั้งสองปัจจัยที่ทำการศึกษาคือ ชนิดและปริมาณสารเจือปนอาหาร โดยมีความแตกต่างกันอย่างมีนัยสำคัญทางสถิติ ( $P \leq 0.05$ ) ค่าความแข็งที่วัดได้แสดงดังในตารางที่ 19 จะเห็นว่าเมื่อเปรียบเทียบระหว่าง Fresh gel กับ Freeze-thaw and reheat gels ผลของค่าความแข็งมีแนวโน้มทิศทางเดียวกับการทดสอบที่แรงคร้อยละ 15 (ตารางที่ 18) โดยเจลสตาร์ชจากข้าวที่ไม่เติมสารเจือปนอาหารให้เจลที่มีความแข็งสูงสุด แม้ว่าจะมีร้อยละการเปลี่ยนแปลงความแข็งต่ำสุดชนิดของสารเจือปนช่วยให้ความแข็งของเจลลดลง แต่ความแข็งลดลง การทดสอบโดยแรงคร้อยละ 70 เป็นตรวจวัดความแข็งของโครงสร้างภายในเจลสตาร์ช โดยเจลสตาร์ชที่เติมทริโซโลสเพิ่มขึ้น แต่ความแข็งไกต์เคียงกับตัวควบคุมจะเห็นว่าค่าความแข็งเพิ่มขึ้น แสดงว่าโครงสร้างเจล (network structure of gel) ไม่สามารถจับน้ำไว้ในโครงร่างเจลสตาร์ชจากข้าว

**ตารางที่ 19** ผลของการคืนรูปจากเยือกแข็ง 5 รอบของเจลสตาร์ชจากข้าวที่ไม่เติมและเติมสารเจือปนอาหารต่อค่าความแข็ง โดยเครื่องวัดลักษณะเนื้อสัมผัส (TA-XT2) ที่แรงกดร้อยละ 70 ของความหนาเจลสตาร์ช

Type and concentration of food additives (%)	Hardness (g force)			
	Fresh gels	Freeze-thaw and reheat gels	Change of hardness (%)	Freeze-thaw without reheat
CNT1	745.42 a	747.13a	0.23	2279.4a
CNT1+Alginate	0.2	575.83bc	592.15c	2043.1abc
	0.4	392.66d	329.54g	1001.6fg
	0.6	308.80ed	285.65h	827.5g
CNT1+Guar Gum	0.2	550.20c	373.74f	1370.0def
	0.4	339.91ed	283.98h	951.0fg
	0.6	270.50e	251.08h	899.0g
CNT1+HMP	0.2	663.49abc	623.99c	1722.0bcd
	0.4	645.50abc	613.92c	1615.7cde
	0.6	544.96c	456.62e	1998.1abc
CNT1+Trehalose	0.2	677.20ab	534.13d	1232.6efg
	0.4	359.47ed	635.33bc	2154.6ab
	0.6	356.03ed	673.37b	2084.6ab
Pr>F	0.0018	<.0001	-	<.0001

หมายเหตุ a,b,... ตัวอักษรที่แตกต่างกันตามแนวตั้งแสดงถึงความแตกต่างกันอย่างมีนัยสำคัญทางสถิติที่ระดับความเชื่อมั่นร้อยละ 95 ( $P \leq 0.05$ ) และจากการทดลอง 3 ชุด  
(CNT1=ข้าวนาท 1, HMP = ไฮเมทอกซีเพกทิน และ Pr>F = P value of the F test)

## 2.5 ผลของการเปลี่ยนแปลงเจลสตาร์ชแซ่บเยือกแข็งจากข้าวที่ไม่เติมและเติมสารเจือปนอาหาร ระยะเวลาการเก็บ 1 15 30 45 60 90 และ 120 วัน

2.5.1 ผลการขับของเหลวออกจากเจลของเจลสตาร์ชแซ่บเยือกแข็งจากข้าวที่ไม่เติมและเติมสารเจือปนอาหาร ระยะเวลาการเก็บ 1 15 30 45 60 90 และ 120 วัน

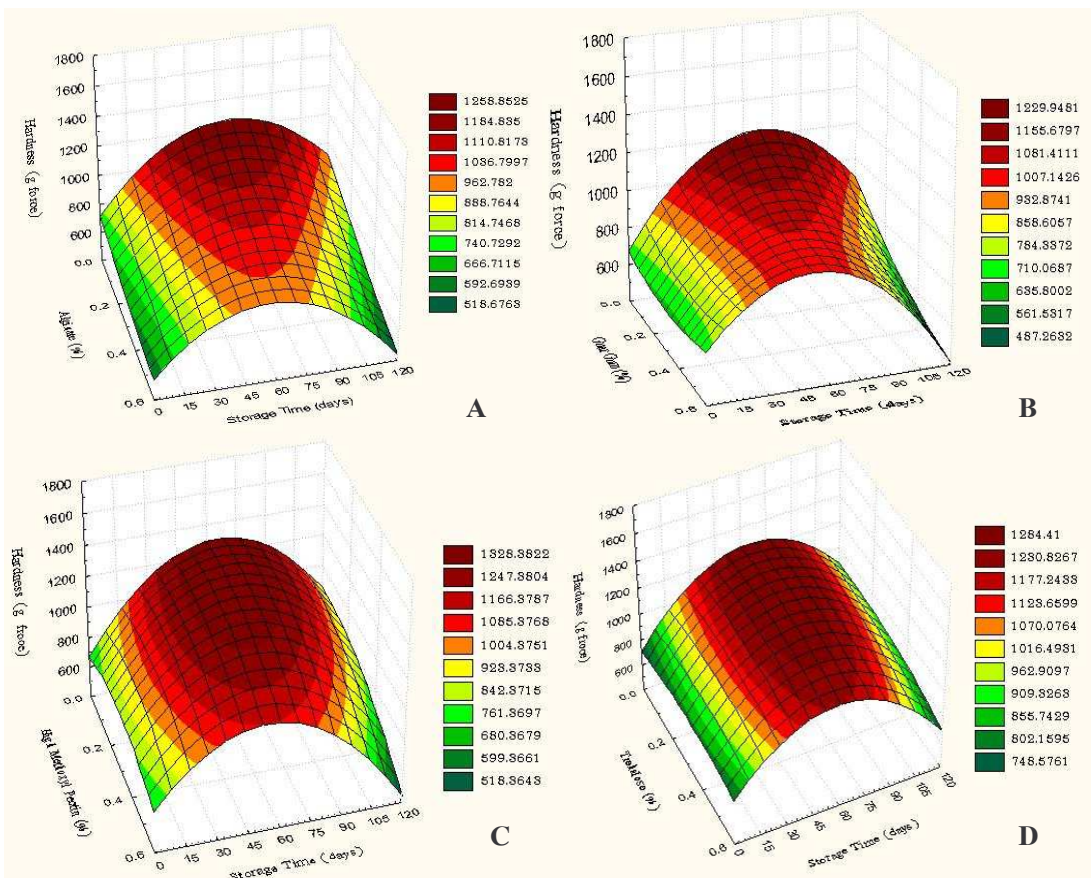
ผลของระยะเวลาการเก็บต่อการขับของเหลวออกจากเจลระหว่างการเก็บเจลสตาร์ชแซ่บเยือกแข็งจากข้าว จากการศึกษาปัจจัย 3 ปัจจัย ได้แก่ ชนิดของสารเจือปนอาหาร ปริมาณของสารเจือปนอาหาร และระยะเวลาการเก็บ พนว่าไม่มีอิทธิพลร่วมกันของทั้งสามปัจจัย ( $P>0.05$ ) แต่กลับพบว่ามีอิทธิพลร่วมกันระหว่างสองปัจจัยคือ ชนิดและปริมาณของสารเจือปนอาหาร แตกต่างกันอย่างมีนัยสำคัญทางสถิติ ( $P\leq0.05$ ) ดังนี้จากการทดลองร่วมของสองปัจจัยหลักของชนิดกับปริมาณสารเจือปนอาหารต่อการขับของเหลวออกจากเจลในเจลสตาร์ชแซ่บเยือกแข็งจากข้าว (ตารางที่ 20) พนว่าเจลสตาร์ชแซ่บเยือกแข็งจากข้าวชั้นนาท 1 ที่เติมชนิดและปริมาณสารเจือปนอาหารมีผลต่อการขับของเหลวออกจากเจลระหว่างการเก็บ แตกต่างกันอย่างมีนัยสำคัญทางสถิติ ( $P\leq0.05$ ) ดังนี้การเติมอลูจิเนตและกัวกัม ร้อยละ 0.2 ถึง 0.6 ไอยเมทอกซีเพกทิน ร้อยละ 0.2 ทรีชาโลส ร้อยละ 0.2 ถึง 0.4 เกิดการขับของเหลวออกจากเจล แตกต่างกันอย่างไม่มีนัยสำคัญทางสถิติ ( $P>0.05$ ) แต่การเติมไอยเมทอกซีเพกทิน ร้อยละ 0.4 ถึง 0.6 และทรีชาโลส ร้อยละ 0.6 มีการขับของเหลวออกจากเจลสูงสุด อยู่ในช่วงร้อยละ  $2.53\pm0.10$  ถึง  $2.58\pm0.14$  และทรีชาโลสร้อยละ 0.2 มีการขับของเหลวออกจากเจลต่ำสุด เท่ากับ ร้อยละ  $2.08\pm0.17$  จากผลของการเก็บ (ปัจจัยที่ 3) ในตารางที่ 20 พนว่าหลังจากเก็บเจลสตาร์ชแซ่บเยือกแข็งจากข้าวไวนาน 15 วัน เกิดการขับของเหลวออกจากเจลมีแนวโน้มเพิ่มขึ้น และ ที่การเก็บนาน 45 วัน มีร้อยละการขับของเหลวออกจากการ เท่ากับ 2.40 แตกต่างกันอย่างมีนัยสำคัญทางสถิติ ( $P\leq0.05$ )

ตารางที่ 20 ผลของการเปลี่ยนแปลงการขับของเหลวออกจากเจลในเจลสตาร์ชแซ่บเยี๊อกเบิ๊ง  
จากข้าวที่ไม่เติมและเติมสารเจือปนอาหารของสองปัจจัยที่ทำการศึกษาคือ<sup>15</sup>  
ชนิดและปริมาณสารเจือปนอาหาร ระยะเวลาการเก็บขยะแซ่บเยี๊อกเบิ๊ง 1 15  
30 45 60 90 และ 120 วัน

Type and concentration of food additives (%)	Storage time (days)	Syneresis (%)
CNT1		2.24±0.10cd
CNT1+Alginic acid	0.2	2.25±0.17cd
	0.4	2.32±0.10bcd
	0.6	2.19±0.10cde
CNT1+Guar Gum	0.2	2.33±0.12bc
	0.4	2.33±0.14bc
	0.6	2.28±0.12cd
CNT1+High Methoxyl Pectin	0.2	2.16±0.11de
	0.4	2.53±0.10a
	0.6	2.58±0.14a
CNT1+Trehalose	0.2	2.08±0.17e
	0.4	2.16±0.12cde
	0.6	2.45±0.26ab
Pr>F = P value of the F test		<.0001
	1	2.30ab
	15	2.18b
	30	2.23ab
	45	2.39a
	60	2.24ab
	90	2.36a
	120	2.32ab
Pr>F = P value of the F test		0.0474
หมายเหตุ a,b....ตัวอักษรที่แตกต่างกันตามแนวตั้งแสดงถึงความแตกต่างกันอย่างมีนัยสำคัญทางสถิติที่ระดับความเชื่อมั่นร้อยละ 95 ( $P \leq 0.05$ ) และจากการทดลอง 3 ชุด (CNT1=ชั้นนำ 1)		

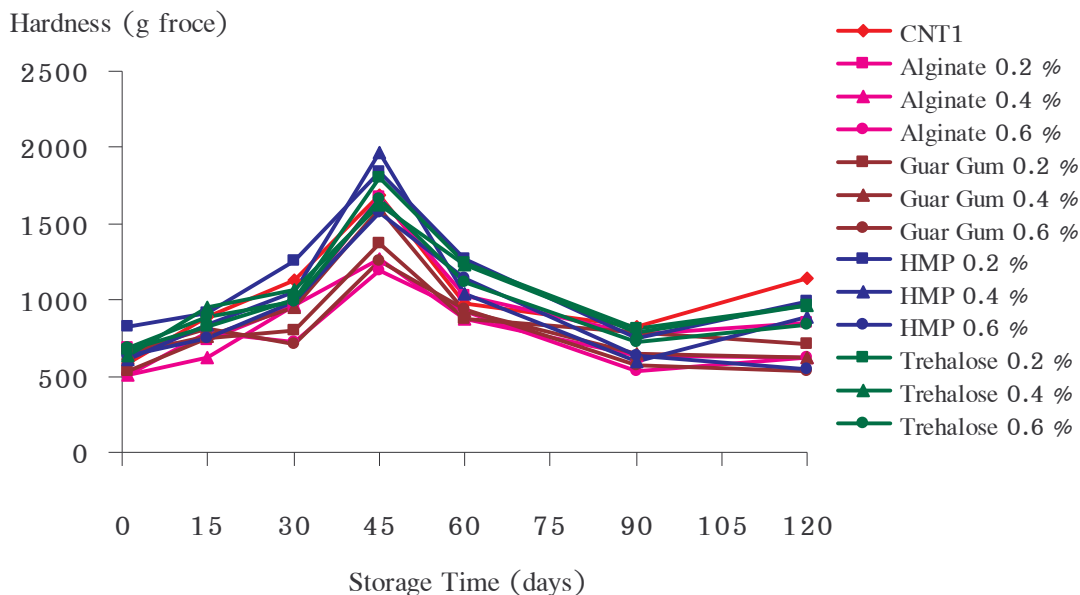
2.5.2 ผลการเปลี่ยนแปลงลักษณะเนื้อสัมผัสของเจลستาร์ชแช่เยือกแข็งจากข้าวที่ไม่เติม และเติมสารเจือปนอาหาร ระยะเวลาการเก็บ 1 15 30 45 60 90 และ 120 วัน

(1) ผลการเปลี่ยนแปลงลักษณะเนื้อสัมผัสของเจลстาร์ชแช่เยือกแข็งจากข้าวที่ไม่เติม และเติมสารเจือปนอาหาร ทำการทดสอบความแข็งที่แรงกดร้อยละ 15



ภาพที่ 23 ผลของความเข้มข้นของสารเจือปนอาหารต่อเจลสตาร์ชแช่เยือกแข็งจากข้าว และทำการคืนรูปจากเยือกแข็ง วัดความแข็งที่แรงกดร้อยละ 15 ด้วยเครื่องวัดลักษณะเนื้อสัมผัส (TA-XT2) ( $A = \text{อัลจิเนต}, B = \text{กัวกัม}, C = \text{ไอกเมทอกซ์เพกทิน}, D = \text{ทรีฮาโลส}$ )

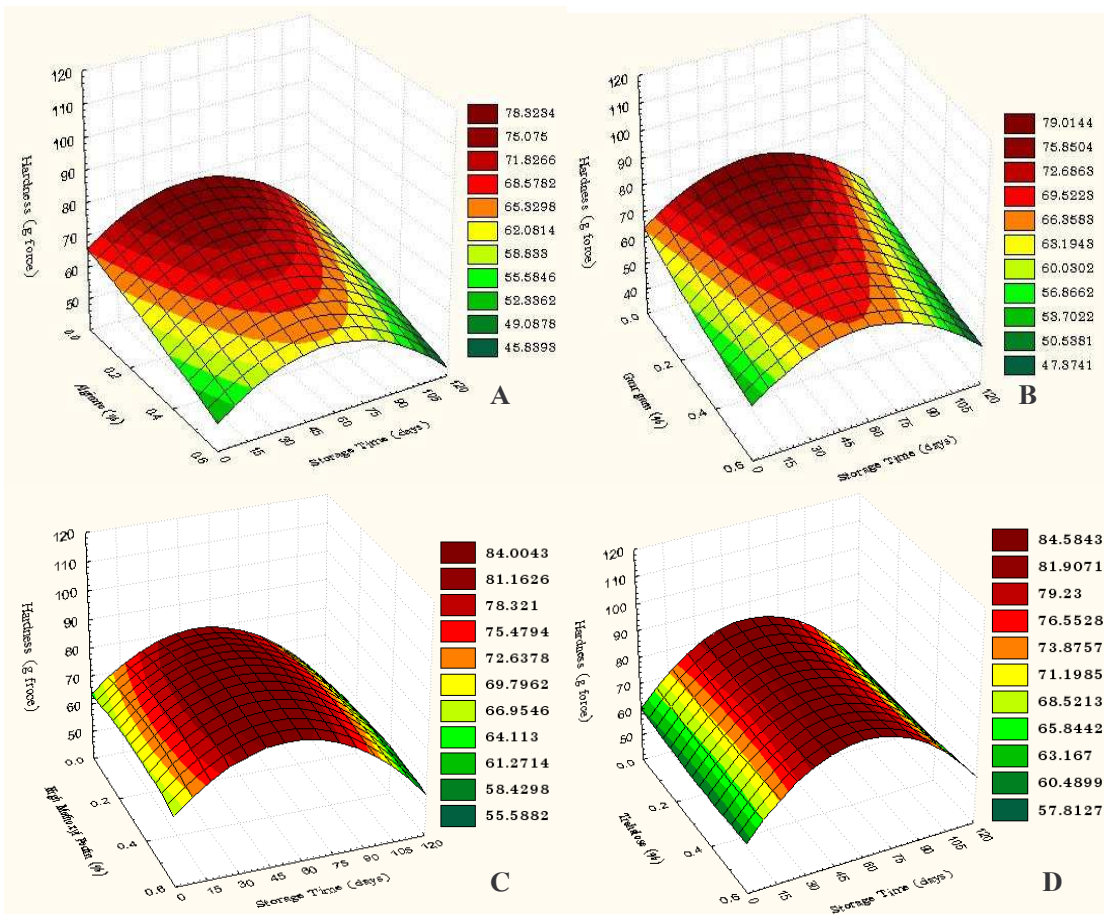
ผลการเปลี่ยนแปลงลักษณะเนื้อสัมผัสของเจลสตาร์ชแช่เยือกแข็งจากข้าวที่ไม่เติมและเติมสารเจือปนอาหาร ทำการคืนรูปจากเยือกแข็งและไม่ให้ความร้อน (Freeze-thaw without reheat) ทดสอบความแข็งที่แรงครอปเปอร์ 15 จากปัจจัยในการศึกษา 3 ปัจจัย ได้แก่ ชนิดสารเจือปนอาหาร ปริมาณสารเจือปนอาหาร และระยะเวลาการเก็บ (1 15 30 45 60 90 และ 120 วัน) พบร่วมกับมีอิทธิพลร่วมกันของทั้งสามปัจจัย แสดงดังในภาพที่ 23 (A) (B) (C) (D) ผลการเติมสารเจือปนอาหาร (กัวกัม ไไเมทอกซีเพกทิน และทรีชาโลส) ทุกรอบดับที่ทำการศึกษาเปรียบเทียบกับเจลสตาร์ชข้าว จะเห็นว่าทำให้เจลสตาร์ชแช่เยือกแข็งจากข้าวมีความแข็งลดลงแตกต่างกัน ผลการเติมอัลจิเนต และกัวกัม จะให้เจลสตาร์ชที่มีความนุ่มนากกว่าการเติมทรีชาโลสและไไเมทอกซีเพกทิน และจากการทดสอบที่แรงครอปเปอร์ 15 แสดงให้เห็นว่าผิวน้ำของเจลที่เติมอัลจิเนตและกัวกัมในทุกรอบดับให้ลักษณะผิวน้ำเจลที่มีความนุ่มนากกว่าการเติมทรีชาโลสและไไเมทอกซีเพกทิน จากการเติมสารเจือปนอาหารในปริมาณเพิ่มขึ้นจากครอปเปอร์ 0.0 ถึง 0.6 พบร่วมปริมาณสารเจือปนอาหารเพิ่มขึ้นทำให้เจลมีความแข็งลดลง จากภาพที่ 19 (A) (B) (C) (D) เมื่อเก็บเจลสตาร์ชทุกตัวอย่างไวนาน 120 วัน จะเห็นว่าเจลสตาร์ชทุกตัวอย่างจากการเก็บที่ 1 วัน เจลสตาร์ชมีแนวโน้มให้ค่าความแข็งเพิ่มขึ้น จนกระทั่งระยะเวลาการเก็บ 45 วัน มีค่าความแข็งสูงสุดและแตกต่างกันอย่างมีนัยสำคัญทางสถิติ ( $P \leq 0.05$ ) แล้วเมื่อทำการเก็บเจลแช่เยือกแข็งนานขึ้นจาก 45 วัน จนถึง 120 วัน ความแข็งลดลง และจากการทดสอบพบว่าเจลตาร์ชจากข้าวแช่เยือกแข็งเติมอัลจิเนตครอปเปอร์ 0.6 มีค่าความแข็งต่ำสุดเท่ากับ 1191 กรัมแรง ดังนั้น จะเห็นว่าเจลสตาร์ชที่เติมสารเจือปนอาหาร หลังจากการเก็บที่ 45 วัน ถึง 120 วัน ค่าความแข็งมีแนวโน้มลดลง และแตกต่างกันอย่างมีนัยสำคัญทางสถิติ ( $P \leq 0.05$ ) แต่ตัวอย่างเจลสตาร์ชข้าวที่ไม่เติมสารเจือปนอาหาร พบร่วมแตกต่างกันอย่างไม่มีนัยสำคัญทางสถิติ ( $P > 0.05$ ) และมีจุดวิกฤติการแช่เยือกแข็งที่ 45 วัน เช่นเดียวกับกับเจลที่เติมสารเจือปนอย่างไรก็ตาม เมื่อเปรียบเทียบผลการเก็บที่ 1 วัน กับที่ 120 วัน พบร่วมการเติมสารเจือปนอาหารทุกชนิดและระดับที่ทำการศึกษาให้ค่าความแข็งใกล้เคียงกันกับเจลสด และแตกต่างกันอย่างไม่มีนัยสำคัญทางสถิติ ( $P > 0.05$ ) ยกเว้นเจลสตาร์ชแช่เยือกแข็งจากข้าวที่ไม่เติมสารเจือปนอาหาร พบร่วมแตกต่างกันอย่างมีนัยสำคัญทางสถิติ ( $P \leq 0.05$ ) และการเก็บที่ 120 วัน มีค่าความแข็งสูงสุด นอกเหนือเจลสตาร์ชที่ 120 วัน ถ้ามีการเติมสารเจือปนอาหารในปริมาณเพิ่มขึ้น จะให้เจลสตาร์ชที่มีความแข็งลดลงซึ่งแสดงให้เห็นว่าผิวน้ำของเจลมีความนุ่มน้ำเพิ่มขึ้น จากการศึกษาเจลแช่เยือกแข็ง หลังการหยอดละลาย และทดสอบความแข็งของเจลที่แรงครอปเปอร์ 15 พบร่วมเจลจะเริ่มมีค่าความแข็งสูงสุด ในช่วงระยะเวลาการเก็บ 30 ถึง 60 วัน และเจลทุกตัวอย่างจากการทดสอบจะเห็นว่าอายุการเก็บที่ 45 วัน เป็นเวลาวิกฤติของการแช่เยือกแข็งเจลสตาร์ช (the critical time of frozen gels) (ภาพที่ 24)



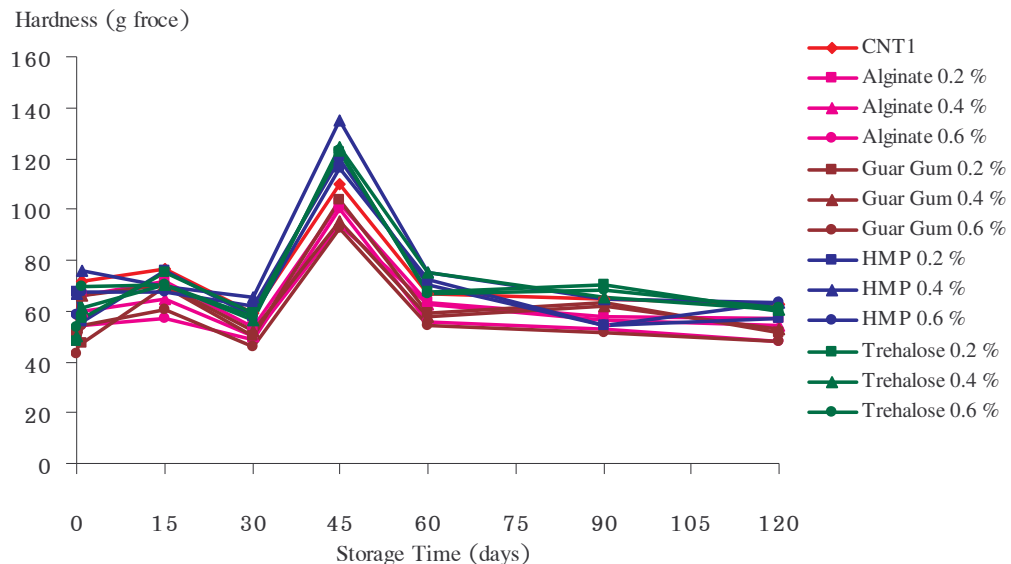
ภาพที่ 24 ผลของระยะเวลาการเก็บเจลสตาร์ชแห่เยื่อกแข็งจากข้าว ทำการคืนรูปจากเยื่อกแข็ง วัดความแข็งที่แรงกดร้อยละ 15 ด้วยเครื่องวัดลักษณะเนื้อสัมผัส (TA-XT2)  
(CNT1= ขั้นนาที 1, HMP = ไชเมทอกซิเพกทิน)

ผลการเปลี่ยนแปลงลักษณะเนื้อสัมผัสของเจลสตาร์ชแห่เยื่อกแข็งจากข้าวที่ไม่เติมและเติมสารเจือปนอาหารของเจลสตาร์ชที่ให้ความร้อนอีกรั้ง โดยเปรียบเทียบกับเจลสด ทำการทดสอบที่แรงกดร้อยละ 15 จากปัจจัยในการศึกษา 3 ปัจจัย ได้แก่ ชนิดสารเจือปนอาหาร ปริมาณสารเจือปนอาหาร และระยะเวลาการเก็บ พบว่ามีอิทธิพลร่วมกันของทั้งสามปัจจัย แสดงดังในภาพที่ 25 (A) (B) (C) (D) เมื่อเปรียบเทียบผลของชนิดสารเจือปนอาหาร จะเห็นว่าการเติมอัลจิเนตจะให้เจลสตาร์ชที่มีความนุ่มนวลกว่าการเติมกัวกัม ไชเมทอกซิเพกทินและทรีชาโลส อาจเป็นเพราะอัลจิเนตเป็นสาร thermally irreversible gelling agents และมีความคงตัวขณะได้รับความร้อน (heat stable) (Draget 2000) และกัวกัมซึ่งมีโครงสร้างของ  $\beta(1 \rightarrow 4)$  D-mannan สามารถเกิดรูปผลึกที่คงตัวได้ (stable crystalline regions) (Fox 1992) จากผลการศึกษาการเติมสารเจือปนอาหารที่ พบว่าเมื่อระยะเวลาการเก็บเจลสตาร์ชจากข้าวเพิ่มขึ้นจาก 1 วัน ถึง 45 วัน เจลสตาร์ชแห่เยื่อกแข็งจากข้าวที่ไม่เติมและเติมสารเจือปนอาหาร มีแนวโน้มให้ค่าความแข็งเพิ่มขึ้นและสูงสุดที่ 45 วัน โดยแตกต่างกันอย่างมีนัยสำคัญทางสถิติ ( $P \leq 0.05$ ) หลังจากนี้ค่าความแข็งลดลงและลดลงจนกระทั่งการเก็บที่ 120 วัน จากการเปรียบเทียบการเก็บที่ 0 (เจลสด) กับ 120 วัน และ 1 กับ 120 วัน พบว่า ค่าความแข็งแตกต่างกันอย่างไม่มีนัยสำคัญทางสถิติ ( $P > 0.05$ ) จะเห็นว่าเจลสตาร์ชแห่เยื่อกแข็งจากข้าวไม่เติมและเติมสารเจือปนอาหาร วัดค่าความแข็ง ด้วยแรงกดร้อยละ 15 ได้ว่าอายุการเก็บที่ 45

วัน เป็นเวลาวิกฤตของการแข็งเยือกแข็งเจลสตาร์ช (the critical time of frozen gels) (ภาพที่ 26) อย่างไรก็ตามเมื่อเปรียบเทียบเจลไม่เติมสารเจือปนอาหารและเจลที่เติมสารเจือปนอาหาร พบร่วมกันที่ไม่เติมสารเจือปนอาหาร ให้เจลที่มีความแข็งมากกว่าเจลที่เติมสารเจือปนอาหาร แสดงให้เห็นว่า การเติมสารเจือปนอาหารช่วยให้เจลมีคงตัวได้ดีระหว่างการเก็บ (Mandala 1992)



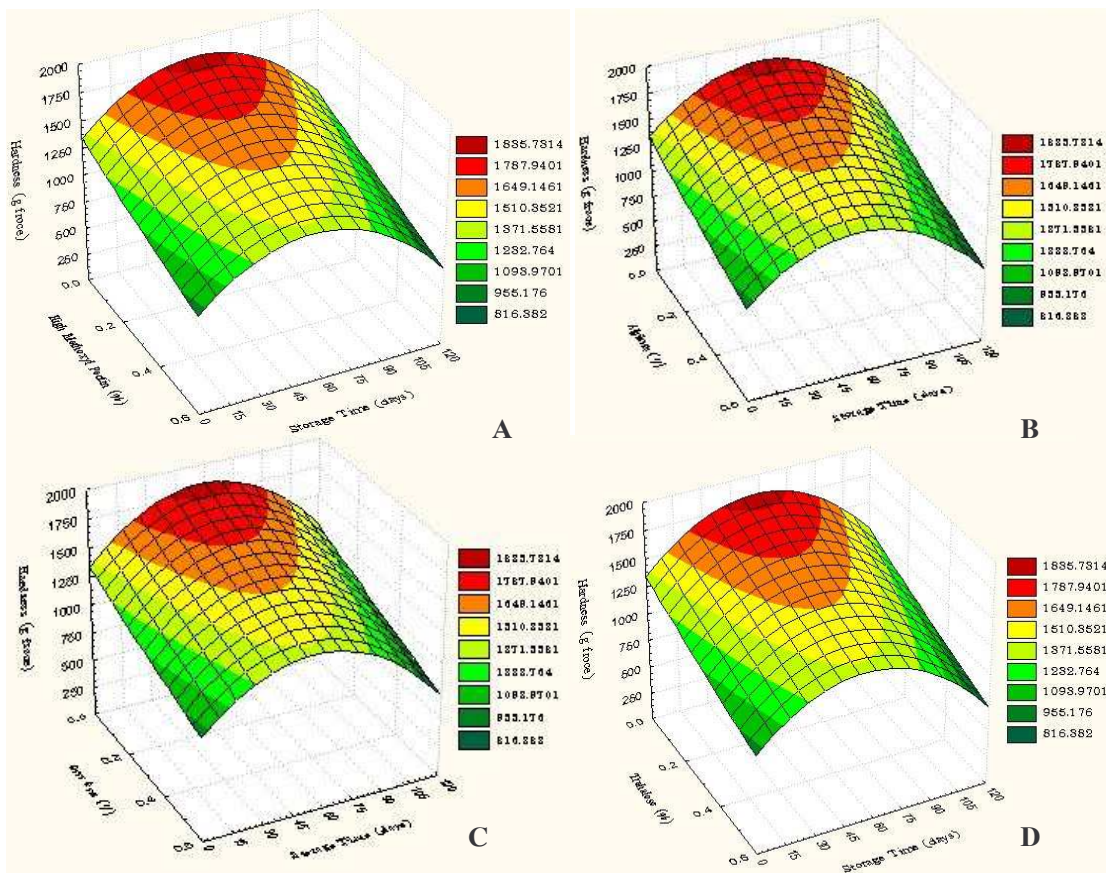
ภาพที่ 25 ผลของความเข้มข้นของสารเจือปนอาหารต่อเจลสตาร์ชแข็งเยือกแข็งจากข้าว  
ทำการคืนรูปจากเยือกแข็งและให้ความร้อนอีกครั้ง วัดความแข็งที่แรงกดร้อยละ 15  
ด้วยเครื่องวัดลักษณะเนื้อสัมผัส (TA-XT2) (A = อัลจิเนต, B = กัวกัม,  
C = ไขเมทอกซีเพกติน, D = ทรายาโอลส์)



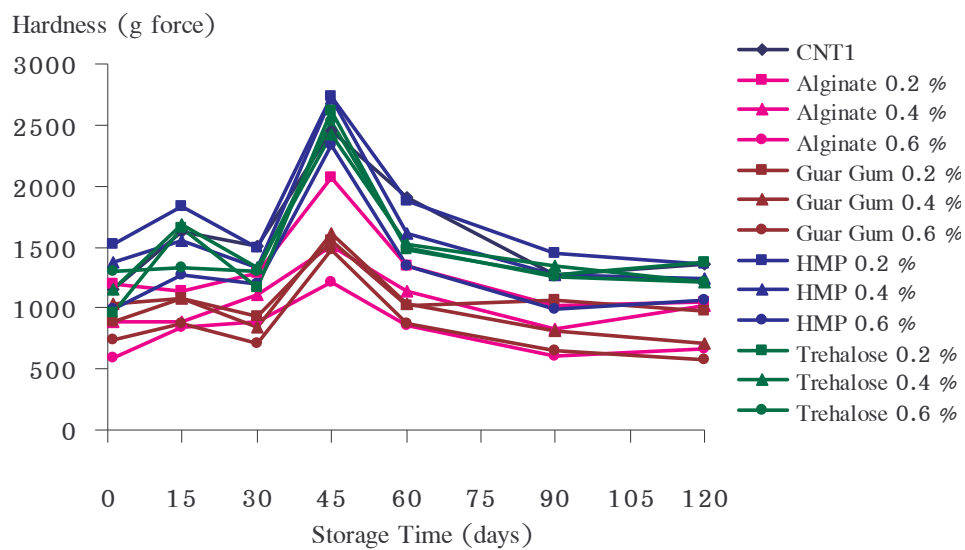
ภาพที่ 26 ผลของระยะเวลาการเก็บเจลสตาร์ชแห่งเยื่อแก้ไขจากข้าว ทำการคืนรูปจากเยื่อแก้ไข และให้ความร้อนอีกครั้ง วัดความแข็งที่แรงกดร้อยละ 15 ด้วยเครื่องวัดลักษณะเนื้อสัมผัส (TA-XT2) (CNT1= ขั้นนาที 1, HMP = ไอมเอมทอกซีเพกทิน)

(2) ผลการเปลี่ยนแปลงลักษณะเนื้อสัมผัสของเจลสตาร์ชแห่งเยื่อแก้ไขจากข้าวที่ไม่เติมสารเจือปนอาหาร ทำการทดสอบความแข็งที่แรงกดร้อยละ 70 จากการวัดตัวอย่างเจลสตาร์ชจากข้าวที่ผ่านการแห่เยื่อแก้ไข ทำการคืนรูปจากเยื่อแก้ไขและทดสอบแรงกดที่ร้อยละ 70 จากปัจจัยในการศึกษา 3 ปัจจัย ได้แก่ ชนิดสารเจือปนอาหาร ปริมาณสารเจือปนอาหาร และระยะเวลาการเก็บ พนว่ามีอิทธิพลร่วมกันของทั้งสามปัจจัย ดังนั้นปัจจัยที่ทำการศึกษาทั้งสามปัจจัยมีผลกระทบต่อค่าความแข็งที่วัดได้แตกต่างกัน จากการที่ 1 วัน มีค่าความแข็งมีแนวโน้มเพิ่มขึ้นจนกระทั่งระยะเวลาเก็บที่ 45 วัน จะให้ค่าความแข็งสูงสุด แตกต่างกันอย่างมีนัยสำคัญทางสถิติ ( $P \leq 0.05$ ) หลังจากการเก็บที่ 45 วัน ค่าความแข็งจะมีแนวโน้มลดลงตลอดระยะเวลาการเก็บ เมื่อเปรียบเทียบเจลสตาร์ชที่ 1 วัน กับ 120 วัน จะเห็นว่าเจลสตาร์ชที่ 120 วัน มีค่าความแข็งสูงกว่าเจลสตาร์ชที่ 1 วัน และที่อายุการเก็บ 120 วัน เปรียบเทียบเจลสตาร์ชแห่งเยื่อแก้ไขจากข้าวที่ไม่เติมสารเจือปนอาหาร เจลสตาร์ชที่เติมไอมเอมทอกซีเพกทินร้อยละ 0.2 เจลสตาร์ชที่เติมทรีวาโลสร้อยละ 0.2 พนว่ามีค่าความแข็งที่ใกล้เคียงกัน เมื่อเปรียบเทียบชนิดสารเจือปนอาหาร พนว่าการเติมอลิจิเนตและกัวกัม มีค่าความแข็งต่ำกว่าการเติมไอมเอมทอกซีเพกทินและทรีวาโลส

ชาโอลส์ จะเห็นว่าการเปลี่ยนแปลงค่าความแข็งของเจลสตาร์ช เช่นเดียวกันกับการทดสอบที่แรงกดร้อยละ 15 และอายุการแช่เยือกแข็งที่ 45 วัน เป็นเวลาวิกฤติของการแช่เยือกแข็งเจลสตาร์ช (the critical time of frozen gels) (ภาพที่ 28) หลังจากนี้เจลทุกตัวอย่างที่ทำการศึกษาให้ค่าความแข็งลดลง ซึ่งอาจมีสาเหตุจากโครงสร้างเจลเริ่มเสื่อมสภาพ (Mandala and others 2002)



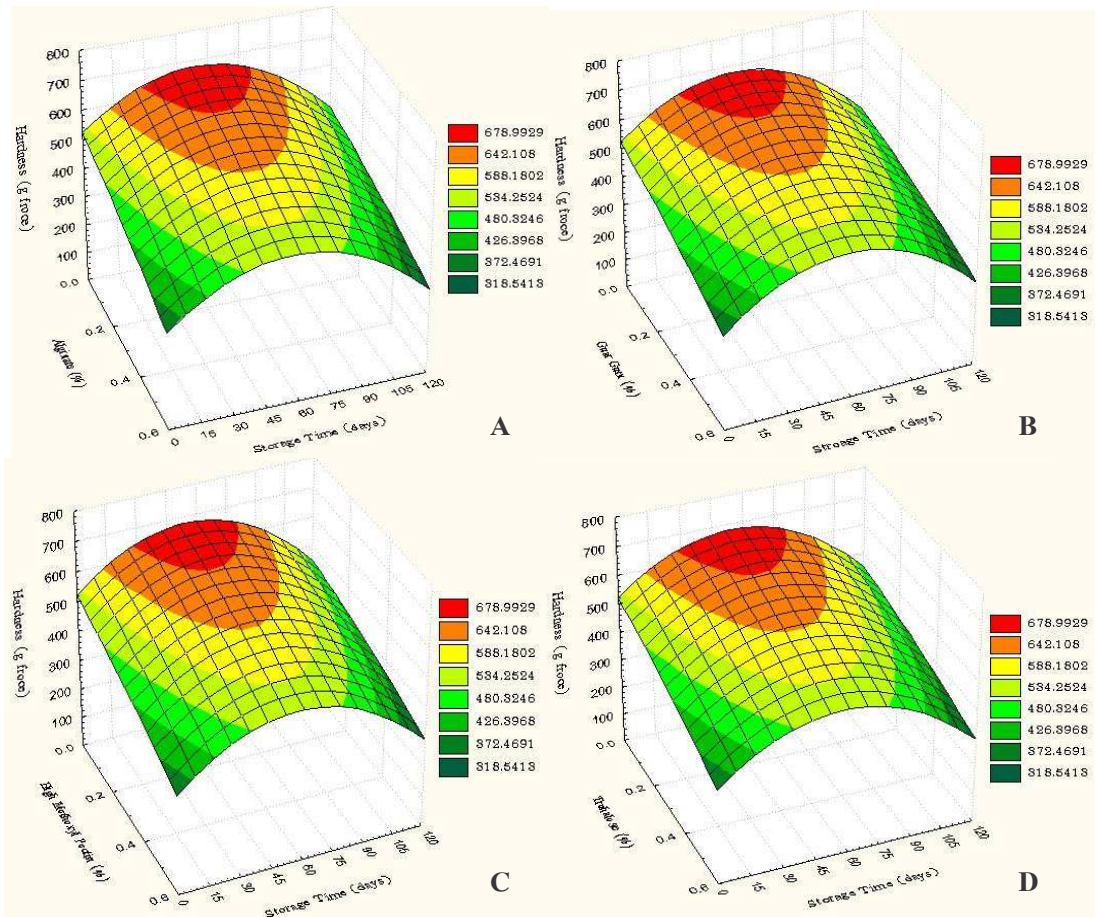
ภาพที่ 27 ผลของความเข้มข้นของสารเจือปนอาหารต่อเจลสตาร์ชแช่เยือกแข็งจากข้าว และทำการคืนรูปจากเยือกแข็ง วัดความแข็งที่แรงกดร้อยละ 70 ด้วยเครื่องวัดลักษณะเนื้อสัมผัส (TA-XT2) (A = อัลจิเนต, B = ก้าวก้ม, C = ไไฮเมทอกซิเพกทิน, D = ทรีชาโอลส์)



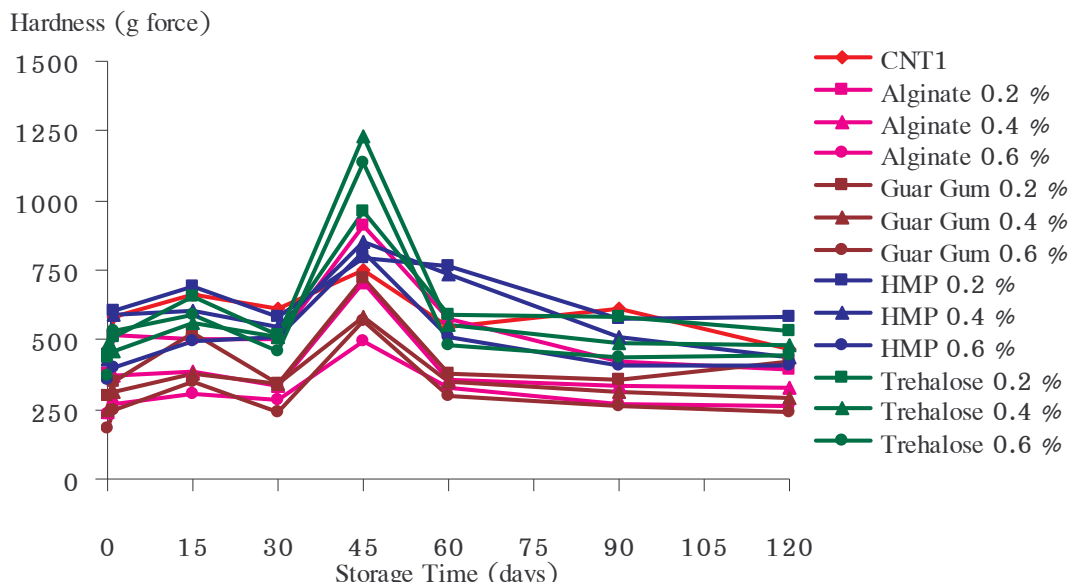
ภาพที่ 28 ผลของระยะเวลาการเก็บเจลสตาร์ชแซ่เยือกแข็งจากข้าว ทำการคืนรูปจากเยือกแข็ง วัดความแข็งที่แรงกดร้อยละ 70 ด้วยเครื่องวัดลักษณะเนื้อสัมผัส (TA-XT2)  
(CNT1= ข้าวนาท 1, HMP = ไชเมทอกซีเพกทิน)

จากภาพที่ 29 (A) (B) (C) (D) ผลของความเข้มข้นของสารเจือปนอาหารต่อเจลแซ่เยือกแข็ง ทำการคืนรูปจากเยือกแข็งและให้ความร้อนอีกครั้ง การวัดด้วยค่าแรงกดร้อยละ 70 จากปัจจัยในการศึกษา 3 ปัจจัย ได้แก่ ชนิดสารเจือปนอาหาร ปริมาณสารเจือปนอาหาร และระยะเวลาการเก็บ พนวณมีอิทธิพลร่วมกันของทั้งสามปัจจัย การเติมอัลจิเนตทุกระดับ (ร้อยละ 0.2 ถึง 0.6) ช่วยให้ค่าความแข็งของเจลสตาร์ชลดลงต่ำกว่าเจลสตาร์ชแซ่เยือกแข็งจากข้าวที่ไม่เติมอัลจิเนต ผลของระยะเวลาการเก็บเจลสตาร์ชทุกตัวอย่าง พนวณว่าระยะเวลาการเก็บนานขึ้นส่งผลให้ความแข็งเพิ่มขึ้น และลดลงต่างกัน โดยแตกต่างกันอย่างมีนัยสำคัญทางสถิติ ( $P \leq 0.05$ ) ผลของระยะเวลาการเก็บเจลสตาร์ชแซ่เยือกแข็งจากข้าวที่ไม่เติมและเติมอัลจิเนตร้อยละ 0.2 ถึง 0.6 จากการเก็บที่ 0 วัน ถึง 45 วัน มีความแข็งเพิ่มขึ้น แตกต่างกันอย่างมีนัยสำคัญทางสถิติ ( $P \leq 0.05$ ) และมีค่าความแข็งสูงสุด หลังจากนี้ค่าความแข็งมีแนวโน้มลดลง จนกระทั่งระยะเวลาการเก็บที่ 120 วัน แตกต่างกันอย่างไม่มีนัยสำคัญทางสถิติ ( $P > 0.05$ ) ทั้งนี้ค่าความแข็งของเจลสตาร์ชจากข้าวที่ไม่เติมและเติมอัลจิเนต ก้าวหน้าและไชเมทอกซีเพกทินทุกระดับ การเก็บแซ่เยือกแข็งที่ 0 วัน (เจลสด) และ 120 วัน พนวณค่าความแข็งแตกต่างกันอย่างไม่มีนัยสำคัญทางสถิติ ( $P > 0.05$ ) อาจเนื่องจากคุณสมบัติของอัลจิเนต ก้าวหน้าและไชเมทอกซีเพกทิน มีลักษณะเจล แบบ physical hydrogels คือโมเลกุลที่จับกันในโครงสร้างของเจล มีการจับกันอย่างไม่มีระเบียบ (molecular entanglements) ดังนั้นหลังการเกิด

อันตรกิริยาทันแอมิโลส เจลแบบนี้จะมีลักษณะผันกลับได้ (reversible) และสามารถถูกทำให้เกิดการแตก (disrupt) โดยอุณหภูมิ (Hoffman n.d)



**ภาพที่ 29** ผลของความเข้มข้นของสารเจือปนอาหารต่อเจลแข็ง เชิง ทำการคืนรูปจาก  
แข็งและให้ความร้อนอีกครั้ง วัดความแข็งที่แรงกดร้อยละ 70  
ด้วยเครื่องวัดลักษณะเนื้อสัมผัส (TA-XT2) (A = อัลจิเนต, B = ก้ากัม,  
C = ไสม์ทอกซีเพกทิน, D = ทรีชาโลส)



ภาพที่ 30 ผลของระยะเวลาการเก็บเจลสตาร์ชแซ่ร์เยื่อแก้ไขจากข้าว ทำการคืนรูปจากเยื่อแก้ไข ให้ความร้อนอีกรั้ง วัดความแข็งที่แรงครัวอยละ 70 ด้วยเครื่องวัดลักษณะ เนื้อสัมผัส (TA-XT2) (CNT1= ข้าวนาท1, HMP = ไอกเมทอกซีเพกทิน)

เมื่อพิจารณาผลการเติมทรีชาโลสทุกระดับ พบว่าเจลสมมิค่าความแข็งใกล้เคียงกัน และค่าความแข็งมีแนวโน้มเพิ่มขึ้น จนกระทั่งการเก็บที่ 45 วัน ให้ค่าความแข็งสูงสุด แตกต่างกันอย่างมีนัยสำคัญทางสถิติ ( $P \leq 0.05$ ) โดยเจลสมมิค่าความแข็งสูงกว่าเจลสตาร์ชที่เติมอลิจินต กวักัมและไอกเมทอกซีเพกทิน หลังจากนี้เจลที่เติมทรีชาโลสความแข็งมีแนวโน้มลดลง นอกจากนี้การเพิ่มปริมาณทรีชาโลสจากร้อยละ 0.2 ถึง 0.6 จะส่งผลให้เจลมีค่าความแข็งเพิ่มขึ้น แต่อย่างไรก็ตาม หลังจากการเก็บที่ 45 วัน ค่าความแข็งมีแนวโน้มลดลงจนกระทั่งถึง 120 วัน สำหรับการเทียบระหว่างเจลสดและเจลแซ่ร์เยื่อแก้ไขที่เก็บ 120 วัน พบว่าค่าความแข็งเพิ่มขึ้นมีค่าใกล้เคียงกัน แตกต่างกันอย่างไม่มีนัยสำคัญทางสถิติ ( $P > 0.05$ ) ยกเว้นเจลที่เติมกวักัม ไอกเมทอกซีเพกทิน ทรีชาโลส ร้อยละ 0.2 และเจลที่เติมอลิจินต์ร้อยละ 0.4 ที่มีค่าความแข็งเพิ่มขึ้น และแตกต่างกันอย่างมีนัยสำคัญทางสถิติ ( $P \leq 0.05$ ) และจากภาพที่ 30 จะเห็นว่าการเก็บที่ 45 วัน เป็นจุดวิกฤตของการแซ่ร์เยื่อแก้ไขเจลสตาร์ช

## 2.6 การวิเคราะห์ความสัมพันธ์ (Correlation Analysis)

จากผลการวิเคราะห์ความสัมพันธ์ระหว่างค่าความหนืดสูงสุด ค่าความหนืดสุดท้าย ค่าการคืนตัว ค่าความแข็ง อุณหภูมิเริ่มต้นการเกิดเจลาทีไนซ์ ( $T_o$ ) อุณหภูมิพิก (T<sub>p</sub>) อุณหภูมิก拉斯ท์ รานซิชันของการแข็งเยือกแข็ง ( $T_{gr}$ ) อุณหภูมิก拉斯ท์ รานซิชันของเจลแข็งเยือกแข็งและให้ความร้อน อิกครั้ง ( $T_u$ ) โดยใช้ Pearson correlation coefficients ดังในตารางที่ 21 จะเห็นว่าค่าความหนืดสูงสุด ค่าความหนืดสุดท้าย และค่าการคืนตัว มีความสัมพันธ์เชิงบวกอย่างยิ่ง ( $P \leq 0.001$ ) กับอุณหภูมิเริ่มต้นการเกิดเจลาทีไนเซชัน อุณหภูมิพิก อุณหภูมิก拉斯ท์ รานซิชันของการแข็งเยือกแข็ง อุณหภูมิก拉斯ท์ รานซิชันของเจลแข็งเยือกแข็งและให้ความร้อนอิกครั้ง ( $r=0.99$ ) โดยอุณหภูมิเริ่มต้นการเกิดเจลาทีไนซ์มีความสัมพันธ์เชิงบวกอย่างยิ่งกับอุณหภูมิพิก ( $r=0.99$ ) และอุณหภูมิก拉斯ท์ รานซิชันของการแข็งเยือกแข็ง ( $r=0.99$ ) อุณหภูมิก拉斯ท์ รานซิชันของเจลแข็งเยือกแข็งและให้ความร้อนอิกครั้ง ( $r=0.98$ ) จากผลของการทดสอบค่าความแข็งของเจลที่เดิมและไม่เดิมสารเจือปนอาหาร จะเห็นว่าเจลสดที่ใช้แรงกดร้อยละ 70 ของความหนาเจล มีความสัมพันธ์เชิงบวกอย่างยิ่ง ( $P \leq 0.001$ ) กับค่าความแข็งของเจลที่เก็บไว้นาน 30 และ 45 วัน ( $r=0.86$  และ  $r=0.66$  ตามลำดับ) นั่นคือการเก็บเจลที่อุณหภูมิ -18 องศาเซลเซียส ระยะเวลาการเก็บนานขึ้นจาก 1 ถึง 45 วัน ค่าความแข็งเพิ่มขึ้น

**ตารางที่ 21 การวิเคราะห์ความสัมพันธ์ระหว่างค่าความหนืดสูงสุด ค่าความหนืดสูดท้าย ค่าการคืนตัว ค่าความแข็ง อุณหภูมิเริ่มต้นการเกิดเจลาทีนช์ ( $T_o$ ) อุณหภูมิพีค ( $T_p$ ) อุณหภูมิกลางานชิ้นของการแข็งเยือกแข็ง ( $T_{gf}$ ) อุณหภูมิกลางานชิ้นของเจลแข็งเยือกแข็งและ ให้ความร้อนอีกครั้ง ( $T_g$ ) โดยใช้ Pearson correlation coefficients**

	PV (RVU)	FV (RVU)	Setback (RVU)	Hardness (fresh)	Hardness (fresh) 70	Hardness (30days)	Hardness (30days)	Hardness (45days)	Hardness (45days)	$T_o$ (°C)	$T_p$ (°C)	$T_{gf}$ (°C)	$T_g$ (°C)
PV (RVU)	1.00												
FV (RVU)	0.99***	1.00											
Setback (RVU)	0.99***	0.99***	1.00										
Hardness (fresh) 15 %	-0.18	-0.18	-0.19	1.00									
Hardness (fresh) 70 %	0.05	0.04	0.02	0.47**	1.00								
Hardness (30days) 15 %	0.05	0.04	0.03	0.48**	0.69***	1.00							
Hardness (30days) 70 %	0.31	0.30	0.28	0.38*	0.86***	0.75***	1.00						
Hardness (45days) 15 %	0.29	0.28	0.25	0.21	0.66***	0.60***	0.67***	1.00					
Hardness (45days) 70 %	0.07	-0.58***	-0.34*	0.09	0.65***	0.48**	0.59***	0.67***	1.00				
$T_o$ (°C)	0.99***	0.99***	0.99***	-0.21	0.05	0.07	0.34	0.32	0.05	1.00			
$T_p$ (°C)	0.99***	0.99***	0.99***	-0.21	0.05	0.07	0.34	0.32	0.07	0.99***	1.00		
$T_{gf}$ (freezing) (°C)	0.99***	0.99***	0.99***	-0.22	0.02	0.01	0.30	0.30	-0.04	0.99***	0.99***	1.00	
$T_g$ (reheating) (°C)	0.98***	0.98***	0.98***	-0.16	0.04	0.04	0.30	0.30	-0.11	0.98***	0.98***	0.98***	1.00

หมายเหตุ \* แสดงถึงความแตกต่างกันอย่างมีนัยสำคัญทางสถิติที่ระดับความเชื่อมั่นร้อยละ 95 ( $P \leq 0.05$ ), \*\* แสดงถึงความแตกต่างกันอย่างมีนัยสำคัญทางสถิติที่ระดับความเชื่อมั่นร้อยละ 99 ( $P \leq 0.01$ ) และ \*\*\* แสดงถึงความแตกต่างกันอย่างมีนัยสำคัญทางสถิติที่ระดับความเชื่อมั่นร้อยละ 99.99 ( $P \leq 0.001$ ) (PV=ค่าความหนืดสูงสุด, FV=ค่าความหนืดสูดท้าย

## สรุปและวิจารณ์ผลการทดลอง

สตาร์จากข้าวกลุ่มแอมิโลสสูงมีปริมาณโปรตีนและไขมันสูงกว่าสตาร์จากข้าวแอมิโลสต่ำและปริมาณแอมิโลส มีผลต่อคุณสมบัติการเกิดเจลาทีไนซ์และความหนืด โดยสตาร์จากข้าวแอมิโลสสูง ให้ความหนืดสูงสุดและค่าการแตกตัวต่ำสุด และมีความหนืดสูดท้ายและค่าการกึ่นตัวสูงสุด ซึ่งอุณหภูมิเริ่มต้นของการเกิดเจลาทีไนซ์ ไม่ได้ขึ้นกับปริมาณแอมิโลสเพียงอย่างเดียว แต่ต้องกับอุณหภูมิเริ่มต้นของการเกิดเจลาทีไนซ์ ( $T_g$ ) และอุณหภูมิพิก (T<sub>p</sub>) ของการทำให้เจล สตาร์ซึ่งมีผลต่ออุณหภูมิเริ่มต้นของการเกิดเจลาทีไนซ์ ( $T_g$ ) และอุณหภูมิพิก (T<sub>p</sub>) ของการทำให้เจล สูง ปริมาณน้ำในเจลจากข้าวต่างสายพันธุ์ ไม่มีผลต่อค่าอุณหภูมิกลางานซิชันของการแข็งเยือกแข็ง ( $T_{cf}$ ) ซึ่งค่า  $T_{cf}$  ประมาณ -47 องศาเซลเซียส แต่การเพิ่มปริมาณน้ำในเจลมีผลให้อุณหภูมิการเกิดผลึกน้ำแข็ง ( $T_{cc}$ ) เพิ่มขึ้น จากอุณหภูมิ -28.67 ไปที่ -17.09 องศาเซลเซียส การเพิ่มความร้อนให้กับเจลแข็งเยือกแข็ง ทำให้ค่าอุณหภูมิกลางานซิชัน ( $T_g$ ) อยู่ในช่วง  $T_g$  ช่วง -7.20 ถึง -8.09 อุณหภูมิการหลอมละลาย ( $T_m$ ) ช่วง 0.10 ถึง -0.57 องศาเซลเซียส และค่าอนหัสเป (ΔH) อยู่ในช่วง 67.25-124.91 จูลต่อกรัม ความนุ่มนวลหรือความแข็งของเจลที่ผิวน้ำ (ที่แรงกดร้อยละ 15 ของความหนาเจล) พบว่าเจลจากข้าวพันธุ์ที่มีปริมาณแอมิโลสต่ำ ไม่มีผลต่อค่าความแข็งที่ผิวน้ำ (ที่แรงกดร้อยละ 15 ของความหนาเจล) พบว่าเจลจากข้าวพันธุ์ที่มีปริมาณแอมิโลสต่ำ ไม่มีผลต่อค่าความแข็งที่ผิวน้ำของเจลต่อระยะเวลาการเก็บที่แข็งเยือกแข็งถึง 120 วัน แต่เจลจากข้าวกลุ่มแอมิโลสปานกลางและสูง จะมีผลต่อความนุ่มนวลที่ผิวน้ำต่างกันตามสายพันธุ์ โดยที่มีความแข็งที่สุดที่ระยะเวลาการเก็บแข็งเยือกแข็งเป็นเวลา 30 วัน หลังจากนี้เจลมีความแข็งลดลง แต่เมื่อนำเจลไปให้ความร้อนอีกครั้งจะพบว่าความแข็งของเจลภายในพันธุ์เดียว ระยะเวลาการเก็บไม่แตกต่างกันแต่จะแตกต่างกันจากเจลแต่ละสายพันธุ์ แต่ถ้าพิจารณาความแข็งของเนื้อเจล (แรงกดร้อยละ 70 ของความหนาเจล) พบว่ามีแนวโน้มการเปลี่ยนแปลงของความแข็งของเจลคล้ายกับแรงกดร้อยละ 15 ของความหนาเจล แต่ถ้าให้ความร้อนอีกครั้ง จะให้ค่าความแข็งที่แตกต่างจากความแข็งที่ผิว โดยความแข็งของเจลมีความแข็งสูงสุด เมื่อเก็บที่การแข็งเยือกแข็ง 15 วัน หลังจาก 15 วัน จนถึง 120 วัน ค่าความแข็งจะคงที่หรือลดลง ขึ้นอยู่กับพันธุ์ข้าวของกลุ่มแอมิโลสปานกลางและแอมิโลสสูง โดยที่ข้าวในกลุ่มแอลิสสูงมี 2 พันธุ์ คือ ชัยนาท 1 และเหลืองประทิว 123 มีความแข็งของเจลสูงสุดที่ 15 วันและไม่แตกต่างกับการเก็บที่ 120

เจลที่มีส่วนผสมของสารเจือปนอาหารชนิดต่าง ๆ คือ อัลจิเนต กัวกัม ไอกเมทอกซีเพกทิน และทรีชาโลส ที่ระดับร้อยละ 0.2 0.4 และ 0.6 มีคุณสมบัติความหนืดและการเกิดเจลาทีไนซ์ แตกต่างกัน การเติมอัลจิเนต ช่วยเพิ่มอุณหภูมิกลางานซิชันของการแข็งเยือกแข็งและอุณหภูมิการเกิดผลึกน้ำแข็งระหว่างการแข็งเยือกแข็งให้กับเจลและการเติมทรีชาโลสร้อยละ 0.6 ช่วยลดอุณหภูมิการหลอมละลายจากการเป็นน้ำแข็งของเจล ผลการเติมทรีชาโลสร้อยละ 0.2 ในเจลจะให้

ความคงทนต่อการคืนรูปจากเยือกแข็งมากที่สุด แต่อัลจินตและกาวก็จะให้เจลที่มีการเปลี่ยนแปลงหลังการคืนรูปจากเยือกแข็งน้อยที่สุด ส่วนระยะเวลาการเก็บเจลขณะแช่เยือกแข็งนั้น ทำให้ความแข็งของเจลทั้งที่เดิมและไม่เดิมสารเจือปนอาหาร มีความแข็งเพิ่มขึ้นสูงสุดที่ 45 ถึง 90 วัน ซึ่งเป็นช่วงจุดวิกฤติทางด้านคุณภาพความแข็งของเจลแช่เยือกแข็ง และความแข็งจะลดลงหลังการเก็บที่ 90 วัน ซึ่งเป็นการเปลี่ยนแปลงที่มีรูปแบบคล้ายกันของเจลที่เดิมสารเจือปนอาหารทั้ง 4 ชนิด

ในเจลจากข้าวสาลีพันธุ์ต่าง ๆ นั้น ปริมาณแอมิโลสและค่าคุณลักษณะทางเพสต์ (paste) ที่ได้จากการวัดด้วยเครื่องวัดความหนืดแป้ง มีความสัมพันธ์อย่างเชิงกับค่าเนื้อสัมผัส (ความแข็ง) ของเจลทั้งที่ผิวน้ำและเนื้อโดยรวมของเจลสด และเจลแช่เยือกแข็งที่ได้รับการให้ความร้อนอีกรังส์ ส่วนในเจลจากข้าวพันธุ์ขี้นทะ ที่เดิมสารเจือปนอาหารนั้น ค่าจากการวัดด้วยเครื่องวัดความหนืดแป้ง ไม่มีความสัมพันธ์กับลักษณะเนื้อสัมผัส (ความแข็ง) ของเจลสดและเจลแช่เยือกแข็งที่ให้ความร้อนอีกรังส์ อย่างไรก็ตามค่าจากเครื่องวัดความหนืดแป้งมีความสัมพันธ์เชิงบวกอย่างยิ่งกับค่าที่วัดได้จากเครื่อง DSC ( $T_p$ ,  $T_{g_f}$  และ  $T_g$ ) ยกเว้นค่า  $T_g$  ที่มีความสัมพันธ์เชิงลบกับค่าการคืนตัว และค่า  $T_g$  ยังมีความสัมพันธ์กับค่าความแข็งของเจลที่ใช้แรงกดร้อยละ 15 และ 70 ของความหนาเจล ทั้งของเจลสดและเจลแช่เยือกแข็งจากข้าว

## ข้อเสนอแนะสำหรับงานวิจัยในอนาคต

1. จากการศึกษาคุณสมบัติของเจลแช่เยือกแข็งจากข้าว มีความสำคัญและสัมพันธ์อย่างยิ่ง ต่อคุณภาพของหารแช่เยือกแข็งที่ใช้เป็นข้าวเป็นวัตถุคุนหลัก ซึ่งอาหารแช่เยือกแข็งนั้นต้องมีอายุการเก็บเกิน 3 เดือน จึงจะสามารถเป็นอาหารที่พัฒนาสู่อุตสาหกรรมและคุ้มค่าในการใช้ แต่จากการศึกษาของนักวิจัยอื่น ๆ นั้น ได้ศึกษาระยะเวลาการเก็บรักษาเจลแช่เยือกแข็งในระยะเวลาสั้นไม่เกิน 1 เดือน ดังนั้นการศึกษาในครั้งนี้ ทำให้ทราบความเปลี่ยนแปลงของคุณภาพในระยะการเก็บที่นานขึ้น และพบว่าผลการวิจัยนี้ได้ให้ผลที่มีการเปลี่ยนแปลงที่จะต้องศึกษาติดตามต่อไปว่า เมื่อเก็บนานเกินกว่า 90 วันนั้น มีสภาวะใดๆ มาจากอะไร โดยอาจจะต้องศึกษาถึงการเปลี่ยนแปลงในระดับโมเลกุล เช่น ความขาวของสายโมเลกุลของแอมิโนໂโลสและแอมิโนໂโลเพกทิน ปริมาณการเพิ่มหรือลดของน้ำตาลโมเลกุลเด็ก และอื่น ๆ เป็นต้น

2. จากการศึกษาการเติมสารเจือปนอาหารชนิดต่าง ๆ ที่ระดับต่างกันในข้าวพันธุ์ชั้นราษฎร์ 1 นั้น ทำให้คุณสมบัติทางด้านเนื้อสัมผัส (ความแข็ง) ที่ผิวน้ำและในเนื้อเจลต่างกัน ความคงตัวต่อการคืนรูปจากเยือกแข็งและระยะเวลาการเก็บขนมจะเปลี่ยนไปตามความแข็งที่ใช้สารเจือปนอาหารต่างกัน มีลักษณะที่แตกต่างกัน ซึ่งความแตกต่างกันนี้ไม่สามารถบอกได้ว่าการเติมสารเจือปนอาหารชนิดไหนให้คุณภาพเจลดีกว่ากัน แต่ข้อมูลที่ได้นี้น่าจะมีการนำไปศึกษาต่อจนถึงผลิตภัณฑ์สุดท้ายคือ ชนิดอาหารแช่เยือกแข็ง ประเภทหรือรูปแบบไหนเฉพาะเจาะจง เพื่อให้ทราบสารเจือปนอาหารที่เหมาะสมกับผลิตภัณฑ์แช่เยือกแข็งนั้น ๆ ต่อไป

3. จากการศึกษาในครั้งนี้ถึงค่ากลาสทรานซิชันและค่าอื่น ๆ ที่เกี่ยวข้องกับการคืนรูปจากเยือกแข็งของเจลแช่เยือกแข็งนั้น ทำให้ทราบเพียงข้อมูลทดสอบจากเจลข้าวเท่านั้น ดังนั้นมีการทำผลิตภัณฑ์อาหารแช่เยือกแข็งที่ต้องการแล้ว ก็ควรมีการทดสอบกลับถึงค่าเหล่านี้ในผลิตภัณฑ์อาหารอีกครั้ง เพื่อเพิ่มความมั่นใจต่อความคงตัวของผลิตภัณฑ์อาหารแช่เยือกแข็งจากเจลข้าวเหล่านี้ยิ่งขึ้น

## Output จากโครงการวิจัยที่ได้รับทุนจาก สกอ.

ประโยชน์ที่คาดว่าจะได้รับมีดังนี้คือ

### 1. ผลประโยชน์ในเชิงงานวิจัย

- ได้ข้อมูลที่ใช้เป็นพื้นฐานการวิจัยและพัฒนาผลิตภัณฑ้อาหารแข็งที่ทำมาจากข้าว เช่น
- จะทราบถึงผลกระทบของการแข็งแข็งต่อคุณสมบัติของสารอาหารและเจลจากข้าวชนิดต่างๆ
  - ทราบถึงการเปลี่ยนแปลงคุณสมบัติทางความร้อน(Thermal properties) ทางกายภาพ เช่น เนื้อสัมผัส และคุณสมบัติทางเคมี เช่น ปฏิกิริยา Oxidation เพื่อใช้ประเมินค่าความคงตัว และพฤติกรรมของอาหารแข็ง
  - ทราบถึงแนวโน้มของวิธีการปรับปรุงคุณภาพอาหารแข็งแข็งประเภทผลิตภัณฑ์ข้าวโดยการเลือกเติมวัตถุเจือปนอาหารที่เหมาะสม

### 2. ผลประโยชน์ในเชิงวิชาการและการเรียนการสอน

- สามารถบริการและถ่ายทอดผลการวิจัยให้แก่ผู้ผลิตในห้องคิ่นและระดับประเทศซึ่งอาจนำไปสู่การพัฒนาการผลิตในเชิงพาณิชย์ต่อไป
- ทำให้มีประสบการณ์ในการทำการวิจัย ในห้องปฏิบัติการด้านเคมีอาหารเพิ่มขึ้น ซึ่งสามารถนำมาใช้ประโยชน์ในด้านการเรียนและการสอนแก่นักศึกษาทั้งระดับปริญญาตรี โทและเอก

### 3. ผลประโยชน์ด้านชื่อเสียง

- จะทำให้ผู้ดำเนินการวิจัยและผู้เกี่ยวข้องเป็นที่รู้จักและเพิ่มความสัมพันธ์ด้านวิชาการระหว่างมหาวิทยาลัยทั้งภายในและต่างประเทศที่มีการเรียน การสอนและการวิจัยด้านวิทยาศาสตร์การอาหาร
- ผู้สนับสนุนโครงการ (สกอ) มหาวิทยาลัยขอนแก่นและผู้ร่วมโครงการ จะได้ชื่อเสียงในการตีพิมพ์ผลงานวิจัยที่เป็นที่ยอมรับในวารสารต่างประเทศ โดยคาดว่าเมื่อเสร็จสิ้นโครงการจะมีผลงานตีพิมพ์ทั้งสิ้นไม่น้อยกว่า 2 เรื่อง โดยมีผลงานวิจัยในปีที่ 1 คือ Frozen storage and freeze-thaw stability of rice starch gels และผลงานวิจัยในปีที่ 2 คือ Effects of additives on frozen stability of rice starch gels ซึ่งคาดว่าจะตีพิมพ์ในวารสาร Food Chemistry หรือ Cereal Chemistry ของประเทศไทย

## เอกสารอ้างอิง

- อรอนงค์ นัยวิคุล และ Elliott, B. 2544. การสัมมนา เรื่อง การตรวจสอบคุณสมบัติทางเคมีเชิง พลิกส์ (ความหนืด) ของข้าวคั่ยเครื่องวิเคราะห์ความหนืดอย่างรวดเร็ว (Rapid Visco Analyzer, RVA) วันที่ 13 กรกฎาคม 2544. บริษัท jaripha เทคโนโลจี จำกัด, กรุงเทพฯ. 59 น.
- American Association of Cereal Chemists. 1995. Approved Methods of the AACC. 9 th ed. Method 44-19, 46-13, 30-25, 08-01, 61-02. The Association:St. Paul, Minnesota.
- American Association of Cereal Chemists. 2003. Method 61-03 Amylose content of milled rice. Available from: [www.aaccnettest.org/ApprovedMethods/methods/61-03.pdf](http://www.aaccnettest.org/ApprovedMethods/methods/61-03.pdf). Accessed from October 17, 2003
- Bejosano FP, Corke H. 1999. Effect of Amaranthus and buckwheat proteins on the rheological properties of maize starch. Food Chem 65(4): 493-501.
- Biliaderis CG, Swan R, Arvanitoyannis I. 1999. Physicochemical properties of commercial starch hydrolyzate in the frozen state. Food Chem 64: 537-546.
- Chang S-M, Liu L-C. 1991. Retrogradation of rice starches studied by differential scanning calorimetry and influence of sugars, NaCl and lipids. J Food Sci 56(2): 564-
- Chien JT, Lien Y-Y, Shoemaker CF. 1999. Effect of polarity of complexing agents on thermal and rheological properties of rice starch gels. Cereal Chem 76(6): 837-842.
- Chung H-J, Lee E-J, Lim S-T. 2002. Comparison in glass transition and enthalpy relaxation between native and gelatinized rice starches. Carbohydrate Polymers, 48(3): 287-298.
- Draget KI. 2000. Alginates. In: Phillips GO, Williams PA, editors. Handbooks of hydrocolloids. Cambridge: Woodhead Publishing Limited. p 379-395.
- Ferrero C, Martino M, Zaritzky NE. 1996. Effect of hydrocolloids on starch thermal transitions as measured by DSC. Journal of Thermal Analysis and Calorimetry. 47(5): 1247-1266.

- Fennema OR. 1996. Water and Ice. In: Fennema OR, editor. Food Chemistry. 3rd ed. New York: Marcel Dekker, Inc. p 17- 94.
- Hagenimana A, Pu P, Ding X. 2005. Study on thermal and rheological properties of native rice starches and their corresponding mixtures. *Food Res Int* 38(3): 257-266.
- Hoffman AS. n.d. Hydrogels for biomedical applications. *Annals New York Academy of Science*: 62-73.
- Hsu C-L, Heldman DR. 2005. Influence of glass transition temperature on rate of rice starch retrogradation during low-temperature storage. *J Food Process Eng* 28(5): 506-525.
- Huang R-M, Chang W-H, Chang Y-H, Lii C-Y. 1994. Phase transition of rice starch and flour gels. *Cereal Chem* 71(2): 202-207.
- Iturriaga L, Lopez B, Anon M. 2004. Thermal and physicochemical characterization of seven argentine rice flours and starches. *Food Res Int* 37(5): 439-447.
- Jane J-L, Chen J-F. 1992. Effect of amylose molecular size and amylopectin branch chain length on paste properties of starch. *Cereal Chem* 69(1): 60-65.
- Jane J, Chen, YY, Lee LF, McPherson AE, Wong KS, Radosavljevic M, Kasemsuwan T. 1999. Effects of amylopectin branch chain length and amylose content on the gelatinization and pasting properties of starch. *Cereal Chem* 76(5): 629-637.
- Jeong H-Y, Lim, S-T. 2003. Crystallinity and pasting properties of freeze-thawed high amylose maize starch. *Starch* 55(11): 511-517.
- Juliano BO. 1985. Rice: chemistry and technology. St. Paul, Minnesota: American Association of Cereal Chemists. 774 p.
- Lai H-M. 2002. Effects of rice properties and emulsifiers on the quality of rice pasta. *J Sci Food Agric* 82(2): 203-216.
- Lee MH, Baek MH, Cha DS, Park HJ, Lim ST. 2002. Freeze-thaw Stabilization of sweet potato starch gel by polysaccharide gums. *Food Hydrocolloids* 16(4): 345-352.
- Limpisut P, Jindal VK. 2002. Comparison of rice flour pasting properties using brabender viscoamylograph and rapid visco analyzer for evaluating cooked rice texture. *Starch* 54 (8): 350-357.
- Mandala IG, Palogou ED, Kostaropoulos AE. 2002. Influence of preparation and storage conditions on texture of xanthan-starch mixtures. *J Food Eng* 53(1):27-38.

- Miles MJ, Morris VJ, Orford PD, Ring SG. 1985. The roles of amylose and amylopectin in the gelation and retrogradation of starch. *Carbohydrate Research* 135(2): 271-281.
- Morrison WR. 1995. Starch lipids and how they relate to starch granule structure and functionality. *Cereal Foods World* 40(6): 437-438, 440-441, 443-446.
- Noda T, Nishiba Y, Sato T, Suda I. 2003. Properties of starches from several low-amylose rice cultivars. *Cereal Chem* 80(2): 193-197.
- Ong MH, Blanshard JMV. 1995. Texture determinants in cooked, parboiled rice, I: Rice starch amylose and the fine structure of amylopectin. *J Cereal Sci* 21(3): 251-260.
- Perera C, Hoover R. 1999. Influence of hydroxypropylation on retrogradation properties of native, defatted and heat-moisture treated potato starches. *Food Chem* 64(3): 361-375.
- Puchongkavarin H, Varavinit S, Bergthaller W. 2003. Comparative study of pilot scale rice starch production in an alkaline and an enzymatic process. Biothailand Technology for Life 2003, 17-20 July , Pattaya, Thailand
- Radhika Reddy K, Zakiuddin Ali S, Bhattacharya KR. 1993. The fine structure of rice starch amylopectin and its relation to the texture of cooked rice. *Carbohydrate Polymers* 22(4): 267-275.
- Shafiur Rahman M. 1999. *Handbook of Food Preservation*. New York: Marcel Dekker, Inc. 809 p.
- Saif SMH, Lan Y, Sweat VE. 2003. Gelatinization Properties of Rice Flour. *Int J Food Prop* 6(3): 531-542.
- Schiradi C, Lernia ID, Rosa MD. 2002. Trehalose production: exploiting novel approaches. *Trends in Biotechnology* 20(10): 420-425.
- Sharma SC. 1981. Gums and hydrocolloids in oil-water emulsions. *Food Technology* 34(1): 59-67.
- Singh K J, Roos YH. 2005. Frozen state transition of sucrose-protein-cornstarch mixtures. *J Food Sci* 70(3): E198-E204.
- Singh N, Singh J, Kaur L, Sodhi NS, Gill BS. 2003. Review: morphological, thermal and rheological properties of starches from different botanical sources. *Food Chem* 80(2): 219-231.

- Singh N, Singh J, Kaur L, Sodhi NS, Saxena SK. 2003. Physicochemical, morphology, thermal, cooking and textural properties of chalky and translucent rice kernels. *Food Chem* 82(3): 433-439.
- Singh N, Singh J, Kaur L, Sodhi NS, Sekhon KS. 2005. Physicochemical cooking and textural properties of milled rice from different Indian rice cultivars. *Food Chem* 89(2): 253-259.
- Singh N, Kaur L, Sandhu KS, Kaur J, Nishinari K. 2006. Relationships between physicochemical, morphological, thermal, rheological properties of rice starches. *Food Hydrocolloids* 20(6): 532-42.
- Slade L, Levine H. 1993. Water relationship in starch transitions. *Carbohydrate Polymer* 21(2-3): 105-131.
- Sodhi NS, Singh N. 2003. Morphological, thermal and rheological properties of starches separated from rice cultivars grown in India. *Food Chem* 80(1): 99-108.
- Sudhakar V, Singhal RS, Kulkarni PR. 1996. Starch-galactomannan interaction: functionality and rheological aspects. *Food Chem* 55(3): 259-264.
- Tester RF, Karkalas J. 2001. The effects of environmental conditions on the structural features and physico-chemical properties of starches. *Starch* 53(10): 513-519.
- Tomasik P. 2002. Saccharides. In: Sikorski ZE, editor. *Chemical and functional properties of food components*. 2nd ed. Florida: CRC Press. p 81-114.
- Vandeputte GE, Vermeylen R, Geeroms J, Delcour JA. 2003. Rice starches. I. Structural aspects provide insight into crystallinity characteristics and gelatinization behaviour of granular starch. *J Cereal Sci* 38(1): 43-52.
- Vandeputte GE, Vermeylen R, Geeroms J, Delcour JA. 2003. Rice starches. III. Structural aspects provide insight in amylopectin retrogradation properties and gel texture. *J Cereal Sci* 38(1): 61-68.
- Varavinit S, Shobsngob S, Varanyanond W, Chinachoti P, Naivikul O. 2002. Freezing and thawing conditions affect the gel stability of different varieties of rice flour. *Starch* 54(1): 31-36.

- Varavinit S, Shobsngob S, Varanyanond W, Chinachoti P, Naivikul O. 2003. Effect of amylose content on gelatinization retrogradation and pasting properties of flours from different cultivars of Thai rice. *Starch* 55(9): 410-415.
- Wang Y-J, Jane J. 1994. Correlation between glass transition temperature and starch retrogradation in the presence of sugars and maltodextrin. *Cereal Chem* 71(6): 527-531.
- Welti-Chanes J, Bermudez D, Valdez-Fragoso A, Mujica-Paz H, Alzamora S M. 2004. Principles of freeze-concentration and freeze-drying . In: Hui YH, Cornillon P, Legarella IG, Lim MH, Murrell KD, Nip W-K, editors. *Handbook of Frozen Foods*. New York: Marcel Dekker, Inc. p 13-24.
- Wielinga WC. 2000. Galactomannans. In: Phillips GO, Williams PA, editors. *Handbooks of hydrocolloids*. Cambridge: Woodhead Publishing Limited. p 137-154.
- Williams PA, Phillips GO. 2000. Introduction to food hydrocolloids. In: Phillips GO, Williams PA, editors. *Handbooks of hydrocolloids*. Cambridge: Woodhead Publishing Limited. p 1-19.
- Yoenyongbuddhagal S and Noomhorm A. 2002. Effect of physicochemical properties of high-amylose Thai rice flours on vermicelli quality. *Cereal Chem* 79(4): 481-485.
- Zheng GH, Sosulski FW. 1998. Determination of water separation from cooked starch and flour pastes after refrigeration and freeze-thaw. *J Food Sci* 63(1): 134-139.

# ភាគីនៃក្រសួង



ภาคนวก ก

การวิเคราะห์ทางเคมี

## 1. การวิเคราะห์ปริมาณความชื้น (AACC 1995 method 44-19)

### 1.1 อุปกรณ์

- 1.1.1 ตู้อบลมร้อน (Forced-draft Hot air oven)
- 1.1.2 เครื่องซึ่งที่ซึ่งละเอียดถึง 0.0001 กรัม
- 1.1.3 โถดูดความชื้น (desiccator)
- 1.1.4 ถ้วยอะลูมิเนียมที่มีฝาปิด ขนาดเส้นผ่านศูนย์กลาง 55 มิลลิเมตร

### 1.2 วิธีวิเคราะห์

ซึ่งตัวอย่างสตราช้ำหนักประมาณ 2 กรัม ( $\pm 1$  มิลลิกรัม) ใส่ลงในถ้วยอะลูมิเนียมที่มีฝาปิด ขนาดเส้นผ่านศูนย์กลาง 55 มิลลิเมตร นำเข้าอบในตู้อบลมร้อน (forced-draft Hot air oven) อุณหภูมิ  $135^{\circ}\text{C}$  ( $\pm 2^{\circ}\text{C}$ ) เวลา 2 ชั่วโมง ทำให้เย็นในโถดูดความชื้น นาน 30-45 นาที นำไปซึ่งน้ำหนักและคำนวณร้อยละปริมาณความชื้นดังนี้

$$\text{ร้อยละของความชื้น} = \frac{\text{น้ำหนักเริ่มต้น} - \text{น้ำหนักหลังอบ}}{\text{น้ำหนักเริ่มต้น}} \times 100$$

## 2 การวิเคราะห์ปริมาณโปรตีน โดยเครื่อง Kjeltec 1 (AACC 1995 method 08-01)

### 2.1 อุปกรณ์

- 2.1.1 เครื่องกลั่นรุ่น 1002
- 2.1.2 เครื่องย่อยรุ่น 1007 พร้อมอุปกรณ์ย่อย (digestor) และหลอดย่อย(digestion tube)
- 2.1.3 Exhaust Manifold และ aspirator
- 2.1.4 Tube stand
- 2.1.5 ขวดปริมาตรรูปชมพู่ขนาด 250 มิลลิลิตร

### 2.2 สารเคมีที่ใช้

- 2.2.1 กรดซัลฟูริกเข้มข้น
- 2.2.2 Kjeltabs 1 เม็ด ประกอบด้วยโพแทสเซียมซัลเฟต 3.5 กรัม และซีเรเนียม 3.5 กรัม

2.2.3 สารละลายโซเดียมไฮดรอกไซด์ผสมกับโซเดียมไทโอลอชลเฟตเข้มข้นร้อยละ 55 เตรียมโดยซึ่งโซเดียมไฮดรอกไซด์ 50 กรัม และโซเดียมไฮโอลอชลเฟต 5 กรัม ในน้ำกลั่นปริมาตร 100 มิลลิลิตร

2.2.4 สารละลายกรดบอริกเข้มข้นร้อยละ 4 เตรียมโดยซึ่งกรดบอริก 40 กรัม ละลายในน้ำกลั่น เติมอินดิเคเตอร์ Bromogresol Green/methyl red (ในข้อ 2.2.5) ในสารละลายกรดบอริก ปรับสีของกรดบอริกให้ออกเป็นสีม่วงแดง และปรับปริมาตรให้เป็น 1000 มิลลิลิตร

2.2.5 สารละลายอินดิเคเตอร์ เตรียมโดยซึ่ง bromocresol green 0.2 กรัม ละลายในเอทานอล 100 มิลลิลิตร และซึ่ง methyl red 0.2 กรัม ละลายในเอทานอล 100 มิลลิลิตร และนำสารละลายทั้งสองชนิดมาผสมรวมกันในสัดส่วนสารละลาย bromocresol green จำนวน 5 ส่วน ผสมรวมกับสารละลาย methyl red จำนวน 1 ส่วน ผสมให้เข้ากันแล้ว เทใส่ขวดสีชาที่มีฝาปิด

2.2.6 สารละลามาตราฐานกรดเกลือ 0.02 โมลาร์ เตรียมโดยดูดสารละลายกรดเกลือเข้มข้น จำนวน 1.7 มิลลิลิตร ละลายในน้ำกลั่น จำนวน 1000 มิลลิลิตร ซึ่งสารโซเดียมคาร์บอนเนตที่ผ่านการอบที่อุณหภูมิ 200 องศาเซลเซียส นาน 2 ชั่วโมง จำนวน 0.013 กรัม (ทราบน้ำหนักที่แน่นอน) ละลายในน้ำกลั่น หยดสารละลายอินดิเคเตอร์ในข้อ 2.2.5 จำนวน 5 หยด ใต้เตรทกับสารละลายกรดเกลือที่เตรียมไว้ จนกระทั่งจุดยุติ สารละลายจะเปลี่ยนเป็นสีชมพู คำนวณความเข้มข้นที่แท้จริงของสารละลามาตราฐานกรดเกลือ ดังนี้

$$\frac{2000 \times \text{น้ำหนักของโซเดียมคาร์บอนเนต}}{\text{ความเข้มข้นของกรดเกลือ (โมลต่อลิตร) เท่ากับ}} = \frac{\text{น้ำหนักโมเลกุลของโซเดียมคาร์บอนเนต}}{}$$

### 2.3 วิธีวิเคราะห์

ซึ่งตัวอย่างประมาณ 0.5 กรัม (ทราบน้ำหนักแน่นอน) ใส่ลงในหลอดย่อย เติม Kjeltabs1 เม็ด เติมสารป้องกันการเกิดฟอง (antifoaming agent) ประมาณ 1 มิลลิลิตร และกรดซัลฟูริกเข้มข้น ประมาณ 8-10 มิลลิลิตร เขย่าเบา ๆ เติมลูกแก้วกันเดือด นำหลอดต่อเข้ากับชุดเครื่องย่อย ทำการย่อยที่อุณหภูมิ 420 ° ช. เวลา 1 ชั่วโมงหรือจนได้สารละลายสีใส ทิ้งหลอดไว้ให้เย็น แล้วค่อย ๆ เติมน้ำกลั่น 36 มิลลิลิตร หรือ 2 เท่าของกรดซัลฟูริกเข้มข้น นำหลอดตัวอย่าง 1 หลอด ต่อเข้ากับชุดกลั่น และเติมสารละลายโซเดียมไฮดรอกไซด์ผสมกับโซเดียมไฮโอลอชลเฟตเข้มข้นร้อยละ 55 ปริมาตร 25 มิลลิลิตร โดยนำฟลาร์สติ๊กบรรจุสารละลายกรดบอริกเข้มข้นร้อยละ 4 ปริมาตร 25 มิลลิลิตร ไปรองรับสารที่กลั่นได้ โดยให้ปลายแห่งแก้วของชุดกลั่นจุ่มอยู่ใต้สารละลาย ทำการกลั่นเป็นเวลา 4 นาที หรือสารที่กลั่นได้ปริมาตรประมาณ 150 มิลลิลิตร นำสารที่กลั่นได้นี้ไปใต้เตรทกับสารละลามาตราฐาน 0.02 นอร์มอล จนกระทั่งได้สารละลายสีเทา (ถึงจุดยุติ) คำนวณตามสูตรดังนี้

$$\text{ร้อยละปริมาณในตอรเจน} = \frac{1.401 \times (V_1 - V_2) \times C}{\text{น้ำหนักตัวอย่างเป็นกรัม}}$$

$V_1$  = ปริมาณกรดเกลือมาตรฐานที่ใช้ต่ำกับตัวอย่าง

$V_2$  = ปริมาณกรดเกลือมาตรฐานที่ใช้ต่ำ กับ blank

C = ความเข้มข้นของกรดเกลือมาตรฐานหน่วยเป็นโมลาร์ หรือ นอร์มัล

$$\text{ร้อยละปริมาณโปรดตีน} = \text{ร้อยละปริมาณในตอรเจน} \times 5.95$$

หมายเหตุ ให้ทำ blank ควบคู่ไปด้วยโดยไม่มีตัวอย่างในหลอดย่อยและหลอดกลั่น

### 3. การวิเคราะห์ปริมาณไขมัน โดยเครื่อง Soxtec system HT6 (AACC 1995 Method 30-25)

#### 3.1 สารเคมีที่ใช้ ปิโตรเลียม อีเทอร์ จุดเดือด $35-60^{\circ}\text{C}$

#### 3.2 วิธีวิเคราะห์ปริมาณไขมัน ซึ่งมีขั้นตอนดังนี้

ชั่งตัวอย่างจำนวน 3 กรัม ( $\pm 0.1$  มิลลิกรัม) นำเข้าเครื่องสกัดที่มีถ้วยอะลูมิเนียม รองรับน้ำมัน สกัดด้วยปิโตรเลียมอีเทอร์ ปริมาตร  $40-50$  มิลลิลิตร เวลาในการสกัดคือ ระยะเวลาการต้ม (boiling)  $35$  นาที ระยะเวลาการชะล้าง  $60$  นาที หลังจากนี้ให้น้ำถ้วยอะลูมิเนียมที่มีไขมันไปอบไอล์ความชื้นที่อุณหภูมิ  $100^{\circ}\text{C}$  เวลา  $30$  นาที ทำให้เย็นในโคลูดความชื้น นาน  $30$  นาที และชั่งน้ำหนักที่แน่นอน จากนั้นนำมาคำนวณหาปริมาณไขมัน

$$\text{ปริมาณไขมัน} = \frac{W_3 - W_2}{W_1} \times 100$$

$W_1$  = น้ำหนักตัวอย่าง เป็น กรัม

$W_2$  = น้ำหนักถ้วยสกัดที่สะอาดผ่านการอบและทราบน้ำหนักที่แน่นอน เป็น กรัม

$W_3$  = น้ำหนักถ้วยหลังจากสกัดไขมันและทำให้เย็นในโคลูดความชื้น เป็น กรัม

#### 4. การวิเคราะห์ปริมาณเก้า (AACC 1995 Method 08-01)

##### 4.1 อุปกรณ์

- 1.1.1 เตาเผา (Electric muffle furnace)
- 1.1.2 เครื่องชั่ง ที่ซึ้งละเอียดถึง 0.0001 กรัม
- 1.1.3 โถดูดความชื้น (desiccator)
- 1.1.4 ถ้วยสำหรับหาเก้า (crucible)

##### 4.2 วิธีวิเคราะห์

ชั่งตัวอย่างสตาร์ชนำหนักประมาณ 3-5 กรัม ( $\pm 1$  มิลลิกรัม) ทราบนำหนักที่แน่นอน ลงในถ้วยสำหรับหาเก้า (crucible) นำตัวอย่างไปเผาในเตาเผาที่อุณหภูมิ  $550^{\circ}\text{C}$  เพาตัวอย่างจนกระทั่งเป็นสีเทาหรือจนกว่านำหนักจะคงที่ ทำให้เย็นในโถดูดความชื้น นำไป秤ชั่งนำหนักและคำนวณร้อยละปริมาณเก้าดังนี้

$$\text{ร้อยละของเก้า} = \frac{\text{นำหนักเริ่มต้น} - \text{นำหนักหลังเผา}}{\text{นำหนักเริ่มต้น}} \times 100$$

#### 5. การวิเคราะห์ปริมาณแอมิโลส (AACC 1999 Method 61-03)

##### 5.1 การเตรียมตัวอย่างสตาร์ชจากข้าว

เตรียมโดยชั่งตัวอย่างสตาร์ช ประมาณ 2 กรัม สกัดแยกไขมัน โดยเครื่องสกัดไขมันด้วยสารละลายน้ำมันดิน (methanol) 85 % นาน 16 ชั่วโมง เกลี่ยสตาร์ชให้บาง ๆ วางไว้ที่ในตู้ดูดความชื้นเพื่อระเหยเมทานอล นาน 2 วัน

##### 5.2 เครื่องมือ

- 5.2.1 สเปคโตฟ็อตومิเตอร์ (spectrophotometer)
- 5.2.2 เครื่องชั่ง ที่ซึ้งให้ละเอียดถึง 0.0001 กรัม
- 5.2.3 อ่างน้ำควบคุมอุณหภูมิ (water bath)

##### 5.3 สารเคมีที่ใช้

5.3.1 แอมิโลส (amylose) เตรียมโดยนำแอมิโลสสกัดแยกไขมัน โดยเครื่องสกัดไขมันด้วยสารละลายน้ำมันดิน (methanol) 85 % นาน 16 ชั่วโมง เกลี่ยแอมิโลสให้บาง ๆ วางไว้ที่ในตู้ดูดความชื้นเพื่อระเหยเมทานอล นาน 2 วัน

### 5.3.2 แอมิโลเพกติน (amylopectin)

5.3.3 เมทานอล (methanol) 85 % ปริมาตรต่อปริมาตร เตรียมโดยดูดสารละลายน้ำ จำนวน 85 มิลลิลิตร ใส่ในน้ำกลั่นจำนวน 15 มิลลิลิตร

5.3.4 เอทิลแอลกอฮอล์ 95 % เตรียมโดยดูดสารละลายน้ำ จำนวน 100 มิลลิลิตร (Absolute ethyl alcohol) จำนวน 95 มิลลิลิตร ปรับปริมาตรด้วยน้ำกลั่น จำนวน 100 มิลลิลิตร

5.3.5 สารละลายน้ำโซเดียมไฮดรอกไซด์ (NaOH) เช้มขัน 1 นอร์มัล เตรียมโดยซึ่งโซเดียมไฮดรอกไซด์ จำนวน 40 กรัม ปรับปริมาตรด้วยน้ำกลั่น จำนวน 1000 มิลลิลิตร

5.3.6 สารละลายน้ำโซเดียมไฮดรอกไซด์ (NaOH) เช้มขัน 0.09 นอร์มัล เตรียมโดยซึ่งโซเดียมไฮดรอกไซด์ จำนวน 3.6 กรัม ปรับปริมาตรด้วยน้ำกลั่น จำนวน 1000 มิลลิลิตร

5.3.7 กรดเกลเชียลอะซิติก (glacial acetic acid; CH<sub>3</sub>COOH, MW 60.05 g/mol) เช้มขัน 1 นอร์มัล เตรียมโดยดูดกรดเกลเชียลอะซิติก ปริมาตร 58 มิลลิลิตร ปรับปริมาตรด้วยน้ำกลั่น จำนวน 1000 มิลลิลิตร

5.3.8 สารละลายผสมของไอโอดีน (I<sub>2</sub>) ร้อยละ 0.2 และ โปแตสเซียมไอโอดไรด์ (KI) ร้อยละ 2.0 เตรียมโดยซึ่งโปแตสเซียมไอโอดไรด์ จำนวน 2 กรัม ละลายในน้ำกลั่นเล็กน้อย เช่น ให้เข้ากัน จึงเติมไอโอดีน จำนวน 0.2 กรัม ปรับปริมาตรด้วยน้ำกลั่น จำนวน 100 มิลลิลิตร

## 5.3 วิธีวิเคราะห์

5.3.1 ชั่งตัวอย่างสตาร์ชที่เตรียมไว้ จำนวน 100 มิลลิกรัม ใส่ในขวดไว้แล้ว ที่มีฝาปิด ขนาด 100 มิลลิลิตร

5.3.2 เติมสารละลายน้ำ 95 % ปริมาตร 1 มิลลิลิตร

5.3.3 เติมสารละลายน้ำโซเดียมไฮดรอกไซด์ 1 นอร์มัล ปริมาตร 9 มิลลิลิตร

5.3.4 วางขวดตัวอย่างสตาร์ช ที่อุณหภูมิห้อง นาน 10 นาที แล้วนำไปต้มในอ่างควบคุมอุณหภูมิ ที่อุณหภูมิ 95 องศาเซลเซียส นาน 10 นาที และวางให้เย็นที่อุณหภูมิห้อง นาน 2 ชั่วโมง หรือสามารถเก็บข้ามคืน

5.3.5 นำตัวอย่างสตาร์ชในข้อ 5.3.4 ใส่ในขวดแก้วปริมาตร (volumetric flask) ขนาด 100 มิลลิลิตร ปรับปริมาตรด้วยน้ำกลั่นเป็น 100 มิลลิลิตร

5.3.6 ดูดสารตัวอย่างสตาร์ชในข้อ 5.3.5 ปริมาตร 5 มิลลิลิตร ใส่ในขวดแก้วปริมาตร ขนาด 100 มิลลิลิตร เติมน้ำกลั่น ปริมาตร 50 มิลลิลิตร และสารละลายน้ำ ไอโอดีนในข้อ 5.2.8 ปริมาตร 2 มิลลิลิตร ปรับปริมาตรด้วยน้ำกลั่นเป็น 100 มิลลิลิตร เช่น ให้เข้ากัน แล้วตั้งทิ่งไว้ 20 นาที ก่อนนำไปวัดค่าการดูดกลืนคลื่นแสง

5.3.7 วัดความเข้มของสีของสารละลายตัวอย่างในข้อ 5.3.6 ด้วยเครื่องสเปคโตรโพโตมิเตอร์ โดยอ่านค่าการดูดกลืนคลื่นแสง (absorbance) ที่ความยาวคลื่นแสง 620 นาโนมิเมตร (nm.) หลังปรับเครื่องด้วยแบงล์ (blank) ให้ได้ค่าการดูดกลืนคลื่นแสง เท่ากับ 0 (ศูนย์)

5.3.8 การทำแบงล์ โดยดูดสารละลายโซเดียมไฮดรอกไซด์ 0.09 นอร์มัล ปริมาตร 5 มิลลิลิตร เติมน้ำกลั่น ปริมาตร 50 มิลลิลิตร และสารละลายกรดเกลเชียอลอะซิติก เข้มข้น 1 นอร์มัล ปริมาตร 1 มิลลิลิตร เขย่าให้เข้ากัน แล้วเติมสารละลายไอโอดีนในข้อ 5.2.8 ปริมาตร 2 มิลลิลิตร ปรับปริมาตรด้วยน้ำกลั่นเป็น 100 มิลลิลิตร เขย่าให้เข้ากัน แล้วตั้งทิ้งไว้ 20 นาที วัดความเข้มของสีด้วยเครื่องสเปคโตรโพโตมิเตอร์ โดยอ่านค่าการดูดกลืนคลื่นแสง (absorbance) ที่ความยาวคลื่นแสง 620 นาโนมิเมตร (nm.)

5.3.9 นำค่าการดูดกลืนคลื่นแสง (absorbance) ของตัวอย่างสตาร์ช ไปหาปริมาณแอมิโลส (ร้อยละ) โดยเทียบกับกราฟมาตรฐาน

#### 5.3.10 การเตรียมกราฟมาตรฐาน

(1) ชั่งแอมิโลส 100 มิลลิกรัม (0.1000 กรัม) และแอมิโลสเพกทิน 100 มิลลิกรัม ใส่ในขวดไวนิล (vial) ที่มีฝาปิด แล้วปิดบัดชี้นเดียวกับข้อ 5.3.2 ถึงข้อ 5.3.6

(2) เตรียมสารละลายผสมของแอมิโลสและแอมิโลเพกทิน (ตารางที่ 25)

(3) เตรียมขวดแก้วปริมาตรขนาด 100 มิลลิลิตร จำนวน 5 ขวด แล้วดูดสารแต่ละขวด แล้วเขย่าให้เข้ากัน ดูดสารละลายแต่ละขวด ในข้อ 5.3.10 (2) ปริมาตร 5 มิลลิลิตร ใส่ในขวดแก้วปริมาตรขนาด 100 มิลลิลิตร แล้วปิดบัดชี้นเดียวกับข้อ 5.3.6 ถึง ข้อ 5.3.7

(4) นำค่าการดูดกลืนคลื่นแสงกับปริมาณแอมิโลส มาเขียนเส้นกราฟมาตรฐาน (Standard curve)

ตารางที่ 25 อัตราส่วนสารละลายผสมของแอมิโลสและแอมิโลเพกทิน

ปริมาณ แอมิโลส (ร้อยละ)	อัตราส่วนปริมาตรของสารละลาย (มิลลิลิตร/100 มิลลิลิตร)		
	แอมิโลส ( 1 มิลลิกรัม/มิลลิลิตร)	แอมิโลเพกทิน ( 1 มิลลิกรัม/มิลลิลิตร)	สารละลายโซเดียมไฮดรอกไซด์ เข้มข้น 0.09 นอร์มัล
0	0	7.0	3
10	1.0	6.0	3
20	2.0	5.0	3
25	2.5	4.5	3
30	3.0	4.0	3

## ภาคผนวก ข

การวิเคราะห์ทางกายภาพ

**1. การวัดความหนืดด้วยเครื่องวิเคราะห์ความหนืดอย่างรวดเร็ว (Rapid Visco Analyzer (RVA) (AACC 1995Methods61-02)**

1.1 ชั่งน้ำหนักตัวอย่างที่บดละเอียด และร่อนผ่านตะแกรงขนาด 0.5 มม. คำนวณหาปริมาณน้ำหนักตัวอย่างและปริมาณน้ำกลันที่ถูกต้อง ซึ่งใช้ที่ความชื้นร้อยละ 12 โดยใช้สูตร

$$S = \frac{(100-12) \times A}{100 - M} = \frac{88 \times A}{100 - M}$$

$$W = 25.0 + (A - S)$$

เมื่อ  $S$  = น้ำหนักตัวอย่างที่ถูกต้อง (กรัม)

$A$  = น้ำหนักตัวอย่างที่ความชื้น 12 %

$M$  = ปริมาณความชื้นของตัวอย่าง ( % as is )

$W$  = น้ำหนักน้ำที่ถูกต้อง

1.2 ชั่งน้ำหนักที่ถูกต้องแล้วเทลงในภาชนะที่ใช้ทดสอบ (test canister) แล้วจึงเทตัวอย่างลงในภาชนะที่น้ำอยู่แล้ว คนตัวอย่างและน้ำด้วยพายที่ใช้ติดตั้งลงในภาชนะขึ้นลง 10 ครั้ง ถ้ายังไม่ท่วงคงให้คนช้ำ

1.3 ใส่พายลงในเครื่องให้อุ่นตั้งกลาง

1.4 เดินเครื่องตามโปรแกรม Rice1 ดังนี้

PROFILE \_Rice1

Time	Type	Value
00:00:00	Temp	50 °C
00:00:00	Speed	960 rpm
00:00:10	Speed	160 rpm
00:01:00	Temp	50 °C
00:04:48	Temp	95 °C
00:07:18	Temp	95 °C
00:11:06	Temp	50 °C
Idle temperature: 50 ± 1 °C		

End of test: 12 min. 30 sec.

Time between readings: 4 sec.

1.5 เมื่อวิเคราะห์เสร็จแล้ว เครื่องจะหยุดโดยอัตโนมัติ นำภาชนะออกจากเครื่อง และทำการสะอาดถ่ายตัวอย่าง

1.6 ผลที่อ่านได้จากการวิเคราะห์เส้นกราฟที่เครื่องบันทึกไว้ดังนี้

1.6.1 อุณหภูมิเริ่มเกิดความหนืด (Pasting temperature) วัดเมื่อเริ่มความหนืดที่ 2 ahrvey (RVU) หน่วยเป็น ° ช

1.6.2 ความหนืดสูงสุด(Peak viscosity) หน่วยเป็น ahrvey

1.6.3 เวลาที่ความหนืดสูงสุด (Peak time) หน่วยเป็น นาที

1.6.4 อุณหภูมิที่ความหนืดสูงสุด (Peak temperature) หน่วยเป็น ° ช

1.6.5 ความคงทนต่อการกรวน (holding strength) เป็นค่าความหนืดต่ำสุดหลังจาก การเกิดความหนืดสูงสุดมักเกิดในช่วงที่ลดอุณหภูมิให้เย็นลง มีหน่วยเป็น ahrvey

1.6.6 เบรกดาวน์ (Breakdown) หรือช่วงความหนืดลดลง เป็นค่าผลต่างระหว่าง ความหนืดสูงสุดกับค่าความคงทนต่อการกรวน มีหน่วยเป็น ahrvey

1.6.7 ความหนืดสุดท้ายของการทดสอบ (Final viscosity) มีหน่วยเป็น ahrvey

1.6.8 ความหนืดกลับคืนจากความหนืดสูงสุด (Setback from Peak) เป็นค่าผลต่าง ระหว่างความหนืดสุดท้ายกับความหนืดสูงสุด มีหน่วยเป็น ahrvey

1.6.9 ความหนืดกลับคืนจากความคงทนต่อการกรวน (Setback from Trough) เป็น ค่าผลต่างระหว่างความหนืดสุดท้ายกับความหนืดที่คงทนต่อการกรวน มีหน่วยเป็น ahrvey

## 2. การวัดเนื้อสัมผัสเจลสตาร์ชเช่นเยือกแข็งจากข้าวด้วยเครื่อง Texture Analyzer TA-XT2

ทำการทดสอบ 2 แบบคือ แบบแรกใช้การทดสอบวัดค่าแรงกด (Compression) เพื่อให้เกิด การเปลี่ยนแปลงของรูปร่าง (deformation) ร้อยละ 15 และ ร้อยละ 70 ของความหนาเจลสตาร์ช โดยกำหนดค่าการวัดดังนี้ ค่าความเร็วหัววัดก่อนทดสอบเท่ากับ 2 มิลลิเมตรต่อวินาที และ ความเร็วหัววัดระหว่างทดสอบ เท่ากับ 1 มิลลิเมตรต่อวินาที ความเร็วหัววัดหลังการทดสอบ เท่ากับ 10 มิลลิเมตรต่อวินาที ใช้หัวกดรูปทรงกระบอกตันเล็กผ่านศูนย์กลาง 3 มิลลิเมตร หน่วยที่ใช้วัดเป็น กรัมแรง คำนวณค่าความแข็งของเจลสตาร์ช (Hardness) ดัดแปลงตามวิธี ของ Bejosano and Corke (1999)

## 3. วัดการขับของเหลวออกจากเจล (syneresis) ดัดแปลงตามวิธีของ Lee and others (2002)

วิเคราะห์ผลการขับของเหลวออกจากเจล (Syneresis) โดยนำเจลสตาร์ชจากข้าวที่ผ่านการ เช่นเยือกแข็งและหยอดลายที่อุณหภูมิ 25 องศาเซลเซียส นาน 4 ชั่วโมง ซึ่งนำหนักเจลสตาร์ช โดยซึ่งนำหนักเจลสตาร์ชบนกระดาษกรองเบอร์ 1 ขนาดเส้นผ่านศูนย์กลาง 7 เซนติเมตร ใช้ต้ม นำหนัก (stainless steel cylinder) ขนาด 1 กิโลกรัม วางทับบนเจลสตาร์ชนาน 15 วินาที ทำการ ซึ่งนำหนักกระดาษกรองที่ดูดซับน้ำที่แยกตัวออกจากเจล คำนวณร้อยละการขับของเหลวออกจาก เจล ดังนี้

$$\text{การขับของเหลวออกจากเจล (ร้อยละ)} = \frac{W_3 - W_2}{W_1} \times 100$$

$W_1$  = น้ำหนักเจลสตาร์ชก่อนแช่เยือกแข็ง เป็น กรัม

$W_2$  = น้ำหนักเจลสตาร์ชหลังการละลาย เป็น กรัม

$W_3$  = น้ำหนักเจลสตาร์ชก่อนแช่เยือกแข็ง เป็น กรัม

#### 4. การวัดสมบัติทางความร้อนด้วยเครื่อง DSC

##### 4.1 การเตรียมตัวอย่าง

4.1.1 ซึ่งน้ำหนักตัวอย่างสตาร์ช ที่ร้อนผ่านตะแกรงขนาด 100 เมช คำนวณหาปริมาณน้ำหนักตัวอย่างสตาร์ชและปริมาณน้ำกลันที่ถูกต้อง ใส่ในถ้วยตัวอย่าง โดยให้มีความเข้มข้นของสตาร์ชร้อยละ 20 30 40 และ 50 โดยน้ำหนักแห้ง (น้ำหนักต่อน้ำหนัก)

4.1.2 ปิดฝาถ้วยตัวอย่าง และวางไว้ที่อุณหภูมิ 30 องศาเซลเซียส นาน 1 ชั่วโมง

##### 4.2 การเตรียมเครื่อง DSC

4.2.1 เปิด瓦ล์วัสดุแก๊สในไตรเจน หมุนปรับความดันไปที่ 20 psi

4.2.2 เปิดสวิตช์ Power ของ RCS (Refrigerated Cooling System)

4.2.3 เปิดสวิตช์ Power ของ DSC ที่ด้านหลังเครื่อง

4.2.4 เปิดโปรแกรม DSC จาก Q-Series window

4.2.5 Control menu -> Event -> On

4.2.6 ก่อนวัดตัวอย่าง ให้เปิดเครื่องและรอประมาณ 30 นาที

##### 4.3 การ Calibration

4.3.1 Step 1: Empty plate form Calibration (about 1 hr)

4.3.2 Step 2: Sapphire Calibration (About 1 hr)

4.3.3 Step 3: Indium Calibration (About 15 min)

1) Control -> Lip->Open

2) Remove Sapphire sample

3) Place Indium with known weigh at Sample position plate form

4) Place Empty cell at reference plate from

5) In Setting:

Standard: Indium

Weight: e.g. 12.2 mg

6) The temperature setting leaves same as:

Check the box Conduct Experiment

Start temperature: 100 °C

Heating rate: 10 °C/min

Final Temperature: 180 °C

Purge Gas:#1 Nitrogen

Flow Rate: 50 ml/min

7) Click Next and then Click Start Experiment

8) Click Next and Check Graph

#### **4.4 การปิดเครื่อง DSC (Shutting Down DSC)**

4.4.1 ก่อนปิดเครื่อง DSC ต้องแน่ใจว่าไม่มีตัวอย่างที่กำลังตรวจวัดหรือไม่มีตัวอย่างที่วางไว้ที่วางตัวอย่าง

4.4.2 รอนจนกระทั่ง อุณหภูมิของเครื่องไปที่ Standby temperature

4.4.3 Control ->Event -> Off

4.4.4 ทำการปิดโปรแกรม DSC

4.4.5 ปิดสวิตช์เครื่อง DSC

4.4.6 ปิดสวิตช์เครื่อง RSC unit

4.4.7 ปิดแก๊สในໂຕຣເຈນ

#### **4.5 การวัดตัวอย่าง**

4.5.1 เปิดเครื่อง DSC ตามข้อ 4.2

4.5.2 นำถ้วยตัวอย่าง (sample pan) ที่เตรียมไว้และทราบน้ำหนักตัวอย่างที่แน่นอน

4.5.3 วางถ้วยตัวอย่าง และถ้วยอ้างอิง (reference pan) ที่ถูกตัวอย่าง

4.5.4 ตั้งโปรแกรมในการวัดตัวอย่าง ดังนี้

1) Summary:

Mode: Standard

Test name: name

Sample size: as weight (in mg 10–15 mg)

Pan: 1 (ตำแหน่งของถ้วยตัวอย่าง)

Ref: 1 (ตำแหน่งของถ้วยอ้างอิง)

Comments: comments

Date File Name: Give a suitable file name

2) Procedure:

Test: Custom

Name: name

Click Edit และเลือกขั้นตอนการวัด เช่น

i) Equilibrium at 30 °C

ii) Ramp 10 °C/min to 120 °C

3) Note เลือกชนิดถ้วยที่ใช้ในการทดสอบ เช่น Aluminum Hermetic Pan

Purge Gas:#1 Nitrogen at 50 ml/min

4.5.6 Click Apply

4.5.7 Click Append ถ้าต้องการเพิ่มตัวอย่างในการวัด

4.5.8 วิเคราะห์กราฟโดยใช้ Universal Analysis

4.5.9 ปิดระบบตามขั้นตอนในข้อ 4.4

## 5. การวัดสมบัติทางวิทยากระแสด้วยเครื่อง Rheometer

### 5.1 การเปิดเครื่อง Rheometer

5.1.1 เปิดเครื่องคอมพิวเตอร์

5.1.2 เปิดก๊อก air supply (จากขวา closed หมุนตรง open) ดูระดับความดัน psi ของ AR 1000 : 25 psi

5.1.3 หมุนฝาครอบสีดำที่หัววัด (adapter) ออก (จับด้านบนให้แน่นหมุนด้านล่าง ตามเข็มนาฬิกา)

5.1.4 เปิดปุ่ม switch ของเครื่อง Rheometer ซึ่งจะอยู่ด้านหลังเครื่อง รอสักครู่ เพื่อให้เครื่องทดสอบระบบ

5.1.5 เลี้ยงปลั๊ก pump water supply (น้ำในปั๊มควรสะอาด-น้ำกลั่น ระดับน้ำ ประมาณครึ่งถัง)

5.1.6 เมื่อระบบทุกอย่างพร้อม ให้เปิด instrument control software ดังนี้

Start > Programs> TA Rheology Advantage> AR Instrument control

5.1.7 Instrument Inertia ดังนี้

Option > Instrument > Inertia > Calibrate > Next > finish > closed

ต้องแน่ใจว่าไม่ใส่หัววัด ไม่มีตัวอย่าง ค่าที่ยอมรับได้ประมาณ 14-16  $\mu\text{Nms}^2$  และค่าไม่มากกว่า 15 % ของ original inertia value

5.1.8 Geometry ให้เลือกหัววัดที่ใช้ทดสอบ ( 40 mm stainless steel) โดยนำ ประกอบเข้ากับ adapter ที่เครื่อง

### 5.1.9 Geometry Inertia หลังจากประกอบหัววัด ให้เติมน้ำกลั่นในร่องของหัววัด

5.1.10 Zero the Geometry Gap เลือก icon หรือ Instrument > Gap >Zero Gap จะปรากฏสัญญาลักษณ์ Click ให้หัววัดเคลื่อนที่ลงให้ใกล้ฐานมากที่สุด และเลือก Continue เครื่องจะส่งสัญญาณไปที่ TA Instrument รอจนกระทิ้งเครื่องทำงานเสร็จ เครื่องจะตามว่า Head Zero complete. Do you want to raise the head to the back off distance ให้ตอบ yes

5.1.11 นำตัวอย่างเจลสตาร์จากข้าว背叛 Plate และ Click เครื่องหมาย เป็นการเลื่อนหัววัดลงมาที่ตัวอย่าง ทำการ trim ตัวอย่าง

### 5.1.12 Click Run

5.1.13 เครื่องจะให้ตั้งชื่อไฟล์ ใน folder ของตัวเองเพื่อเก็บข้อมูล เมื่อทุกอย่างพร้อม click OK

5.1.14 เมื่อวัดตัวอย่างเสร็จแล้ว click เครื่องหมาย เป็นการเลื่อนหัววัดขึ้นนำตัวอย่างออก และวัดตัวอย่างต่อไปโดยเริ่มจากข้อ 5.1.11

## 5.2 ขั้นตอนการปิดเครื่อง

5.2.1 เมื่อใช้เสร็จเรียบร้อย click เลื่อนหัววัดขึ้น

5.2.2 File Exit

5.2.3 ถอดปลั๊ก pump

5.2.4 ปิดเครื่อง TA (สวิสซ์ที่ด้านหลัง)

5.2.5 ถอดหัววัดออก และใส่หัวครอบสีดำกลับเข้าที่เดิม

5.2.6 ปิด air pump

## 5.3 วัดค่า LVR (Linear Viscoelastic Region)

### 5.4 วิเคราะห์ผลเพื่อคำนวณ LVR

5.4.1 ทำการสร้างกราฟ โดย click พื้นที่ข้อมูล ต้องการสร้างกราฟ เลือกราฟ xy(scatter) ตั้งชื่อ chart title , value x , y

5.4.2. เลือก As new sheet จะได้ sheets เพิ่มอีก 1 sheets ซึ่งเป็นกราฟ ต่อจากนี้ double click แกน x ก่อน

แก้ไขโดย Click ออกไป ตั้งค่าใหม่

Minimum	0.01
Maximum	100
Major unit	10
Minor unit	10

Cross at Y 0.01

Click เลือก  logarithmic Scale

แก้ไข ที่แกน Y เช่นเดียวกัน

Minimum 1

Maximum

Major unit

Minor unit

}

ไม่ต้องเปลี่ยน

Cross at X 1

Click เลือก  logarithmic Scale

เมื่อได้ค่า  $G'$ ,  $G''$  เป็นเส้นตรง ; Click ลากเส้นตรง ผ่าน 5 จุด